

FH Dortmund

- Fachbereich für Informationstechnik -

**Fachhochschule
Dortmund**

University of Applied Sciences and Arts

Masterarbeit

Integration eines Hardwarebeschleunigers für Maschinelles
Lernen in einen RISC-V RV32IM Prozessor über
Memory-Mapped Register

Fabian Brünger

betreut von

Prof. Dr. Michael Karagounis
M. Sc. Alexander Walsemann

24. August 2020

Danksagung

Mein Dank für die Unterstützung bei dieser Arbeit gilt Prof. Dr. Michael Karagounis, der nicht nur mit fachlicher, sondern auch mit zwischenmenschlicher Kompetenz immer für eine positive und produktive Arbeitsatmosphäre gesorgt hat. Auch der Anspruch nach qualitativ hochwertiger Arbeit, sowie die Analyse von den vermeidlich kleinen Details waren zum Ende meines Studiums Lektionen, die ich zu schätzen weiß. Weiterer Dank geht an Alexander Walsemann. Gerade zu Beginn meiner Laborzeit waren seine Kompetenzen unersetzlich.

Für die Unterstützung im privaten Umfeld danke ich meiner Partnerin Cristina Rosado-Alberdi, die mir in den schweren Stunden zur Seite stand und steht. Zuletzt möchte ich meinen Eltern danken. Ohne sie wäre mein Studium und mein Lebensweg in dieser Form nicht möglich gewesen. Für die Toleranz und Geduld mir gegenüber bin ich unglaublich dankbar.

„Chicken in the corn

Say the corn can't grow, mama“

Brushy One String

Kurzreferat

Im Rahmen dieser Arbeit wurde eine Analyse auf Register Transfer Level (RTL) Ebene des vom Fraunhofer IMS in Verilog entwickelten RV32IM RISC-V Prozessors durchgeführt und der Configurable Accelerator Engine for Convolution Operations (Caeco) als Hardware-Beschleuniger für Maschinelles Lernen (ML) integriert. Das Design wurde speziell auf das Lesen von Caecodaten und auf das Interrupt-Verhalten getestet und verifiziert. Das Schreiben von Caecodaten wurde zwar auf RTL Ebene simuliert, allerdings nicht auf dem Field Programmable Gate Arrays (FPGA) verifiziert. Durch einen erarbeiteten Hardware- und Software-Entwicklungsfluss werden beide Stränge optimiert und parallelisiert. Die Hardware-Entwicklung wurde in eine Gitlab Development and Operations (DevOps) Umgebung integriert, wodurch das Design im Project Batch Flow Modus der Vivado 2020.1 IDE automatisiert simuliert, synthetisiert und auf der Entwicklungsplatine Nexys4 DDR implementiert wird. Die Verifizierungsgrundlage bildet der entwickelte Programm-Code, der für die RTL Simulation, für die Simulation im Instruktionssimulator riscvOVPsim der Firma Imperas und dem Debugging des Designs auf dem FPGA genutzt wird. Letzteres wurde in der Eclipse IDE durchgeführt, wobei der JTAG Olimex ARM-USB-Tiny-H Adapter als Debug-Schnittstelle eingesetzt worden ist. Die Schnittstelle der beiden Entwicklungsstränge bilden zwei eigens geschriebene Rust Programme und das Xilinx Programm data2mem, durch die die kompilierten ELF Dateien in xilinx-kompatible MEM bzw. COE Dateien umgewandelt werden.

Stichworte: RISC-V RV32IM, FPGA, Vivado 2020.1, Gitlab CI/CD, RISC-V Software-Entwicklung

Abstract

Within the scope of this thesis, an analysis on RTL level of the RV32IM RISC-V processor developed by Fraunhofer IMS in Verilog was performed and the caeco was integrated as hardware accelerator for ML. The design has been tested and verified especially for the reading of caecodata and for the interrupt behaviour. The writing of caecodata was simulated on RTL level, but not verified on the FPGA. Both strands are optimized and parallelized by an elaborated hardware and software development flow. The hardware development was integrated into a Gitlab DevOps environment, whereby the design is automatically simulated, synthesized and implemented on the development board Nexys4 DDR in the Project Batch Flow mode of the Vivado 2020.1 IDE. The basis for verification is the developed program code, which is used for RTL simulation, for simulation in the instructional simulator risevOVPSim from Imperas and for debugging the design on the FPGA. The latter was done in the Eclipse IDE, using the JTAG Olimex ARM-USB-Tiny-H Adapter as debug interface. The interface between the two lines of development are two specially written Rust programs and the Xilinx program data2mem, which converts the compiled ELF files into xilinx-compatible MEM or COE files.

Keywords: RISC-V RV32IM, FPGA, Vivado 2020.1, Gitlab CI/CD, RISC-V Softwaredevelopment

Eidesstattliche Erklärung

Hiermit versichere ich, die vorliegende Arbeit selbstständig und unter ausschließlicher Verwendung der angegebenen Literatur und Hilfsmittel erstellt zu haben.

Die Arbeit wurde bisher in gleicher oder ähnlicher Form keiner anderen Prüfungsbehörde vorgelegt und auch nicht veröffentlicht.

Dortmund, den 24. August 2020

Inhaltsverzeichnis

1	Einleitung	1
2	RISC und RISC-V Prozessorgrundlagen	2
2.1	RISC Prozessoren	2
2.1.1	Mikroprozessoraufbau	3
2.1.2	Befehlssatzarchitekturen	6
2.2	RISC-V	6
2.2.1	Befehlssätze	6
2.2.2	Basisbefehlssatz RV32I	8
2.2.3	Debug Spezifikation	15
2.3	JTAG IEEE Standard 1149.1-2001	18
3	RISC-V RV32IM auf RTL Ebene	20
3.1	RISC-V RV32IM Prozessorarchitektur	20
3.1.1	Die UART Schnittstelle	22
3.1.2	Bussystem	23
3.1.3	Block RAM und Adressraum	24
3.1.4	JTAG und Debug Schnittstelle	25
3.1.5	Prozessorkern und Pipeline	29
3.1.6	Konstanten Generation	31
3.1.7	Allzweckregister	32
3.1.8	Rechenwerk	33
3.1.9	Steuerwerk	34
3.1.10	Status- und Kontrollregister	37
3.2	Integration des ML IP-Kerns Caeco	39
3.2.1	Caecointerface: Bus- und JTAG-Anbindung des Caecos	40
3.2.2	Adressmultiplexer	42
3.2.3	Lese- und Schreibzugriff über den Prozessor	43
3.2.4	Direkter Lese- und Schreibzugriff über JTAG und das DM	44
3.2.5	Trap-Auslösung durch Caeco	46
3.2.6	Manueller Interrupt zur Verifizierung auf dem FPGA	48

4	Hard- und Software-Entwicklungsfluss	51
4.1	Ziel-Hardware	52
4.1.1	Digilent Nexys 4 DDR Entwicklungsplatine	52
4.1.2	Olimex ARM-USB Tiny-H JTAG Adapter	53
4.2	Automatisierungswerkzeuge	54
4.2.1	DevOps	54
4.2.2	Projektmanagement mit Gitlab	55
4.3	Hardware-Entwicklung mit DevOps	55
4.3.1	Gitlab-Runner	57
4.3.2	.gitlab-ci.yml Datei	57
4.4	Software-Werkzeuge	61
4.4.1	GNU MCU Eclipse IDE v4.6.1	61
4.4.2	Xilinx Unified Software Platform 2020.1	62
4.5	Software-Entwicklung	63
4.5.1	Quell-Code in C	63
4.5.2	Generierung der ELF Datei	65
4.5.3	Generierung einer MEM Datei mit Xilinx data2mem	71
4.5.4	Anpassung der MEM Datei für RTL Simulation	72
4.5.5	Generierung einer COE Initialisierungsdatei für Block-RAM	73
4.6	Inbetriebnahme riscvOVPsim	74
4.6.1	Konfigurationsdatei	75
5	Simualtionsergebnisse und Debugging	77
5.1	Simulationsergebnisse riscvOVPsim	77
5.2	RTL Simulation in Vivado	80
5.2.1	Programmzähler bei Initialisierung nach Reset	84
5.2.2	Abgeschlossene Initialisierung „run!“	85
5.2.3	Schreiben der EKG Daten über das DMI	85
5.2.4	Interrupt-Verhalten bei gültigem Ergebnis des Caecos	88
5.3	Hardware-Verifizierung FPGA Design	90
5.4	Debugging unter Eclipse	93
6	Zusammenfassung und zukünftige Arbeiten	96
	Literaturverzeichnis	98
A	Dateien	101
A.1	Linker-Skripte	101
A.1.1	Standard Linker Skript der riscv-none-embed-gcc 8.3.0-1.1 Toolchain	101
A.2	Batchskripte	108
A.2.1	create.tcl	108

A.2.2	synthesis.tcl	111
A.2.3	implementation.tcl	111
A.2.4	simulation.tcl	112
A.3	Programm-Codes	113
A.3.1	new-mem.exe Rust Hilfsprogramm	113
A.3.2	new-coe.exe Rust Hilfsprogramm	115
A.3.3	Kompilierter C Programm-Code Initialisierung	117
B	HDL Code	124
B.1	Verilog	124
B.1.1	Caecointerface	124
B.1.2	POMAA_constants.vh	129
B.1.3	JTAG Task jtag_dmi_write	130
C	Software-Bedienung	134
C.1	Eclipse	134
C.1.1	OpenOCD Pfadeinstellung	134
C.1.2	Debugger Einstellung	135
C.1.3	Building Tools Pfadeinstellung	136
C.1.4	Toolchain Pfadeinstellung	136
C.1.5	Gitlab	136
C.2	Vivado	137
D	Verilog Module und Blockschaltbilder	138
D.1	Verilogmodule	138
D.2	Blockschaltbilder	150

Abkürzungsverzeichnis

MPU	Micro Processor Unit
CPU	Central Processing Unit
IC	Integrated Circuit
SoC	System-on-a-Chip
GPP	General Purpose Processor
DSP	Digital Signal Processor
MAC	Multiply-Accumulate
PC	Personal Computer
EEPROM	Electrically Erasable Programmable Read-Only Memory
CU	Control Unit
ISA	Instruction Set Architecture
RISC	Reduced Instruction Set Architecture
CISC	Complex Instruction Set Computers
MCU	Micro Controller Unit
CPU	Central Processing Unit
ALU	Arithmetic Logic Unit
ISA	Instruction Set Architecture
HDL	Hardware Description Language
GP	General Purpose
CSR	Control and Status Register
AHB	Advanced High-Performance Bus
AMBA	Advanced Microcontroller Bus Architecture

HASTI	Highly Advanced System Transport Interface
UART	Universal Asynchronous Receiver Transmitter
JTAG	Joint Test Action Group
DM	Debug Module
DMI	Debug Module Interface
TAP	Test Access Port
DTM	Debug Transport Module
IR	Instruktionsregister
DR	Datenregister
MSB	Most Significant Bit
LSB	Least Significant Bit
IP	Intellectual Property
RAM	Random Access Memory
FPGA	Field Programmable Gate Arrays
IF	Instruction Fetch
DX	Decode and Execution
WB	Write Back
ELF	Executable and Linkable Format
LTU	LookUp Table
DUT	Device under test
BSS	Basic Service Set
DevOps	Development and Operations
CI	Continuous Integration
CD	Continuous Delivery
ML	Maschinelles Lernen
IP	Intellectual Property
WSL	Windows Subsystem for Linux

RTL	Register Transfer Level
CFI	Call Frame Information
COE	Coefficient
MEM	Memory
ISR	Interrupt Service Routine
DUT	Device Under Test
UTF	UCS Transformation Format
ASIC	Application Specific Integrated Circuit
KI	Künstlichen Intelligenz
UI	User Interface
GPIO	General Purpose Input/Output
IDE	Integrated Development Environment
Caeco	Configurable Accelerator Engine for Convolution Operations

Tabellenverzeichnis

2.1	Übersicht der Befehlserweiterungen	7
2.2	Übersicht der Register (siehe [6], S. 137)	8
2.3	R-Typ Befehlsübersicht	9
2.4	I-Typ Befehlsübersicht	11
2.5	S-Typ Befehlsübersicht	12
2.6	B-Typ Befehlsübersicht	12
2.7	U-Typ Befehlsübersicht	13
2.8	J-Typ Befehlsübersicht	14
2.9	System-Befehlsübersicht	14
2.10	M-Befehlsübersicht	15
2.11	DTM DR Register	16
3.1	Konstanten Generation Signalübersicht	31
3.2	Rechenwerk Eingang A Signalübersicht	33
3.3	Rechenwerk Eingang B Signalübersicht	33
3.4	Rechenwerk	34
3.5	Adressraum des Caecos für dezidierte Schreib- und Lesebefehle	43
3.6	DMI Adressen des Caecos für direkten Schreib- und Lesezugriff	44
4.1	Eclipse Toolchain Einstellungen	61
4.2	Notwendige Dateien für Kompilierung	65
4.3	Notwendige Dateien für riscvOVPsim Test	74

Abbildungsverzeichnis

2.1	Mikroprozessoraufbau und Mikrorechneraufbau mit Harvardarchitektur (vgl. S. 89 [3] und S. 2 [4])	3
2.2	R-Type Befehlsformat	9
2.3	I-Typ Befehlsformat für Integer Berechnungen aus Register und Konstante	10
2.4	I-Typ Befehlsformat für Shift-Operationen aus Register und Konstante	10
2.5	S-Type Befehlsformat	12
2.6	B-Typ Befehlsformat für bedingte Sprungbefehle	12
2.7	U-Typ Befehlsformat für das Laden von Konstanten	13
2.8	J-Typ Befehlsformat für unbedingte Sprungbefehl	13
2.9	M-Befehlsformat für Multiplikation und Division	14
2.10	RISC-V Debug System Überblick [7]	16
2.11	DTM DTM Register [7]	17
2.12	DTM DMI Register [7]	17
2.13	JTAG TAP Zustandsmaschine nach IEEE 1149.1-2001 [8]	18
3.1	RV32IM Systemarchitektur	20
3.2	Gesamtprojektübersicht der Verilogmodule	21
3.3	UART Module	22
3.4	UART Zustandsmaschine	23
3.5	Adressraum	24
3.6	Debug Modul Zustandsmaschine DMI	26
3.7	Debug Modul Zustandsmaschine DM	27
3.8	Caeco Schnittstelle Eingang	40
3.9	Caecointerface und Caeco Modulübersicht	41
3.10	Caecointerface Zustandsmaschine	42
4.1	Zielhard- und Software-Entwicklungsablauf	51
4.2	Digilent Nexys 4 DDR Entwicklungsplatine [13]	53
4.3	Hardware-Verbindung von Olimex Adapter und Nexys4 DDR	54
4.4	Gitlab Projektstruktur	55
4.5	Gitlab Pipeline	56
4.6	Gitlab Projektstruktur nach erfolgreicher Pipeline-Ausführung	56
5.1	Simulationsüberblick und FPGA Ports	84

5.2	Übertragung des Zeichens r per UART	85
5.3	DMI Signale bei Schreiben des Caecos cmd	86
5.4	Caecointerface Signale bei Schreiben des Caecos cmd	86
5.5	DMI und Caecointerface Signale bei Schreiben der Daten	87
5.6	Caecointerfacesignale bei Ergebnis	88
5.7	Prozessor-signale bei Ergebnis	89
5.8	UART Verhalten bei Ergebnis	90
5.9	Signale FPGA bei manuellem Interrupt	92
5.10	Empfang der Daten beim Hardwaretest	92
5.11	Breakpoint nach Speicherplatzreservierung	94
5.12	HTerm Ausgabe der ersten Zeichenkette	94
C.1	Einstellungen für OpenOCD Pfad	134
C.2	Einstellungen für Debugging	135
C.3	Einstellungen für Building Tools	136
C.4	Toolchain Pfadeinstellung	136
C.5	Gitlab-Runner	136
C.6	Einstellungen zum Laden des COE Files für BRAM	137
D.1	FPGA Wrapper Modul	138
D.2	Raifes Top Modul	139
D.3	Raifes Core Modul	140
D.4	Pipeline Modul	141
D.5	I und D Bus	142
D.6	D Bus sync	143
D.7	I Bus sync	143
D.8	DTM	144
D.9	DM	145
D.10	Pipeline	146
D.11	Regfile	147
D.12	Steuerwerk	148
D.13	CSRs	149
D.14	Caecointerface BSB	150

1 Einleitung

Der Entwurf von anwendungsspezifischen integrierten Schaltungen (engl. *Application Specific Integrated Circuits (ASICs)*) für Anwendungen der Künstlichen Intelligenz (KI) und des ML verfolgt einerseits das Ziel, hohe Klassifizierungsgenauigkeiten durch aufwändige numerische Rechenverfahren zu erreichen und andererseits den Energieeffizienzanforderungen von eingebetteten Systemen gerecht zu werden [1]. Im Rahmen dieser Arbeit wird der Caeco als ML-Intellectual Property (IP) Kern für die Auswertung von EKG Daten im Bereich der Medizintechnik in den Raifes RISC-V RV32IM Prozessor integriert, um dadurch ein flexibles System zu entwerfen, das neben spezifischen Anforderungen aus dem ML Bereich auch herkömmlichen Software-Anforderungen nachkommen kann. Dabei geht es vor allem um die Aufgabe, Daten für den Caeco parallel zum generellen Prozessorbetrieb über eine Joint Test Action Group (JTAG) Schnittstelle zu schreiben und bei vorliegen eines Ergebnisses die Daten zu speichern bzw. per Universal Asynchronous Receiver Transmitter (UART) Schnittstelle bereitzustellen. Hierfür wird die vom Fraunhofer IMS entwickelte Raifes RV32IM Plattform auf RTL Ebene analysiert und um caeco-spezifischen Funktionen erweitert. Das erstellte Design wird auf RTL Ebene simuliert und auf der Nexys4 DDR FPGA Entwicklungsplatine implementiert und getestet. Die gesamte Hardware-Entwicklung wird durch die Anwendung der Gitlab DevOps Umgebung automatisiert.

Zusätzlich zur Hardware-Entwicklung wird in dieser Arbeit ebenfalls die passende Software in der Programmiersprache C und dem RISC-V Assembler entwickelt. Außerdem werden weitere Dateien, die zur Programmierung eingebetteter Systeme notwendig sind, analysiert und angepasst. Die Ziel-Software dient zum einen als Grundlage für die RTL Simulation, zum anderen wird sie durch den RISC-V Instruktionssimulator riscvOVPsim der Firma Imperas getestet, um so den Vergleich zu einem Referenzmodell zu ermöglichen. Als letzter Schritt wird das implementierte Design auf dem FPGA in Betrieb genommen, getestet und durch die Entwicklungsumgebung Eclipse IDE debuggt. Für das Debugging wird das Design so angepasst, dass das Interrupt-Verhalten des Caecos durch einen manuellen Schalter der Entwicklungsplatine nachgestellt wird, da zum aktuellen Zeitpunkt das Schreiben der EKG Daten noch nicht realisiert werden kann.

Die Hard- und Software-Entwicklung des Zielsystems muss parallel stattfinden. Zum einen gibt es Hardware-Voraussetzungen, die bei der Software-Entwicklung zu beachten sind, zum anderen kann die Hardware nur mit einem lauffähigen Programm getestet werden. Eine Prozessoptimierung wird durch zwei zusätzliche eigens geschriebene Hilfsprogramme erzielt, die im Zusammenspiel mit dem Xilinx-tool data2mem die kompilierten Executable and Linkable Format (ELF) Dateien in Coefficient (COE) Dateien umwandeln, durch die xilinx-spezifischen Speicher initialisiert werden können.

2 RISC und RISC-V Prozessorgrundlagen

Dieses Kapitel bietet eine Übersicht auf die Reduced Instruction Set Architecture (RISC) Prozessorgrundlagen, ausgewählte RISC-V Spezifikationen und den JTAG Standard. In Abschnitt 2.1 wird in die Geschichte und Aufbau der RISC Prozessoren eingeführt. Ein Überblick über Teile der RISC-V, insbesondere der Debug-Spezifikation, ist in Abschnitt 2.2 gegeben. Abschließend wird in Abschnitt 2.3 der JTAG Standard beschrieben.

2.1 RISC Prozessoren

RISC Prozessoren sind das Produkt einer Entwicklung, die Ende der 70er Jahre im IBM-Forschungszentrum in Yorktown Heights mit dem IBM-801-Projekt ihren Anfang nahm. Anfang der 80er folgten das MIPS-Projekt der Stanford University und das RISC-Projekt der UC Berkeley. Das Ziel war bei allen Projekten die Entwicklung einer Prozessorarchitektur, die durch ein reduzierten und vereinfachten Befehlssatz und somit ein kleineres Steuerwerk, die Rechenleistung steigert und gleichzeitig den Entwicklungs- und Produktionspreis senkt [2]. RISC Architekturen sind ein Gegenentwurf zu den bis zu diesem Zeitpunkt üblichen Complex Instruction Set Computers (CISC) Prozessoren, die eine Fülle von Befehlen unterschiedlicher Komplexität bieten, jedoch durch die Mikroprogrammierung algorithmisch abgearbeitet werden, welches ein umfangreiches Steuerwerk voraussetzt. Bei RISC Prozessoren gibt es im Gegenteil nur wenige Maschinenbefehle und dadurch eine Hardware-Einheit mit reduzierter Komplexität, die Befehle direkt umsetzen kann. Somit entfallen komplexe Maschinenbefehle, die bei CISC Prozessoren vorgesehen sind. [3].

Die Effektivitätssteigerung der RISC Prozessoren wird größtenteils durch die Nutzung des Pipelining-Prinzips erzielt. Durch die Nutzung von Pipeline-Architekturen ist es möglich pro Prozessortakt einen Maschinenbefehl auszuführen. Ist ein Prozessor dazu befähigt, spricht man von einem skalaren Prozessor. Kann der Prozessor mehr als einen Maschinenbefehl pro Prozessortakt abarbeiten, ist von einem superskalaren Prozessor die Rede. Zusätzlich zu der fehlenden Mikroprogrammierung und der angestrebten Skalarität sind unter anderem dedizierte Lade- und Speicherbefehl für den Hauptspeicherzugriff vorgesehen, wodurch der aufwändige Datentransport zwischen Speicher und Prozessor minimiert wird. Durch eine höhere Anzahl prozessornaher Speicher, sogenannter Register, werden mehr Daten schneller zugänglich. Dadurch minimiert sich ebenfalls die Anzahl der Zugriffe auf den Daten Hauptspeicher. [3]. RISC Prozessoren nutzen üblicherweise einen Zwischenspeicher für Programmdateien, der sich sehr nahe am Prozessor befindet und separat vom Daten Hauptspeicher gehalten wird. Aus diesem Grund werden RISC Prozessoren meist als Harvard-Architektur

klassifiziert. Von-Neumann-Architekturen hingegen verwenden einen gemeinsamen Speicher sowohl für das Programm als auch für anderweitige Daten, welche auch über einen gemeinsamen Bus zum Prozessor transportiert werden [4]. Der schematische Aufbau eines RISC Prozessors mit einer Harvard-Architektur wird in 2.1.1 beschrieben beschrieben. In verschiedenen aktuellen Prozessoren verschwimmen die klaren Grenzen der Prozessor-Architekturen mehr und mehr, sodass man häufig von Hybridsystemen spricht, die vor allem im Bereich der Personal Computer (PC) vorzufinden sind.

2.1.1 Mikroprozessoraufbau

Eine Micro Processor Unit (MPU) ist die zentrale Rechereinheit (engl. *Central Processing Unit (CPU)*) in einem Rechnersystem, die Maschinenbefehle ausführt. Die MPU enthält verschiedene Komponenten, die über Busse Daten und Steuerungsbefehle austauschen. Die Hauptkomponenten sind das Rechenwerk, welches ebenfalls als Operationswerk (engl. *Arithmetic Logic Unit (ALU)*) bezeichnet wird, und das Steuerwerk. Diese Komponenten fasst man meist als den Prozessorkern zusammen [2]. Weiterhin gibt es einen festen Registersatz als schnellen Zwischenspeicher für Operationen des Rechenwerks und ein Adresswerk zur Adressierung von Daten im Speicher. Ein Mikrorechner in Harvard-Architektur wird durch einen Datenspeicher, einen Programmspeicher und Schnittstellen zur externen Peripherie vervollständigt.

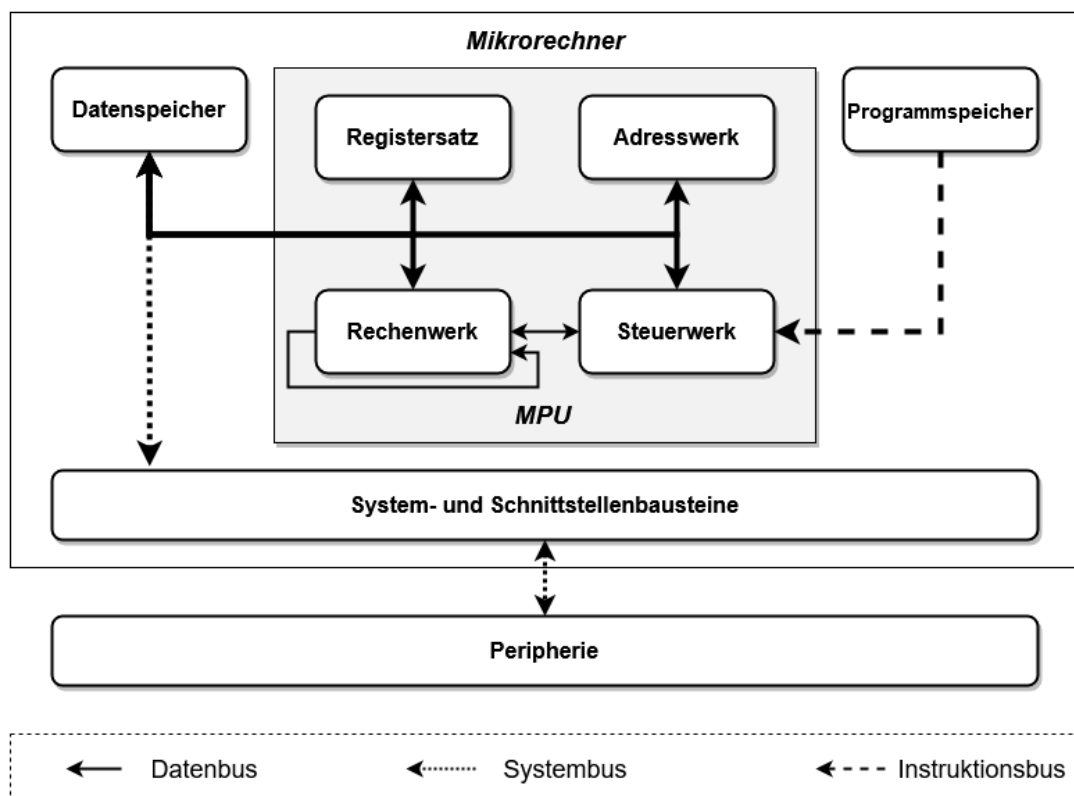


Abbildung 2.1: Mikroprozessoraufbau und Mikrorechneraufbau mit Harvardarchitektur (vgl. S. 89 [3] und S. 2 [4])

In Abbildung 2.1 ist dieser Aufbau dargestellt. Moderne Prozessoren verwenden oft einen oder mehrere Zwischenspeicher, sogenannte Caches. Diese sind kleiner als der Daten Hauptspeicher, wodurch es möglich ist, sie auf dem gleichen Chip zusammen mit dem Prozessorkern zu integrieren. Auf Grund der örtlichen Nähe sind die Daten in den Caches schneller abrufbar, idealerweise in ein bis zwei Taktzyklen. Verfügt der Chip über mehrere Caches, sind diese in einer Speicherhierarchie angeordnet. Der prozessornächste Cache ist der First-Level-Cache, wobei die Anzahl der verschiedenen Stufen variieren kann. In sogenannten Pseudo-Harvard-Architekturen gibt es zwei First-Level-Caches, einen für die Speicherung der Maschinenbefehle und einen weiteren für Daten [5].

Die Aufgabe der MPU ist die Ausführung des Maschinen-Codes, welcher aus einer Aneinanderreihung verschiedener Maschinenbefehle besteht, die das eigentliche Programm darstellen. Das Programm wird von Programmierern und Programmierern entwickelt und vor der Ausführung in den Programmspeicher geladen. Die Ausführung der Maschinenbefehle folgt einem Automatismus, der zuerst die gespeicherten Maschinenbefehle liest (engl. *Fetch*) und danach dekodiert. Ein Maschinenbefehl besteht mindestens aus einem OpCode und einem oder mehreren Operanden. Der OpCode definiert die Art des auszuführenden Befehls. Operanden werden entweder aus den Registern ausgelesen oder im Falle von Konstanten dem Maschinenbefehl entnommen. Welcher Maschinenbefehl als nächstes gelesen werden soll, wird durch den Programmzähler bestimmt. Dieser startet bei einer Basisadresse und wird nach einem Lesebefehl inkrementiert. Bei einem Sprungbefehl wird der Programmzähler nicht auf die folgende Adresse inkrementiert, sondern zu einer angegebenen Adresse geändert [3].

Steuerwerk:

Das Steuerwerk (engl. *Control Unit (CU)*) ist für die Dekodierung der Maschinenbefehle und für die Steuerung sämtlicher Komponenten zuständig. Bei den RISC Prozessoren werden die Steuerwerke durch explizite kombinatorische Schaltlogik implementiert. Man spricht demnach auch von einem "fest verdrahtetem" (S. 2 [4]) Steuerwerk, welches ohne algorithmischen Ansatz genau auf einzelne Befehle reagiert. Somit minimiert man die Dauer eines Befehlszyklus, welcher der Zeit zur Abarbeitung eines Maschinenbefehls entspricht [3].

Rechenwerk:

Die zentrale Einheit des Rechenwerks ist die ALU. Die ALU führt die von dem Steuerwerk dekodierten Befehle als arithmetische und logische Operationen durch. Das Ergebnis einer Operation mag Einfluss auf die Ausführung der nachfolgenden Instruktionen haben. Dafür werden die Ergebnisse in verschiedenen Zustände klassifiziert und in Statusregistern bzw. Zustandsregistern gespeichert [3].

Programmspeicher:

Der Programmspeicher ist das Hauptmerkmal einer Harvard-Architektur und enthält den eigentlichen Programm-Code. Durch die Existenz eines separaten Programmspeichers kann gleichzeitig sowohl auf die Programmdateien als auch auf den Datenspeicher zugegriffen werden. Dieser Speicher ist oft nicht flüchtig, sodass die gespeicherte Programmierung auch nach dem Ausfall der Versorgungsspannung erhalten bleibt. Speichertechnologien, die in diesem Zusammenhang oft verwendet werden, sind die Folgende: elektrisch löschbarer programmierbarer Nur-Lese-Speicher (engl. *Electrically Erasable Programmable Read-Only Memory (EEPROM)*), oder auch als einmal programmierbare EPROMs (engl. *One Time Programmable Erasable Programmable Read-Only Memory (OTP-EPROM)*), oder auch als Flash-EEPROM [3].

Adresswerk:

Das Adresswerk übernimmt das Ansprechen der verschiedenen Speicherbereiche wie den Registern und dem Hauptspeicher. Oft werden Speicheradressen als Kombination einer Basisadresse und eines Offsets, um welchen die Basisadresse erhöht wird, angegeben. Diese adressbezogenen Berechnungen werden meist von einem zusätzlichen Adressrechner durchgeführt, um das Rechenwerk zu entlasten [3].

Registersatz:

Die Register sind Speicherplätze, die im inneren des Prozessors liegen, und somit schnell zu erreichen sind. Sie können grundsätzlich in Universalregister und Spezialregister unterschieden werden. Die Universalregister dienen der freien Verfügung für verschiedene Inhalte und Maschinenbefehle. Die Spezialregister sind unter anderem der Programmzähler, der Stackpointer, das Basisregister, das Indexregister, das Statusregister und das Steuerregister. Dabei ist das Steuerregister dafür zuständig, Unterbrechung des Programms zu verwalten [3].

Zusammengefasst organisiert der Mikroprozessor den Datenaustausch in einer Mikrorechnerstruktur. Im Datenspeicher liegen alle anderen Daten, die nicht mit der eigentlichen Prozessorprogrammierung korrelieren. Über System- und Schnittstellenbausteine kann mit externer Peripherie kommuniziert werden. Wie diese Komponenten eines Prozessors genau spezifiziert sind und wie genau diese zusammenarbeiten, wird durch die Befehlssatzarchitektur definiert. In Kapitel 2.1.2 wird das Grundkonzept einer RISC Befehlssatzarchitektur beschrieben. Prozessoren können zwar grob als ein RISC Prozessor klassifiziert werden, allerdings gibt es je nach Hersteller und Entwickler unterschiedliche architektonische Ansätze, sowohl in Bezug auf die Hardware, als auch für die Organisation des Befehlssatzes.

2.1.2 Befehlssatzarchitekturen

Eine Befehlssatzarchitektur (engl. *Instruction Set Architecture (ISA)*) definiert den Befehlssatz und die Befehlsformate einer MPU. Sie ist die Schnittstelle zwischen der Software und der Hardware, da durch Sie genau definiert wird, auf welcher Weise ein bestimmter Befehlssatz vom Prozessor ausgeführt wird. Obwohl gewisse Grundfunktionen Bestandteil eines jeden Prozessors darstellen, wie zum Beispiel arithmetische Operationen, gibt es jedoch von verschiedenen Herstellern unterschiedliche ISA Ansätze. Die aktuell kommerziell erfolgreichste RISC Architektur stammt von der Firma ARM Limited. Es werden jedes Jahr über 30 Milliarden Chips mit einer ARM Architektur produziert. Dabei ist ARM selbst kein Chipproduzent, sondern bietet Chipproduzenten die Prozessorarchitektur samt fertiger Modelle als Lizenz an [3].

Der Befehlssatz ist einer der Hauptmerkmale, durch den eine Architektur charakterisiert wird. Dabei geht es um die genaue Beschreibung, wie Assamblerbefehle in Maschinensprache übersetzt werden. Grundbefehle sind: Transport-, Arithmetische-, Bitweise Logische-, Schiebe-, Rotations-, Einzelbit-, Sprung- und Prozessorsteuerungsbefehle. Bei dem Befehlsformat wird ebenfalls strikt festgelegt, wie OpCodes aufgebaut sein müssen, damit der Maschinenbefehl dekodiert werden kann. Dabei wird die Bitbreite festgelegt, die ein Befehl besitzen muss. Außerdem wird jedem einzelnen Bit in einem vorgegebenen Bitmuster eine Bedeutung zugesprochen, die bei jeder Decodierung in gleicher Weise interpretiert wird.

2.2 RISC-V

Die 2015 gegründete RISC-V Foundation definiert vier verschiedene Befehlssätze, die frei und kostenlos zu Verfügung stehen. Der Ursprung der Initiative ist dem Electrical Engineering and Computer Science Departement an der Universität von California in Berkeley entsprungen. Das Ziel ist es, durch eine offene Kollaboration im Rahmen eines Open-Source Ansatzes die Entwicklung der ISAs voranzutreiben und sowohl für die Wissenschaft als auch für die Industrie frei zugänglich zu machen. Momentan gibt es verschiedene Mitglieder der RISC-V Foundation, die bereits Prozessorkerne und SoCs entwickelt haben und diese sowohl als Hardware als auch als IP Core in verschiedenen Hardware Description Languages (HDLs) zu freien Verfügung stellen [6]. Unterabschnitt 2.2.1 gibt eine Einführung in die RISC-V ISA Thematik und stellt die grundlegenden Spezifikationen der zwei Basis ISAs und deren Erweiterungen kompakt dar. In Unterabschnitt 2.2.2 wird gezielt auf die RV32I Basis ISA sowie auf die Erweiterung für die Multiplikations- und Divisionsbefehle eingegangen. Abschließend wird in Unterabschnitt 2.2.3 die Debug Spezifikation erläutert.

2.2.1 Befehlssätze

Die vier RISC-V Basis ISAs werden durch die folgenden Merkmale charakterisiert: Die Anzahl und die Breite der Integer Register und die Größe des Adressspeichers. Die zwei Hauptarchitekturen sind

die RV32I und die RV64I. Dabei stehen die Buchstaben “RV“ als Kürzel in der Namensgebung für die RISC-V Architektur. Die 32 beziehungsweise 64 steht für die Größe der Register, welche demnach 32 bit bzw. 64 bit entspricht. Das “I“ steht für Integer und bezeichnet die Basis Architektur, auf welche die anderen ISAs aufbauen. Diese wird in Unterabschnitt 2.2.2 ausführlich beschrieben.

Tabelle 2.1: Übersicht der Befehlserweiterungen

Kürzel	Bestimmung
I	Integer Instructions: Basisbefehlssatz für Integer Operationen
Zifencei	Instruction-Fetch Fence: Verwaltung und Synchronisation von Datenzugriff und Befehlszugriff
M	Integer Multiplication and Division: Befehle für die Multiplikation und Division von zwei Integern in 2 Registern
A	Atomic Instructions: Atomare Befehle für die Synchronisation bei Multithreading
Zicsr	Control and Status Register: Separater Adressraum für Control und Status Register
F	Single-Precision Floating-Point: Standard Befehlssatz für die Einfache-Genauigkeit von Gleitkomma Operationen; nach dem IEEE-754-2008 Standard; benötigt Zicsr Erweiterungen
D	Double-Precision Floating-Point: Standard Befehlssatz für die doppelte Genauigkeit von Gleitkomma Operationen; nach dem IEEE-754-2008 Standard; benötigt F Erweiterungen
Q	Quad-Precision Floating-Point: Standard Befehlssatz für die vierfache Genauigkeit von Gleitkomma Operationen; nach dem IEEE-754-2008 Standard; benötigt D Erweiterungen
L	Decimal Floating-Point: Standard Befehlssatz für dezimale Gleitkomma Operationen; nach dem IEEE-754-2008 Standard
C	Compressed Instructions: Erlaubt die Verwendung von 16-bit Befehlen
B	Bit Manipulation: Momentaner Platzhalter für Befehle, welche die Manipulation einzelner Bits durchführen
L	Dynamic Translated Languages: Momentaner Platzhalter für die Unterstützung von dynamischen Programmiersprachen
T	Transactional Memory: Momentaner Platzhalter für die Unterstützung von transaktionalen Speichern
P	Packed-SIMD Instructions: Momentaner Platzhalter für Befehle, die bei Aufruf die gleiche Operation auf viele unterschiedliche Operanden ausführen. (Single Instruction Multiple Data)
V	Vector Operations: Momentaner Platzhalter für die Unterstützung von Vektorbefehlen
N	User-Level Interrupts: Interrupt Handhabung auf User-Level Ebene
Zam	Misaligned Atomics: Unterstützung von falsch gerichteten atomaren Befehlen; benötigt A Erweiterung
Ztso	Total Store Ordering: Erweiterung zum Speichermanagement

Die Basis ISAs verwenden das Zweierkomplement für die Darstellung negativer Integer Zahlen. Grundsätzlich sind die RISC-V Basis ISAs vergleichbar mit denen herkömmlicher RISC Prozessoren,

wobei es zwei wesentliche Unterschiede zu diesen Architekturen gibt. Zum einen sind keine Branch Delay Slots (*Warteplatz*) vorhanden. Zum anderen wird in den RISC-V ISAs die Decodierung von Befehlen unterschiedlicher Bitlänge zugelassen. Die Basis ISAs und deren Befehlssätze sind drauf ausgelegt je nach Anwendungszweck erweitert zu werden. Eine Übersicht der verschiedenen bereits definierten Erweiterungen des RISC-V Basisbefehlssatzes ist in Tabelle 2.1 gegeben. Dabei sind die Standardbefehle von der RISC-V Foundation mit der Zusage definiert worden, dass diese unter allen Umständen unverändert bleiben. Darüber hinaus gibt es Befehle, die von der Foundation reserviert worden sind, allerdings nicht zu dem Standardbefehlssatz gehören. Diese reservierten Bitkombinationen können Nutzer bei Bedarf für die Implementierung individueller Befehle verwenden. Die RV32I stellt die grundlegende Befehlssatzarchitektur dar. Darüber hinaus sind jedoch weitere Zusatzbefehlsformate durch RISC-V definiert, die durch Kürzel gekennzeichnet sind und als Erweiterung der Bezeichnung der RV32I angehängt werden. Ein Beispiel stellt der Befehlssatz RV32IM dar. Das “M“ steht in diesem Fall für die Befehlssatzerweiterung, welche Befehle für die Multiplikation und Division definiert.

2.2.2 Basisbefehlssatz RV32I

In diesem Abschnitt wird der Basisbefehlssatz RV32I und die Befehlssatzerweiterung M beschrieben. Zu Beginn wird der Registersatz erläutert und darauf folgend die definierten Befehle und ihr Format beschrieben.

Allzweckregister

Die Register des RV32I Basisbefehlssatz besitzen eine 32-Bit Breite. Es existieren 32 Register, die durch Zahl x beziffert sind.

Tabelle 2.2: Übersicht der Register (siehe [6], S. 137)

Reg	Verwendung	Reg	Verwendung	Reg	Verwendung
x0	Zero	x11	fun. arguments/return values	x22	saved reg
x1	return addr.	x12	fun. arguments	x23	saved reg
x2	stack pointer	x13	fun. arguments	x24	saved reg
x3	global pointer	x14	fun. arguments	x25	saved reg
x4	thread pointer	x15	fun. arguments	x26	saved reg
x5	alternate link	x16	fun. arguments	x27	saved reg
x6	temporaries	x17	fun. arguments	x28	temporaries
x7	temporaries	x18	saved reg	x29	temporaries
x8	saved reg/frame pointer	x19	saved reg	x30	temporaries
x9	saved reg	x20	saved registers	x31	temporaries
x10	fun. arguments/return values	x21	saved reg	pc	temporaries

Zusätzlich ist der Programmzähler als Spezialregister definiert. In Tabelle 2.2 sind die Register und deren bevorzugte Verwendung aufgelistet. Von den 33 Registern ist nur das Register x0 und der programm counter (*Programmzähler*) mit einer festen Funktion versehen. Die restlichen Register können als Allzweckregister genutzt werden. Das Register x0 hat den festen Wert Null, da alle Bits zu jeder Zeit auf Null gesetzt sind. Als Konvention für eine bessere Software-Kompatibilität haben sich die in Tabelle 2.2 angegebenen Funktionen für alle weiteren Register ergeben.

Befehlsformate

Der Basisbefehlssatz definiert sechs verschiedene Befehlsformate, die eine feste Kodierung für alle 32 Bits festlegen. Es werden Befehlsformate vom Typ R-, I-, S-, B-, U- und J unterschieden. Dazu kommen Speicherorganisations- und System-Befehle. Im Folgenden werden die Formate und deren Kodierung beschrieben. Dabei werden einzelne Bits bzw. Bit-Vektoren mit $\text{inst}[\text{Bit bzw. Bit:Bit}]$ gekennzeichnet. Obwohl die sechs Formate verschieden kodiert werden, besitzen alle Formate einen OpCode. Der OpCode befindet sich immer in den niederwertigsten sieben Bits und beinhaltet die Information, welche Operation ausgeführt werden soll. Dabei sind die zwei niederwertigsten Bits des Basisbefehlssatzes immer auf den Wert eins bzw. $\text{inst}[1:0] = 11$ gesetzt. Die restlichen fünf Bits entsprechen jeweils einer bestimmten Operation. So entspricht beispielsweise der Lade-Befehl LOAD dem OpCode $\text{inst}[6:0]=0000011$.

Im R-Typ Format werden Operationen und Berechnungen definiert, welche zwei Register als Quelle für Operanden verwenden. In Abbildung 2.2 ist das Befehlsformat R-Typ dargestellt.

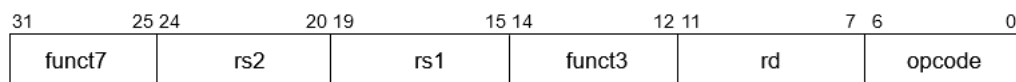


Abbildung 2.2: R-Type Befehlsformat

Tabelle 2.3: R-Typ Befehlsübersicht

Mnemonic	Bedeutung	Operation	funct3	funct7
ADD	Addition	$\text{rd} := \text{rs1} + \text{rs2}$	000	0000000
SLT	Signed Compare	$\text{rd} := 1, \text{ if } \text{rs1} < \text{rs2}$	010	0000000
SLTU	Unsigned Compare	$\text{rd} := 1, \text{ if } \text{rs1} < \text{rs2}$	011	0000000
AND	Bitwise Logical	$\text{rd} := \text{rs1} \& \text{rs2}$	111	0000000
OR	Bitwise Logical	$\text{rd} := \text{rs1} \text{rs2}$	110	0000000
XOR	Bitwise Logical	$\text{rd} := \text{rs1} \text{ xor } \text{rs2}$	100	0000000
SLL	Logical Left Shift	$\text{rd} := \text{rs1} \ll (\text{value of } \text{rs2})$	001	0000000
SRL	Logical Right Shift	$\text{rd} := \text{rs1} \gg (\text{value of } \text{rs2})$	101	0000000
SUB	Subtraction	$\text{rd} := \text{rs1} - \text{rs2}$	000	0100000
SRA	Arithmetic Right Shift	$\text{rd} := \text{signed } \text{rs1} \gg (\text{value of } \text{rs2})$	101	0100000

Der OpCode für R-Typ Befehle ist auf den Wert $OP=0110011$ festgelegt. Daneben besitzen die Bitfelder $funct7=[31:25]$ und $funct3=[14:12]$ die Aufgabe verschiedene Operationen zu definieren. Die Register, aus denen die Operanden entnommen werden, sind in den Bitfeldern $rs2=[24:20]$ und $rs1=[19:15]$ festgelegt. Das Zielregister wird im Bitfeld $rd=[11:7]$ festgelegt. Tabelle 2.3 gibt eine Übersicht auf R-Typ Befehle in Korrelation zu den entsprechenden mnemonischen Codes. Bei diesen Operationen wird ein Overflow (*Überlauf*) nicht beachtet. Bei der Addition und der Subtraktion werden die untersten 32 bits des Ergebnisses in das Zielregister geschrieben. Eine Besonderheit ist die Vergleichsoperation SLTU, die ohne Beachtung des Vorzeichens durchgeführt wird. Wenn Mithilfe dieser Operation das Nullregister $x0$ mit einem zweiten Register $rs2$ verglichen wird, wird eine logische Eins in das Zielregister geschrieben, wenn $rs2$ ungleich Null ist. Ist andererseits $rs2$ gleich Null, dann wird das Zielregister ebenfalls auf Null gesetzt.

Der I-Typ definiert Integer Operationen zwischen einer Konstanten und einem Register $rs1$. Dabei umfasst die Größe der Konstanten zwölf Bits $imm[31:20]$. Die Operationen sind den R-Typ Operationen sehr ähnlich, mit der einzigen Ausnahme, dass bei den I-Typ Operationen statt auf ein zweites Register, auf eine Konstante als Operand zurück gegriffen wird. In Abbildung 2.3 ist das I-Typ Befehlsformat ohne Verschiebungsoperationen dargestellt. Für Schiebeoperationen wird ein eigenes Befehlsformat verwendet, welches starke Ähnlichkeit zu den R-Typ Operationen besitzt (siehe Abbildung 2.4).

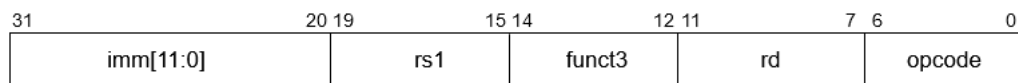


Abbildung 2.3: I-Typ Befehlsformat für Integer Berechnungen aus Register und Konstante

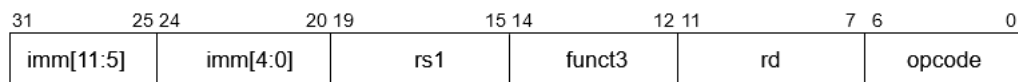


Abbildung 2.4: I-Typ Befehlsformat für Shift-Operationen aus Register und Konstante

Der OpCode für I-Typ Operationen ist auf den Wert 0010011 festgelegt. Die Bitfelder $rs1$, $funct3$, rd und OpCode besitzen dieselbe Funktion wie bei R-Typ Operationen. Die Konstante umfasst zwölf Bits $imm[11:0]$. Bei Shift-Operationen werden die niederwertigsten fünf Bits $imm[4:0]$ für die Anzahl der Verschiebungen genutzt. Während die niederwertigsten sieben Bits $imm[11:5]$ einem Bitmuster entsprechen, welches für die jeweilige Operation fest definiert ist. Die Operation ADDI ignoriert analog zur ADD Operation den Überlauf einer Berechnung zwischen der Konstanten und dem Registerwert $rs1$. Dabei werden in gleicher Weise nur die 32 niederwertigsten Bits des Resultats im Zielregister rd abgespeichert. Eine Besonderheit dieses Befehls besteht darin, dass der Befehl der Datenverschiebung (Mnemonisch: MV) von einem Register in ein anderes eine virtuelle Instruktion darstellt, welche durch den Befehl ADDI rd, rs implementiert wird. Die Nulloperation

(Mnemonisch: NOP) stellt eine weitere virtuelle Instruktion dar, welche ebenfalls mit Hilfe des ADDI Befehls in der Form ADDI x0, x0, 0 implementiert wird. Eine weitere Besonderheit ist im Zusammenhang mit Logik-Operationen zu finden. Die Inversion eines Registers ist als virtueller Instruktion NOT möglich, welche dem Befehl XORI rd, rs1, -1 entspricht. Befehle für das Laden von Daten aus dem Speicher (Mnemonisch: LOAD) sind ebenfalls im I-Typ Format definiert.

Tabelle 2.4: I-Typ Befehlsübersicht

Mnemonic	Bedeutung	Operation	funct3	funct7
ADDI	Addition	$rd := rs1 + imm$	000	-
SLTI	Signed Compare	$rd := 1, \text{ if } rs1 < imm$	010	imm
SLTIU	Unsigned Compare	$rd := 1, \text{ if } rs1 < imm$	011	imm
ANDI	Bitwise Logical	$rd := rs1 \& imm$	111	imm
ORI	Bitwise Logical	$rd := rs1 imm$	110	imm
XORI	Bitwise Logical	$rd := rs1 \text{ xor } imm$	100	imm
LLI	Logical Left Shift	$rd := rs1 \ll (\text{value of}) imm$	001	0000000
SRLI	Logical Right Shift	$rd := rs1 \gg (\text{value of}) imm$	101	0000000
SRAI	Arithmetic Right Shift	$rd := \text{signed } rs1 \gg (\text{value of}) imm$	101	0100000
NOP	Zero operation	=ADDI x0, x0, 0	-	-
LW	Load word	$rd := 32\text{-bit-value at address of } rs1$	010	imm
LH	Load halfword	$rd := 16\text{-bit-value at address of } rs1$	001	imm
LB	LoadByte	$rd := 8\text{-bit-value at address of } rs1$	000	imm
LBU	Load word	$rd := 32\text{-bit-value at address of } rs1$	100	imm
LHU	Load word	$rd := 32\text{-bit-value at address of } rs1$	101	imm
JALR	Jump and link register	<i>siehe Beschreibung S.14</i>	000	imm

Im Gegensatz zu Speicherbefehlen, die mit dem S-Typ ein eigenes Format besitzen und in einem separaten Abschnitt beschrieben werden. Es sind unterschiedliche Ladebefehle definiert, welche alle einen OpCode mit dem Wert 0000011 besitzen. Bei Ladebefehlen gibt das Register rs1 die Speicheradresse an, welche mit einen vorzeichenbehafteten 12-Bit Offset imm[11:0] verknüpft werden kann. Beim LW Befehl wird ein 32-Bit Datenwort von der entsprechenden Speicheradresse geladen und in das Zielregister rd geschrieben. Bei den Befehlen LH und LB werden jeweils die niederwertigsten 16-Bits bzw. 8-Bits geladen. Der LHU Befehl lädt ein 16-Bit Halbwort und führt durch eine Auffüllung des Registers mit Nullen eine Erweiterung auf die volle 32 Bit Datenwortbreite durch. In gleicher Weise wird bei Nutzung des LBU Befehls das ausgelesene Byte Nullen auf die volle Datenwortbreite aufgefüllt. Der JALR Befehl entspricht einem unbedingten Sprungbefehl, welcher durch den OpCode 1101011 kenntlich gemacht wird. Die Adresse wird durch die folgende Rechenvorschrift festgelegt. Der Befehls-Code des Sprungbefehls enthält eine vorzeichenbehaftete Konstante in einer Zweierkomplement Darstellung. Diese Konstante wird mit dem Wert aus Register rs1 addiert und anschließend das niederwertigste Bit auf Null gesetzt. Das Resultat wird als Sprungadresse des nächsten Befehls in das Zielregister rd geschrieben.

In der RISC-V Architektur werden drei verschiedene Speicherbefehle definiert, welche im S-Typ

formatiert sind. Der OpCode dieser Befehle entspricht dem Wert 0100011. In Abbildung 2.5 ist das Befehlsformat abgebildet. Das Register rs2 enthält dabei den Wert, der in den Datenspeicher geschrieben werden soll. Dabei wird aus dem Wert in Register rs1 und dem vorzeichenbehafteten Offset $imm[11:5]+imm[4:0]$ die Zieladresse ermittelt. In die adressierte Speicherstelle wird je nach verwendetem Befehl entweder ein word, halfword oder Byte geschrieben.

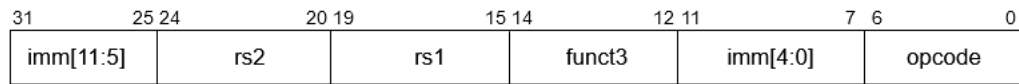


Abbildung 2.5: S-Type Befehlsformat

Tabelle 2.5: S-Typ Befehlsübersicht

Mnemonic	Bedeutung	Operation	funct3
SW	Store word	Store rs2 in Address(rs1+Offset)	010
SH	Store halfword	Store rs2[15:0] in Address(rs1+Offset)	001
SB	Store Byte	Store rs2[7:0] in Address(rs1+Offset)	000

Dabei werden immer die niederwertigsten Bits des in rs2 festgelegten Registers gespeichert. In Tabelle 2.5 wird ein Überblick auf verschiedene Adressierungsbefehle und ihre Eigenschaften gegeben.

Bei den Befehlen des B-Typ handelt es sich um bedingte Sprungbefehle. In Abbildung 2.6 ist das Befehlsformat dargestellt, wobei die definierten Bitfelder, den folgenden Einfluss auf die Ausführung des Sprunges besitzen.

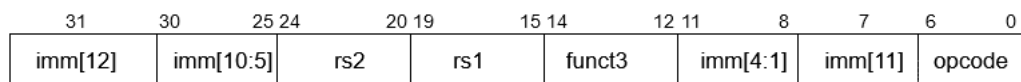


Abbildung 2.6: B-Typ Befehlsformat für bedingte Sprungbefehle

Tabelle 2.6: B-Typ Befehlsübersicht

Mnemonic	Bedeutung	Operation	funct3
SW	Store word	Store rs2 in Address(rs1+Offset)	010
SH	Store halfword	Store rs2[15:0] in Address(rs1+Offset)	001
SB	Store Byte	Store rs2[7:0] in Address(rs1+Offset)	000

Der OpCode für bedingte Sprungbefehle entspricht dem Wert 1100011. Die vorzeichenbehaftete Konstante *imm* mit 12-Bit Breite wird zur aktuellen Adresse des Sprungbefehls addiert, um die Zieladresse zu erhalten. Als Bedingung für die Ausführung eines Sprungbefehls werden die in den Bitfeldern rs1 und rs2 festgelegten Register miteinander verglichen. Das Ergebnis des Vergleiches

legt fest, ob der Sprungbefehl ausgeführt wird oder nicht. Es existieren sechs verschiedene bedingte Sprungbefehle, welche in Tabelle 2.6 gelistet und beschrieben werden. Der Befehl BEQ führt einen Sprungbefehl durch, wenn rs1 und rs2 gleich sind. Bei dem Befehl BNE wird ein Sprungbefehl ausgeführt, wenn dies nicht der Fall ist. Daneben bieten die Befehle BLT bzw. BLTU noch die Möglichkeit zu prüfen, ob rs1 kleiner als rs2 ist, und zwar unter Berücksichtigung bzw. ohne Berücksichtigung des Vorzeichens. Weiterhin kann auch die gegenteilige Überprüfung durchgeführt werden. Dies geschieht unter Verwendung der BGE und BGEU Befehlen.

U-Typ Befehle werden für die Bildung von Variablen verwendet. Im Vergleich zu den anderen Typen existieren in diesem Format viel weniger Befehle. In Abbildung 2.7 ist das Befehlsformat abgebildet und in Tabelle 2.7 wird eine Übersicht über gängige U-Typ Befehle gegeben.

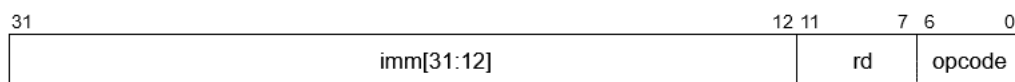


Abbildung 2.7: U-Typ Befehlsformat für das Laden von Konstanten

Tabelle 2.7: U-Typ Befehlsübersicht

Mnemonik	Bedeutung	Operation	OpCode
LUI	Load upper immediate	$rd := imm[31 : 12] + [(11 : 0) = 0]$	0110111
AUIPC	Add upper immediate to pc	$rd := (imm[31 : 12] + [(11 : 0) = 0]) + pc$	0010111

Der LUI Befehl kreiert eine 32-Bit Konstante. Dabei entsprechen die 20 hochwertigsten Bits des Befehlsformats `imm[31:12]` Konstanten, welche mit der gleichen Wertigkeit in das Zielregister `rd` geschrieben werden. Die niederwertigsten 12 Bits werden mit Nullen befüllt. Der AUIPC Befehl ist für die Verarbeitung des Programmzählers verantwortlich. Analog zum LUI Befehl wird das gleiche Bitfeld des Befehlsformats als Konstante verwendet. Allerdings entspricht diese Konstante einem Offset, um den die aktuelle Adresse des Programmzählers geändert und anschließend in das Zielregister `rd` geschrieben wird.

Das Befehlsformat J-Typ definiert einen unbedingten Sprungbefehl JAL. Das Befehlsformat ist in Abbildung 2.8 dargestellt. Neben dem JAL Befehl gibt es auch den JALR als unbedingten Sprungbefehl, der allerdings im I-Typ Format definiert ist. Die im Befehl definierte 12 bit Konstante ist im Zweierkomplement codiert und wird auf die momentane Befehlsadresse addiert, um zur gewünschten Zieladresse zu gelangen. Gleichzeitig wird im Zielregister `rd` die Rücksprungadresse ($pc + 4$) gespeichert. In Tabelle 2.8 ist dieser Befehl noch einmal zusammengefasst.

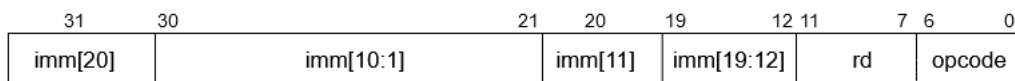


Abbildung 2.8: J-Typ Befehlsformat für unbedingte Sprungbefehl

Tabelle 2.8: J-Typ Befehlsübersicht

Mnemonic	Bedeutung	Operation	OpCode
JAL	Jump and link	$rd := pc + 4$	1101111

Die Systembefehle verwalten den Zugang zu Systemfunktionen und sind ebenfalls im I-Typ definiert. Dabei werden zwei verschiedene Kategorien differenziert: Zum einen die Befehle, die automatisch die Status- und Kontrollregister schreiben und alle anderen exklusiven Befehlen, wie beispielsweise ECALL und EBREAK. Die Control and Status Register (CSR)-Befehle sind Teil des Zicsr Zusatzformates. Die beiden genannten Befehle sind in Tabelle 2.9 dargestellt.

Tabelle 2.9: System-Befehlsübersicht

Mnemonic	Bedeutung	funct3
ECALL	service request to execution environment	000
EBREAK	return control to debug environment	000

Der OpCode für diese Befehle besitzt den Wert 1110011. Die beiden Bitfelder $rs1$ und rd werden dabei mit Nullen beschrieben, genau wie das Bitfeld $funct3=000$. Der einzige Unterschied zwischen den beiden Befehlen liegt im Bitfeld $imm[11:0]$, das beim ECALL Befehl den Wert 000000000000, und beim EBREAK den Wert 000000000001 annimmt. Der ECALL Befehl bewirkt einen Austausch zwischen der ausführenden Umgebung des Programms. Der EBREAK Befehl wird zu Debugging-Zwecken verwendet.

Befehlssatzerweiterung M

Die Befehlssatzerweiterung M umfasst Multiplikations- und Divisionsbefehle. Die Zielarchitektur RV32IM besteht aus dem Basisbefehlssatz und dieser Befehlserweiterung. Dabei werden zwei Register $rs1$ und $rs2$ als Operanden verwendet, während das Ergebnis in das Zielregister rd geschrieben wird. In Abbildung 2.9 ist das Befehlsformat dargestellt und in Tabelle 2.10 sind die Multiplikations- und Divisionsbefehle gelistet.

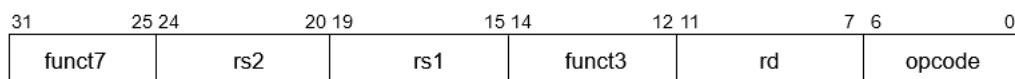


Abbildung 2.9: M-Befehlsformat für Multiplikation und Division

Die Multiplikation von zwei 32-Bit breiten Registern führt zu einem 64-Bit breiten Datenwort. Für die Speicherung der niederwertigsten 32 Bit wird der Befehl MUL verwendet. Alle weiteren Befehle speichern die höherwertigen 32 Bit in das Zielregister. Dabei wird unterschieden, ob die Datenworte in den beiden Registern vorzeichenbehaftet sind. Dies wird in Tabelle 2.10 verdeutlicht.

Tabelle 2.10: M-Befehlsübersicht

Mnemonic	Bedeutung	Operation	funct3
MUL	Multiplication Low	$rd := \text{Lower32Bitsof}(rs1xrs2)$	000
MULH	Multiplication High signedxsigned	$rd := \text{High32Bitsof}(rs1xrs2)$	001
MULHU	Multiplication High unsignedxunsigned	$rd := \text{High32Bitsof}(rs1xrs2)$	011
MULHSU	Multiplication High signedxunsigned	$rd := \text{High32Bitsof}(rs1xrs2)$	010
DIV	Division signed	$rd := r1/r2$	100
DIVU	Division unsigned	$rd := r1/r2$	101
REM	Reminder signed	$rd := r1/r2$	110
REMU	Reminder unsigned	$rd := r1/r2$	111

Bei der Division ist das Register rs1 der Dividend und rs2 der Divisor, wobei das Ergebnis abgerundet und in das Zielregister rd geschrieben wird. Die hochwertigsten sieben Bits besitzen bei allen Befehlen den Wert funct7=0000001. Der OpCode ist ebenfalls bei allen Befehlen dieser Erweiterung identisch und besitzt den Wert 0110011. Durch die drei Bits des funct3 Bitfeldes werden die Befehle unterschieden. Bei der Division zweier Registerwerte mit Speicherung des Quotienten wird für vorzeichenbehaftete Registerwerte der Befehl DIV und für nicht vorzeichenbehaftete Registerwerte der Befehl DIVU verwendet. Die Befehle REM und REMU speichern den Divisionsrest derselben Operation. Sind beide Werte für eine Division als Ergebnis gewünscht, müssen beide Instruktionen nacheinander ausgeführt werden. Sonderfälle bei Divisionsbefehlen entstehen beispielsweise bei einer Division durch Null. Wird ein Register durch Null dividiert, entspricht der Quotient dem Wert 0xffffffff und der Rest entspricht dem Dividenden. Desweiteren kann ein Overflow auftreten, wenn bei der vorzeichenbehafteten Division die kleinst mögliche Zahl durch -1 dividiert wird. Dies entspricht bei 32-Bit Registerbreite der Operation: $(-2147483648)/(-1)$. Bei dieser Division entspricht der Quotient dem Dividenden, während der Rest Null beträgt.

2.2.3 Debug Spezifikation

Über die Debugschnittstelle können alle Register gelesen, die schreibbaren Register beschrieben und der Speicherinhalt des RISC-V Prozessors abgerufen werden. Der genaue Aufbau einer Debug Kette ist in Abbildung 2.10 dargestellt. Das Debug System besteht aus drei verschiedenen Hardware-Einheiten. Die erste Komponente ist die implementierte RISC-V Hardware. Desweiteren wird ein JTAG Adapter als Schnittstelle zwischen dem Debug Anwender und der RISC-V Hardware eingesetzt. Der Debug Anwender nutzt eine Rechereinheit, auf der zwei Software-Komponenten ausgeführt werden. Zum einen den Debugger, der die Debug Informationen des Nutzers auswertet, und zum anderen den Debug Übersetzer, der die Debug-Informationen an den JTAG Adapter sendet. Das Debug Transport Module (DTM) Modul entspricht der JTAG Schnittstelle und ist im folgendem Abschnitt näher beschrieben. Dieses Modul kommuniziert mit dem Debug Module Interface (DMI), welches gemäß der RISC-V Spezifikation notwendige und optionale Funktionalitäten vorweisen muss und in Abschnitt 3.1.4 beschrieben ist.

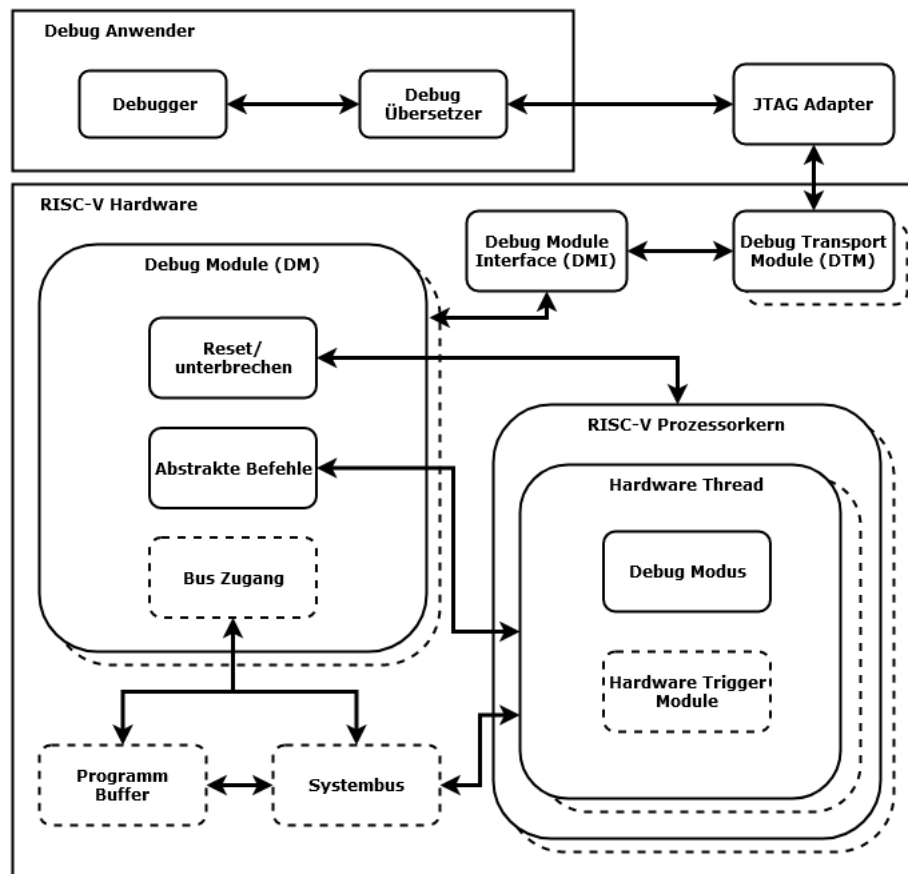


Abbildung 2.10: RISC-V Debug System Überblick [7]

Im vorliegenden Design wird das DMI und das Debug Module (DM) des Prozessorkerns im `raifef_debug_modul` zusammengefasst. Das DM verfügt über Zugriff auf alle Registers des Prozessors. Ein Zugriff auf die Busstruktur ist optional und für das vorliegende Design nicht implementiert.

Debug Transport Modul

Das DTM Modul ist der Knotenpunkt zwischen dem externen JTAG Adapter und dem DMI und entspricht dem in Abschnitt 2.3 beschriebenen JTAG Test Access Port (TAP). Pro Prozessorkern bzw. pro DM sollte nur ein DTM implementiert sein. Ein paralleler Betrieb von mehreren DTMs ist nicht zulässig. Im vorliegenden Design wird bei einem Zugriff zuerst das Instruktionsregister (IR) mit einer Zieladresse des zu lesenden bzw. zu schreibenden Datenregister (DR) beschrieben. Dabei hat das IR eine Breite von 5-Bits. Die aktuell implementierten DRs und deren Eigenschaften sind in Tabelle 2.11 gelistet. Dabei wird momentan nur das Register DMI genutzt.

Tabelle 2.11: DTM DR Register

Adresse	Breite	Name	Beschreibung
0x01	32	IDCODE	Identifikationsnummer des Geräts
0x10	32	DTM	Steuerung des DTMs
0x11	40	DMI	Daten für das DMI

Das IDCODE Register wird gesetzt, wenn der JTAG TAP zurückgesetzt wird und ist ein reines Leseregister. Mit dem Register DTM wird das DTM Modul gesteuert. Eine Übersicht über dieses Register ist in Abbildung 2.11 gegeben. Die höherwertigen 14 Bits [31:18] und das Bit 15 haben den Wert Null. Das Bit 17 `dmihardreset`, wird auf eins gesetzt, falls das DTM hart zurückgesetzt und nachfolgende DMI Übertragungen verworfen werden sollen. Dieses Bit wird nur dann gesetzt, wenn sicher ist, dass die angesprochenen DMI Transaktionen nicht beendet werden. Das Bit 16 `dmireset` hebt bei einem Wert von eins einen Fehlerzustand auf und versucht die letzte Transaktion des DMIs zu wiederholen.

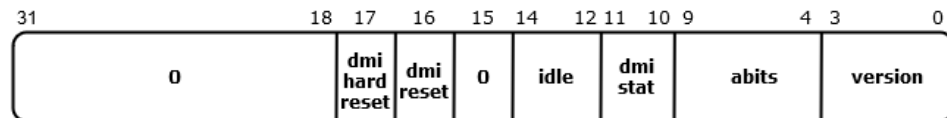


Abbildung 2.11: DTM DTM Register [7]

Das Bitfeld `idle` [14:12] gibt die minimale Anzahl an Takten an, in denen der Debugger im Zustand Run-Test/Idle des JTAG TAPs verharren soll, ohne einen Zustands-Code `busy` mit dem Wert eins in das Bitfeld `dmistat` zu schreiben. Wenn der Wert Null im Register steht, wird angezeigt, dass der Zustand Run-Test/Idle nicht angenommen werden soll. Bei einem Wert von eins wird der Zustand Run-Test/Idle für einen Takt angenommen und danach wieder verlassen. Bei einem Wert von `0x2` wird der Zustand angenommen und für einen weiteren Takt beibehalten. Eine Inkrementierung des Wertes bedeutet eine Erhöhung der Verweildauer im Run-Test/Idle Zustand. Das `idle` Bitfeld ist ein reines Lesebitfeld und nimmt bei einem Reset die Voreinstellung an.

Das Bitfeld `dmistat` ist ein Schreibregister und kann vier verschiedene Werte annehmen. Bei einem Reset nimmt es den Wert `0x0` an. Dieser Wert signalisiert den fehlerfreien Zustand des DMI. Die Werte `0x1` und `0x2` geben Fehlerzustände an, bei denen Operationen nicht erfolgreich waren. Der Wert `0x3` gibt an, dass ein Versuch unternommen wurde, obwohl das DMI noch in Benutzung war. Das Bitfeld `abits` ist ebenfalls ein Schreibregister und gibt die Bitbreite der DMI Adressen an, die im vorliegenden Design sieben Bit beträgt. Beim Zurücksetzen wird das Bitfeld mit dem Wert sieben beschrieben, wobei nur das Bitfeld `dmistat`[11:10] auf den Wert Null gesetzt werden muss. Das letzte Bitfeld `version`[3:0] kann drei verschiedene Werte annehmen, welche Auskunft über die Version der Implementierung des DTMs geben. Der Wert eins steht für die Implementierung nach der RISC-V Spezifikation 0.11 und der Wert zwei für die Implementierung nach der Version 0.13, welche momentan die aktuellste ist. Bei einem Wert von `0xF` entspricht die implementierte Version keiner der offiziellen Spezifikationen.

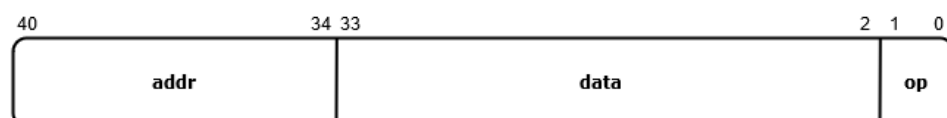


Abbildung 2.12: DTM DMI Register [7]

Das Debug Module Interface Access Register DMI ermöglicht dem DTM den Zugang zum DMI und wird für den Test des Design verwendet. Eine Übersicht des Registers ist in Abbildung 2.12 aufgeführt. Bei einem Reset werden alle Bits auf den Wert Null gesetzt. Das Bitfeld op [1:0] gibt an, ob ein Lese- oder Schreibzugriff ausgeführt wird. Das Bitfeld data [33:2] entspricht den Daten, die an das DMI weitergeleitet bzw. von dem DMI gelesen werden sollen. Das Bitfeld address [abits+33:34] gibt die Adresse des DMI Zielregisters an und hat im vorliegenden Design eine Bitbreite von sieben Bits. Wie genau die Schaltungslogik für das vorliegende Design aufgebaut ist, wird in Abschnitt 3.1.4 beschrieben.

2.3 JTAG IEEE Standard 1149.1-2001

Der IEEE Standard 1149.1-2001 definiert die JTAG Funktionalität, durch deren Implementierung das Lesen und Schreiben von Daten einer zu testenden Hardware-Logik-Einheit möglich macht. Dazu werden zwei spezielle Register implementiert, die als Schnittstelle zwischen externer JTAG Hardware und der zu untersuchenden Hardware dienen. Diese Register sind zum einen das Befehls- bzw. IR und zum anderen das Daten- bzw. DR Register.

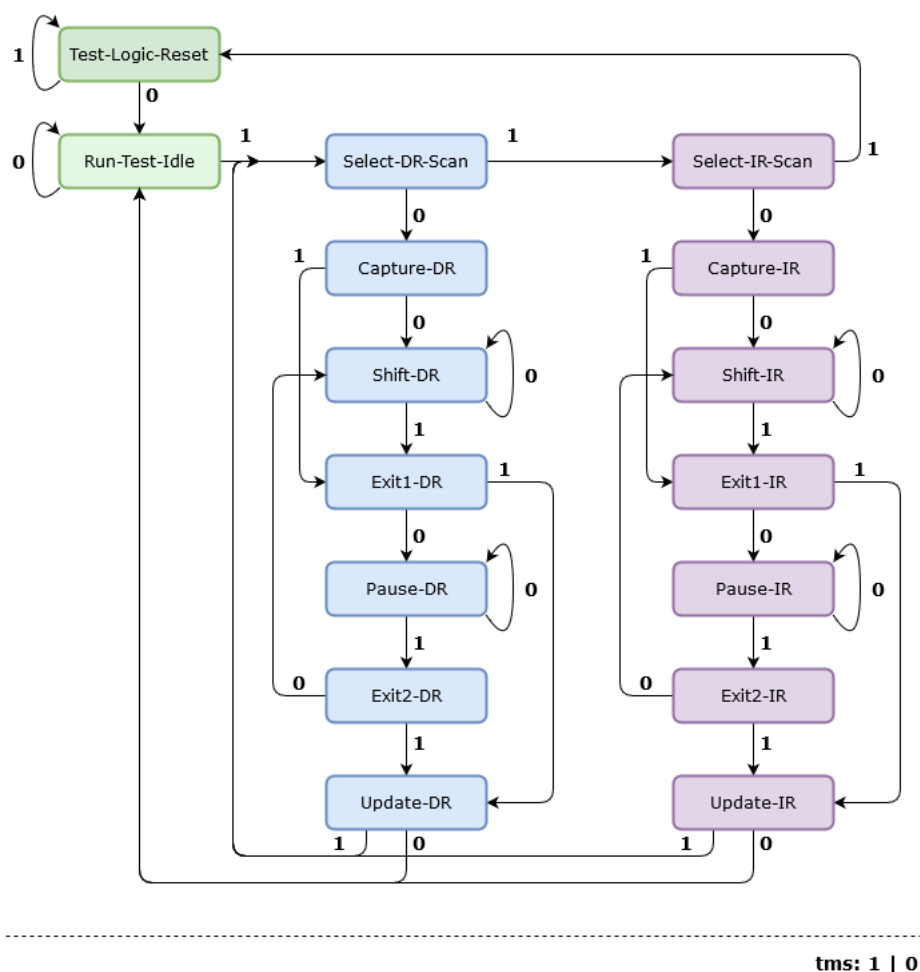


Abbildung 2.13: JTAG TAP Zustandsmaschine nach IEEE 1149.1-2001 [8]

Der Zugriff auf diese Register wird durch den TAP gesteuert. Dieser ist in Abbildung 2.13 als Zustandsmaschine dargestellt. Dabei beinhaltet das IR Steuerinformationen für den TAP und das DR Lese- oder Schreibdaten von bzw. für die Test-Hardware. Der TAP wird über die Signale *tck*, *tms*, *tdi* und *tdo* angesteuert. Hierbei entspricht das Signal *tck* dem Prüftakt, mit welchem die anderen Signale synchronisiert werden. Durch das Signal *tms*, der Testmodusauswahl, wird der TAP gesteuert und ist in Abbildung 2.13 als Dezimalzahl dargestellt. Über das Ein- bzw. Ausgangssignal, *tdi* bzw. *tdo*, werden die Daten seriell geschrieben bzw. gelesen.

Um Daten in das IR zu schreiben, muss die Zustandsmaschine in den Zustand Shift-DR gesetzt werden. Da sich der TAP initial im Zustand Run-Test-Idle befindet, muss pro JTAG Takt *tck* das Signal *tms* nacheinander auf folgende Wertekombination gesetzt werden: 0,1,0. Solange das Signal *tms* nicht auf den Wert eins gesetzt wird, ändert sich der Zustand nicht und Daten können entweder über das Signal *tdi* geschrieben oder über das Signal *tdo* gelesen werden. Nachdem die Daten geschrieben worden sind, muss durch die Kombination 1011 das Register aktualisiert werden. Danach kann entweder wieder in den Anfangszustand oder in den Zustand Select-DR-Scan gesprungen werden [8].

3 RISC-V RV32IM auf RTL Ebene

In diesem Kapitel wird der Raifes Kern und die Implementierung des Caecos auf RTL Ebene analysiert und beschrieben. Das Verständnis der Architektur des Prozessors ist für die Implementierung notwendig, da der Caeco die eigentliche Prozessorstruktur nicht einschränken, sondern ergänzen soll. Dafür werden besondere Mechanismen, wie z.B. die Interrupt-Logik oder der Datentransport zu den Peripheriegeräten untersucht. Im Abschnitt 3.1 wird die Architektur des Prozessors anhand der HDL Dateien beschrieben. Im darauf folgenden Abschnitt 3.2 wird die Implementierung des Caecos im Detail anhand von Code-Ausschnitten erläutert.

3.1 RISC-V RV32IM Prozessorarchitektur

Der Raifes Kern basiert auf dem vScale-Project, einem frei verfügbaren RISC-V RV32IM Prozessorkern in Verilog. Das vScale Projekt ist als Verilog-Version des in Berkeley entwickelten zScale RV32IM Prozessors mit dem Ziel entstanden, als kleiner und leistungsfähiger Prozessor dem ARM Cortex-M0 Konkurrenz zu machen. Die Bus-Architektur basiert auf der von ARM entwickelten Advanced Microcontroller Bus Architecture (AMBA) und Advanced High-Performance Bus (AHB)-Lite Spezifikation, die allerdings unter RISC-V als Highly Advanced System Transport Interface (HASTI) bezeichnet werden [9]. Die Prozessor- bzw. Systemarchitektur ist in Abbildung 3.1 grafisch dargestellt.

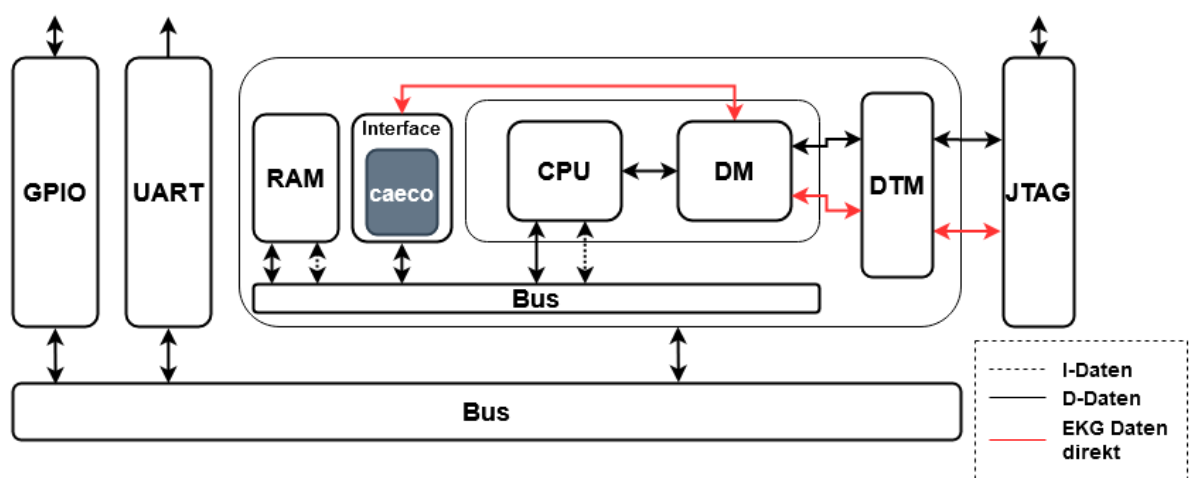


Abbildung 3.1: RV32IM Systemarchitektur

Der Prozessor verfügt über eine JTAG- und eine UART Schnittstelle und diverse General Purpose Input/Outputs (GPIOs). Die UART Schnittstelle ist unidirektional und wird zum Senden von Daten verwendet. Die GPIOs umfassen im Zuge dieser Arbeit nur eine Signal-LED, durch die die Aktivität des Caecos angezeigt wird. Über die bidirektionale JTAG Schnittstelle werden einerseits sowohl die Programmdateien des Prozessors, als auch die EKG Daten für den Caeco geschrieben, andererseits wird die Schnittstelle zum Testen und damit zum Auslesen von Registerwerten verwendet. Um die Verbindung nutzen zu können, ist das DTM notwendig, welches den JTAG TAP beschreibt. Wie bereits in Abschnitt 2.2.3 beschrieben, beinhaltet das DM das RISC-V DMI und das Debug Modul für den Prozessorkern, wodurch der Datenaustausch organisiert wird. Der Caeco wird über das Caecointerface instantiiert und als weiterer Peripheriebaustein in die Architektur hinzugefügt. Als Speicher für die Instruktionen und der Daten dient ein Xilinx IP True Dual Port Random Access Memory (RAM). Ein Überblick über alle HDL Dateien und deren Gliederung ist in Abbildung 3.2 gegeben. Die in der Beschreibung verwendeten Signal- und Registernamen entsprechen den Bezeichnungen aus dem Verilog-Design.

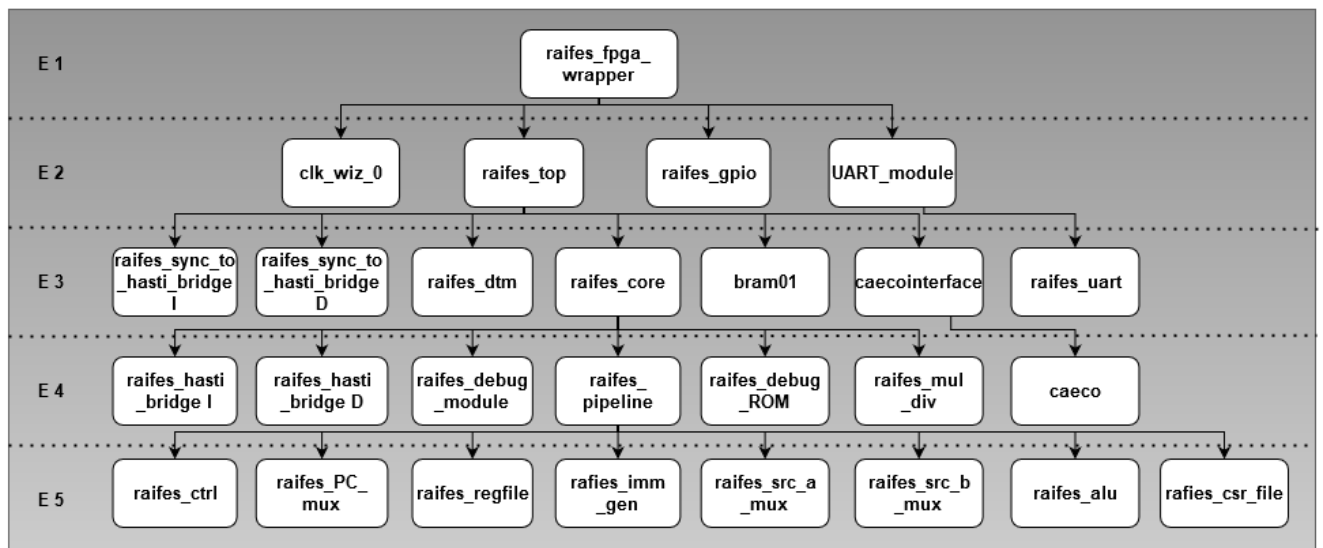


Abbildung 3.2: Gesamtprojektübersicht der Verilogmodule

Das Top-Modul `raifes_fpga_wrapper` bildet die oberste Hierarchie Ebene (E 1) und instantiiert vier Untermodule. Dabei wird der Systemtakt von 100 MHz des externen Oszillator durch den Xilinx IP Clock Wizard auf 25 MHz geteilt. Die Module `UART_module` und `raifes_uart` sind für die Modellierung der UART Schnittstelle zuständig und werden in Unterabschnitt 3.1.1 detailliert beschrieben. Das Modul `raifes_top` stellt den Hauptbestandteil des Entwurfs dar und instantiiert den größten Teil der restlichen Module. Auf der Ebene E 3 wird der Prozessorkern als Instanz des Moduls `raifes_core` eingebunden. Auf der gleichen Ebene befindet sich noch eine Instanz des Speichers `bram01`, welche in Unterabschnitt 3.1.3 beschrieben wird, das DTM als Instanz des Moduls `raifes_dtm`, das in Unterabschnitt 3.1.4 beschrieben wird, ein Teil der Busstruktur in den Instanzen der Module `raifes_sync_to_hasti_bridge_I/D`, die in Unterabschnitt 3.1.2 erläutert werden, und die Caeco-Schnittstelle als Instanz des Moduls `caecointerface`, welches in dieser Arbeit

entwickelt wird und den Caeco instantiiert. In den Ebenen E 4 und E 5 befinden sich ausschließlich Komponenten des Prozessorkerns und dessen interner Busstruktur, was in Unterabschnitt 3.1.5 genauer beschrieben wird. Eine Übersicht über die gesamte Prozessorstruktur auf RTL Ebene ist im Anhang B zu finden.

3.1.1 Die UART Schnittstelle

Die UART Schnittstelle dient der seriellen Übertragung von Daten, die vom Prozessor an ein externes Geräten gesendet werden. Dabei beträgt die Übertragungsgeschwindigkeit bei einem Systemtakt von 25 MHz 115200 Baud. Es werden ein Startbit, acht Datenbits und zwei Stop-Bits übertragen. Die Signalübersicht bezüglich des übergeordneten Moduls UART_module und des instantiierten Moduls raifes_uart sind in Abbildung 3.3 gegeben.

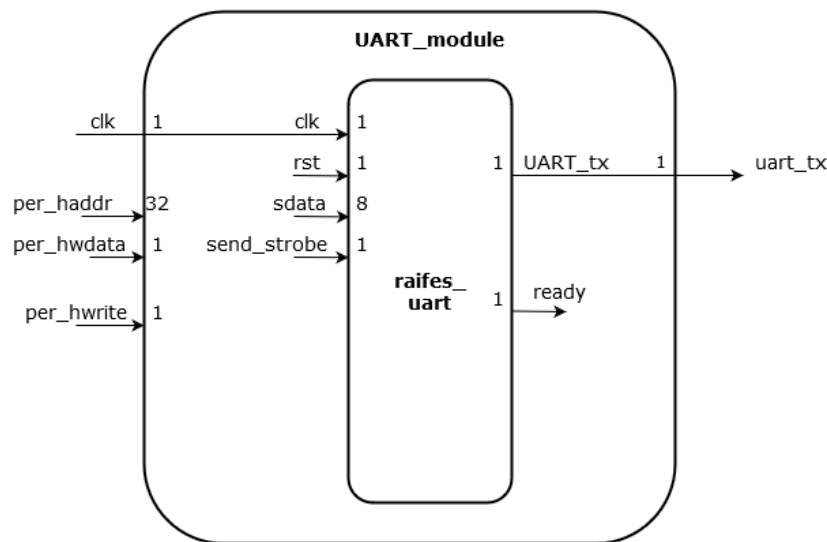


Abbildung 3.3: UART Module

Die Funktion des Moduls UART_module besteht darin, bei Ausführung eines Schreibbefehls und bei einer anliegenden Adresse von 0xc0000000 des Signals per_haddr und des gesetzten Signals per_hwrite die niederwertigsten zehn Bits des per_hwdata Signals synchron in das Register UART_reg zu schreiben. Die eigentliche Datentransmission wird durch eine Zustandsmaschine im Untermodul raifes_uart gesteuert und ist in Abbildung 3.4 abgebildet. Dabei sind die niederwertigsten acht Bits des Registers UART_reg die zu sendenden Daten, welche über das Signal sdata dem Untermodul übergeben werden. Bit neun aus dem Register UART_reg entspricht dem Signal send_strobe. Initial befindet sich die Zustandsmaschine im Zustand ready und erwartet den Wert eins für das Signal send_strobe, wobei das Ausgangssignal UART_TX auf eins gehalten wird. Sobald das Signal send_strobe gesetzt ist, werden die zu sendenden Daten in das Datenlatch txData an die Stelle neun bis zwei geschrieben. Dabei ist das MSB auf den Wert eins und die beiden niederwertigsten Bits auf null gesetzt, welche dem Startbit und den beiden Stopbits entsprechen.

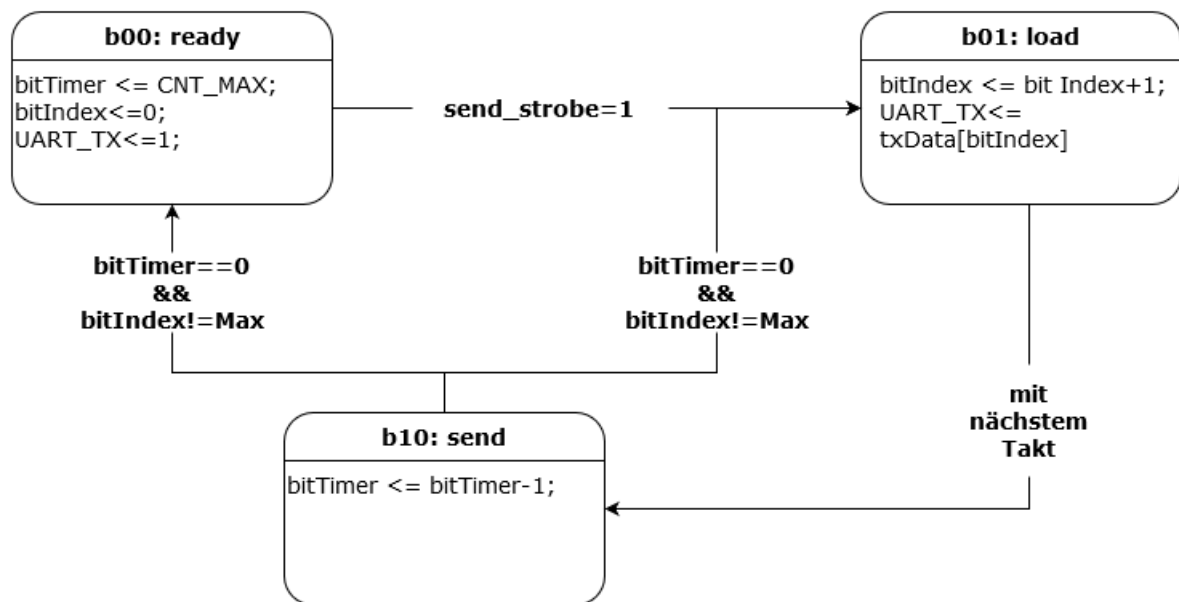


Abbildung 3.4: UART Zustandsmaschine

Außerdem springt die Zustandsmaschine für einen Takt in den Zustand load. In diesem Zustand wird dem Ausgangssignal der Wert des Bits aus dem Datenlatch zugewiesen, der durch den Wert des Registers `bitIndex` angegeben wird. Zusätzlich wird das Register `bitIndex` um den Wert eins inkrementiert und die Zustandsmaschine springt in den nächsten Zustand send. In diesem Zustand wird solange verweilt, bis ein Zähler von dem Wert `0xd8` bzw. `CNT_MAX` auf den Wert null dekrementiert wurde. Ist der Wert des Registers `bitIndex` ungleich zehn, wird wieder in den Zustand load gesprungen, sodass das nächste Bit übertragen werden kann. Wurden alle zehn Bits übertragen, springt die Zustandsmaschine wieder in den Zustand ready und erwartet ein erneutes Startsignal durch das Signal `send_strobe`.

3.1.2 Bussystem

Das HASTI Bussystem trennt die Daten (D) und Instruktionen (I) und wird durch die Module `raifes_hasti_bridge I/D` bzw. `raifes_sync_to_hasti_bridge I/D` beschrieben. Dabei bestehen die ersten beiden Module aus rein kombinatorischen Signalzuweisungen, während letztere beiden Module unter anderem getaktete Speicher verwenden. Alle Ausgangssignale, bis auf `core_mem_rdata` und `core_mem_wait`, der ersten beiden Module stellen die Eingangssignale der letzten beiden Module dar. In Abbildung D.5 bis Abbildung D.7 wird eine Übersicht auf die Signale der vier Module gegeben.

Die Datenadresse wird über das Signal `core_mem_addr` transportiert und befindet sich im Datenlatch `dmem_addr_r_reg` der Pipeline. Die Adresse wird im getakteten Register `core_haddr_r` des HASTI D-Bus gespeichert und über das Ausgangssignal `dev_haddr` an die Peripherie weitergeleitet. Dabei wird bei einem Speicherbefehl die Adresse aus dem Latch `dmem_addr_r_reg` entnommen, andernfalls wird das Eingangssignal `core_mem_addr` weitergeleitet. Ein Speicherbefehl liegt

dann vor, wenn die Signale `core_mem_en` und `core_mem_wen` den Wert eins haben. Die zu speichernden Daten werden über die Signale `core_mem_wdata_delayed` und `dev_hwdata` von der Pipeline an die Peripherie geleitet. Ob sich der Prozessor in der Ausführung eines Schreibbefehls befindet, wird über die Signale `core_mem_wait` und `dev_hwwrite` signalisiert, wobei ersteres ein Steuerungssignal für den Prozessorkern ist und letzteres an die Peripherie geleitet wird. Über das Signal `core_mem_size` wird die Datenbreite für den Speicherzugriff bestimmt. Diese Information wird parallel zu der Adresse bei einem Schreibbefehl in das Register `core_hsize_r` geschrieben. Über das Signal `dev_hsize` wird die Information dann an die Peripherie weitergeleitet. Über die Signale `dev_hrdata` und `core_mem_rdata` wird das Datenwort aus dem Block-RAM an den Prozessorkern geleitet.

Instruktionen werden analog zu den Daten verarbeitet, da für beide Busse Instanzen der gleichen Verilogmodule verwendet werden. Allerdings ist für Instruktionen keine Schreibfunktion vorgesehen. Die Adresse der Instruktionen wird über den Programmzähler ermittelt und liegt als Signal `core_mem_addr` am Bus an. Diese wird synchron über das Signal `dev_haddr` an den Block-RAM geleitet. Die Instruktionen werden aus dem Block-RAM über das Signal `dev_hrdata` an den Prozessorkern weitergeleitet.

3.1.3 Block RAM und Adressraum

Der verwendete Dual-Port Speicher ist als Xilinx IP instantiiert und dient gleichzeitig als Daten- und Instruktionsspeicher, wobei Port A als D-Bus Schnittstelle und Port B als I-Bus Schnittstelle dient. Die Adressbreite und die Datenwortbreite betragen für beide Ports 32 bit. Der mögliche Adressraum bei einer 32 bit Architektur liegt zwischen `0x00000000` und `0xffffffff` und ist in Abbildung 3.5 dargestellt.

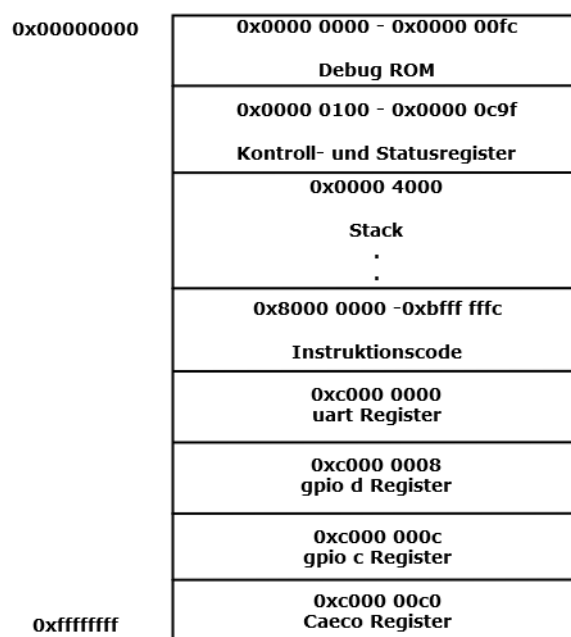


Abbildung 3.5: Adressraum

Die Größe des instantiierten Block-RAMs beträgt 262 kB. Der heap (*dynamischer Speicher*) beginnt nach der .bss Sektion und hat daher keine feste Adresse. Die zwei höherwertigen Bits der Datenwörter für die Adressen `addra` und `addrb` des Dual-Ports werden auf den Wert null gesetzt. Der Grund dafür ist, dass bei der JTAG Kommunikation das Most Significant Bit (MSB) der Adresse als Steuerungsinformation genutzt wird. Dies wird durch die Konkatenation der Adresse am Block-RAM Eingangsport, bei der die zwei höherwertigsten Bits auf den Wert null gesetzt werden, rückgängig gemacht, da ansonsten eine falsche Adresse angegeben werden würde. Über das Eingangssignal des Dual-Ports `wea` wird angegeben, mit welcher Datenwortbreite ein Speicherzugriff erfolgt. Besitzt das Signal `wea` den Wert `0xf`, wird auf 32 bit, bei einem Wert von `0x3` auf 16 bit und bei einem Wert von `0x1` auf 8 bit zugegriffen.

3.1.4 JTAG und Debug Schnittstelle

Wie bereits in Unterabschnitt 2.2.3 beschrieben, folgt die im DTM implementierte Debugschnittstelle der RISC-V Hardware dem IEEE Std 1149.1-2013 Standard. Darauf wird in Abschnitt 3.1.4 noch einmal eingegangen. Danach wird die Umsetzung der RISC-V spezifischen Debug-Module genauer beschrieben, da die Debug-Spezifikation gewisse Freiheiten bei der Implementierung zulässt.

Debug Transport Module

Das Debug-Transport-Modul `raifes_dtm` ist die Schnittstelle zu der externen Debugger Hardware und umfasst ein JTAG TAP, über welchen die Daten des DR DMI bidirektional mit dem Prozessorkern ausgetauscht werden. Das Modul besitzt sechs Eingänge und fünf Ausgänge, die in Abbildung D.8 gelistet sind. Die Signale `tek`, `tdi`, `tms` und `tdo`, welche zur Schnittstelle des JTAG Debugger gehören, sind mit den Pins des FPGAs verbunden.

Durch das Signal `tms` wird die JTAG Zustandsmaschine (siehe Abbildung 2.13) gesteuert, die entweder auf das IR oder auf das DR zugreift. Üblicherweise wird erst das IR mit der Adresse für das DR beschrieben. Danach werden die Daten in das vorher ausgewählte DR geschrieben. In nachfolgenden Tests bezüglich des vorliegenden Designs werden die Daten nur in das DMI Register geschrieben. Bei Erreichung des Zustands `UPDATE_DR` werden die Ausgangssignale des Moduls `dmi_addr`, `dmi_wdata`, `dmi_wen` und `dmi_en` den Datenworten `DMI[40:34]`, `DMI[33:2]`, `DMI[1]` und `DMI[0]` des DR zugewiesen und der Prozessor wird beschrieben. Für die Auslesung von Daten aus dem Prozessorkern wird der Zustand `CAPTURE_DR` eingestellt, wodurch unter anderem das Datenwort `dmi_rdata` in das DR an die Stelle `DMI[33:2]` geschrieben wird. Dabei wird auch das Signal `dmi_error` an die beiden niederwertigsten Bits des DRs geschrieben. Das Signal `dmi_dm_busy` ist momentan nicht implementiert.

Debug Modul Interface und Debug Modul

Das Debug Modul Interface und das Debug Modul sind im Modul raifes_debug_module, innerhalb des Prozessorkerns durch zwei parallele Zustandsmaschinen zusammengefasst. Folgend wird der Begriff DM für das gesamte Modul verwendet. Das DM wird über das DTM angesteuert und kann auf den Prozessorkern zugreifen. Das Modul verfügt über elf Eingänge und 14 Ausgänge, die in Abbildung D.9 gelistet sind. Die Zustandsmaschine, die das DMI implementiert und in Abbildung 3.6 dargestellt ist, umfasst vier Zustände: Idle, Read, Write und Waitend, die im Register dmi_state gespeichert werden.

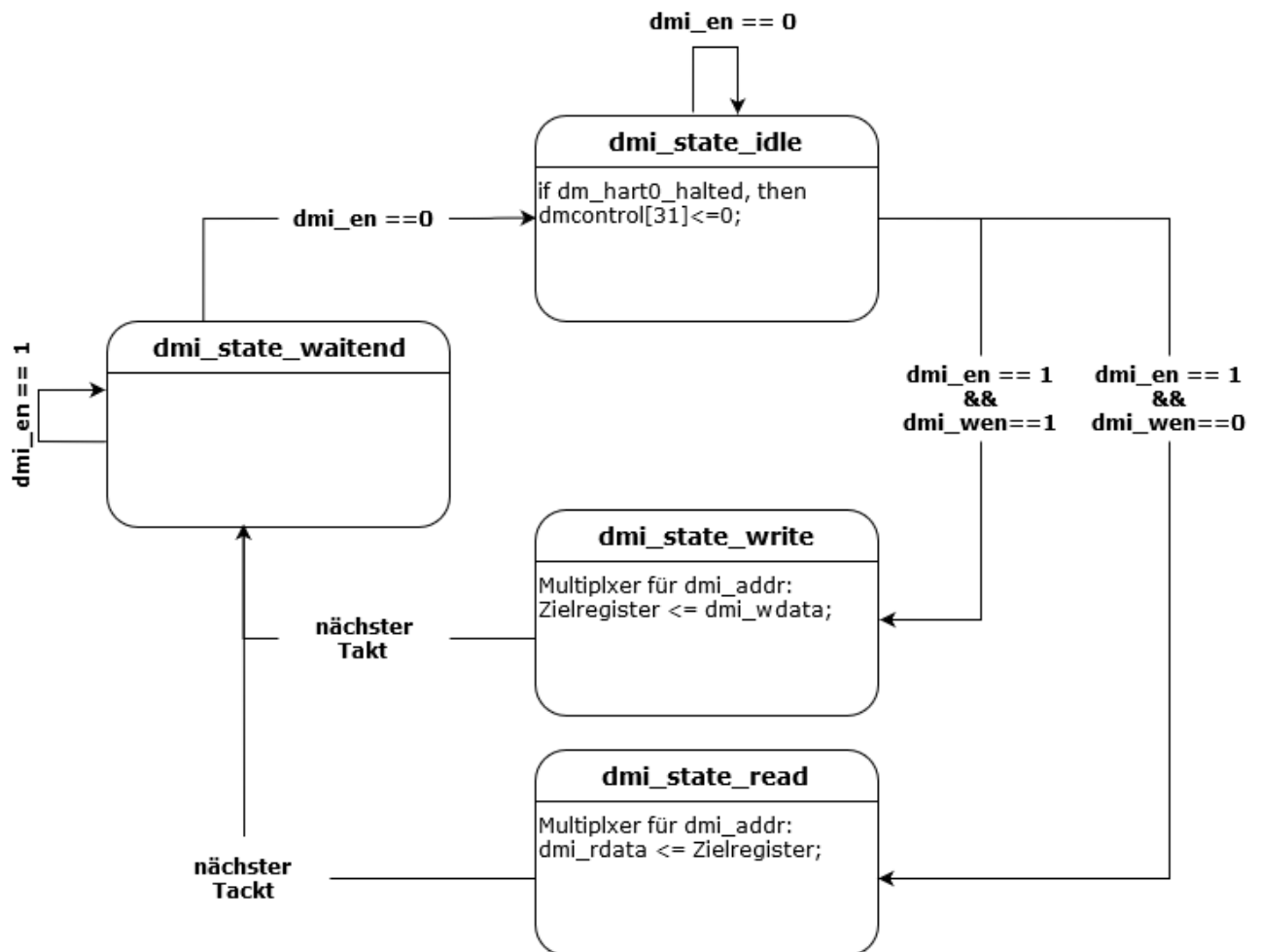


Abbildung 3.6: Debug Modul Zustandsmaschine DMI

Die Steuersignale sind hierbei `dmi_en` und `dmi_wen`. Da über das DMI die Daten bidirektional zwischen DTM und dem Prozessorkern ausgetauscht werden, können Daten aus bestimmten Registern entweder gelesen oder geschrieben werden. Initial befindet sich die Zustandsmaschine im Zustand `idle`, in dem keine weitere Aktion bezüglich des DMIs ausgeführt wird. Liegt an dem Eingangssignal `dmi_en` der Wert eins an, so wird der Zustand `Read` angenommen. In diesem Zustand wird, abhängig von der angegebenen Adresse im Register `dmi_addr`, das Leseregister `dmi_rdata` durch einen Multiplexer beschrieben, welches initial den Wert `0xdeadbeef` besitzt. Bei

einem gesetzten `dmi_wen` Eingangssignal wird der Zustand `write` angenommen. In diesem Zustand wird ebenfalls abhängig von der Adresse im Register `dmi_addr` diverse Register des DM mit dem Wert aus dem Register `dmi_wdata` beschrieben. Sollten beide Signale nicht gesetzt sein, wird im Zustand `Idle` verharret.

```

1 assign dm_command = command[31:24];
2 assign dm_size = command[22:20];
3 assign dm_size_invalid = dm_size[2] | dm_size[0];
4 assign dm_postexec = command[18];
5 assign dm_transfer = command[17];
6 assign dm_write = command[16];
7 assign dm_regfile_access = command[12];
8 assign dm_csr_access = ~command[12];
9 assign dm_regno = command[15:0];

```

Auflistung 3.1: DM Steuerregister `command` (`raifes_debug_module.v` Z. 306)

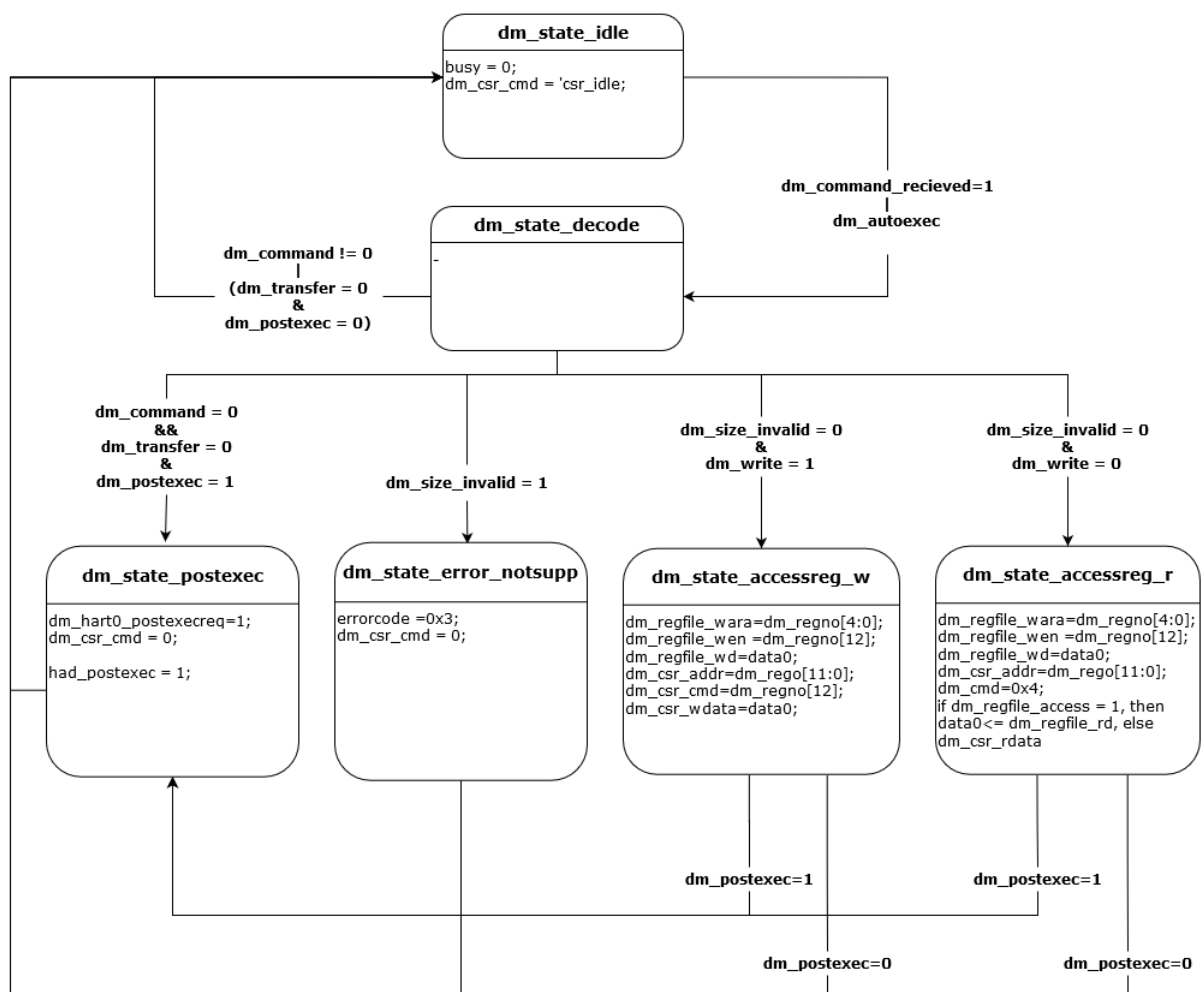


Abbildung 3.7: Debug Modul Zustandsmaschine DM

Bei beiden Zuständen Read und Write wird im nächsten Takt der Zustand Waitend angenommen, in dem solange gewartet wird, bis das Eingangssignal `dmi_en` wieder den Wert null hat, woraufhin der Zustand idle erneut erreicht wird.

Die Zustände der Zustandsmaschine für die Beschreibung der Debugfunktion werden analog zu der DMI Zustandsmaschine im Register `dm_state` gespeichert. Es können zehn verschiedene Zustände angenommen werden, die durch die Header-Datei `raifes_dmi_constants.vh` definiert sind. Die DM Zustandsmaschine wird in Abbildung 3.7 beschrieben. Hierbei ist `command` das zentrale Steueregister, das vorher über eine JTAG Befehl geschrieben werden kann (siehe Auflistung 3.1). Initial oder nach einem Reset befindet sich die Zustandsmaschine im Zustand Idle. Dieser Zustand ändert sich in den Zustand Decode, wenn das Signal `dm_command_received` oder das Signal `dm_autoexec` den Wert eins haben. Dabei wird das Signal `dm_command_received` auf den Wert eins gesetzt, wenn das Register `dmi_state` den Wert 0x4 und das Register `dmi_addr` den Wert 0x17 hat. Dies ist der Fall, wenn das DM von dem DMI Daten bekommt, wobei das Register `command` mit dem Datenwort aus dem Register `dmi_wdata` beschrieben wird. Andererseits wird das Signal `dm_autoexec` durch eine zweistellige Und-Verknüpfung gesetzt (siehe Auflistung 3.2).

```

1 assign dm_autoexec = ((dmi_state == 'DMI_STATE_WRITE) || (dmi_state ==
   'DMI_STATE_READ)) &&
2     (((dmi_addr_r == 'DMI_ADDR_DATA0) && (abstractauto[0] == 1'b1)) ||
3     ((dmi_addr_r == 'DMI_ADDR_PROGBUF0) && (abstractauto[16] == 1'b1)) ||
4     ((dmi_addr_r == 'DMI_ADDR_PROGBUF1) && (abstractauto[17] == 1'b1)));

```

Auflistung 3.2: `dm_autoexec` Zuweisung (`raifes_debug_module.v` Z. 197)

Dabei ist die erste Aussage in eine Oder-Verknüpfung unterteilt, die auf den Wert eins gesetzt wird, wenn das Register `dmi_state` den Wert 0x2 für Read oder den Wert 0x4 für Write hat. Die zweite Aussage wird durch eine dreistellige Oder-Verknüpfung beschrieben, deren Aussagen wiederum durch jeweils zweistellige Und-Verknüpfungen beschrieben werden. Damit wird die zweite Aussage der übergeordneten Und-Verknüpfung wahr, wenn entweder das Register `dmi_addr_r` den Wert 0x4 und das niederwertigste Bit des Registers `abstractauto` den Wert eins hat oder wenn das Register `dmi_addr_r` den Wert 0x20 und Bit 16 des Registers `abstractauto` den Wert eins hat oder wenn das Register `dmi_addr_r` den Wert 0x21 und Bit 17 des Registers `abstractauto` den Wert eins hat.

Bezüglich der Zustandsmaschinen ist zusammenfassend festzuhalten, dass die Steuerung des DMIs über die Signale `dmi_en` und `dmi_wen` erfolgt. Soll vom DM ein Datenwort über das Register `dmi_rdata` gelesen werden, muss das Signal `dmi_en` auf den Wert eins gesetzt werden. Soll ein Datenwort über das Register `dmi_wdata` geschrieben werden, muss das Signal `dmi_wen` auf den Wert eins gesetzt sein. In beiden Fällen wird über das Adressregister `dmi_addr` entschieden, welche Daten entweder gelesen oder in welches Register die Daten geschrieben werden. Neben

den Registern bezüglich der DMI Funktion gibt es weitere Register, die mit den Modulen für die Kontroll- und Statusregister, dem Debug-ROM und den Allzweckregistern Daten austauschen.

3.1.5 Prozessorkern und Pipeline

Der Prozessor weist eine 3-stufige Pipelinearchitektur auf, welche im Modul raifes_pipeline implementiert wird. Dabei gibt es drei Stufen: das Laden des nächsten Befehls-Code (Instruction Fetch (IF)), die Dekodierung und Ausführung des Befehls (Decode and Execution (DX)) und das Zurückschreiben in die Register bzw. Speicher (Write Back (WB)). Die Ein- und Ausgangssignale sind in Abbildung D.10 gelistet. In der Pipeline werden hauptsächlich mehrere getaktete Speicher genutzt, um die verschiedenen Pipeline Stufen parallel abarbeiten zu können (siehe Auflistung 3.3).

```

1 always @(posedge clk) begin
2     if (reset) begin
3         PC_WB <= 0;
4         store_data_WB <= 0;
5         alu_out_WB <= 0;
6         csr_rdata_WB <= 0;
7         dmem_type_WB <= 0;
8         pcpi_rd_WB <= 0;
9     end else if (~stall_WB) begin
10        PC_WB <= PC_DX;
11        store_data_WB <= rs2_data_bypassed;
12        alu_out_WB <= alu_out;
13        csr_rdata_WB <= csr_rdata;
14        dmem_type_WB <= dmem_type;
15        pcpi_rd_WB <= pcpi_rd;
16    end
17 end

```

Auflistung 3.3: Register für WB Stufe (raifes_pipeline.v Z. 406)

Die Daten des D-Busses werden über das Signal dmem_rdata der Pipeline zugeführt und die Adresse der Daten wird im Datenlatch dmem_addr_r gespeichert. Über die Funktion load_data wird je nach Ladebefehl das Datenwort bearbeitet und um bestimmte Bits verschoben. Hat das Register wb_src_sel_WB den Wert eins, so wird das geladene Datenwort in das Register wb_data_WB und damit in eines der Allzweckregister geschrieben (siehe Auflistung 3.15). Die Instruktionsdaten imem_rdata werden synchron in das Register inst_DX geschrieben, vorausgesetzt, dass keine Art von Störung vorliegt und die Signale stall_DX und kill_IF den Wert null besitzen. Zeitgleich wird das Register PC_DX mit dem Wert aus dem Register PC_IF beschrieben, wobei PC_IF dem Programmzähler entspricht, der auf die nächste Instruktion zeigt. Beim Zurücksetzen oder

einem Störfall wird die Startadresse 0x80000000 in das Register PC_DX und der Wert für eine Nulloperation in das Register inst_DX geschrieben (dargestellt in Auflistung 3.4).

```

1 always @(posedge clk) begin
2     if (reset) begin
3         PC_DX <= 'START_ADDRESS;
4         inst_DX <= 'RV_NOP;
5     end else if (~stall_DX) begin
6         if (kill_IF) begin
7             inst_DX <= 'RV_NOP;
8         end else begin
9             PC_DX <= PC_IF;
10            inst_DX <= imem_rdata;
11        end
12    end
13end

```

Auflistung 3.4: DX PC und Instruktion (raifes_pipeline.v Z. 305)

Die Daten aus dem Coprozessor pcp_i_rd werden im Register pcp_i_rd_WB gespeichert und bei einem Registerwert von drei des Registers wb_src_sel_WB an die Allzweckregister übergeben. Die zu schreibenden Daten sind im Register dmem_wdata_delayed gespeichert. Durch die Funktion store_data wird ermittelt, welcher Schreibbefehl ausgeführt werden soll. Abhängig von der aktuellen Instruktion und das angegebene Zielfeldwert wird entweder das Datenwort aus einem angegebenen Allzweckregister, aus den CSRs oder aus dem Coprozessor geladen (aufgezeigt in Auflistung 3.5).

```

1 function ['XPR_LEN-1:0] store_data;
2     input ['XPR_LEN-1:0]      addr;
3     input ['XPR_LEN-1:0]      data;
4     input ['MEM_TYPE_WIDTH-1:0] mem_type;
5     begin
6         case (mem_type)
7             MEM_TYPE_SB : store_data = {4{data[7:0]}};
8             MEM_TYPE_SH : store_data = {2{data[15:0]}};
9             default : store_data = data;
10        endcase
11    end
12endfunction
13assign dmem_wdata_delayed =
    store_data(alu_out_WB,store_data_WB,dmem_type_WB);

```

Auflistung 3.5: Speicherfunktion (raifes_pipeline.v Z. 65)

3.1.6 Konstanten Generation

Das Modul `raifes_imm_gen` generiert die in RISC-V vorgesehenen Konstanten, den sogenannten Immidiates. Es ist ein Untermodul der Pipeline auf der untersten Hierarchieebene E-5, welches innerhalb eines Prozesses rein kombinatorische Signalzuweisungen implementiert, die durch eine Case-Anweisung gesteuert werden (dargestellt in Auflistung 3.6). Die Ein- und Ausgangssignale des Moduls sind in Tabelle 3.1 gelistet.

Tabelle 3.1: Konstanten Generation Signalübersicht

Signalname	I/O	Bits	Beschreibung	Verbindung
<code>inst</code>	I	32	Aktueller Instruktions-Code	<code>debug_rom</code> , <code>bram</code>
<code>imm_type</code>	I	2	Aktuelles Befehlsformat	<code>raifes_ctrl</code>
<code>imm</code>	O	32	generierte Konstante	<code>raifes_src_b_mux</code>

Basierend auf dem Befehlsformat `imm_type` des aktuellen Instruktions-Codes `inst` generiert das Modul durch Konkatenation einen Wert für das Register `imm`, welches dem Wert der Konstanten entspricht. Das Signal `imm_type` ist die Bedingung für die Case-Anweisung, wobei der Wert des Signals initial bei null liegt, welcher dem I-Befehlsformat entspricht. Dabei entsprechen die höherwertigen 21 Bits des Registers `imm` dem Wert des MSB des Signals `inst`. Die restlichen Bits des Signals `inst` werden den Bits 30 bis 20 des Registers `imm` zugewiesen. Bei einem Wert `inst_type` von eins, welcher dem S-Befehlsformat entspricht, werden die höherwertigen 21 Bits des Registers `imm` ebenfalls dem MSB des Signals `inst` zugewiesen. Die folgenden sechs Bits des Registers `imm` stimmen mit den Bits 30 bis 25 des Signals `inst` überein. Die darauf folgenden fünf Bits des Registers `imm` werden den Bits elf bis sieben zugewiesen.

```

1 always @(*) begin
2     case (imm_type)
3         'IMM_I : imm = { {21{inst[31]}}, inst[30:25], inst[24:21],
4     inst[20] };
5         'IMM_S : imm = { {21{inst[31]}}, inst[30:25], inst[11:8], inst[7]
6     };
7         'IMM_U : imm = { inst[31], inst[30:20], inst[19:12], 12'b0 };
8         'IMM_J : imm = { {12{inst[31]}}, inst[19:12], inst[20],
9     inst[30:25], inst[24:21], 1'b0 };
10    endcase
11 end

```

Auflistung 3.6: Immidiates Konkatenation

Bei einem Wert von zwei des Registers `imm_type`, liegt das U-Befehlsformat vor. In diesem Fall entsprechen die höherwertigen 20 Bits des Registers `imm` den höherwertigen 20 Bits des Signals

inst. Die restlichen Bits des Registers immer werden auf null gesetzt. Das J-Befehlsformat liegt vor, wenn der Wert von `imm_type` drei ist. In diesem Fall werden die höherwertigen zwölf Bits des Registers immer auf den Wert des MSB des Signals `inst` gesetzt. Die folgenden acht Bits des Registers immer entsprechen den Bits 19 bis 12 des Signals `inst`. Bit zwölf entspricht Bit 20, Bit elf bis zwei entsprechen Bit 30 bis 21 des Signals `inst`. Das niederwertigste Bit wird auf null gesetzt.

3.1.7 Allzweckregister

Der Allzweckregistersatz wird durch das Modul `raifes_regfile` implementiert. Das Modul verfügt über neun Ein- und drei Ausgänge. Eine Modulübersicht ist in Abbildung D.11 gegeben. Die Anzahl der Register wird durch die Befehlssatzarchitektur bestimmt. Bei einer Basisbefehlssatzarchitektur ohne Erweiterung liegt die Anzahl bei 32. Liegt die Befehlssatzerweiterung E vor, so beläuft sich die Anzahl der Register auf 16. Die Registerinhalte werden im Normalbetrieb über die Pipeline bestimmt, können aber auch über den Debug-Zugriff gelesen und beschrieben werden. Bei einem Lesezugriff im Normalbetrieb geben die Signale `ra1` und `ra2` die Adresse der Register an, aus denen die Datenwörter in die Ausgangssignale `rd1` und `rd2` geschrieben werden.

```
1 assign rd1 = |ra1 ? data[ra1] : 0;
2 assign rd2 = |ra2 ? data[ra2] : 0;
3 assign dm_rd = |dm_wara ? data[dm_wara] : 0;
4
5 always @(posedge clk) begin
6   if(dm_wen) begin
7     data[dm_wara] <= dm_wd;
8   end else if(wen) begin
9     data[wa] <= wd;
10  end
11  end
```

Auflistung 3.7: Registerzugriff (`raifes_regfile.v` Z. 29)

Dabei entsprechen `ra1` und `ra2` den Bits 19 bis 15 bzw. 24 bis 20 des aktuellen Instruktions-Codes. Für einen Schreibzugriff im Normalbetrieb wird das Signal `wen` auf den Wert eins gesetzt, wobei das Signal `wa` die Adresse des Zielregisters und `wd` das zuschreibende Datenwort angibt. Bei einem Debug-Lesezugriff wird über das Signal `dm_wara` die Registeradresse angegeben, und das Datenwort aus dem angegebenen Register wird in das Ausgangssignal `dm_rd` geschrieben. Bei einem Schreibzugriff wird ebenfalls über das Signal `dm_wara` die Registeradresse angegeben. Dabei muss das Signal `dm_wen` auf eins gesetzt sein, damit das Datenwort aus `dm_wd` in das Zielregister geschrieben wird.

3.1.8 Rechenwerk

Das Rechenwerk setzt sich aus den Modulen `raifes_src_a_mux`, `raifes_src_b_mux` und `raifes_alu` zusammen. Der erste Operand des Rechenwerks wird durch den vorgeschalteten Multiplexer `raifes_src_a_mux` bestimmt. Dieses Modul besitzt drei Eingänge und einen Ausgang, welche in Tabelle 3.2 beschrieben werden. Durch eine Case-Anweisung wird entsprechend des Wertes in Signal `src_a_sel`, entweder das Datenwort aus `PC_DX` oder `rs1_data` in das Register `alu_src_a` geschrieben. Initial liegt der Wert des Registers `alu_src_a` bei null.

Tabelle 3.2: Rechenwerk Eingang A Signalübersicht

Signalname	I/O	Bits	Beschreibung	Verbindung
<code>PC_DX</code>	I	32	Aktueller Programmzähler	<code>raifes_PC_mux</code>
<code>rs1_data</code>	I	32	Datenwort aus Pipeline	<code>raifes_regfile</code> , <code>raifes_alu</code> , <code>raifes_mul_div</code> , <code>raifes_csr_file</code>
<code>src_a_sel</code>	I	2	Adressregister	<code>raifes_ctrl</code>
<code>alu_src_a</code>	O	32	ALU Eingang 1	<code>raifes_alu</code>

Hat das Signal `src_a_sel` den Wert null, wird das Datenwort aus Signal `rs1_data` in das Register `alu_src_a` geschrieben. Bei einem Wert von eins im Register `src_a_sel` wird das Datenwort aus `PC_DX` und bei einem Wert von null das Datenwort aus `rs1_data` in das Zielregister geschrieben. Der zweite Operand des Rechenwerks wird durch den anderen vorgeschalteten Multiplexer `raifes_src_b_mux` bestimmt. Dieses Modul besitzt ebenfalls drei Eingänge und einen Ausgang, welche in Tabelle 3.3 beschrieben werden. Analog zum Modul `raifes_src_a_mux` ist die Zuweisung des Wertes für Register `alu_src_b` vom Wert in `src_b_sel` abhängig. Initial liegt der Wert des Registers `alu_src_b` bei null.

Tabelle 3.3: Rechenwerk Eingang B Signalübersicht

Signalname	I/O	Bits	Beschreibung	Verbindung
<code>imm</code>	I	32	Konstante	<code>raifes_imm_gen</code>
<code>rs2_data</code>	I	32	Datenwort aus Pipeline	<code>raifes_regfile</code> , <code>raifes_alu</code> , <code>raifes_mul_div</code> , <code>raifes_csr_file</code>
<code>src_b_sel</code>	I	2	Adressregister	<code>raifes_ctrl</code>
<code>alu_src_b</code>	O	32	ALU Eingang 1	<code>raifes_alu</code>

Hat das `src_b_sel` den Wert null, wird das Datenwort aus `rs2_data` in das Register `alu_src_b` geschrieben. Bei einem Wert von eins im `src_b_sel` wird das Datenwort aus Register `imm` in das Zielregister geschrieben. Liegt ein Wert von zwei vor, so wird ein Wert von 0x4 in das Zielregister geschrieben.

ALU

Das Rechenwerk `raifes_alu` ist zu den folgenden 14 verschiedenen arithmetisch-logischen Operationen fähig: Addition mit Vorzeichen, Bitweise Verschiebung links und rechts, Bitweise exklusiv Oder, Bitweise Oder, Bitweise Und, Vergleich gleich und ungleich, Subtraktion, vorzeichenbehaftete rechte Schiebeoperation, Vergleich größer gleich vorzeichenbehaftet und nicht vorzeichenbehaftet und Vergleich kleiner gleich vorzeichenbehaftet und nicht vorzeichenbehaftet. Das Modul besitzt drei Eingänge und einen Ausgang, welche in Tabelle 3.4 gelistet sind.

Tabelle 3.4: Rechenwerk

Signalname	I/O	Bits	Beschreibung	Verbindung
<code>op</code>	I	4	Operations-Code	<code>raifes_ctrl</code>
<code>in1</code>	I	32	Datenwort 1	<code>raifes_src_a_mux</code>
<code>in2</code>	I	32	Datenwort 2	<code>raifes_src_b_mux</code>
<code>out</code>	O	32	Rechenergebnis	Multiplexer Pipeline

Die Operation wird durch eine Case-Anweisung mit dem Wert aus dem Signal `op` bestimmt. Ziel einer jeden Operation ist die Zuweisung des Registers `out`. Für eine Schiebeoperation wird aus den niederwertigen fünf Bits aus `in2` der Wert für die Verschiebung gebildet. Wird eine Vergleichsoperation ausgeführt, wird das Least Significant Bit (LSB) des Registers `out` bei einem wahren Ergebnis auf den Wert eins und bei einem unwahren Ergebnis auf den Wert null gesetzt, wobei in beiden Fällen die restlichen 31 Bits auf den Wert null gesetzt werden.

3.1.9 Steuerwerk

Das Steuerwerk `raifes_ctrl` stellt eine der komplexesten Strukturen des gesamten Prozessors dar und verfügt über zahlreiche Ein- und Ausgangssignale, die in Abbildung D.12 dargestellt sind. Die Kernaufgaben liegen in der Dekodierung des aktuellen Instruktions-Codes und in der Verarbeitung von Exceptions (*Störungen*) und Interrupts (*Unterbrechung*), wobei die Ereignisse aus allen drei Pipeline Stufen parallel gehandhabt werden.

IF Stufe

Bezüglich der IF Stufe werden im Steuerwerk nur Störungsfälle und Sprungbefehle behandelt, wobei die zwei Ausgangssignale `stall_IF` und `kill_IF` auf den Wert eins gesetzt werden, falls die aktuelle Instruktion der IF Stufe gehalten oder zurückgesetzt werden soll. Für den Fall, dass `stall_IF` den Wert eins hat, wird `kill_IF` ebenfalls auf den Wert eins gesetzt (siehe Auflistung 3.8). Ein zentrales Steuersignal hierbei ist `interrupt_taken`, das in Unterabschnitt 3.1.10 beschrieben werden.

```

1 assign kill_IF = stall_IF || ex_IF || ex_DX || ex_WB || redirect ||
  replay_IF || interrupt_taken;
2 assign stall_IF = stall_DX || ((imem_wait && !redirect) && !(ex_WB ||
  interrupt_taken));

```

Auflistung 3.8: Handling der IF Stufe (raifes_ctrl.v Z. 143)

Liegt ein Interrupt vor, so ist dieses Signal gesetzt und die IF Stufe wird unterbrochen, damit der Trap-Handler als nächstes geladen werden kann. Tritt eine Exception in einer der drei Stufen auf, wird kill_IF ebenfalls gesetzt.

DX Stufe

Der Großteil der Schaltungslogik im Steuerwerk wird für die Instruktiondecodierung in der DX Stufe und die Behandlung zugehöriger Störfälle verwendet. Die Register PC_src_sel, imm_type, src_a_sel, src_b_sel, alu_op und csr_imm_sel und die Signale dmem_size, dmem_type werden direkt aus bestimmten Bitfeldern der aktuellen Instruktion inst_DX zugewiesen (siehe raifes_ctrl.v Z. 216 - 382). Besondere Instruktionen sind Lade- und Speicherbefehle. Wird ein Speicherbefehl ausgeführt, wird das Signal dmem_en auf den Wert eins gesetzt. Bei einem Ladebefehl wird zusätzlich das Signal dmem_wen auf eins gesetzt. Die Signale imem_wait und dmem_wait geben beide an, ob aktuell ein Speicherzugriff ausgeführt wird. Dabei ist das Signal imem_wait hart auf den Wert null verdrahtet, da es nicht vorgesehen ist, dass Instruktionen in den Speicher geschrieben werden. Das Signal dmem_wait nimmt immer dann den Wert null an, wenn das MSB der Daten-Adresse den Wert null besitzt. Andernfalls entspricht der Wert von dmem_wait dem Wert von core_mem_wait (siehe Unterabschnitt 3.1.2). Durch das Signal csr_cmd wird angegeben, ob ein Lese- oder Schreibzugriff auf die Status- und Kontrollregister stattfindet. Das Signal cmp_true entspricht dem Ergebnis einer Sprungbefehlbedingung. Hat das Signal den Wert eins, ist die Sprungbedingung erfüllt und das Register PC_src_sel wird auf den Wert eins gesetzt (siehe Auflistung 3.9).

```

1 always @(*) begin
2   if (exception || interrupt_taken) begin
3     PC_src_sel = 'PC_HANDLER;
4   end else if (replay_IF || (stall_IF && !imem_wait)) begin
5     PC_src_sel = 'PC_REPLAY;
6   end else if (eret) begin
7     PC_src_sel = 'PC_EPC;
8   end else if (dret) begin
9     PC_src_sel = 'PC_DPC;
10  end else if (branch_taken) begin
11  PC_src_sel = 'PC_BRANCH_TARGET;

```

```

12  end else if (jal) begin
13  PC_src_sel = 'PC_JAL_TARGET;
14  end else if (jalr) begin
15  PC_src_sel = 'PC_JALR_TARGET;
16  end else begin
17  PC_src_sel = 'PC_PLUS_FOUR;
18  end
19 end

```

Auflistung 3.9: Handling des Programmzähler (raifes_ctrl.v Z. 398)

Andernfalls wird das Register auf den Wert vier gesetzt, wodurch der aktuelle Programmzähler gehalten wird. Bei einem unbedingten Sprungbefehl wird das Signal `redirect` ebenfalls auf den Wert eins gesetzt. Das Signal `wr_reg_WB` wird auf den Wert eins gesetzt, wenn ein `ecall` oder `ebreak` Befehl vorliegt. Das Signal `eret` wird auf den Wert eins gesetzt, wenn die Instruktion `mret` vorliegt, aber das Privilegienlevel nicht der Maschinenebene entspricht. Analog dazu wird das Signal `dret` auf den Wert eins gesetzt, wenn eine `dret` Instruktion vorliegt. Beide Instruktion entsprechen der Behandlung von Traps. Liegt eine Trap vor, so wird die DX Stufe ebenfalls unterbrochen und das Signal `kill_DX` gesetzt (siehe Auflistung 3.10).

```

1 assign kill_DX = stall_DX || ex_DX || ex_WB || interrupt_taken;

```

Auflistung 3.10: Handling der DX Stufe (raifes_ctrl.v Z. 178)

Das Signal `illegal_csr_access` gibt an, ob ein ungültiger Zugriff auf die Status- und Kontrollregister vorliegt. Bei einem Wert von eins liegt ein ungültiger Zugriff vor und das Ausgangssignal `kill_DX` wird ebenfalls auf den Wert eins gesetzt. Über das Signal `interrupt_pending` wird angegeben, ob im nächsten Takt ein Interrupt erfolgt oder nicht. Das Signal `interrupt_taken` setzt einerseits ebenfalls die Signale `kill_IF` und `kill_DX`. Andererseits wird gleichzeitig das Register `PC_src_sel` auf den Wert fünf gesetzt. Dies hat zu Folge, dass der Programmzähler auf die von den Status- und Kontrollregistern vorgegebene Adresse zeigt.

Bei einer Single-Step Debug-Anfrage hat das Signal `stepmode` einen Wert von eins (dargestellt in Auflistung 3.11). Ist dies der Fall, so hat das Signal `exception_code_WB` den Wert drei, wodurch ein Breakpoint signalisiert wird und der Programmzähler an die Debugadresse null springt.

```

1 always @(*) begin
2   ex_code_WB = prev_ex_code_WB;
3   if (!had_ex_WB) begin
4     if (dmem_access_exception) begin
5       ex_code_WB = wr_reg_unkilled_WB ? 'MCAUSE_LOAD_ADDR_MISALIGNED :
        'MCAUSE_STORE_AMO_ADDR_MISALIGNED;

```

```
6     end else
7     if (stepmode) begin
8     ex_code_WB = 'MCAUSE_BREAKPOINT';
9     end
10    end
11 end
```

Auflistung 3.11: Handling der DX Stufe Stepmode (raifes_ctrl.v Z. 458)

Das Signal `dmode_WB` gibt an, ob sich der Prozessor im Debug-Modus befindet. Weitere Steuersignale sind die Signale `bypass_rs1` bzw `bypass_rs2`. Bei einem Wert von eins wird direkt auf das Datenwort des angegebenen Allzweckregister zugegriffen und der Programmzähler gesetzt.

WB Stufe

Die Steuerung der letzten Pipeline Stufe umfasst die Signale bzw. Register `stall_WB`, `kill_WB`, `reg_to_wr_WB`, `wb_src_sel_WB` und `exception_WB`. Die ersten beiden Signale bewirken analog zu den Signalen für die anderen beiden Pipeline Stufen den Stillstand und die Beendigung der Stufe WB. Das Register `reg_to_wr_WB` gibt die Allzweckregisteradresse an. Diese wird direkt aus der aktuellen Instruktion entnommen. Die Adresse ist zulässig, wenn in der DX Stufe keine Unterbrechung oder Ausnahme auftreten. Bei Störungen, welche die WB Stufe betreffen, wird das Signal `exception_WB` auf den Wert eins gesetzt.

3.1.10 Status- und Kontrollregister

Die CSR (*Status- und Kontrollregister*) verarbeiten die Systembefehle und werden durch das Modul `raifes_csr_file` implementiert. Eine Signal- und Registerübersicht für dieses Modul ist in Abbildung D.13 gegeben. Der potentielle Adressraum liegt bei `0x000` bis `0xFFF` und bietet somit Raum für 4096 Register. Dabei ist ein Register entweder nur lesbar oder auch schreibbar. Ein Zugriffsversuch auf nicht definierte oder nicht freigegebene Register oder ein Schreibversuch auf ein Leseregister erzeugt eine Unterbrechung, die an den Trap-Handler übergeben wird.

Debugmodus und Traps

Wie bereits erläutert, wird über das MSB des 32-Bit Datenworts des Debuggers signalisiert, ob das Signal `debug_haltreq` auf den Wert eins gesetzt und der Prozessorkern in den Debugmodus übergehen soll. Wenn sich der Prozessor nicht bereits im Debug-Modus befindet, wird das Signal `dinterrupt`, welches ein zentrales Steuersignal ist, auf den Wert eins gesetzt (dargestellt in Auflistung 3.12).

```

1 assign masked_interrupt = ext_interrupts & {20{mip[11]}};
2 assign minterrupt = interrupt_pending && ie;
3 assign dinterrupt = (debug_haltreq && !dmode) || (stepmode && stepdone_r);
4 assign interrupt_pending = |mip || dinterrupt;

```

Auflistung 3.12: Setzen der Debug- und Interruptsignale (raifes_csr.v Z. 207)

So wird zum einen das Ausgangssignal `interrupt_pending` auf den Wert eins gesetzt, wenn ein Bit aus dem Register `mip` ([10], Abs. 3.1.9) oder `dinterrupt` den Wert eins besitzt. Der Debug-Interrupt wird auch für beide implementierten Betriebsmodi akzeptiert, sodass das Register `interrupt_taken` auf den Wert eins gesetzt wird. Desweiteren wird das Register `handler_PC` auf null gesetzt, wodurch auf die Debug Startadresse `0x0` des Debug-ROMs gezeigt wird. Weiterhin werden die niederwertigsten zwei Bits und die Bits sechs bis acht des Debug-Mode Registers `dcsr` auf den Wert des aktuellen Betriebsmodus bzw. auf den Wert drei gesetzt, wodurch angegeben wird, dass der Prozessorkern gestoppt werden soll. Das Register `dmode` gibt an, ob sich der Prozessorkern im Debug Modus befindet. Dieses Register wird ebenfalls auf den Wert eins gesetzt, wobei das Ausgangssignal `dmode_WB` dem Wert des Registers `dmode` entspricht.

In gleicher Weise wird eine Ausnahme behandelt, die durch das Signal `exception` repräsentiert wird und ebenfalls ein zentrales Steuersignal darstellt. Dabei werden die Bits sechs bis acht des Registers `dcsr` auf den Wert zwei gesetzt. Dies entspricht einem Breakpoint beim Debuggen. Desweiteren wird das Datenwort aus dem Register `exception_PC` in das Register `mepc` geschrieben ([10], Abs. 3.1.15), wobei die zwei niederwertigsten Bits auf den Wert null gesetzt werden. Auf diese Weise wird die Adresse der Instruktion, welche die Ausnahme ausgelöst hat, zwischen gespeichert. Der Wert des Registers `epc` entspricht aktuell noch dem Wert des Registers `mepc`. Über das Register `exception_code` wird angegeben, um welche Unterbrechung es sich handelt. Aktuell sind allerdings nur die Ursachen für eine nicht korrekt ausgerichtete Instruktionsspeicherung (Instruction address misaligned) oder für einen Breakpoint implementiert. Die Interrupt-Handhabung wird in Unterabschnitt 3.2.5 näher analysiert.

Zugriff auf CSRs

Das Signal `addr` stellt die Adresse des Zielregisters dar und entspricht den Bits 31 bis 20 der aktuellen Instruktion. Dabei geben die beiden höherwertigen Bits mit einem Wert von `0x3` an, ob das Zielregister ein Nur-Leseregister ist. Das Signal `cmd` entspricht dem Zugriffsbefehl auf die Status- und Kontrollregister. Ist das MSB auf den Wert eins gesetzt, liegt ein Lesezugriff vor (siehe Auflistung 3.13). Ist einer der beiden niederwertigen Bits auf den Wert eins gesetzt, so liegt ein Schreibzugriff vor. Das Hauptdatenwort `wdata` entspricht den Daten, die in das durch das Signal `addr` adressierte Register geschrieben werden sollen. `wdata` wird entweder direkt aus der aktuellen Instruktion entnommen oder entspricht dem Datenwort aus einem Allzweckregister.

```
1 assign system_en = cmd[2];  
2 assign system_wen = cmd[1] || cmd[0];
```

Auffistung 3.13: CSR Zugriff (raifes_csr.v Z. 160)

Analog dazu wird das Datenwort aus dem Zielregister in das Register rdata geschrieben. Liegt eine Ausnahme im Schritt-für-Schritt Debug Modus vor, so wird das Datenwort aus dem Register exception_load_addr in das register rdata geschrieben. Liegt ein Zugriff auf ein undefiniertes Register oder ein Schreibzugriff auf ein Leseregister vor, so wird das Signal illegal_access auf den Wert eins gesetzt. Liegt ein fehlerhafter Schreibzugriff über den Debug Modus vor, wird das Signal illegal_access_debug auf den Wert eins gesetzt. Durch das Signal stepmode wird angegeben, ob sich der Prozessorkern im Schritt-für-Schritt Debug Modus befindet. Stepmode wird gesetzt, wenn Bit zwei aus dcsr gesetzt ist und dmode den Wert null hat.

Der aktuelle Betriebsmodus des Prozessors entspricht dem Wert des Signals prv. Initial startet der Prozessorkern im Betriebsmodus M und wird nur geändert, wenn das Signal dret den Wert eins hat. Die Interaktion mit dem Debugger wird mit Hilfe der Signale dm_csr_addr, dm_csr_cmd, dm_csr_wdata und dm_csr_rdata durchgeführt. Die Schaltlogik dieser Signale entspricht der Schaltlogik der Signale addr, cmd, wdata und rdata. Der Programmzähler für den Debug Modus wird durch den Wert in Register dpc angegeben.

3.2 Integration des ML IP-Kerns Caeco

Der Caeco ist ein ML IP-Kern, welcher einen EKG Datensatz eines Patienten entgegen nimmt und auswertet. Das Klassifikationsergebnis, welches durch das Ergebnisregister ausgegeben wird, soll darüber Auskunft geben, ob der EKG Datensatz Vorhofflimmern Symptome aufweist und damit ein Indiz für eine Herzerkrankung des Patienten darstellt. Die Beschreibung des RTL Entwurfs des Caecos ist dabei kein Bestandteil dieser Arbeit, sondern allein die Integration des Beschleunigers in den RISC-V Kern. Das Schreiben und Lesen der Daten kann entweder über dezidierte Schreibbefehle oder über einen direkten JTAG Zugriff stattfinden. Für die Einbindung des Caecos in das schon bestehende RISC-V Design wird in dieser Arbeit eine Schnittstelle das Caecointerface (siehe Unterabschnitt 3.2.1) entwickelt, welche die Ansteuerung des Caecos übernimmt. Dazu sind Erweiterungen im Prozessorkern notwendig, auf die in 3.2.2 eingegangen wird. Gesondert wird in 3.2.2 die DM Erweiterung für den direkten Transport von Daten über die JTAG Schnittstelle zum Caeco beschrieben. Der Caeco verfügt über sieben Eingangs- und drei Ausgangssignale. Die Ansteuerung der Eingangssignale für das Schreiben von Daten in den Caeco ist in Abbildung 3.8 dargestellt. Das Ziel ist es, die EKG Daten über das Signal DIN seriell in 16 Bit breiten Teilpaketen in die Kanäle null und eins des Caecos zu schreiben. Dabei haben die EKG Datensätze immer dieselbe Größe von 246 428 Byte Vor einer neuen Datenübertragung wird das Signal CMD für einen Takt auf den Wert eins gesetzt.

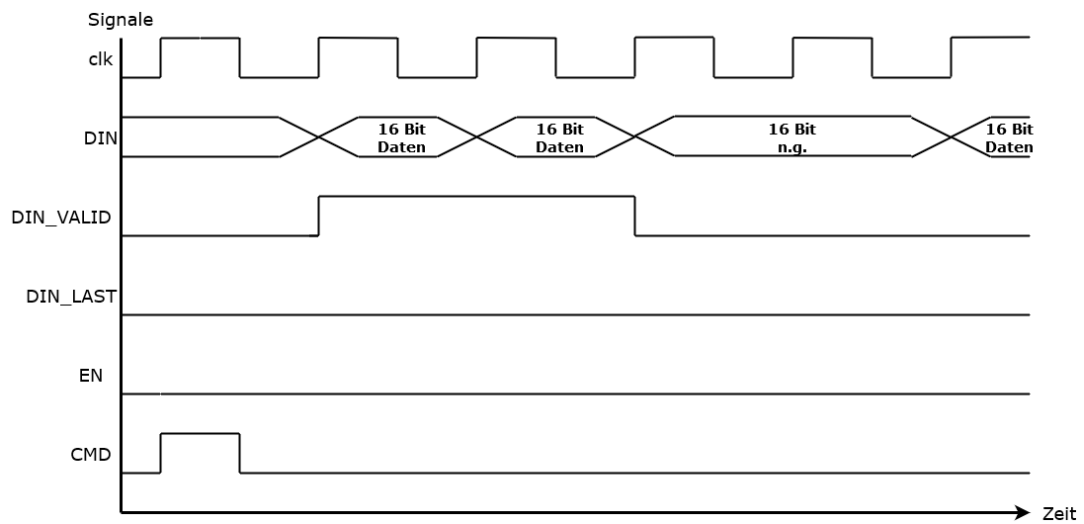


Abbildung 3.8: Caeco Schnittstelle Eingang

Danach können die Daten geschrieben werden (siehe Unterabschnitt 3.2.3 und Unterabschnitt 3.2.4). Pro Takt wird ein Datenwort gelesen. Dazu muss bei einem gültigen Datenwort das Signal DIN_VALID auf den Wert eins gesetzt werden. Während der gesamten Übertragung sind die Signale EN und DIN_LAST nicht gesetzt. Sollte ein weiterer Datensatz übertragen werden, muss zuerst das Signal CMD erneut für einen Takt auf den Wert eins gesetzt werden.

3.2.1 Caecointerface: Bus- und JTAG-Anbindung des Caecos

Das Modul caecointerface verfügt über neun Eingangs- und drei Ausgangssignale und ist in Abbildung 3.9 abgebildet. Der gesamte Verilog-Code des Moduls ist in Anhang B.1.1 und ein Blockschaltbild zur Ansteuerung und Signalübersicht in Abbildung D.14 einsehbar. Das Ausgangssignal rdata mit einer Breite von 32 Bit ist das Ergebnisregister des Caeco, das durch einen dezidierten Schreibbefehl von der Adresse 0xc00000c0 oder über einen JTAG Befehl ausgelesen werden kann. Das Ausgangssignal res_inter wird bei einem gültigen Ergebnis für einen Takt gesetzt, wodurch ein Interrupt ausgelöst wird. Über das Signal led wird signalisiert, ob sich der Caeco in einer Berechnung befindet. Aktuell wird es über das Modul fpga_wrapper als GPIO eingebunden.

Bei den Eingangssignalen wird neben dem Systemtakt clk und dem Resetsignal rst zwischen Signalen vom DM Modul und Signalen vom Prozessorkern unterschieden. Bezüglich der Eingangssignalen des Caecointerfaces ist einerseits zwischen den Prozessorsteuersignalen en, wen, wdata und addr und den DM-Steuersignalen dm_wdata, dm_wen und dm_cmd zu unterscheiden. Die Steuerung bzw. das Schreiben der Daten in den Caeco können entweder über die ersten vier Signale oder über letztere drei Signale erfolgen, allerdings nie gleichzeitig. Die Steuerungslogik ist durch die Moore Zustandsmaschine in Abbildung 3.10 dargestellt [11]. Die Zustandsmaschine startet im Zustand Idle, in welchen alle Steuersignale auf den Wert null gesetzt werden. Außerdem wird das Eingangssignal wdata in das Register data_r geschrieben. Ausgehend von dem Idle Zustand können drei verschiedenen Folgezustände angesteuert werden.

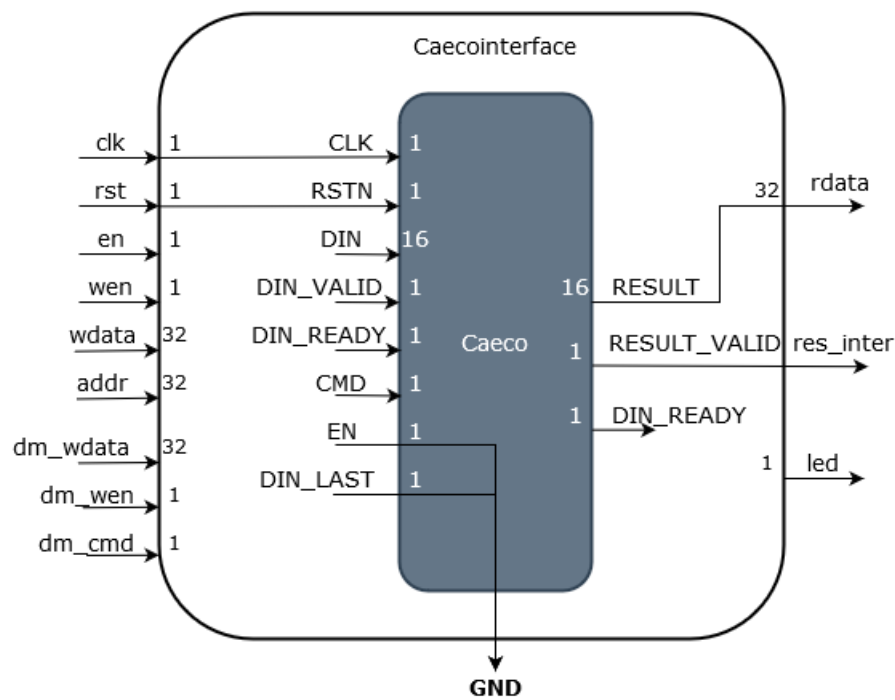


Abbildung 3.9: Caecointerface und Caeco Modulübersicht

Wird das Signal `dm_cmd` auf den Wert eins gesetzt, folgt der Zustand `CTRL_DM`. Dieser Zustand entspricht dem Setzen des Caeco Signals `CMD` über die JTAG Schnittstelle. Im Folgetakt wird der Zustand `WAIT_DM` angenommen. Dieser Zustand wird beibehalten, solange entweder das Signal `dm_cmd` oder `dm_wen` den Wert eins hat. Der Übergang vom Zustand `CTRL_DM` zum Zustand `WAIT_DM` nach einem Takt dient dazu, die Eingangssignale des Caecos `CMD` und `IN_VALID` nur für jeweils einen Takt lang zu aktivieren auch wenn die anliegenden Steuersignale eine längere Signaldauer besitzen. Im Zustand `WAIT_DM` werden dementsprechend die Steuersignale des Caecos wieder auf den Wert null gesetzt. Außerdem wird das Datenregister `data_r` aktualisiert. Der Grund hierfür ist, dass in diesem Zustand ein dezidiertes Schreibbefehl erfolgen kann, sodass in den Zustand `WDA0` gesprungen wird, um das Datenwort zu verarbeiten. Dies ist der Fall, wenn die Signale `en` und `wen` den Wert eins haben und die Adresse dem Wert `0xc0000010` entspricht. Allerdings ist dieser Fall für den eigentlichen Betrieb nicht vorgesehen.

Im Normalfall wird zurück in den Idle Zustand gesprungen. Wie zuvor beschrieben, haben bei einem dezidierten Schreibbefehl die Signale `en` und `wen` den Wert eins und die Adresse den Wert `0xc0000010`. In diesem Fall, oder wenn das Signal `dm_wen` den Wert eins hat, wird der Idle Zustand verlassen und der `WDA0` Zustand wird für einen Takt angenommen.

In diesem Zustand findet die Datenverarbeitung statt. So wird zum einen das Signal `invalid_r` auf den Wert eins gesetzt und das Register `datahalf_r` mit den 16 Bit des Messwertes von Kanal null aus dem Datenregister `data_r` beschrieben. Mit dem nächsten Takt wird in den Zustand `WDA1` gesprungen, in dem die anderen 16 Bit des Kanals eins in den Caeco geschrieben werden. Das letzte 32 Bit Datenwort ist nach 61 509 Zyklen geschrieben. Danach wird wieder in den Zustand `WAIT_DM` gesprungen.

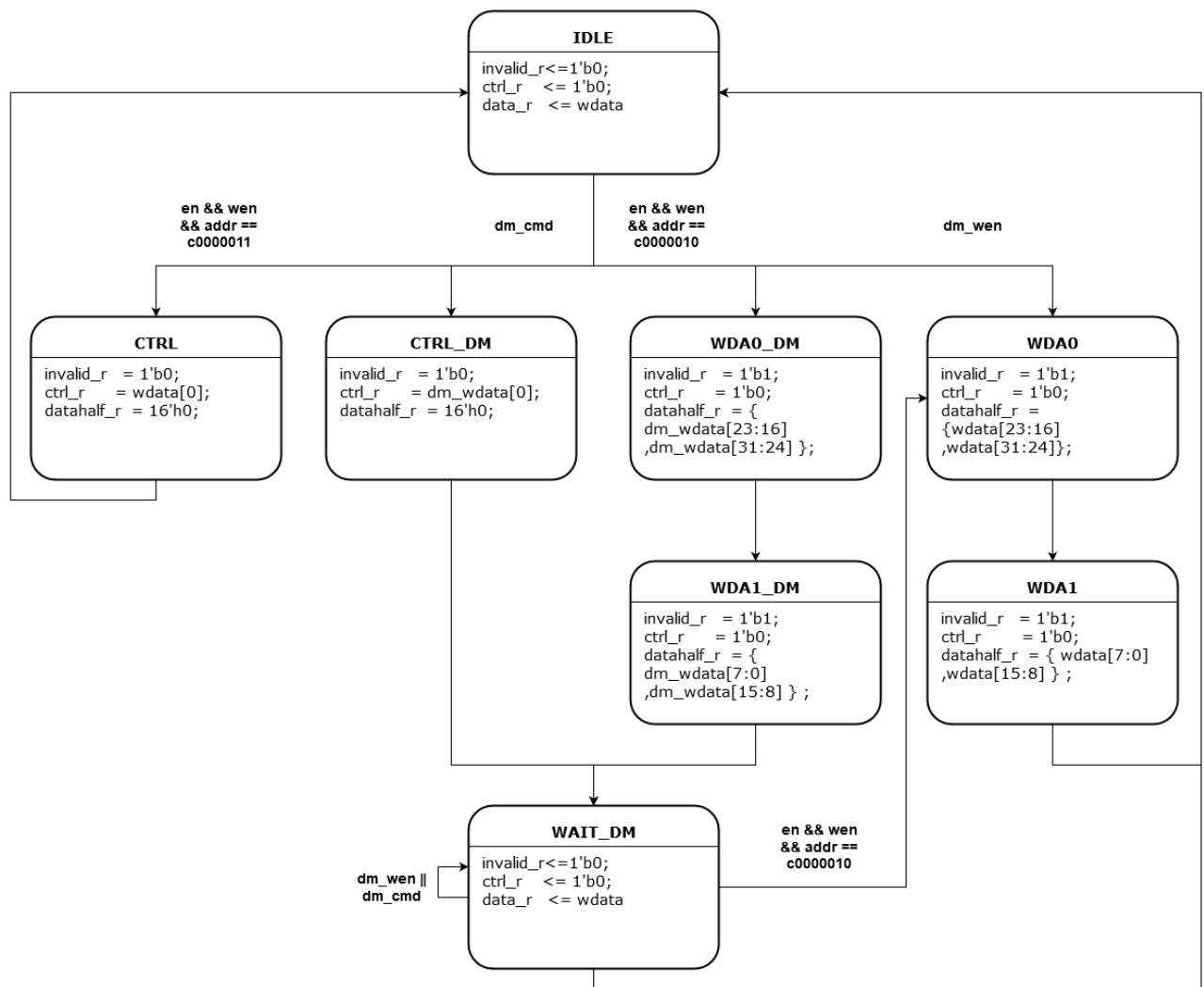


Abbildung 3.10: Caecointerface Zustandsmaschine

Wird das CMD Signal des Caecos ebenfalls durch einen dezidierten Schreibbefehl gesetzt, haben die Signale en und wen den Wert eins und die Adresse beträgt in diesem Fall 0xc0000011, sodass in den Zustand CTRL gesprungen wird. In diesem Zustand wird das Register ctrl_r auf den Wert des LSB des Datenwortes gesetzt. Danach wird wieder der Ausgangszustand Idle angenommen. Im folgenden Abschnitt sind die notwendigen Anpassungen innerhalb des Prozessors beschrieben, um den Caeco in das bestehende Design zu integrieren.

3.2.2 Adressmultiplexer

Zusätzlich zu dem Caecointerface sind Erweiterungen des Prozessorkern notwendig, um die Integration zu vervollständigen. So wird zum einen der Multiplexer, der die zu lesenden Peripheriedaten anhand der aktuellen Adresse auswählt, ergänzt. Dies ist in 3.14 dargestellt und entspricht einem Code-Ausschnitt aus dem Modul raifes_top.v. Anhand der aktuellen Adresse wird entweder das Datenwort aus dem Register per_hrddata, caeco_hrddata oder blockram_hrddata in das Signal

```

1 assign hrdata_muxed = (dmem_haddr_r == 'GPIO_BASE_ADDR) ? per_hrdata :
   (dmem_haddr_r == 'CAECO_reg) ? caeco_hrdata : blockram_hrdata;

```

Auflistung 3.14: Multiplexer für Lesen der Daten über Datenbus (raifes_top.v Z. 154)

hrdata_muxed geschrieben und bei einem Lesebefehl in ein angegebenes Allzweckregister des Prozessors geschrieben. Ein solcher Multiplexer existiert nur für den Datenbus, da die Instruktionen statisch aus dem RAM ausgelesen werden.

3.2.3 Lese- und Schreibzugriff über den Prozessor

Der Caeco kann durch dezidierte Schreib- und Ladebefehle des Prozessors entweder beschrieben oder ausgelesen werden. Hierfür sind drei Adressen reserviert, über die entweder das Signal CMD des Caecos gesetzt werden kann, die EKG Daten geschrieben werden können oder das Ergebnisregister des Caecos gelesen werden kann. Eine Übersicht ist in Tabelle 3.5 gegeben.

Tabelle 3.5: Adressraum des Caecos für dezidierte Schreib- und Lesebefehle

Adresse	Funktion
0xc0000010	EKG Daten schreiben
0xc0000011	CMD Schreiben; 0x1
0xc00000c0	Ergebnis Lesen

Für das Schreiben der EKG Daten kann der Caeco mit der Adresse 0xc0000010 beschrieben werden. Die Daten werden unverändert als 32 Bit Datenworte geschrieben. Die korrekte Ausführung des Schreibvorgangs, also die Aufteilung der Kanäle und das Byte-Shifting, wird durch das Caecointerface durchgeführt. Auch das Signal CMD kann über einen Schreibbefehl gesetzt werden. Dazu dient die Adresse 0xc0000011, wobei hier das zuschreibende 32 Bit Datenwort den Wert eins haben muss. Die Auslesung des Caecos ist über die Adresse 0xc00000c0 möglich. Diese Adresse bedarf einem besonderen Format, bei dem die beiden LSB nicht gesetzt sind. Grund dafür ist die in 3.15 dargestellte Ladefunktion load_data im Modul raifes_pipeline.v. Durch diese Funktion wird anhand des aktuellen Ladebefehls das Datenwort data, welches dem Wert des Registers hrdata_muxed aus 3.14 entspricht, bearbeitet und zurückgegeben.

```

1 function ['XPR_LEN-1:0] load_data;
2   input  ['XPR_LEN-1:0]          addr;
3   input  ['XPR_LEN-1:0]          data;
4   input  ['MEM_TYPE_WIDTH-1:0]   mem_type;
5   reg    ['XPR_LEN-1:0]          shifted_data;
6   reg    ['XPR_LEN-1:0]          b_extend;
7   reg    ['XPR_LEN-1:0]          h_extend;

```

```

8  begin
9      shifted_data = data >> {addr[1:0], 3'b0};
10     b_extend = {{24{shifted_data[7]}} , 8'b0};
11     h_extend = {{16{shifted_data[15]}} , 16'b0};
12     case (mem_type)
13         //gekuerzt
14     default : load_data = shifted_data;
15     endcase
16 end
17 endfunction

```

Auflistung 3.15: Ladefunktion (raifes_pipeline.v Z. 81)

Wie in Zeile neun zu sehen ist, wird bei dem Standardladebefehl LW das Datenwort `data` anhand der zwei niederwertigsten Bits verschoben. Dies würde bei einer Leseadresse des Caecos, die die zwei LSBs gesetzt hat, zu einem falschen Ladevorgang des Datenwortes führen.

Da das Schreiben der Daten über den Prozessor zeitaufwändig, energieintensiv und nicht kompatibel mit einem parallelen Betrieb ist, wird ein direkter Zugriff des Caecos durch das DM umgesetzt, welcher im folgenden Abschnitt beschrieben wird.

3.2.4 Direkter Lese- und Schreibzugriff über JTAG und das DM

Wie bereits in Abschnitt 3.1.4 beschrieben, ist für die Ausführung der JTAG Befehle das DM zuständig, in dem sowohl die RISC-V DMI- als auch die DM Funktionalität abgedeckt ist. Der direkte Zugriff auf den Caeco über das DM erfolgt über spezielle JTAG Befehle, die allerdings nur in die DMI Logik eingreifen, da für den Caeco keine Debug-Funktion vorgesehen ist. Dazu werden die DMI Zustandsmaschinen mit caeco-spezifischen Zuständen erweitert, dargestellt in Tabelle 3.6.

Tabelle 3.6: DMI Adressen des Caecos für direkten Schreib- und Lesezugriff

Adresse	Funktion
0x22	EKG Daten schreiben
0x23	CMD Schreiben
0x24	Ergebnis Lesen

Mit der DMI Adresse 0x22 wird das 32 Bit Datenwort des DTM DMI Registers über das Caecointerface in den Caeco geschrieben. Über die Adresse 0x23 kann das CMD Signal des Caecos gesetzt werden, wobei das eigentliche Datenwort einen beliebigen Wert haben kann. Zusätzlich kann das Ergebnisregister über die Adresse 0x24 ausgelesen werden. Die Implementierung des Schreib- und Lesezugriffs im Verilog-Code ist in Auflistung 3.16 bzw. in Auflistung 3.17 komprimiert

dargestellt. Bei einem Schreibbefehl über die JTAG Schnittstelle mit der DMI Adresse 0x22 wird die Zustandsmaschine in den Zustand ‘DMI_ADDR_CAECOWDATA gesetzt. Dabei wird das zu übertragende Datenwort aus dem Register wdata_r dem Signal caeco_wdata_r bzw. dm_wdata zugewiesen.

```

1 always @(posedge clk)
2 begin
3   if(reset) begin
4     // gekuerzt
5     if(dmi_state == 'DMI_STATE_WRITE) begin
6       case (dmi_addr_r)
7         // gekuerzt
8         'DMI_ADDR_CAECOWDATA : begin caeco_wdata_r <= wdata_r; caeco_wen_r <=
1' b1; end
9         'DMI_ADDR_CAECOCMD : begin caeco_wdata_r <= wdata_r; caeco_cmd_r <=
1' b1; end
10      endcase
11    end
12    // gekuerzt
13 end

```

Auflistung 3.16: DMI Multiplexererweiterung für Schreiben des Caecos (raifes_debug_module.v Z. 413)

Außerdem wird das Signal caeco_cmd auf den Wert eins gesetzt, welches dem Signal dm_wen entspricht. Wird über das DTM die Adresse 0x23, welche ‘DMI_ADDR_CAECO-CMD entspricht, angesprochen, wird wieder das Zieldatenwort über caeco_wdata übertragen, welches bei diesem Befehl immer den Wert eins hat. Zeitgleich wird das Signal caeco_cmd, welches dem Signal dm_cmd entspricht, auf den Wert eins gesetzt.

Für die Ausführbarkeit eines direkten Lesebefehls über die JTAG Schnittstelle wird die Multiplexerschaltung in Auflistung 3.17 ebenso mit den caeco-spezifischen Adressen erweitert. So wird bei einer Adressierung mit der DMI-Adresse vom Wert 0x24, welche ‘DMI_ADDR_CAECORDATA entspricht, das Ergebnisseregister des Caecointerface Moduls direkt ausgelesen.

```

1 always @*
2 begin
3   rdata_r = 32'hdeaddead;
4   case(dmi_addr_r)
5     ...
6     'DMI_ADDR_CAECOWDATA      : begin rdata_r = 'XPR_LEN'hdeadbeef; end
7     'DMI_ADDR_CAECOCMD       : begin rdata_r = 'XPR_LEN'hdeadbeef; end

```

```

8  DMI_ADDR_CAECORDATA      : begin rdata_r = caeco_rdata; end
9  endcase
10 end

```

Auflistung 3.17: DMI Multiplexererweiterung für Lesen des Caecos (raifes_debug_module.v Z. 257)

Die in diesem Abschnitt beschriebenen Anpassungen des bestehenden Designs entsprechen nicht mehr den RISC-V Spezifikationen. Für die Analyse und die Verifizierung des Prozessors ist daher in Bezug auf die Implementation des Caecos keine Verifizierung durch eine Referenzmodell möglich, sondern kann nur anhand von einer Simulation geprüft werden.

3.2.5 Trap-Auslösung durch Caeco

Unter RISC-V werden Interrupts und Exceptions (*Ausnahmen*) gemeinsam als Traps (*Fallen*) behandelt und sind daher auch bei der Implementierung eng verknüpft. Folgend wird allerdings nur die Implementierung bzgl. der Interrupts beschrieben, da bei einem gültigen Ergebnis des Caecos ein Hardware-Interrupt ausgelöst wird.

Für externe bzw. zusätzliche Interrupt-Quellen liegt der 24 bit breiter Eingangsport `ext_interrupts` am Modul `raifes_csr_file.v` vor. Dieser Port war vor der Caeco Implementierung hart auf null verdrahtet, wurde im Modul `raifes_top.v` allerdings so angepasst, dass das Signal `caeco_interrupt` dem LSB des Signals `ext_interrupts` entspricht (dargestellt in Auflistung 3.18).

```

1 raifes_core raifes (
2     .reset(reset),
3     .clk(clk),
4     .ext_interrupts({23'h0, caeco_interrupt}),

```

Auflistung 3.18: Caeco Interrupt Signal (raifes_top.v Z. 190)

Innerhalb des Moduls `raifes_csr_file.v` hat das Setzen des LSB des Signals `ext_interrupts` unterschiedliche Konsequenzen. Zum einen wird das Register `mip`, welches Informationen zu ausstehenden Interrupts enthält, geschrieben (siehe Auflistung 3.19).

```

1 assign mip = { | ext_interrupts, 3'b0, mtip, 3'b0, msip, 3'b0 };

```

Auflistung 3.19: Caeco Interrupt schreibt mip (raifes_csr_file.v Z. 319)

Desweiteren wird das Signal `masked_interrupt` gesetzt, dargestellt in Auflistung 3.12. Dieses Signal gibt an, ob es sich um einen Interrupt handelt, der bearbeitet werden kann. Ist das Signal gesetzt, so kann der vorliegende Interrupt behandelt werden. Dadurch dass eines der Bits im Register `mip`

gesetzt ist, wird ebenfalls das Signal `interrupt_pending` gesetzt. Im Falle, dass das Signal `ie` für das freischalten der Interrupts gesetzt ist, wird abschließend auch das Signal `minterrupt` gesetzt. All diese Signale werden für die folgende Fallunterscheidung der Sprungadresse bei einem Interrupt verwendet.

Ermittlung der Sprungadresse bei einer Trap

Das Register `mtvec` ist ein Lese- und Schreibregister, in das die Sprungadresse zum Trap-Handler geschrieben wird. Der Trap-Handler ist ein Software-Bestandteil und enthält ebenfalls Sprungbefehle, die ausgehend von der Adresse im Register `mtvec` die entsprechenden Routinen aufrufen. Die Implementierung dieser Fallunterscheidung ist in im Modul `raifes_csr_file.v` beschrieben (siehe Auflistung 3.20).

```

1  always @*
2  begin
3      if(dinterrupt || (exception_code == 'MCAUSE_BREAKPOINT)) handler_PC <=
4      'DEBUG_ADDRESS;
5      else if (minterrupt) begin
6          case(masked_interrupt)
7              24'h1: handler_PC <= {mtvec[31:2], 2'b00}+4;
8              default: handler_PC <= {mtvec[31:2], 2'b00}+8;
9          endcase
10     end
11     else handler_PC <= {mtvec[31:2], 2'b00};
12 end

```

Auflistung 3.20: Sprungadresse zum Trap-Handler (`raifes_csr_file.v` Z. 138)

Der Multiplexer unterscheidet aktuell vier Fälle einer auftretenden Trap. Bei jedem der Fälle wird die Sprungadresse für die nächste Instruktion in das Register `handler_PC` geschrieben. Zeile drei und vier beschreiben einen Debug-Zugriff. Dabei wird die Adresse `0x0` in das Register `handler_PC` geschrieben. Die Zuweisung bei einem Interrupt wird in den Zeilen vier bis neun beschrieben, wobei Interrupts des Caecos in Zeile sechs verarbeitet werden. Bei einem durch den Caeco ausgelösten Maschinen-Interrupt ist das Signal `minterrupt` gesetzt und das Register `masked_interrupt` wird ausgewertet. Dieses Register enthält die Informationen über den Ursprung des Interrupts. Dadurch, dass das LSB dieses Register bei einem Caeco-Interrupt gesetzt wird, erhält das Register `handler_PC` die um den Wert vier inkrementierte Adresse aus dem Register `mtvec`. In allen anderen Fällen wird die Adresse im Register `mtvec` um den Wert acht inkrementiert und in das Register `handler_PC` geschrieben. Bei einer Exception entspricht die Sprungadresse genau der Adresse aus dem Register `mtvec`, welche bei der Software-Initialisierung geschrieben werden kann

Ermittlung der Rücksprungadresse bei einer Trap

Bei Auftreten einer Trap muss nicht nur die Sprungadresse, sondern auch die Rücksprungadresse ermittelt und gespeichert werden. Die Rücksprungadresse hängt vom aktuellen Befehl und der Pipeline-Stufe zusammen. Sprungbefehle stellen hier eine Besonderheit dar, da sie zwei Takte zur Bearbeitung benötigen. Fällt ein Interrupt genau zwischen die zwei Takte, kommt es darauf an, in welcher Pipeline-Stufe sich der Sprungbefehl befindet und ob der Sprung genommen werden soll. Die Ermittlung der Rücksprungadresse ist in Auflistung 3.21 dargestellt.

```
1 always @(posedge clk) begin
2     if (reset) begin
3         mepc <= 'XPR_LEN'h0;
4     end
5     else begin
6         if (interrupt_taken & ~dinterrupt) begin
7             if(redirect_WB) mepc <= PC_IF;
8             else mepc <= (exception_PC & {{{30{1'b1}}},2'b0}) + 'XPR_LEN'h4;
9         end
10    end
11 end
```

Auflistung 3.21: Rücksprungadresse zum Trap-Handler (raifes_csr_file.v Z. 331)

Bei einem Interrupt gibt es zwei Fallunterscheidungen, um die Rücksprungadresse zu speichern. Ein Interrupt liegt vor, wenn das Signal `interrupt_taken` und das Signal `dinterrupt` nicht gesetzt ist. Hierbei wird das Signal `interrupt_taken` gesetzt, wenn das Signal `minterrupt` gesetzt ist. Im Normalfall wird dann die Adresse aus dem Register `exception_PC`, welche die Adresse der Instruktion der WB Stufe ist, um den Wert vier inkrementiert und gespeichert, sodass die Rücksprung auf die Instruktion der IF Stufe zeigt. Liegt ein auszuführender Sprungbefehl in der WB Stufe vor, entspricht die zu speichernde Adresse dem Wert in Register `PC_IF`, welches die berechnete Adresse für die Instruktion der IF Stufe angibt. Hierbei wird das Signal `redirect_WB` immer dann gesetzt, wenn ein gültiger Sprungbefehl vorliegt.

3.2.6 Manueller Interrupt zur Verifizierung auf dem FPGA

Für die Verifizierung des Design auf dem FPGA kann der Interrupt nicht durch den Caeco ausgelöst werden, da die Datenschnittstelle aktuell nicht vorliegt. Somit wird der Interrupt des Caecos über einen Schalter auf der Entwicklungsplatine ausgelöst, bei dem das Ergebnisregister des Caecos ausgelesen wird. Hierzu sind weitere Implementierung des Design innerhalb des Moduls `raifes_fpga_wrapper.v` notwendig (dargestellt in Auflistung 3.22).

```

1 'define          INT_IDLE    4'h0
2 'define          INT_ON     4'h1
3 'define          INT_OFF    4'h2
4 'define          INT_WAIT   4'h3
5 wire            interrupt;
6 reg      [3:0]  state , next_state;
7 reg            interrupt_r;
8 always @(posedge CLKout or posedge RESET)
9 begin
10     if(RESET) begin
11         state<='INT_IDLE; end
12     else begin
13         state <= next_state; end
14 end
15 always@(*)
16 begin
17     case(state)
18         'INT_IDLE: begin
19             if (ext_inter) begin
20                 next_state = 'INT_ON; end
21             else begin
22                 next_state = 'INT_IDLE; end
23         end
24         'INT_ON: begin next_state = 'INT_WAIT; end
25         'INT_WAIT: begin if (!ext_inter) begin next_state = 'INT_IDLE; end
26             else begin next_state = 'INT_WAIT; end
27         end
28         default: next_state ='INT_IDLE;
29     endcase
30 end
31 always@(state)
32 begin
33     interrupt_r = 1'b0;
34     case(state)
35         'INT_IDLE: interrupt_r = 1'b0;
36         'INT_ON: interrupt_r = 1'b1;
37         'INT_WAIT: interrupt_r = 1'b0;
38     endcase
39 end
40 assign interrupt = interrupt_r;

```

Auflistung 3.22: Manueller Interrupt (raifes_fpga_wrapper.v Z. 56)

Die dargestellte Zustandsmaschine reagiert auf das Signal `ext_inter`, welches dem Schalter des FPGAs entspricht. Wird der Schalter betätigt, hat dieser den Wert `1`, wodurch die Zustandsmaschine aus dem Anfangszustand `INT_IDLE` in den Zustand `INT_ON` springt und das Signal `interrupt` wird für einen Takt lang gesetzt. Dies entspricht dem Verhalten des Caecos bei einem gültigen Ergebnis. Mit dem nächsten Takt springt die Zustandsmaschine dann in den Zustand `INT_WAIT`. Wird der Schalter auf den Ausgangswert gesetzt, so springt die Zustandsmaschine in den Anfangszustand `INT_IDLE` und durch das erneute Betätigen des Schalters kann ein weiterer Interrupt ausgelöst werden. Für die Verifizierung auf dem FPGA wird das Signal `interrupt` an das Modul `raifes_top.v` weitergeleitet und ersetzt das Signal `caeco_interrupt` bei den externen Interrupts (dargestellt in Auflistung 3.23).

```
1 raifes_core raifes (  
2     .reset (reset) ,  
3     .clk (clk) ,  
4     // .ext_interrupts ({23'h0, caeco_interrupt}) ,  
5     .ext_interrupts ({23'h0, ext_inter}) ,
```

Auflistung 3.23: Manuelles Interrupt Signal (`raifes_top.v` Z. 190)

Abschließend ist festzuhalten, dass die Implementierung des Caecos an zahlreichen Stellen Anpassungen erfordert. Die Integration in das Gesamt-Design impliziert einen Datenaustausch des Caecos mit dem Prozessor und der JTAG Schnittstelle. Um Energie und Zeit zu sparen, wurde ein direkter Zugriff auf den Caeco über die JTAG Schnittstelle implementiert. So können die EKG Daten direkt in den Caeco geschrieben werden. Weiterhin kann der Caeco aber auch über den Prozessor durch dezidierte Lese- und Schreibbefehle erreicht werden. Dies ist für die Auswertung eines Ergebnisses im realen Betrieb notwendig. Bezüglich der Verifizierung sind zwei separate Tests notwendig, da das Beschreiben des Caecos mit Daten über JTAG Schnittstelle aktuell nicht auf dem FPGA getestet werden kann. Daher wird einerseits das Verhalten des Caecos auf RTL Ebene simuliert und verifiziert, andererseits wird das Interrupt-Verhalten des Prozessors durch einen Schalter ausgelösten Interrupt getestet. Beide Tests haben allerdings ein und denselben Programm-Code gemeinsam. Die Software-Entwicklung bzgl. des Programms ist in den folgenden Abschnitten erläutert.

4 Hard- und Software-Entwicklungsfluss

In diesem Abschnitt wird der Entwicklungsfluss der Zielhard- und Software mit den eingangs erwähnten Werkzeugen beschrieben. Der Ablauf für die beiden Entwicklungszweige ist in Abbildung 4.1 dargestellt. Das Ziel auf Seite der Software-Entwicklung ist die Erstellung eines C-Programms (Quell-Code), welches Grundfunktionen des RISC-V Prozessors und des ML-IP-Kerns prüft. Dieses Programm wird für die Simulation in riscvOVPsim, für die RTL Simulation und im Anschluss auf der eigentlichen Ziel-Hardware genutzt, sodass die Simulationsergebnisse vergleichbar sind und Verifikationsrückschlüsse bzgl. des Hardware-Designs getroffen werden können.

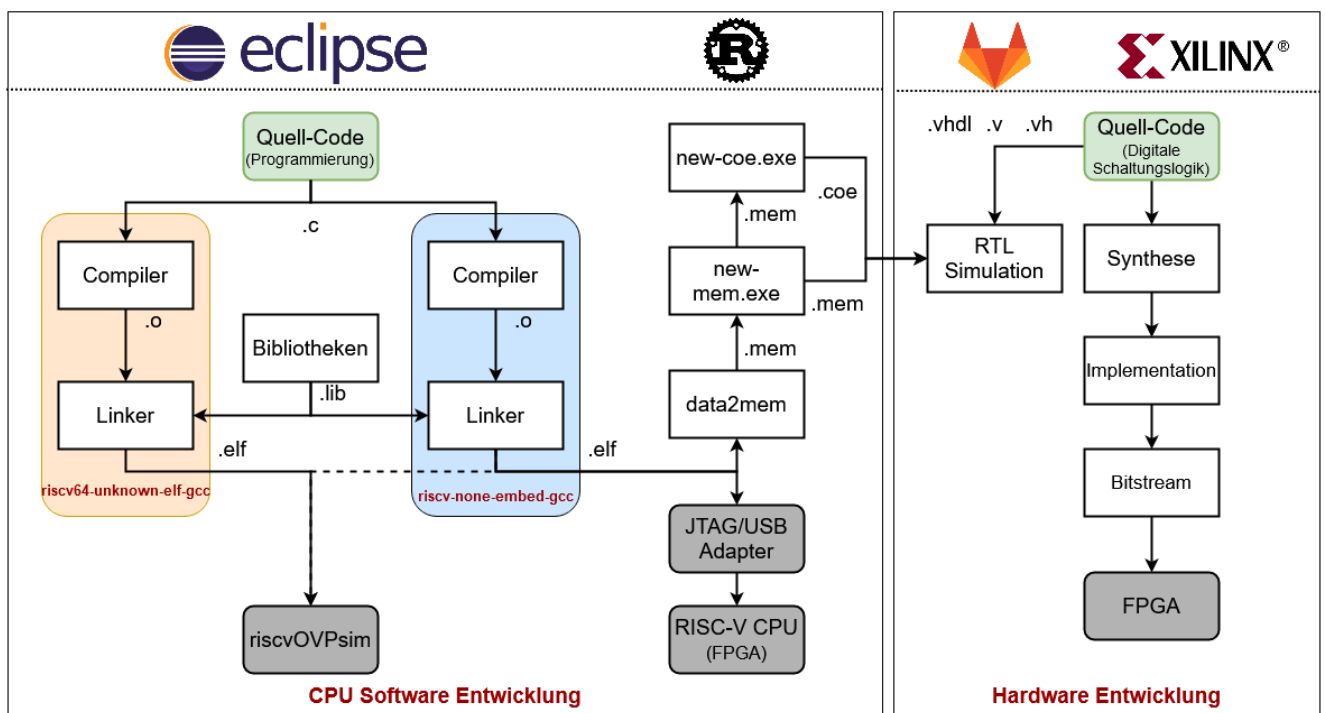


Abbildung 4.1: Zielhard- und Software-Entwicklungsablauf

Der CPU Software-Entwicklungsfluss wird eingesetzt, um die C Quell-Code-Dateien zu kompilieren und für die Simulation bzw. Debugging vorzubereiten. Für die Erstellung von den ELF Dateien werden zwei Toolchains genutzt, einmal die SiFive riscv64-unknown-elf-gcc 8.3.0-2019.08.0 Toolchain und der xPack riscv-none-embed-gcc v8.3.0 Toolchain. Letztere wird innerhalb der Entwicklungsumgebung Eclipse IDE verwendet. Die kompilierte ELF Datei der SiFive Toolchain wird für die Simulation mit dem Instruktionssimulator riscvOVPsim herangezogen. Zwar kann auch die ELF Datei der xPack Toolchain simuliert werden, allerdings werden dabei die eigens definierten system calls (*Systemaufrufe*) genutzt, die nicht das Betriebssystem, sondern die Ziel-Hardware

adressieren. Dadurch werden die Ausgaben des zum Debugging genutzten `printf()` Befehls nicht ausgegeben, wodurch eine erste Verifizierung durch den Simulator erschwert wird.

Die ELF Datei wird für das Debugging des implementierten FPGAs und der RTL Simulation verwendet. Für die Umwandlung in das richtige Format, das für die RTL Simulation benötigt wird, werden die drei Programme `data2mem` (Xilinx), `new-mem` (Rust) und `new-coe` (Rust) genutzt. Dabei wird die ELF Datei durch `data2mem` im ersten Schritt in eine Memory (MEM) Datei umgewandelt. Diese Datei entspricht allerdings nicht dem von Xilinx geforderten MEM Format, sodass im nächsten Schritt durch das selbst geschriebene Programm `new-mem` das Format überarbeitet wird. Zusätzlich kann diese Datei durch `new-coe` in eine COE Datei umgewandelt werden, mit der die Speicherbausteine unter Vivado initialisiert werden können.

Bei der Hardware-Entwicklung werden die HDL Dateien in einer RTL Simulation geprüft, um anschließend synthetisiert und für die Nexys4 DDR Entwicklungsplatine implementiert zu werden. Hierfür wird das Programm Vivado 2020.1 von Xilinx genutzt. Zusätzlich ist die gesamte Entwicklung durch Gitlab DevOps automatisiert. Dabei wird jeder in Abbildung 4.1 Schritt des Hardware-Entwicklungsflusses ausgeführt und bereits ausgewertet, wodurch eine frühzeitige Fehlererkennung möglich ist.

4.1 Ziel-Hardware

In diesem Abschnitt wird das Nexys 4 DDR Board als Ziel-Hardware für den Test des entwickelten Designs und der JTAG Adapter Olimex ARM-USB Tiny-H als Programmier- und Debugschnittstelle beschrieben. Im Unterabschnitt 4.1.1 wird dabei genauer auf die Schnittstellen und die Komponenten der Entwicklungsplatine eingegangen. Im Unterabschnitt 4.1.2 wird der JTAG Adapter und die Verbindung zum DDR4 Board erläutert. Für die Programmierung des FPGAs wird die IDE Vivado 2020.1 Entwicklungsumgebung verwendet, welche zu der Xilinx Unified Software Platform 2020.1 gehört (siehe Unterabschnitt 4.4.2). Um das implementierte Design zu Debuggen bzw. den Prozessor zu programmieren, wird die Entwicklungsumgebung Eclipse IDE genutzt (siehe Abschnitt 4.4.1).

4.1.1 Digilent Nexys 4 DDR Entwicklungsplatine

Die Entwicklungsplatine verfügt über eine Vielzahl von ansteuerbaren Schnittstellen und ist in Abbildung 4.2 dargestellt. Das zentrale Bauteil ist der Artix XC7A100T-CSG324 FPGA von Xilinx. Der generierte Takt für die Platine liegt bei 100 MHz. Für die Implementierung unter Vivado wird die spezifische XDC Datei des Boards benötigt, die über das Digilent Github Repository heruntergeladen und dem lokalen Installationsordner hinzugefügt werden kann [12].

Die Stromversorgung, die Programmierung des implementierten Designs über die Vivado Entwicklungsumgebung und die Abfrage des Host-PCs über die UART Schnittstelle ist über den Micro-USB Port J6 realisiert.

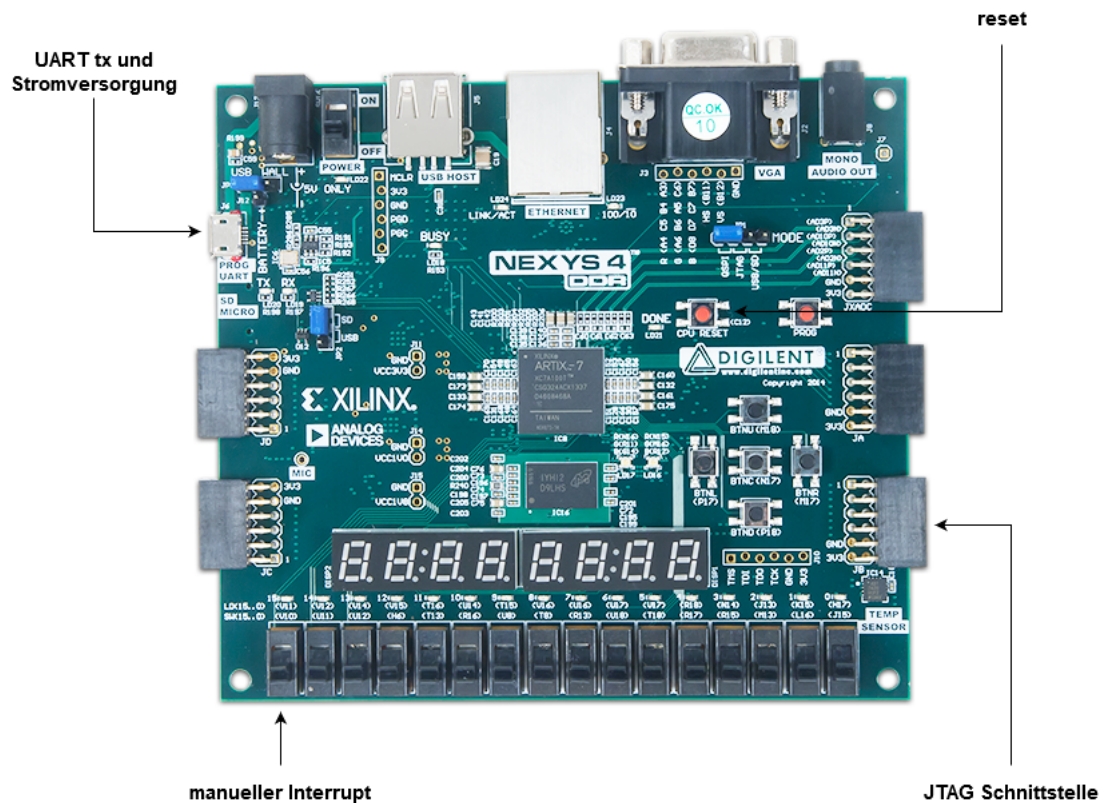


Abbildung 4.2: Digilent Nexys 4 DDR Entwicklungsplatine [13]

Der JTAG Olimex ARM-USB-Tiny-H Adapter wird über den Pmod Port JA mit dem FPGA verbunden. Ein Zurücksetzen des Prozessors kann über den CPU Reset-Knopf erfolgen. Für die Auslösung eines Interrupts wird bei der Hardware-Verifizierung der Schiebeschalter Nummer 16 genutzt. Im folgenden Abschnitt wird näher auf den JTAG Adapter und die Verbindung über die Pmod JA Schnittstelle eingegangen.

4.1.2 Olimex ARM-USB Tiny-H JTAG Adapter

Der Olimex ARM-USB Tiny-H JTAG Adapter wird in Kombination mit der OpenOCD Software für das Debugging des RISC-V Prozessors verwendet. Die Taktgeschwindigkeit für die Übertragung der Daten des Adapters kann bis zu 30 MHz betragen und wird in der späteren RTL Simulation mit 20 MHz bei einem Systemtakt von 25 MHz getestet. Damit der Adapter unter der lokalen Entwicklungsmaschine verwendet werden kann, müssen die entsprechenden Windows Treiber WinUSB(libUSB) über die Hilfs-Software Zadig installiert werden [14]. Die Verbindung zum Nexys4 DDR Board wird über die Pmod Schnittstelle JA aufgebaut. Die Pinbelegung ist in Abbildung 4.3 beschrieben. Bei der Steckerbeschtaltung wird einer der beiden VCC Pins des Nexys4 mit dem Pin Vref des Olimex Adapters verbunden. Die Referenzspannung liegt hierbei bei 3,3 V. Ebenfalls wird einer der beiden GND Pins mit einem der GND des Adapters verbunden.

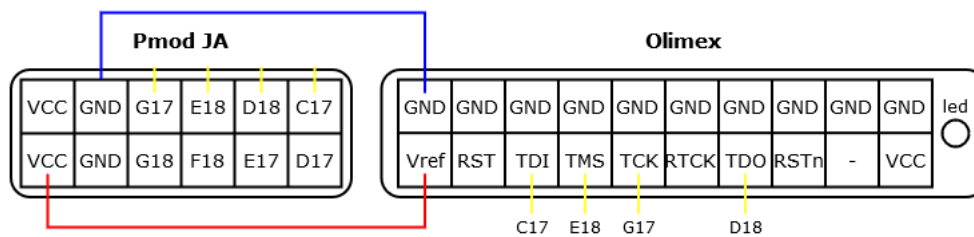


Abbildung 4.3: Hardware-Verbindung von Olimex Adapter und Nexys4 DDR

Die Signalleitung TDI wird mit dem Pin C17, TMS mit E18, TCK mit G17 und TDO mit D18 verbunden. Über USB wird der Adapter mit dem lokalen Entwicklungs-PC verbunden.

4.2 Automatisierungswerkzeuge

In diesem Abschnitt wird eine Einführung und Beschreibung der Entwicklungswerkzeuge für eine effiziente und nachhaltige Automatisierung bzgl. der Hardware-Entwicklung in der Vivado 2020.1 Integrated Development Environment (IDE) gegeben. Im Unterabschnitt 4.2.1 wird der Begriff DevOps erläutert. Dabei wird ebenfalls auf Die Begriffe Continuous Integration (CI) und Continuous Delivery (CD) eingegangen, die einen hohen Stellenwert in den DevOps besitzen. Im Abschnitt 4.2.2 wird speziell auf die DevOps Entwicklung in Gitlab eingegangen. Abschließend wird in Abschnitt 4.3 genau beschrieben, wie die DevOps für diese Arbeit aufgebaut wurde. Dabei wird auch konkret auf die Auslegung der .gitlab-ci.yml Datei eingegangen (siehe Unterabschnitt 4.3.2).

4.2.1 DevOps

Der Begriff DevOps entstammt der Software-Entwicklung und ist aus den Begriffen Development und IT Operations zusammengesetzt. Beim DevOps Ansatz geht es darum, eine Projektentwicklung, welche von mehreren Parteien durchgeführt wird, weitestgehend automatisiert, standardisiert und transparent durchzuführen und damit die Effizienz des Entwicklungsprozesses zu steigern und eine nachhaltige Qualitätssicherung zu erzielen. Es gibt zahlreiche Werkzeuge, welche in unterschiedlichen Bereichen im Zusammenhang mit DevOps verwendet werden. Darunter fallen z.B. Versionsverwaltungswerkzeuge wie Git, Testwerkzeuge wie JUnit oder auch Container wie Docker. Die zentralen Elemente von DevOps sind CI und CD. Dabei umfasst das Schlagwort CI die Verwaltung des vollständigen Programm-Codes in einem Versionierungssystem. Außerdem findet bei einer Code-Aktualisierung eine automatische Integration und Verifikation statt, wobei der gesamte Prozess für jeden Anwender transparent ist. Der CD Begriff wird anschließende die automatisierte Veröffentlichung und Bereitstellung der aktuellsten und getesteten Version [15,16].

4.2.2 Projektmanagement mit Gitlab

Für die Versionskontrolle des Quell-Codes und die Automatisierung der Verifikation der Entwürfe wird in dieser Arbeit die Plattform Gitlab genutzt. Gitlab basiert auf dem Versionsverwaltungssystem Git, bietet aber zusätzliche DevOps Funktionen, durch die die Nutzung zusätzlicher Plattformen nicht notwendig ist. Mit Hilfe der integrierten CI/CD Funktionen werden in Gitlab sogenannte Pipelines verwaltet, anhand derer die Automatisierung durchgeführt wird. Die Ausführung einer Pipeline wird durch eine `.gitlab-ci.yml` Datei definiert, zusammen mit dem Quell-Code im gleichen Verzeichnis abgelegt wird [17]. Der Aufbau der in dieser Arbeit verwendeten Datei wird in Unterabschnitt 4.3.2 detailliert beschrieben. Desweiteren wird die Ziel-Hardware, auf der die Pipeline ausgeführt werden soll, durch die Angabe des zu verwendeten Runners bestimmt. Ein Runner ist eine notwendige Instanz, welche auf der Ziel-Hardware installiert sein muss, um die Pipeline ausführen zu können. Es ist allerdings auch durchaus möglich, verschiedene Unterprozesse der Pipeline auf verschiedene Zielgeräte zu verteilen. Im Zuge dieser Arbeit wird eine Automatisierung auf einer lokalen Entwicklungsmaschine beschrieben. verwendet wird dabei eine 64-Bit Windows 10 Pro Maschine in der Version 1909, welche über einen Runner verfügt, der durch die Tags `“local“` und `“windows“` aktiviert wird.

4.3 Hardware-Entwicklung mit DevOps

Im Rahmen dieser Arbeit zielt die Hardware-Entwicklung auf die Implementierung des Design auf einem FPGA ab. Dafür werden alle HDL Quelldateien in einem Vivado 2020.1 Projekt synthetisiert, implementiert und der FPGA konfiguriert. Zusätzlich wird eine RTL Simulation durchgeführt. Um die Arbeit mit den RTL Dateien und den Entwicklungsfluss unter Vivado 2020.1 zu optimieren, wird die Hardware-Entwicklung durch die Nutzung einer Gitlabpipeline automatisiert, wobei im Vivado Project Batch Flow Modus (*Projekt-Stapel Modus*) gearbeitet wird.

Grundlage für die Durchführung einer Automatisierung in Gitlab ist ein aktives Nutzerkonto, ein Projekt, das die in Abbildung 4.4 dargestellte Projektstruktur aufweist und ein installierter bzw. zugänglicher Gitlab-Runner (siehe Abschnitt 4.3.1).

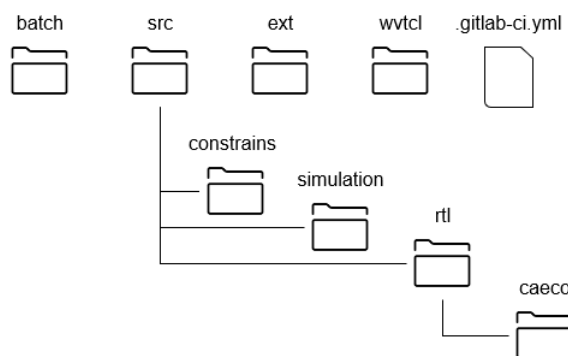


Abbildung 4.4: Gitlab Projektstruktur

Die Programmierung der Automatisierung findet sich in der `.gitlab-ci.yml` Datei wieder und ist in Abschnitt 4.3.2 beschrieben. Im Ordner `batch` sind Batchskripte enthalten, die punktuell eingesetzt werden, um den Pipelinerverlauf zu verifizieren. Der Ordner `src` hat vier Unterordner auf die sich alle notwendigen HDL Dateien verteilen. Im Ordner `ext` befinden sich die EKG Daten, sowie der Programm-Code als MEM und COE Datei. Die Vivado Batchskripte liegen im Ordner `wvtcl`. Jede Aktualisierung der Quelldateien im Gitlabverzeichnis startet die Pipeline. Eine visuelle Übersicht über die Pipeline ist in Abbildung 4.5 gegeben. Es werden fünf aufeinander aufbauende Stages (*Stufen*) durchlaufen. Stages werden seriell abgearbeitet und können mehrere parallele Jobs (*Arbeitspakete*) enthalten. Ist eine Stage fehlerhaft und wird dadurch nicht erfolgreich beendet, kann an dieser Stelle die Pipeline bereits gestoppt und die Fehlersuche gestartet werden. In dieser Arbeit werden die Stages Prepare, Build, Synthesis, Implement und Simulate durchgeführt. Hierbei ist die Stage Build abhängig von der Stage Prepare, die Stages Synthesis und Simulate abhängig von der Stage Build und die Stage Implement abhängig von Synthesis.



Abbildung 4.5: Gitlab Pipeline

In der Stage Prepare wird der Job `prepare` aufgerufen. Dieser dient der Vorbereitung des Speicherordners `build` für das zu erstellende Vivado Projekt und der Initialisierung der Log-Dateien. Ist dieser Schritt erfolgreich, wird in der nächsten Stage Build durch den Job `build` ein neues Vivado 2020.1 Projekt `masterthesis` erstellt. Alle neu erstellten Dateien werden als Artefakte behandelt, die für eine bestimmte Dauer auf der ausführenden Maschine unter dem Installationsverzeichnis des Gitlab-Runners und auf dem Gitlab Server gespeichert werden. Somit ändert sich lokal die Projektstruktur und wird mit den neu erstellten Dateien ergänzt, wie in Abbildung 4.6 zu sehen ist.

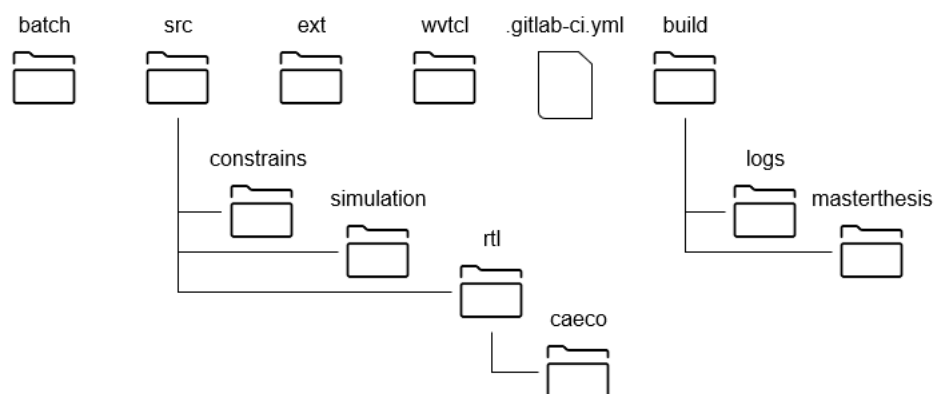


Abbildung 4.6: Gitlab Projektstruktur nach erfolgreicher Pipeline-Ausführung

Hierbei befinden sich die gespeicherten oder exportierten Log-Dateien im Ordner logs und das neu erstellte Vivadoprojekt im Ordner masterthesis. Durch die Nutzung von DevOps wird somit zum einen eine Zeitersparnis erzielt, da die Pipeline automatisiert und die aufwendigen Schritte der Projektverwaltung in Vivado automatisch abgearbeitet werden und bietet zum anderen die Möglichkeit auf Änderungen zu reagieren und Fehlerquellen frühzeitig zu erkennen. Im folgenden Abschnitt ist der Gitlab-Runner genauer beschrieben.

4.3.1 Gitlab-Runner

Der Gitlab-Runner ist ein Prozess, der den Programm-Code aus der .gitlab-ci.yml Datei auf einer Zielmaschine ausführt. Für diese Arbeit ist auf der lokalen Entwicklungsmaschine unter Windows 10 ein projektspezifischer shell Gitlab-Runner installiert [18]. Ob der installierte Runner aktiv ist und mit welchen tags (*Stichworte*) dieser genutzt werden kann, ist unter den Gitlab Projekteinstellungen unter CI/CD einsehbar (siehe Anhang C.1.5, Abbildung C.5). Der installierte Runner wird durch die tags “local“ und “windows“ angesprochen. Der Grund hierfür ist, dass die Entwicklungsplatine mit der lokalen Entwicklungsmaschine verbunden ist und so die nach der Implementierung erstellte Binärdatei zur Programmierung auch lokal zugänglich sein muss. Für Prozesse, welche die Rechenleistung einer privaten Maschine übersteigen würden, bietet Gitlab die Nutzung von shared Runners an, die teilweise auf potenteren Maschinen laufen. Allerdings muss darauf geachtet werden, dass die genutzten Programme auf der Maschine des angesprochenen Runners verfügbar sind, da ansonsten die Pipeline scheitert. Im nächsten Abschnitt wird die Programmierung eines Runners durch die .gitlab-ci.yml Datei beschrieben.

4.3.2 .gitlab-ci.yml Datei

Die .gitlab-ci.yml YAML Datei definiert die Pipelinestruktur und enthält den Programm-Code, der von einem oder mehreren Gitlab-Runner ausgeführt wird. Hauptsächlich werden bestimmte Stages und Jobs definiert, die Programm-Code ausführen und je nach Ergebnis zu einem Erfolg oder Misserfolg der Pipeline führen [19]. In Auflistung 4.1 ist die genutzte .gitlab-ci.yml Datei dargestellt. Wie bereits erwähnt, werden die fünf Stages bzw. Jobs definiert und miteinander verknüpft. Dazu werden zuerst Job-Vorlagen programmiert und diese im Anschluss abgerufen. So bleibt der Aufruf der verschiedenen Jobs übersichtlich und kann je nach Bedarfsfall angepasst werden.

```
1 stages:
2   - prepare
3   - build
4   - synthesis
5   - implement
6   - simulate
```

```
7
8 .job_template: &template_base
9   tags:
10     - local , windows
11   before_script:
12     - dir
13     - P:\Xilinx\Vivado\2020.1\.settings64-Vivado.bat
14
15 .job_template: &template_prepare
16 <<: *template_base
17   stage: prepare
18   script:
19     - dir
20     - mkdir build\logs
21     - New-Item -Path "build\logs\" -Name "project.log" -ItemType "file"
22     -Value ""
23     - dir
24   artifacts:
25     when: on_success
26     name: "%CI_JOB_NAME%-%CI_JOB_STAGE%-%CI_COMMIT_REF_NAME%"
27     paths:
28       - .\build
29     expire_in: 60 minutes
30
31 .job_template: &template_build
32 <<: *template_base
33   stage: build
34   dependencies:
35     - prepare
36   script:
37     - dir
38     - vivado -mode batch -source wvtcl\create.tcl
39   artifacts:
40     when: on_success
41     name: "%CI_JOB_NAME%-%CI_JOB_STAGE%-%CI_COMMIT_REF_NAME%"
42     paths:
43       - .\build
44     expire_in: 60 minutes
45
46 .job_template: &template_synthesis
47 <<: *template_base
48   stage: synthesis
```

```
48 dependencies:
49   - build
50 script:
51   - vivado -mode batch -source wvtcl\synthesis.tcl
52   - batch\check.bat
53 after_script:
54   - copy build\masterthesis\masterthesis.runs\synth_1\runme.log
    build\logs\project_synthesis.log
55 artifacts:
56   when: on_success
57   name: "%CI_JOB_NAME%-%CI_JOB_STAGE%-%CI_COMMIT_REF_NAME%"
58   paths:
59     - .\build
60   expire_in: 1 day #5 minutes
61
62 .job_template: &template_implementation
63 <<: *template_base
64 stage: implement
65 dependencies:
66   - synthesis
67 script:
68   - vivado -mode batch -source wvtcl\implementation.tcl
69   - batch\check.bat
70 after_script:
71   - copy build\masterthesis\masterthesis.runs\impl_1\runme.log
    build\logs\project_implementation.log
72 artifacts:
73   when: on_success
74   name: "%CI_JOB_NAME%-%CI_JOB_STAGE%-%CI_COMMIT_REF_NAME%"
75   paths:
76     - .\build
77   expire_in: 15 minutes
78
79 .job_template: &template_simulation1
80 <<: *template_base
81 stage: simulate
82 dependencies:
83   - build
84 script:
85   - vivado -mode batch -source wvtcl\simulation.tcl
86 artifacts:
87   when: on_success
```

```
88   name: "%CI_JOB_NAME%-%CI_JOB_STAGE%-%CI_COMMIT_REF_NAME%"
89   paths:
90     - .\build
91   expire_in: 15 minutes
92
93 # Jobs
94 prepare:
95   <<: *template_prepare
96 build:
97   <<: *template_build
98 synthesis:
99   <<: *template_synthesis
100 implementation:
101   <<: *template_implementation
102 simulation1:
103   <<: *template_simulation1
```

Aufistung 4.1: .gitlab-ci.yml

In den Zeilen eins bis sechs werden die Stages definiert, welche zu einem späteren Zeitpunkt ausgewählt werden können. Danach wird eine Basisvorlage definiert, die in jedem der folgenden Jobs genutzt wird. Durch die Auswahl der tags in Zeile zehn wird der lokale Runner aufgerufen und in den Zeilen 11 bis 13 wird die Vivadokonfiguration geladen. Letzteres ist notwendig, da ansonsten der Start von Vivado durch den Gitlab-Runner nicht möglich ist. Da der Aufruf durch einen `before_script` Befehl stattfindet, wird die Pipeline bei einem fehlerhaften Aufruf fehlschlagen. Von Zeile 15 bis 28 wird die Jobvorlage für den ersten Job, der dann in Zeile 94 aufgerufen wird, definiert. Die Basisvorlage wird, wie bei allen anderen Jobs auch, zuerst aufgerufen. In Zeile 17 wird die Vorlage der Stage Prepare zugeordnet. Darauf folgend werden mit dem Aufruf `script` die Systembefehle definiert, bei denen die beiden Zielordner `logs` und `build` angelegt werden. Außerdem wird die Datei `project.log` erstellt, die dazu dient, spezielle Nachrichten zu speichern. Der erstellte Ordner `build` wird rekursiv durch die Zeilen 23 bis 28 als Artefakt definiert, sodass die Daten für die folgenden Jobs zugänglich sind und gespeichert werden können.

Mit den Zeilen 30 bis 43 erfolgt die dritte Jobdefinition, die der vorherigen ähnelt. Hier wird in Zeile 37 allerdings das erste mal Vivado im Batchmodus aufgerufen und das Batchskript `create.tcl` abgearbeitet (siehe Anhang A.2.1). Durch diesen Job werden alle HDL Quelldateien und die Constraints Datei dem Projekt hinzugefügt. Außerdem wird der Takt durch den Clock-Wizard und der Blockram durch den Block-RAM-Generator von Vivado generiert.

Die anderen Jobvorlagen folgen dem gleichen Format und werden demnach nicht im Einzelnen erläutert. Die Jobs werden in den Zeilen 93 bis 103 aufgerufen. Das Design wird nach dem Job `build` synthetisiert und danach implementiert. Am Ende erfolgt die Simulation des Designs.

4.4 Software-Werkzeuge

In diesem Abschnitt werden die notwendigen Software-Werkzeuge zur Entwicklung des Programm-Codes und der HDL Dateien beschrieben. Die Software-Entwicklung wird mit Hilfe der Entwicklungsumgebung Eclipse 2019-09 IDE durchgeführt. Die IDE benötigt allerdings für eine erfolgreiche Entwicklung angepasste RISC-V Erweiterungen, die in Unterabschnitt 4.4.1 beschrieben werden. Für die Hardware-Entwicklung werden Xilinxwerkzeuge genutzt, die gebündelt über die Xilinx Unified Software Platform 2020.1 installiert werden und in Abschnitt 4.4.2 erläutert werden.

4.4.1 GNU MCU Eclipse IDE v4.6.1

Auf dem lokalen Entwicklungs-PC ist die Entwicklungsumgebung Eclipse 2019-09 IDE zusammen mit dem GNU MCU Eclipse Plug-in v4.6.1 installiert. Die Entwicklungsumgebung bietet über einen Editor die Möglichkeit zur C Programm-Code-Eingabe und nutzt die GNU-Toolchain zur Kompilierung des Quell-Codes und zur Programmierung und anschließendem Debugging der Ziel-Hardware. Die verwendete Toolchain ist das in Absatz 4.4.1 beschriebene riscv-none-embed-gcc v8.3.0 Paket. Die SiFive riscv64-unknown-elf-gcc 8.3.0-2019.08.0 Toolchain wird ebenfalls installiert, da sie für die Kompilierung des Programm-Codes bei Ausführung im Simulator verwendet wird [20]. Die Toolchain wird allerdings nicht innerhalb der Entwicklungsumgebung genutzt, sondern durch direkte Terminalbefehle bedient, die in Abschnitt 4.6 beschrieben werden.

RISC-V Toolchain riscv-none-embed-gcc v8.3.0

Die Erweiterung GNU RISC-V Embedded GCC v8.3.0 wird über xPacks installiert und ist die genutzte Toolchain für die Kompilierung des Programm-Codes, welcher auf der Ziel-Hardware ausgeführt werden soll. Diese Toolchain leitet sich aus der SiFive riscv64-unknown-elf-gcc Toolchain ab, wobei auf die Einbindung der libgloss C Bibliothek und damit auf die ecall Instruktion verzichtet wird, da diese Instruktionen zu Problemen bei Bare-Metal Anwendung führt [21]. Für die Verwendung der Toolchain ist die Definitionen von eigenen System Calls (*Systemaufrufe*) notwendig, da diese in Bare-Metal Anwendung hardware-spezifisch sind.

Tabelle 4.1: Eclipse Toolchain Einstellungen

Einstellungspfad	Attribut
Target processor → Architecture	RV32I (-march=rv32i*)
Target processor → Multiply extension	RVM
Target processor → Integer ABI	ILP32(-mabi=ilp32*)
Debugging → Debug Level	-g3
GNU RISC-V Cross C Linker → General	Linkerscript angeben
GNU RISC-V Cross C Linker → Miscellaneous	Cross reference und use newlib-nano auswählen

Unter Project → Properties → MCU wird die Toolchain nach der Installation ausgewählt (siehe Anhang C.1.4). Zusätzlich werden unter Project → Properties → C/C++ Build → Settings → Tool Settings Einstellungen aus Tabelle 4.1 vorgenommen, welche für die korrekte Kompilierung des Programm-Codes notwendig sind.

GNU MCU Eclipse Windows Build Tools

Zusätzlich zur IDE werden die xPack Erweiterung Windows Build Tools v2.12.2 installiert. Diese Erweiterung beinhaltet Werkzeuge wie z.B. make, welche die Verskriptung des Kompiliervorgangs vereinfachen. Die installierten Tools werden unter Project → Properties → MCU referenziert (siehe Anhang C.1.3).

xPack OpenOCD v0.10.0-13

Als Debugger wird OpenOCD v0.10.0-13 verwendet. Dieses Erweiterungspaket wird ebenfalls über xPacks installiert und kann danach in der Eclipse Entwicklungsumgebung über die Debug Bedienschnittstelle genutzt werden. Unter Project → Properties → MCU wird der Debugger nach der Installation ausgewählt (siehe Anhang C.1.1). Damit der Debugger mit dem Prozessor eine Verbindung aufbauen kann, ist das Hinzufügen einer Konfigurationsdatei in den Quellordner des Debuggers notwendig. Die Datei airi5c.cfg wird dem lokalen Installationsverzeichnis unter \xPacks\xpack-dev-tools\openocd\0.10.0-13.1\content\scripts\target hinzugefügt. In Auflistung C.1 ist die Konfigurationsdatei dargestellt. Zeile eins bis fünf sind für jede Konfigurationsdatei notwendig und definieren den Chip Namen, welcher in diesem Fall der Bezeichnung airi5c entspricht. In Zeile acht wird der TAP für die JTAG Schnittstelle definiert, welcher mit den Definitionen des DTM übereinstimmen sollte. Zuletzt wird in Zeile neun die Ziel-CPU definiert [22]. Nach der Installation und Einfügung der Konfigurationsdatei werden im letzten Schritt einige zusätzliche Einstellungen unter den Debug Configurations → GDB OpenOCD Debugging → Debugger durchgeführt (siehe Anhang C.1.2). Dadurch wird beim Start des Debuggers die neue Konfigurationsdatei geladen, wodurch der Prozessor über den Debugger ansprechbar ist.

4.4.2 Xilinx Unified Software Platform 2020.1

Für die Entwicklung der Hard- und Software werden Tools der Firma Xilinx verwendet. Durch das installieren der Xilinx Unified Software Platform 2020.1 werden fast alle notwendigen Software-Entwicklungswerkzeuge installiert. Darunter ist die Vivado 2020.1 IDE, die für die Verarbeitung von HDL Dateien genutzt wird. Desweiteren wird das Xilinx Software Command Line Tool für die Generierung von MEM Dateien verwendet. Das Programm data2mem ist bei der neuen Version des Software-Pakets jedoch nicht mehr enthalten und muss daher separat heruntergeladen und dem Xilinx Installationsverzeichnis unter \Xilinx\Vitis\2020.1\bin\unwrapped\win64.o hinzugefügt werden [23].

4.5 Software-Entwicklung

Dieser Abschnitt umfasst die Software-Entwicklung in C und dem RISC-V Assembler. Ziel ist ein lauffähiger Programm-Code in Form einer ELF Datei. Es wird auf den C Quell-Code, die C Startdatei crt0.S und das Linker-Skript eingegangen.

4.5.1 Quell-Code in C

Ein zentraler Bestandteil der Software-Entwicklung ist der Programm-Code in der Hochsprache C. In diesem Abschnitt wird die main.c Datei erläutert, die das Hauptprogramm beinhaltet. Dieses Programm unterteilt sich hauptsächlich in zwei Funktionen. Hierbei handelt es sich zum Einen um die *main()* Funktion, mit der Speicherplatz reserviert und geprüft wird, ob der Speicher geschrieben worden ist. Des weiteren ist eine Interrupt Service Routine (ISR) (*Unterbrechungsroutine*) definiert worden, die ein gültiges Ergebnis des Caecos in den reservierten Speicherbereich schreibt. Der komplette Programm-Code ist in Auflistung 4.2 abgebildet.

```
1 #include <stdio.h>
2 #include <stdlib.h>
3 #include <stdbool.h>
4 #include "syscalls.h"
5
6 int *cur_res = NULL;
7 int *out_res = NULL;
8 int *storage = NULL;
9
10 void exception_handler(void) __attribute__((interrupt));
11 void exception_handler(void){
12     // do nothing
13 }
14
15 void l_1_caeco_interrupt_handler(void) __attribute__((interrupt));
16 void l_1_caeco_interrupt_handler(void){
17     int* pointer = (int *) 0xc00000c0;
18     int value = *pointer;
19     *cur_res = value;
20     ++cur_res;
21 }
22
23 int main (void)
24 {
```

```
25 storage = (int *) malloc(1000 * sizeof(int));
26 if(storage != NULL) {
27     printf("\n ok\n");
28 } else {
29     printf("\n fail\n");
30 }
31 cur_res = storage;
32 out_res = storage;
33 printf("\n run!\n");
34 while (1){
35     if (out_res != cur_res){
36         printf("\n result: %p\n", *out_res);
37         ++out_res;
38     }
39 }
40 }
```

Auffistung 4.2: main.c

In Zeile eins bis vier werden drei Standardbibliotheken und die Systemaufrufe eingebunden. Die Definitionen der Systemaufrufe in `syscalls.h` sind für die Nutzung der `newlib-nano` Bibliothek notwendig und entsprechen bis auf die Funktion `outbyte()` den vorgeschlagenen Standard Funktionen (siehe [24], S. 319). Danach folgen drei Definitionen von globalen Zeigern. An dieser Stelle muss den Zeigern ein initialer Wert zugewiesen werden, sodass diese nach dem Linkervorgang in der initialisierten Datensektion gespeichert werden [25]. Andernfalls wird der Programm-Code mit dem vorhandenen Linkerskript nicht korrekt ausgeführt, da die globalen Variablen nicht geladen werden. In den Zeilen zehn bis 13 ist der Exception-Handler `exception_handler()` definiert. Diese Funktion wird im Falle einer Exception aufgerufen, führt allerdings keinen Programm-Code aus, da das Verhalten einer Exception nicht Gegenstand dieser Arbeit ist. Durch den Zusatz in Zeile zehn wird die Funktion auch für das Linkerskript als Interrupt gekennzeichnet, wodurch keine normaler Rücksprung `ret` zur zuletzt gespeicherten Rücksprungadresse, sondern ein Maschinenrücksprung `mret` zur im Register `epc` gespeicherten Adresse stattfindet.

Der Interrupt-Handler `l_1_caeco_interrupt_handler()` ist von Zeile 15 bis 21 definiert und wird bei einem durch den Caeco ausgelösten Interrupt aufgerufen. Dabei wird in Zeile 17 die Adresse des Caecos in den Zeiger `pointer` gespeichert. Anschließend wird der Wert an der Speicheradresse, welcher dem Ergebnisregisters des Caecos entspricht, in der Variablen `value` gespeichert. Das Ergebnis wird danach an eine Adresse eines Speicherbereichs geschrieben, der in der `main()` zuvor reserviert wurde, woraufhin die Adresse um den Wert vier inkrementiert wird.

Die `main()` Funktion umfasst die Zeilen 23 bis 40. Hier wird in Zeile 25 zu aller erst ein Speicherbereich von 4 kB reserviert. Ob die Zuteilung erfolgreich war, wird in Zeile 26 bis 30 geprüft. Bei einer gültigen Speicherplatzreservierung besitzt die Variable `storage` die Startadresse des Speicherraums

und wird durch das Senden der Zeichenkette “ok“ quittiert. Andernfalls wird die Zeichenkette “fail“ per UART Schnittstelle gesendet. Für die Feststellung, ob zwischenzeitlich ein Interrupt aufgetreten ist und neue Daten in den Speicher geschrieben worden sind, werden initial die Zeiger `cur_res` und `out_res` auf die Startadresse des Speicherraums gesetzt und die Endlosschleife wird gestartet. Innerhalb der Schleife wird geprüft, ob sich `cur_res` verändert hat, was auf das Erscheinen eines Interrupts hindeutet würde. Ist dies der Fall, dann wird das Ergebnis per UART ausgegeben und `out_res` angeglichen.

Für die Umwandlung des Programm-Codes in eine ELF Datei, die letztendlich in den Programmspeicher geladen werden kann, sind weitere Dateien notwendig. Diese zusätzlichen Dateien sind im folgenden Abschnitt genauer beschrieben.

4.5.2 Generierung der ELF Datei

Für die Generierung der notwendigen ELF Datei ist eine RISC-V spezifische Toolchain notwendig. Im folgenden wird der Kompiliervorgang des C Quell-Codes mit der aktuellen `riscv-none-embed-gcc 8.3.0-1.1` Toolchain beschrieben. Diese leitet sich aus der `SiFive riscv64-unknown-elf-gcc` Toolchain ab, wobei allerdings die `libgloss` Bibliothek nicht mehr standardmäßig beim Linkprozess standardmäßig mit eingebunden wird, da es Probleme mit dem Aufruf von `ecalls` bei `bare metal` Anwendung gibt. Am Ende dieses Abschnittes wird auf die Unterschiede in den kompilierten ELF Dateien beider Toolchains eingegangen. Die für die Kompilierung notwendigen Dateien sind in Tabelle 4.2 gelistet.

Tabelle 4.2: Notwendige Dateien für Kompilierung

Dateiname	Funktion
<code>main.c</code>	Enthält Programm-Code
<code>crt0.S</code>	C runtime Startdatei
<code>link.ld</code>	Linker Skript
<code>syscalls.h</code>	Systemaufrufe
<code>syscalls.c</code>	Systemaufrufe

Die `main.c` Datei enthält den C-Programm-Code und wurde in Abschnitt 4.5.1 beschrieben. Bei der `link.ld` Datei handelt es sich um das für den Linkprozess notwendige Linker Skript, welches der AT&T's Link Editor Command Language Syntax folgt [26]. Die `crt0.S` Datei ist die C runtime Startdatei, die den Programmablauf vor der Ausführung der eigentlichen `main()` Funktion festlegt [27]. Dies ist In den folgenden Abschnitten werden die einzelnen Dateien genauer beschrieben. Für einen erfolgreichen Kompiliervorgang und die weitere Nutzung der ELF Datei ist darauf zu achten, dass die Dateien untereinander stimmig sind und einem genauen Format folgen. Dabei ist entscheidend, dass der Programmeinstieg nicht bei der `main()` stattfindet, sondern bei der `crt0.S` Datei. Dies ist ein entscheidender Unterschied zwischen der Software-Entwicklung, bei der bereits ein Betriebssystem aktiv ist und der Bare-Metal Entwicklung.

Die crt0.S Datei

Die crt0.S Datei enthält RISC-V Assembler Befehle und hat unter anderem die Aufgabe, den Programmablauf vor dem Aufruf der *main()* Funktion zu beschreiben. Die Dateien main.c, crt0.S und link.ld sind durch wechselseitige Definitionen eng miteinander verknüpft. Die komplette crt0.S Datei, die für diese Arbeit verwendet wird, ist in 4.3 dargestellt.

```
1 .section .text
2 .align 2
3 .globl _start
4 .type _start, @function
5 _start:
6 .cfi_startproc
7 .cfi_undefined ra
8 .option push
9 .option norelax
10 la gp, __global_pointer$
11 .option pop
12 la sp, __stack
13 .globl exception_handler
14 .type exception_handler, @function
15 .globl l_1_caeco_interrupt_handler
16 .type l_1_caeco_interrupt_handler, @function
17 csrwi mstatus, 0x1F
18 la x29, trap_handler
19 csrw mtvec, x29
20 mv x1, x0
21 mv x2, x1
22 mv x3, x1
23 mv x4, x1
24 mv x5, x1
25 mv x6, x1
26 mv x7, x1
27 mv x8, x1
28 mv x9, x1
29 mv x10, x1
30 mv x11, x1
31 mv x12, x1
32 mv x13, x1
33 mv x14, x1
34 mv x15, x1
35 mv x16, x1
```

```
36 mv x17, x1
37 mv x18, x1
38 mv x19, x1
39 mv x20, x1
40 mv x21, x1
41 mv x22, x1
42 mv x23, x1
43 mv x24, x1
44 mv x25, x1
45 mv x26, x1
46 mv x27, x1
47 mv x28, x1
48 mv x29, x1
49 mv x30, x1
50 mv x31, x1
51 la x26, __bss_start
52 la x27, __bss_end
53 bge x26, x27, zero_loop_end
54 zero_loop:
55 sw x0, 0(x26)
56 addi x26, x26, 4
57 ble x26, x27, zero_loop
58 zero_loop_end:
59 call main
60 .cfi_endproc
61 1:
62 j 1b
63 trap_handler:
64 j exception_handler
65 j l_1_caeco_interrupt_handler
66 mret
```

Auflistung 4.3: crt0.S

In Zeile eins wird die Sektion `.text` markiert und für das Linker Skript sichtbar gemacht. Diese Sektion markiert den Bereich des ausführbaren Programm-Codes und muss in der Datei `crt0.S` angegeben werden. Alle Befehle nach dieser Zeile gehören demnach aus Linker-Sicht zu dem ausführbaren Programm-Code. In Zeile zwei wird die Speicherausrichtung definiert. Hierbei entspricht die Anzahl der Bytes dem Potenzwert von vier, berechnet aus der Basis zwei und dem angegebenen Exponenten, in diesem Fall der Wert zwei [28]. In den Zeilen drei bis fünf wird der Eintrittspunkt für das Linker Skript definiert, welcher mit Zeile 13 des Linker Skriptes `link.ld` korreliert. In Zeile sechs und sieben werden Call Frame Information (CFI) Instruktionen aufgerufen, die erweiterte

Informationen zu einer Funktion generieren. Diese Informationen sind für Hochsprachen notwendig, die Exceptions oder Debug-Prozesse verarbeiten müssen. Hierbei handelt es sich um keine Prozessor Instruktionen. Die CFI Informationen werden automatisch separat in der Sektion `.eh_frame` gespeichert. Zeile sieben gibt an, dass der Inhalt, den das Register `ra` vor Ausführung der `__start` Funktion besessen hat, nämlich die Rücksprungadresse nicht mehr benötigt und dementsprechend auch nicht mehr wiederhergestellt werden braucht und damit gelöscht werden kann [29, 30].

Die Zeilen acht bis elf können als Befehlspaket gesehen werden, die für die RISC-V Plattformen notwendig sind. Durch den Befehl können `.option RISC-V` spezifische Assembler Optionen angegeben werden. Mit dem Argument `push` bzw. `pop` werden aktuelle `.option` Konfigurationen gespeichert bzw. wiederhergestellt. Diese Methoden können z.B. dann verwendet werden, wenn eine Option nur temporär gesetzt werden soll. Dies ist in Zeile neun und zehn der Fall. Hier wird die Assembler- bzw. Linker Option `norelax` in Bezug auf die Assembler Instruktion in Zeile zehn gesetzt. Dadurch soll verhindert werden, dass der Assembler die Adressenangabe im `la` Befehl durch eine Offsetangabe zum aktuellen globalen Zeigerwert ersetzt und in Folge verkürzt. Dieser Relaxationsvorgang wird normalerweise genutzt, um eine Adresskonstante mit nur einer einzigen Instruktion laden zu können, was aber bei der ersten Initialisierung des globalen Zeigerwertes noch nicht möglich ist. (siehe [29], Kapitel 9.38.2 RISC-V Directives).

In Zeile zwölf befindet sich nun die erste Prozessor Instruktion, die nach der Kompilierung an der Adresse `0x80000000` steht. Hier wird die Adresse des Stacks `0x4000`, der in dem Linkerskript definiert wird, in das Register `sp` geladen. Danach wird in Zeile 13 und 14 der Exception-Handler bzw. in Zeile 15 und 16 der Interrupt-Handler der `main.c` als globale Funktion deklariert und dem Linker so zugänglich gemacht. Bei diesen beiden Aufrufen handelt es sich ebenfalls nicht um Prozessor Instruktionen. Zeile 17 entspricht einem Schreibbefehl auf das CSR `mstatus`, durch den die Interrupts aktiviert werden. Danach wird in Zeile 18 die Adresse der in Zeile 63 definiert Trap-Handler Funktion in das register 29 geladen, woraufhin in Zeile 17 diese Adresse in das CSR `mtvec` geschrieben wird. Hierdurch wird bei einem Interrupt die Adresse der Funktion `l_0_caeco_interrupt_handler` geladen und diese Funktion ausgeführt.

In den Zeilen 20 bis 50 werden alle Allzweckregister auf den Wert `null` gesetzt. In den Zeilen 51 bis 58 wird das `.bss` Speichersegment, in dem statische Variablen abgelegt werden, auf den Wert `0` initialisiert. Dafür werden die Start- und Stopadresse der Sektion geladen und die Startadresse solange inkrementiert, bis diese der Stopadresse gleicht. Daraufhin wird die `main()` aus der `main.c` Datei aufgerufen. Sollte die Hauptfunktion verlassen werden, so wird in die Zeile 62 gesprungen, wodurch der Prozessor immer wieder auf den selben Befehl zurückspringt und nur noch durch einen Hardware-Reset zurückgesetzt werden kann.

Am Schluss der Datei, in Zeile 63 bis 66 ist der Trap-Handler definiert. Hier findet sich nun die bereits in Auflistung 3.20 beschriebene Implementierung des Hardware-Trap-Handlers wieder. Hierbei zeigt die Adresse, welche in Zeile 19 gespeichert wird, auf den Programm-Code an Zeile 63. Bei einem Caeco Interrupt wird somit die Adresse geladen, die dem Programm-Code an Zeile 65 entspricht. An dieser Stelle befindet sich ein Sprungbefehl zu der in der `main.c` definierten ISR. Analog dazu wird bei einer Exception zu dem in der `main.c` definierten Exception-Handler

gesprungen. Da beide Funktionen mit dem Attribut eines Interrupts gekennzeichnet sind, findet nach der Ausführung ein Rücksprung zu der im Register `epc` gespeicherten Adresse statt.

Im folgenden Abschnitt wird auf die Struktur des Linkerskriptes eingegangen, welches mit den Angaben in der `main.c` und der `crt0.S` übereinstimmen muss, damit einer erfolgreiche Kompilierung und Ausführung des Programm-Codes möglich ist.

Das Linker Skript `link.ld`

Im Linker Skript werden eine Vielzahl von Direktiven definiert, welche hauptsächlich dazu dienen, den Programm-Code für die Ausführung hardware-spezifisch zu ordnen und den Speicher zu organisieren. Dabei ist der Programm-Code in Sektionen unterteilt [26]. Mit dem Befehl in Auflistung 4.4 kann das Standard-Linker Skript der Toolchain aus dem Verzeichnis der Toolchain zur besseren Lesbarkeit in ein Zielverzeichnis abgelegt werden (siehe Unterabschnitt A.1.1). Diese Standarddatei gibt eine gute Übersicht auf ein beispielhaftes komplettes Linkerskript.

```
1 "absoluter Pfad der Toolchain" \bin \riscv-none-embed-ld --verbose >  
  "absoluter Pfad des Zielverzeichnis" \link.ld
```

Auflistung 4.4: Kopieren des Standardlinkerskriptes

Da es für den Raifex Core Voreinstellungen gibt, die nicht mit dem des Standardlinkerskriptes übereinstimmen, wird ein neues Linkerskript erstellt. Dieses Skript wird für die Kompilierung verwendet und ist in 4.5 dargestellt.

```
1 OUTPUT_FORMAT("elf32-littleriscv", "elf32-littleriscv",  
2             "elf32-littleriscv")  
3 OUTPUT_ARCH(riscv)  
4 MEMORY  
5 {  
6     RAM (rwx) : ORIGIN = 0x80000000, LENGTH = 128K  
7 }  
8 ENTRY(__start)  
9 SECTIONS  
10 {  
11     .text : {  
12     . = ALIGN(4);  
13     __stext = .;  
14     *(.text)  
15     }  
16     __global_pointer$ = .;  
17     .data : {
```

```
18  . = ALIGN(4);
19  *(.data)
20  }
21  .rodata : { *(.rodata) }
22  .bss : {
23  . = ALIGN(4);
24  __bss_start = .;
25  *(.bss)
26  *(.bss.*)
27  *(.sbss)
28  *(.sbss.*)
29  __bss_end = .;
30  }
31  .bss : {
32  . = ALIGN(4);
33  __end = .;
34  }
35  __stack = ALIGN(4) + 0x4000;
36  __uart_dreg = 0xc0000000;
37  __gpio_dreg = 0xc0000008;
38  __gpio_creg = 0xc000000C;
39 }
```

Auflistung 4.5: link.ld

In den ersten drei Zeilen wird das Ausgabeformat und die Zielarchitektur der ELF Datei angegeben. Die Zeilen vier bis sieben geben die Speicherregion an. Der Speicher beginnt bei der Zieladresse 0x80000000 und ist 128 kB groß. Die angegebene Speicherkapazität sollte mit der in der Hardware vorhandenen Größe übereinstimmen. Andernfalls muss das Linkerskript an dieser Stelle angepasst werden. Die erste Linkerinstruktion findet sich in Zeile acht wieder. Hier wird der Start für den Linkprozess angegeben. Danach folgt die Angabe der Sektionen, also der unterschiedlichen Programmabschnitte. Diese werden dadurch für die Ausgabestruktur geordnet. Die erste Sektion wird in Zeile elf angegeben. In der `.text` Sektion befindet sich der eigentliche Programm-Code. In Zeile 16 wird der global pointer (*globaler Zeiger*) auf die Adresse nach der `.text` Sektion gesetzt. Darauf folgen die Sektionen `.data` und `.rodata`, die initialisierte Daten und nur lesbare initialisierte Daten beinhalten.

Zum Schluss wird die `.bss` Sektion geladen, die mit Nullwerten initialisierte Daten enthält. Nach dieser Sektion folgt der Heap, der durch die Funktion `_sbrk` in den Systemaufrufen angegeben wird. Dafür existiert die Angabe in Zeile 33, da diese Variable in der genannten Funktion aufgerufen wird, um das Ende der `.bss` Sektion und den Start des Heaps zu markieren.

Am Ende des Skriptes wird der Beginn des Stacks auf die Adresse 0x4000 gesetzt und hardware-spezifische Adressen angegeben. Somit ergibt sich der finale Adressraum. Dabei sind einige Angaben

statisch, wie z.B. die Stackadresse, andere Angaben sind dynamisch, da die Größe einiger Sektionen und somit die genauen Adressen vor der Kompilierung nicht bekannt sind [25,27].

4.5.3 Generierung einer MEM Datei mit Xilinx data2mem

Die Umwandlung der ELF Datei in eine simulierbare MEM Datei erfolgt in zwei Schritten. Der erste Schritt beinhaltet dabei die Verwendung des Xilinx Tools data2mem, während in einem zweiten Schritt eine Weiterverarbeitung der generierten Datei durch ein selbst geschriebenes Programm erfolgt. Für den Aufruf des Xilinx Tools data2mem muss zuerst das Xilinx Software Command Line Tool auf der Entwicklungsmaschine geöffnet werden. Außerdem wird dann über den in Auflistung 4.6 angegebenen Befehl die Umwandlung durchgeführt.

```
1 data2mem -bd "absoluter Pfad der ELF Datei" -d e -o m "absoluter
  Ausgabepfad mit Dateiname der MEM Datei"
```

Auflistung 4.6: Nutzung von data2mem für MEM Generierung

Dem Aufruf von data2mem folgen spezifische Parameter, welche dafür sorgen, dass die Ausgangsdatei gelesen und die Zielformatdatei generiert wird. Dabei wird mit -bd die ELF Datei übergeben, die umgewandelt werden soll. Die Parameter -d e geben das Level der Depaketierung an. Durch die Parameter -o m wird der Ausgangspfad der MEM Datei angegeben.

```
1 // MEM file .
2 //
3 // Release 14.6 - Data2MEM P.20131013, build 3.0.10 Apr 3, 2013
4 // Copyright (c) 1995-2020 Xilinx, Inc. All rights reserved.
5 //
6 // Command: data2mem.exe -bd "absoluter Pfad der ELF Datei" -d e -o m
7 // "absoluter Ausgabepfad mit Dateiname der MEM Datei"
8 //
9 // "absoluter Ausgabepfad mit Dateiname der MEM Datei"
10
11
12 // Program header record #0, Size = 0x1FF0, at 0x80000000 to 0x80001FEF.
13
14 @80000000
15 97 01 00 00 93 81 C1 0E 17 61 00 00 13 01 01 1F 73 D0 0F 30 97 0E 00
16 00 93 8E 0E 0B 73 90 5E 30
17 ...
```

Auflistung 4.7: MEM Datei data2mem

Wie genau die Umwandlung der ELF Datei durch data2mem stattfindet, ist aufgrund fehlenden Quell-Codes des Programms nicht nachvollziehbar. Allerdings weisen die MEM Ausgangsdateien immer dieselbe Struktur auf (siehe Auflistung 4.7). Diese Struktur besteht aus einem Header, der Zeile eins bis 13 umfasst. Hierbei findet sich in Zeile sechs der Aufruf von data2mem, der zuvor durchgeführt wurde, wieder. In Zeile zwölf wird die Größe des Programm-Codes angegeben. Die Startadressenangabe steht in Zeile 14, worauf ab Zeile 15 die eigentlichen Programminstruktionen folgen. Hierbei sind die Instruktionen 32 bit groß, beginnend mit dem LSB. Diese Struktur entspricht allerdings nicht den Xilinxvorgaben für MEM Dateien, die für das Einlesen von Programm-Code geeignet sind [31]. Das notwendige Format für eine MEM Datei besteht aus einer Startadresse, so wie sie in Zeile 14 gekennzeichnet wird, gefolgt von Instruktionen als Hexadezimalzahlen mit der Bitwertigkeit LSB 0. Hierzu sind in den folgenden Abschnitten Hilfsprogramme beschrieben, welche die Umwandlung zur simulierbaren MEM und COE Dateien durchführen.

4.5.4 Anpassung der MEM Datei für RTL Simulation

Der folgende Abschnitt beschreibt die Anpassung der durch data2mem generierten MEM Datei mit Hilfe eines selbst geschriebenen Hilfsprogramms in der Programmiersprache Rust. Dieser Schritt ist auch im CPU Software Entwicklungsablauf dargestellt und entspricht dem Schritt new-mem.exe in Abbildung 4.1. Für die Verwendung des \$readmem Befehls innerhalb der verilog Testbench (*Prüfstand*) muss die MEM Datei immer das am Ende dieses Abschnittes dargestellte Format aufweisen. Der vollständige Programm-Code von new-mem.exe ist in Anhang A.6 beschrieben. Das Programm wird unter der Windows Eingabeaufforderung cmd.exe durch den Befehl in Auflistung 4.8 genutzt.

```
1 "absoluter Pfad der .exe Datei" \new-mem.exe "absoluter Pfad der  
Ausgangs-MEM Datei" "absoluter Pfad der finalen MEM Datei"
```

Auflistung 4.8: Generierung der finalen MEM Datei

Das Programm nimmt zwei Argumente entgegen. Durch das erste Argument wird die umzuwandelnde MEM Datei übergeben, die vorher aus data2mem generiert wurde. Das zweite Argument gibt den Speicherpfad und den Dateinamen der Zielformatdatei an, welche für die RTL Simulation genutzt wird.

```
1 @00000000  
2 00000197  
3 0EC18193  
4 00006117  
5 1F010113
```

Auflistung 4.9: Ersten 5 Zeilen der finalen MEM Datei

Die ersten fünf Zeilen der finalen MEM Datei sind in Auflistung 4.9 dargestellt. Das Programm wandelt die MEM Datei in das korrekte Format um, sodass die Zielfeile in der Verilog Testbench.

4.5.5 Generierung einer COE Initialisierungsdatei für Block-RAM

Die generierte MEM Datei wird vor allem für die Simulation und die Verifizierung des Ladevorgangs der Programmdatei in den Block-RAM über die JTAG Schnittstelle genutzt. Da dies nicht für Simulationen mit einem anderen Schwerpunkt benötigt wird, kann der Block-RAM über die IP Einstellungen direkt mit dem Programm-Code initialisiert werden. Dies erspart die zeitaufwändige Simulation bei Programm-Code mit größerem Umfang. Hierfür findet `new-coe.exe` als zweites selbst geschriebenes Hilfsprogramm Anwendung. Dieses Programm wandelt die durch das in Abschnitt 4.5.4 beschriebene Hilfsprogramm `new-mem.exe` generierte MEM Datei in eine lauffähige COE Datei um. Der Aufruf von `new-coe.exe` ist in Auflistung 4.10 dargestellt. Der gesamte Code ist in Anhang A.7 einsehbar.

```
1 "absoluter Pfad der .exe Datei" \new-coe.exe "absoluter Pfad der  
Ausgangs-COE Datei" "absoluter Pfad der finalen COE Datei"
```

Auflistung 4.10: Generierung der finalen COE Datei

Das `new-coe.exe` Programm nimmt zwei Argumente entgegen. Dabei entspricht das erste Argument dem absoluten Dateipfad der MEM Datei und das zweite Argument dem Speicherort der neu generierten COE Datei als absoluten Dateipfad. Die COE Datei besitzt ein ähnliches Format, wie die MEM Dateien [32]. Die ersten fünf Zeilen und die letzten beiden Zeilen der COE Datei werden in Auflistung 4.11 gezeigt. In Zeile eins und zwei befinden sich notwendige Angaben de COE Dateiformats wie `radix` und `vector`. Der `radix` Faktor, der in der ersten Zeile definiert ist, gibt an, um welches Datenformat es sich bei den zu ladenden Instruktionen handelt. In diesem Fall liegen die Instruktionen als Hexadezimalzahlen vor, somit hat der `memory_initialization_radix` den Wert 16. In Zeile zwei ist ein Vektor angegeben, der die durch Kommata getrennten Instruktionen enthält. Zeile sechs steht für den ausgeschnitten Programm-Code zwischen Zeile fünf und sieben.

```
1 memory_initialization_radix=16;  
2 memory_initialization_vector=  
3 00000197,  
4 0ec18193 ,  
5 00006117,  
6 ...  
7 00000000  
8 ;
```

Auflistung 4.11: Ersten 5 und letzten 2 Zeilen der finalen COE Datei

Eine Besonderheit liegt am Ende des Vektors vor, da auf die letzte Instruktion ein Semikolon folgen muss. Auf diese Datei kann wie bereits gesagt unter den IP Einstellungen des RAM Blocks verwiesen werden, sodass die Datei zur Initialisierung des Speichers genutzt wird (siehe C.6). Sollte die Datei fehlerhaft sein, wird dies augenblicklich markiert, indem sich der angegebene Pfad der Datei rot färbt.

4.6 Inbetriebnahme riscvOVPsim

Der RISC-V Instruktionssimulator riscvOVPsim der Firma Imperas ist frei verfügbar und wird in dieser Arbeit beschrieben und in Betrieb genommen. Ziel der riscvOVPsim Simulation ist eine erste Verifizierung des Programm-Codes, durch die ermittelt wird, ob das kompilierte Programm lauffähig ist. Dieser Ansatz bietet eine Früherkennung potentieller Fehler und stellt eine Optimierung des Software-Entwicklungsvorgangs dar. Der Simulator bietet zahlreiche Einstellungsmöglichkeiten, wie z.B. die Simulationsdauer gemessen in Instruktionen oder in Zeit, oder Tracings (*Rückverfolgung*) ausgeführter Instruktionen oder Registerwerten. Der Simulator unterstützt alle Prozessormodelle der aktuellen RISC-V Spezifikation [33], wobei individuelle Prozessorarchitekturen bzw. Simulationsmodelle bei Imperas angefragt werden können. Als Simulationsgrundlage wird der kompilierte Programm-Code in Form von einer ELF Datei verwendet. Da die riscv-none-embed-gcc v8.3.0 Toolchain die Definition von eigenen system calls voraussetzt, wird der Programm-Code für die Nutzung des Simulators parallel mit der riscv64-unknown-elf-gcc Toolchain kompiliert. Dadurch wird bei einem *printf()* Aufruf nicht die UART Schnittstelle des Prozessors, sondern das Betriebssystem adressiert, wodurch ein erstes Debugging erleichtert wird. Ist die Simulation erfolgreich, kann das mit der riscv-none-embed-gcc Toolchain kompilierte Programm ebenfalls getestet werden.

Nach der Installation von riscvOVPsim wird im Ordner riscv-ovpsim\examples ein weiterer Ordner erstellt, der die Dateien aus Tabelle 4.3 enthält. Die ersten drei Dateien sind identisch mit denen aus Unterabschnitt 4.5.2, wobei die Zeile vier in der main.c auskommentiert sein muss, damit die angepassten system calls nicht verwendet werden. Die Datei masterthesis.elf entspricht dem mit der riscv64-unknown-elf-gcc 8.3.0-2019.08.0 Toolchain kompilierten Programm-Code und die mastersim.bat Datei enthält die Steuerungsbefehle für den Simulatoreufruf.

Tabelle 4.3: Notwendige Dateien für riscvOVPsim Test

Dateiname	Funktion
main.c	Enthält Programm-Code
crt0.S	C runtime Startdatei
link.ld	Linker Skript
masterthesis.elf	Kompilierter Programm-Code
mastersim.bat	riscvOVPsim Konfigurationsdatei

Die Kompilierung des Programm-Codes aus der `main.c` Datei erfolgt über den Windows Subsystem for Linux (WSL) Terminalaufruf aus Auflistung 4.12. Bei dem Toolchainaufruf werden zuerst zwei Argumente bzgl. der Zielarchitektur übergeben. Desweiteren wird mit dem dritten Aufruf das Laden der Standardstartdateien verhindert, sodass die Datei `crt0.S` für die Kompilierung verwendet wird. Das vierte Argument entspricht der Verwendung der `newlib-nano` Bibliothek. Das letzte übergebene Argument `Xlinker` ist notwendig, damit die Standardbibliotheken ebenfalls beim Linkerprozess genutzt werden.

```
1 riscv64-unknown-elf-gcc -mabi=ilp32 -march=rv32im -nostartfiles  
   --specs=nano.specs crt0.S main.c -Xlinker link.ld -o masterthesis.elf
```

Auflistung 4.12: `riscv64-unknown-elf-gcc 8.3.0-2019.08.0` Aufruf

Der mit dieser Toolchain kompilierte Programm-Code entspricht nicht genau dem kompilierten Programm-Code der GNU Embedded Toolchain, weshalb an dieser Stelle keine komplett vergleichbare Verifizierung möglich ist. Die Simulation dient dazu, den Programm-Code einem ersten Test zu unterziehen, um so frühzeitig Fehler zu erkennen und den Code gegebenenfalls zu korrigieren. Die Durchführung des Tests ist im folgenden Unterabschnitt erklärt.

4.6.1 Konfigurationsdatei

Das Batchskript `masterthesis.bat` enthält diverse Basiskonfigurationen bzgl. des simulierten Prozessors und ist in Auflistung 4.13 dargestellt. Eine Übersicht über alle Konfigurationsoptionen sind im mitinstallierten Nutzerhandbuch unter `riscv-ovpsim\doc` einzusehen. Die Einstellung des Prozessors erfolgt in den Zeilen 7 bis 15, in denen angegeben wird, mit welchen Argumenten die `riscvOVPsim.exe` aufgerufen wird.

```
1 @echo off  
2  
3 ;rem move into the Example Directory  
4 set BATCHDIR=%~dp0%  
5 cd /d %BATCHDIR%  
6  
7 ..\..\ bin\Windows64\riscvOVPsim.exe ^  
8   --variant RVB32I ^  
9   --override riscvOVPsim/cpu/add_Extensions=M ^  
10  --finishafter 1000000 ^  
11  --program masterthesis.elf ^  
12  --tracefile trace-masterthesis.txt ^  
13  --t ^
```

```
14  --traceregsafter ^
15  --logfile masterthesis.sig.run.log ^
16  %*
17
18 if not defined calledscript ( pause )
```

Auflistung 4.13: riscvOVPsim Konfiguration

Die ersten beiden Parameter legen eine RISC-V RV32IM Prozessorarchitektur fest, wie sie dem entwickelten RISC-V Kern entspricht. Danach wird eine optionale Grenze von 1 Mio. Instruktionen definiert, nach der die Simulation stoppen soll. In Zeile 11 wird angegeben, dass der zuvor kompilierte Programm-Code `masterthesis.elf` simuliert werden soll. In den Zeilen zwölf bis 14 wird das Tracing eingestellt und definiert, dass die ausgeführten Instruktionen und die durch eine Instruktion geänderten Registerinhalte in die Datei `trace-masterthesis.txt` geschrieben werden sollen. Alle weiteren Informationen über den Ausgang der Simulation werden in die Logdatei `masterthesis.sig.run.log` geschrieben. Um die Simulation zu starten, ruft man das Batchskript durch einen Terminalaufruf auf.

5 Simualtionsergebnisse und Debugging

Dieses Kapitel ist in drei Abschnitte unterteilt, in denen die Simulations- und Debugergebnisse beschrieben werden. In Abschnitt 5.1 werden die Ergebnisse der riscvOVPsim Simulation vorgestellt. Dabei geht es hauptsächlich, um eine fehlerfreie Ausführung des Programmcodes und eine Analyse, wie der Simulator für zukünftige Verifikationsarbeiten genutzt werden kann.

Im Abschnitt 5.2 werden die RTL Simulationsergebnisse vorgestellt. Dabei geht es zum einen um die Simulations des Ziel-Design, in dem der Caeco als Interrupt-Quelle implementiert ist, zum anderen wird aber auch eine Hardware-Version getestet, bei der der Interrupt durch einen Schalter auf der Entwicklungsplatine ausgelöst wird.

Im letzten Abschnitt wird über die Eclipse IDE das auf dem FPGA implementierte Design gedebbugt. An dieser Stelle kann die Verifizierung des Programmcodes erneut nur bis Ausführung der Endlosschleife stattfinden, da im Debugmodus des Prozessors keine Interrupts ausgelöst werden können.

5.1 Simulationsergebnisse riscvOVPsim

Mit dem Instruktionssimulator riscvOVPsim ist eine Simulation über 1 Mio. Instruktionen erfolgreich durchgeführt worden. Ein Ausschnitt aus diesen Simulationsergebnissen ist in Auflistung 5.1 dargestellt. Für die Auswertung entscheidend sind allerdings nur die Informationen der Zeilen 28 bis 52 der Originaldatei, die hier den Zeilen 1 bis 25 entsprechen. Dabei geben die Zeilen eins bis vier Auskunft über das simulierte Programm bzgl. der Startadresse und der Größe, die in diesem Fall der Adresse 0x7ffff000 und ca. 366 kB entsprechen.

```

1 Info (OR_OF) Target 'riscvOVPsim/cpu' has object file read from
  'master-unknown.elf'
2 Info (OR_PH) Program Headers:
3 Info (OR_PH) Type           Offset      VirtAddr    PhysAddr    FileSiz
  MemSiz    Flags Align
4 Info (OR_PD) LOAD           0x00000000 0x7ffff000 0x7ffff000 0x00016608
  0x00016654 RWE    1000
5
6 ok
7
8 run!
```

```

9 Info
10 Info -----
11 Info CPU 'riscvOVPsim/cpu' STATISTICS
12 Info   Type                : riscv (RVB32I+M)
13 Info   Nominal MIPS        : 100
14 Info   Final program counter : 0x800001d8
15 Info   Simulated instructions: 1,000,000
16 Info   Simulated MIPS      : 0.1
17 Info -----
18 Info
19 Info -----
20 Info SIMULATION TIME STATISTICS
21 Info   Simulated time       : 0.01 seconds
22 Info   User time            : 8.06 seconds
23 Info   System time         : 0.77 seconds
24 Info   Elapsed time        : 8.94 seconds
25 Info -----

```

Auflistung 5.1: Simulationslog riscvOVPsim riscv64-unknown-elf-gcc Toolchain

In Zeile sechs und acht sind die Ausgabewerte der genutzten `printf()` Funktion der `main.c` gezeigt. Damit ist erkennbar, dass der Programm-Code korrekt ausgeführt wird und die Reservierung des nötigen Speicherplatzes für dieses Prozessormodel erfolgreich ist. Hierbei muss allerdings darauf geachtet werden, dass der angegebene Speicher des Modells mit der Speichergröße des später genutzten Speichers übereinstimmen. Bei Beendigung der Simulation hat der Programmzähler den Wert `0x800001d8`, welches einer Instruktion der Endlosschleife innerhalb der `main()` Funktion entspricht. Zeile 15 gibt die Anzahl der durchgeführten Instruktionen an, die der Vorgabe aus der Konfigurationsdatei entspricht.

In Auflistung 5.2 ist der Anfang des Tracelogs dargestellt. Durch den Log können die ausgeführten Instruktionen ausgewertet werden. In diesem Fall sind die ersten fünf Instruktionen aus der `crt0.S` einsehbar. Durch diesen erweiterten Log kann im Falle einer fehlerhaften Simulation nach der Ursache geforscht werden, indem die gescheiterte Instruktion zurückverfolgt und analysiert werden.

```

1 info 1: 'riscvOVPsim/cpu', 0x0000000080000000(__start): Machine 00015197
   auipc   gp,0x15
2 Info   gp 00000000 -> 80015000
3 Info 2: 'riscvOVPsim/cpu', 0x0000000080000004(__start+4): Machine 44018193
   addi   gp,gp,1088
4 Info   gp 80015000 -> 80015440
5 Info 3: 'riscvOVPsim/cpu', 0x0000000080000008(__start+8): Machine 80004117
   auipc   sp,0x80004
6 Info   sp 00000000 -> 00004008

```

```

7 Info 4: 'riscvOVPsim/cpu', 0x000000008000000c(__start+c): Machine ff810113
      addi    sp,sp,-8
8 Info   sp 00004008 -> 00004000
9 Info 5: 'riscvOVPsim/cpu', 0x0000000080000010(__start+10): Machine 300fd073
      csrwi   mstatus,31
10 Info   mstatus 00001800 -> 00001808

```

Auflistung 5.2: Tracelog riscvOVPsim riscv64-unknown-elf-gcc Toolchain Toolchain

Vergleicht man die Simulation ELF-Datei, die mit der riscv64-unknown-elf-gcc Toolchain generiert wurde, mit der Simulation der ELF-Datei die mit der riscv-none-embed-gcc Toolchain kompiliert wurde und in Auflistung 5.3 dargestellt ist, ist zu erkennen, dass zum einen die Startadresse der gewünschten Adresse von 0x80000000 entspricht. Außerdem ist der Programm-Code mit ca. 34 kB deutlich kleiner als ersterer. Insgesamt verläuft die Simulation ebenfalls fehlerfrei, allerdings werden die *printf()* Befehle nicht ausgegeben, was eine schnelle Verifikation des Codes erschwert.

```

1 Info (OR_OF) Target 'riscvOVPsim/cpu' has object file read from
      'master-embed.elf'
2 Info (OR_PH) Program Headers:
3 Info (OR_PH) Type          Offset      VirtAddr   PhysAddr   FileSiz
      MemSiz   Flags Align
4 Info (OR_PD) LOAD          0x00001000 0x80000000 0x80000000 0x000021e0
      0x000021fc RWE   1000
5 Info
6 Info -----
7 Info CPU 'riscvOVPsim/cpu' STATISTICS
8 Info   Type                : riscv (RVB32I+M)
9 Info   Nominal MIPS        : 100
10 Info   Final program counter : 0x8000043c
11 Info   Simulated instructions: 1,000,000
12 Info   Simulated MIPS      : 0.1
13 Info -----
14 Info
15 Info -----
16 Info SIMULATION TIME STATISTICS
17 Info   Simulated time       : 0.01 seconds
18 Info   User time           : 7.95 seconds
19 Info   System time         : 1.09 seconds
20 Info   Elapsed time        : 9.17 seconds
21 Info -----

```

Auflistung 5.3: Simulationslog riscvOVPsim riscv-none-embed-gcc Toolchain

Nach 1 Mio. Instruktionen befindet sich der Programmzähler an der Adresse 0x8000043c, welche sich innerhalb der Endlosschleife der *main()* Funktion befindet. Abschließend kann festgehalten werden, dass beide Programm-Codes auf einem spezifikationsgerechtem RV32IM Prozessor lauffähig sind. Allerdings wurde bei beiden nicht die ISR getestet, wodurch keine vollwertige Verifizierung des Programm-Codes erreicht wird. Die Nutzung des Simulators im Zuge dieser Arbeit dient zum einen als Einarbeitung in die Handhabung des Simulators und andererseits zur ersten Überprüfung des Programms innerhalb des Software-Entwicklungsfluss. Bei einer fehlerhaften Simulation kann das Programm untersucht und verbessert werden, sodass die Software-Entwicklung effizienter gestalten wird. In Bezug auf den Code, der mit der riscv-none-embed-gcc Toolchain kompiliert wird, ist eine erste Verifizierung nicht möglich, da die Ausgabe der *printf()* Funktion an die UART Schnittstelle gesendet wird.

5.2 RTL Simulation in Vivado

Für die Verifizierung des Designs auf RTL Ebene wird das Schreiben der EKG Daten über JTAG in Vivado simuliert und das Interrupt-Verhalten ausgewertet. Hierbei wird der Blockram bereits mit dem Programm-Code initialisiert (siehe C Abbildung C.6). Die EKG Daten eines kranken Patienten liegen als .ecg Datei vor und werden über die in Auflistung 5.4 dargestellte Testbench zwei mal hintereinander in den Caeco geschrieben.

```
1 `timescale 1ns / 1ns
2 `include "raifes_hasti_constants.vh"
3
4 module masterthesis_tb();
5 //----- signals , registers
6 // mandatory:
7 reg          CLK, RESET, tck , tms, tdi , ext_inter;
8 reg          [31:0] result;
9 integer      testcase , i;
10 wire         nRESET, caeco_led;
11 // optional
12 // writing .ecg data through dmi
13 reg          [63:0] memimg_caeco_dmi[30805-1:0];
14 reg          [63:0] buff_caeco_dmi;
15 reg          [31:0] sample_caeco_dmi;
16 integer      mcd_caeco_dmi;
17
18 //----- DUT
19 raifes_fpga_wrapper DUT(
20     .clk_raw(CLK) ,
```

```

21     .nRESET(nRESET) ,
22     .TCK(tck) ,
23     .TDI(tdi) ,
24     .TDO(tdo) ,
25     .TMS(tms) ,
26     .caeco_led(caeco_led) ,
27     .uart_tx(uart_tx) ,
28     .led(ledout) ,
29     .sw(8'b00000000) ,
30     .btneu(1'b0) ,
31     .btnd(1'b0) ,
32     .btnl(1'b0) ,
33     .btnr(1'b0) ,
34     .btnc(1'b0)
35 );
36 //----- mandatory
37 assign nRESET = ~RESET;
38 // clock setting on 100 MHz for board clock -> 25 MHz mcu clock
39 always
40 begin
41     CLK = 1'b1;
42     #5;
43     CLK = ~CLK;
44     #5;
45 end
46
47 // 'define CLK_PERIOD 50
48 // speed up JTAG -> 20 MHz
49 'define CLK_PERIOD 10
50 'include "jtag_tasks.vh"
51 //----- caeco dmi
52 task caeco_write_dmi;
53 input  reg[7:0]      testnum;
54 input  reg[255*8:1] filename;
55 input  reg[15:0]    length;
56 output reg[31:0]   result;
57 begin
58     $write("JTAG Task Start: write Caeco through dmi! \n");
59     // set cmd signal directly with dmi address of 23
60     $write("Set the caemo signal cmd \n");
61     jtag_write_caeco(6'h23,32'h00000001,result);
62     // write the data

```

```

63  $write("Read ecg file for real testcase\n");
64  mcd_caeco_dmi = $fopen(filename, "rb");
65  $fread(memimg_caeco_dmi, mcd_caeco_dmi);
66  // write the data via jtag directly through the dm
67  i = 0;
68  for (i = 49; i < length; i = i + 1) begin
69      // 64 - Bit = 2 Datasamples
70      // get Sample 1 = 32 MSB
71      buff_caeco_dmi = memimg_caeco_dmi[i];
72      sample_caeco_dmi = buff_caeco_dmi[63:32];
73      // check if value is not zero (for last sample)
74      if (sample_caeco_dmi != 32'h0) begin
75          $write("writing sample:
76  "); $write(sample_caeco_dmi); $write("\n");
77          jtag_write_caeco(6'h22, sample_caeco_dmi, result);
78          end
79          // get Sample 1 = 32 MSB
80          sample_caeco_dmi = buff_caeco_dmi[31:0];
81          if (sample_caeco_dmi != 32'h0) begin
82              $write("writing sample 2:
83  "); $write(sample_caeco_dmi); $write("\n");
84              jtag_write_caeco(6'h22, sample_caeco_dmi, result);
85          end
86          end
87          $write("JTAG Task End: write Caeco through dmi! \n");
88  end
89  endtask
90  //----- Testbench start!
91  initial begin
92      $write("Testbench is starting! \n");
93      RESET <= 1'b1; tms <= 1'b0; tdi <= 1'b0; tck <= 1'b0; i <= 32'h0;
94      // reset the design for 2 ms to wait for the xilinx ip bram
95      $write("Wait for BRAM \n");
96      #2000000;
97      RESET <= 1'b0;
98      $write("JTAG TAP: reset..\n");
99      jtag_tap_reset;
100     $write("Initializing finished! Now starting with the testcases \n");
101     // if COE file is used, let the CPU run for initialization!
102     #200000;

```

```
103 caeco_write_dmi(1, "00019fb0-6b6a-4ccf-b818-b52221ec524c.ecg",1116,
result);
104 #105000000;
105
106 caeco_write_dmi(1, "00019fb0-6b6a-4ccf-b818-b52221ec524c.ecg",1116,
result);
107 #105000000;
108
109 $finish();
110 end
111 endmodule
```

Auflistung 5.4: Testbench für Caeco Interrupt

Die Zeilen 1 bis 35 entsprechen den Standardangaben einer Verilog Testbench, bei der zuerst die Zeitskalierung angegeben wird (Z. 1), benötigte Header-Dateien referenziert werden (Z. 2), notwendige Signaldeklaration stattfinden (Z. 7 - 16) und das Device Under Test (DUT) (*Testmodul*) instantiiert wird. Die Taktfrequenz wird in Zeile 39 bis 45 auf 100 MHz gesetzt. Dies entspricht dem Takt der Entwicklungsplatine und wird innerhalb des Moduls raifes_fpga_wrapper auf 25 MHz reduziert. Die JTAG Frequenz wird in Zeile 49 auf 20 MHz gesetzt.

Der zentrale JTAG Task caeco_write_dmi, durch den die EKG Daten eingelesen und an das DTM gesendet werden, ist in den Zeilen 53 bis 87 beschrieben. Dieser Task nimmt die drei Funktionsargumente testnum, filename und length entgegen und gibt result zurück, wobei das Argument testnum nur für Debug-Zwecke verwendet wird. Durch die Variable filename wird die EKG Datei referenziert. Diese kann entweder mit einem absoluten Systempfad angegeben werden, oder dem Vivado Projekt unter Simulationsdateien hinzugefügt und daraufhin allein mit dem Dateinamen referenziert werden. Über die Variable length wird angegeben, wie viele Zeilen der EKG Datei, bestehend aus 128 bit, eingelesen und geschrieben werden sollen. Der erste Schreibbefehl an den Caeco erfolgt in Zeile 61. Hier wird das Signal CMD des Caecos gesetzt und somit der Start des Datenschreibprozesses markiert. Mit dem Task jtag_write_caeco, welcher in der Datei jtag_tasks.vh definiert und in Auflistung 5.5 dargestellt ist, wird an die DMI Adresse 0x23 der Wert 1 gesendet.

```
1 task jtag_write_caeco;
2 input [5:0] dmiaddr;
3 input [31:0] wdata;
4 output reg [31:0] result;
5 begin
6 jtag_dmi_write(dmiaddr, wdata, 2'h2, result);
7 end
8 endtask
```

Auflistung 5.5: JTAG Task jtag_write_caeco

Der aufgerufene Task `jtag_dmi_write` steuert direkt den JTAG TAP durch den das DMI Register beschrieben wird und die Daten an das DTM gesendet werden (siehe Anhang B, Auflistung B.3). Danach wird die EKG Datei eingelesen. Die notwendigen Befehle finden sich in Zeile 64 und 65 wieder. Dabei wird die Datei zuerst mit dem Befehl `$fopen` als lesbare Binärdatei („rb“) in der Variable `mcd_caeco_dmi` gespeichert und danach in den 64 bit breiten Buffer `memimg_caeco_dmi` geschrieben. Durch die For-Schleife in den Zeilen 68 bis 86 werden nun die Daten als 32 bit Datenworte in den Caeco geschrieben. Dazu werden zuerst die höherwertigsten 32 bit des Buffers zwischengespeichert und mit dem Task `jtag_write_caeco` and die DMI Adresse `0x22` gesendet (Z. 76). Gleiches wird mit den niederwertigsten 32 bit des Buffers durchgeführt (Z. 82). Die For-Schleife endet mit der Erreichung des übergebenen Wertes aus `length`.

Die Zeilen 89 bis 110 beschreiben den eigentlichen Testablauf. Dabei werden zu Anfang alle Steuersignale, bis auf das Signal `RESET`, auf den Wert `null` gesetzt (Z. 91). Daraufhin wird für 2 ms gewartet. Diese Zeit benötigt der Blockram für die Initialisierung. In Zeile 95 wird das Signal `RESET` ebenfalls auf den Wert `null` gesetzt und der Prozessor beginnt mit der Arbeit. Danach wird der JTAG TAP zurückgesetzt und der Prozessor für 200 μ s ausgeführt, damit die Initialisierung beendet werden kann. Zum Abschluss wird zweimal der Task `caeco_write_dmi` aufgerufen, um die EKG Daten in den Caeco zu schreiben.

5.2.1 Programmzähler bei Initialisierung nach Reset

Durch die Testbench wird anfangs das Reset-Signal für 2 ms auf den Wert `null` gesetzt, danach beginnt der Prozessor mit der Abarbeitung der Instruktionen. Durch den Initialisierung-Code der `crt0.S` Datei und der `main.c` werden wichtige Größen wie der global pointer, stack pointer und der Speicherplatz für die Caecoergebnisse geladen und reserviert. Dieses Verhalten des Prozessors ist nach einem Zurücksetzen zu beobachten.

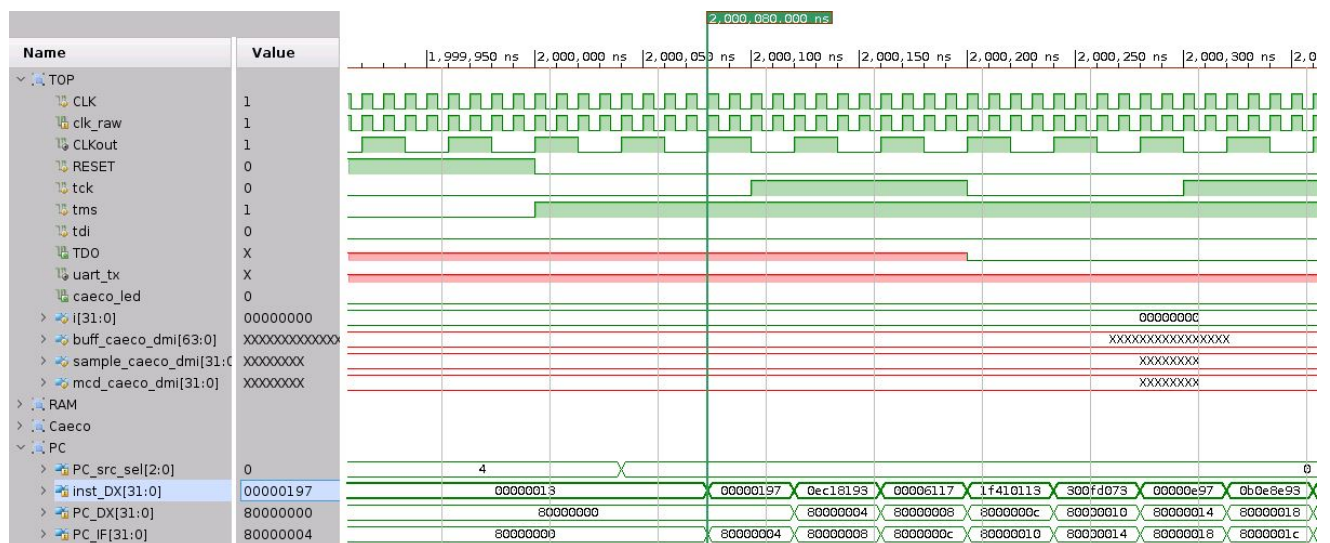


Abbildung 5.1: Simulationsüberblick und FPGA Ports

Dabei ist darauf zu achten, welche Instruktionen als erstes geladen und ausgeführt werden. In Abbildung 5.1 ist der Zeitpunkt nach dem Zurücksetzen des Prozessors abgebildet. Bei der markierten Zeit von 2 000 080 000 ns hat der aktuelle Programmzähler PC_DX den Wert 0x80000000 und lädt die Instruktion 00000197. Die nächste zu ladende Instruktion wird durch das Signal PC_IF angegeben und zeigt auf die Adresse 0x80000004, welche auf die Instruktion 0ec18193 zeigt. Vergleicht man diese Instruktionen mit denen aus dem kompilierten Programm-Code (vgl. Auflistung A.8 Z. 8 und 9), ist festzustellen, dass die erste Instruktion des Programmcodes korrekt geladen wird. Gleiches gilt für die folgenden Instruktionen.

5.2.2 Abgeschlossene Initialisierung „run!“

Die Initialisierung des Programm-Codes ist ab dem Zeitpunkt abgeschlossen, an dem innerhalb des C Programms die Endlosschleife aufgerufen wird (siehe Auflistung 4.2 Z. 34). Davor wird allerdings die Zeichenkette „run!“ per UART ausgegeben, wodurch das Ende der Initialisierung auch in der Simulation erkennbar gemacht wird. Das Zeichen “r“ wird ab der 30 237,48 μ s übertragen, dargestellt in Abbildung 5.2.

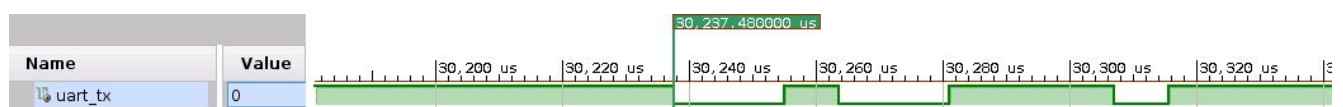


Abbildung 5.2: Übertragung des Zeichens r per UART

Zuerst wird das Startbit übertragen, indem das Signal `uart_tx` auf den Wert null gesetzt wird. Folgend werden acht Datenbits gesendet, wobei mit dem LSB begonnen wird. Daraus resultiert das Byte mit dem Wert 01110010. Dies entspricht dem Dezimalwert von 114 und somit dem Buchstaben r des UCS Transformation Format (UTF)-8 Standard. Das Senden der gesamten Zeichenkette und damit der Abschluss der Initialisierung ist bzgl. einer erfolgreichen Speicherplatzreservierung bei 105 419,92 μ s erreicht.

5.2.3 Schreiben der EKG Daten über das DMI

Nach der Initialisierung wartet der Prozessor auf einen durch den Caeco ausgelösten Interrupt. Wie bereits erläutert, resultiert der Interrupt aus einer abgeschlossenen Berechnung des Caecos. Dafür wird während der Initialisierung der Task `caeco_write_dmi` aufgerufen, sodass die EKG Daten in den Caecos geschrieben werden. Vor dem Schreiben der Daten erfolgt allerdings der Startbefehl, indem das Signal `cmd` des Caecos auf eins gesetzt wird. Dies beginnt ab 2207,35 μ s abgebildet in Abbildung 5.3. Es ist zu erkennen, dass die Eingangssignale `dmi_addr` und `dmi_wdata` die Steuerwerte 0x23 und 0x1 haben. Damit wird auch das Ausgangssignal `caeco_cmd` im nächsten Takt auf den Wert eins gesetzt. Somit wird die Ansteuerung des DM über die JTAG Schnittstelle korrekt

umgesetzt. Das caeco_cmd Signal wird an das Caecointerface weitergeleitet (siehe Abbildung 5.4). Durch das Setzen des Eingangssignals dm_cmd des Caecointerfaces springt die Zustandsmaschine in den Zustand CTRL_DM und das Eingangssignal cmd des Caecos wird für einen Takt gesetzt.

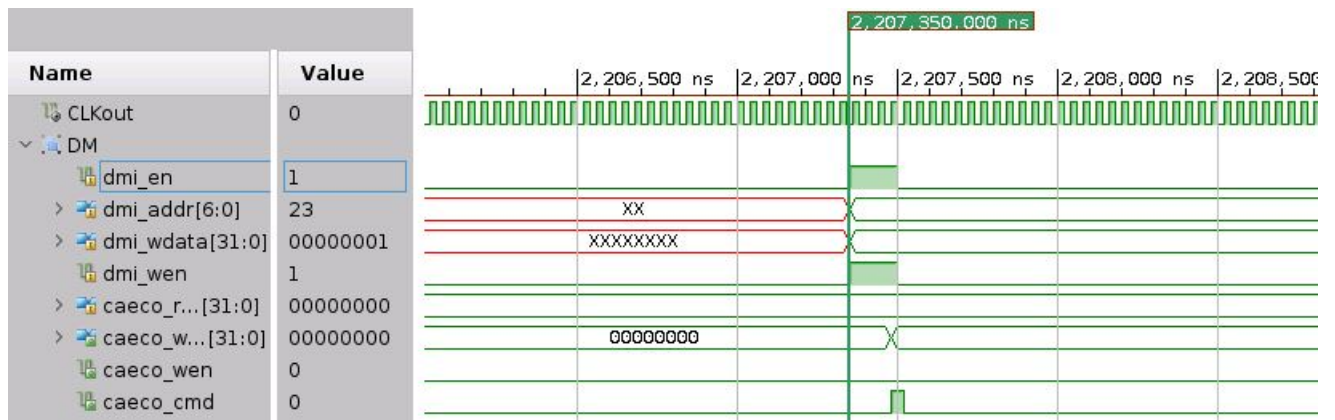


Abbildung 5.3: DMI Signale bei Schreiben des Caecos cmd

Einen Takt später wird der Beginn des Datenschreibens durch das Setzen des Signals led signalisiert. Nachdem das Startsignal erfolgreich an den Caeco gesendet wurde, kann mit dem Schreiben der Daten begonnen werden.

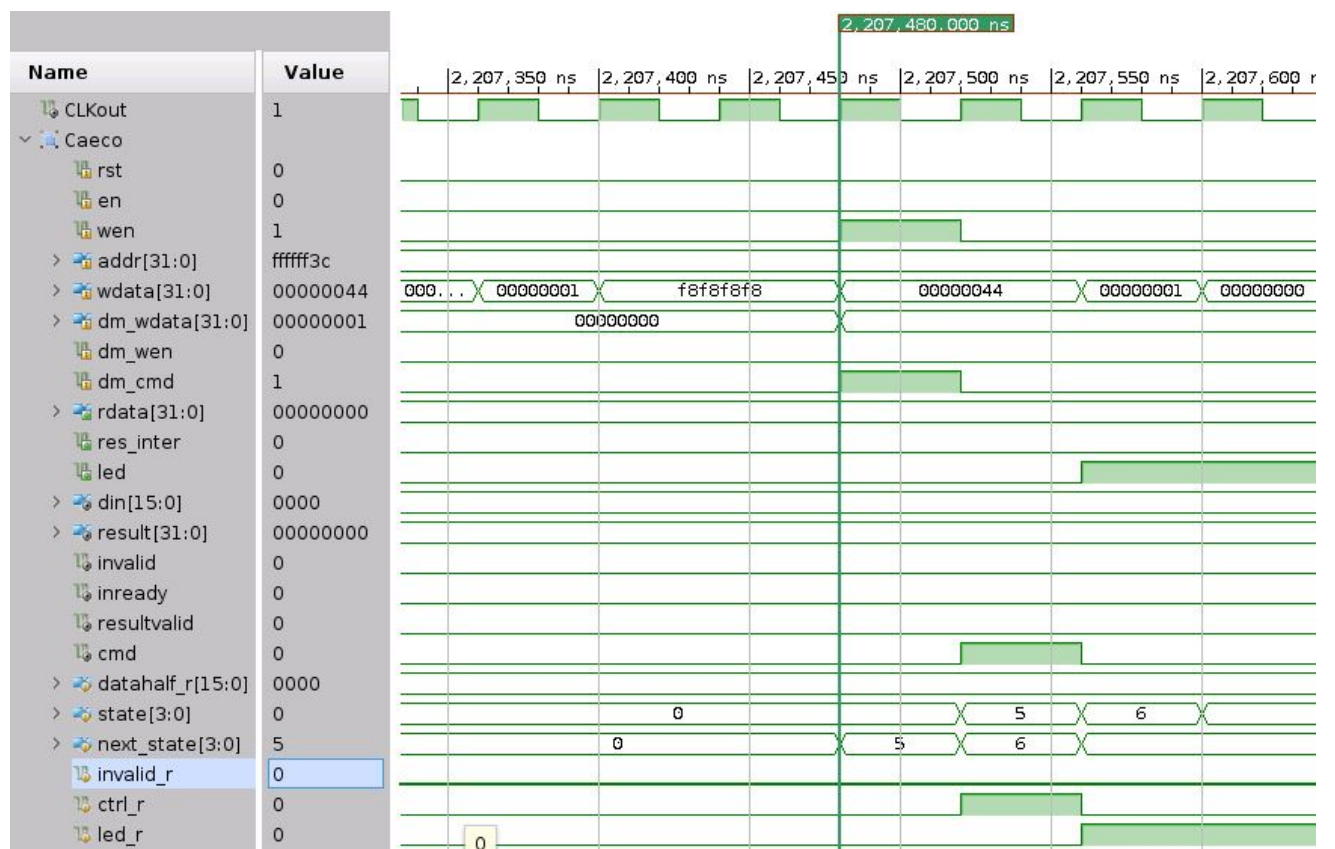


Abbildung 5.4: Caecointerface Signale bei Schreiben des Caecos cmd

Dabei bleibt das Signal `led` solange auf den Wert eins, bis der Caeco seine Berechnung abgeschlossen hat und somit das Signal `resultvalid` des Caecos gesetzt wird. In Abbildung 5.5 ist der Zeitpunkt vom Schreiben der ersten Daten bei 2213,4 μ s abgebildet.

Zum markierten Zeitpunkt wird das DM Signal `caeco_wen` gesetzt, da die DMI Adresse `dmi_addr` den Wert 0x22 hat und damit Daten in den caeco geschrieben werden sollen. Die zu schreibenden Daten `dmi_wdata` haben den Wert 0xef08f307. Hierbei sind die höherwertigen 16 bits die Daten des ersten Kanals und die niederwertigsten 16 bits die Daten des zweiten Kanals. Die Reihenfolge der Bytes beider Datenwörter ist vertauscht, sodass sich die folgenden zuschreibenden Datenworte ergeben:

- Kanal 0: 0x08ef
- Kanal 1: 0x07f3

Durch das Setzen des Signals `caeco_wen` bzw. `dm_wen` springt die Zustandsmaschine des Caecointerfaces in den Zustand `WDA0_DM`, um die Daten des ersten Kanals zu schreiben. Dafür wird der Wert 0x08ef in das Register `datahalf_r` und geschrieben. Dadurch liegen die Daten am Eingangssignal `din` des Caecos an. Außerdem wird das Signal `invalid` gesetzt, um die Daten am Eingang des Caecos tatsächlich zu schreiben. Im nächsten Takt springt die Zustandsmaschine in den Zustand `WDA1_DM` und das zweite Datenwort 0x07f3 wird geschrieben.

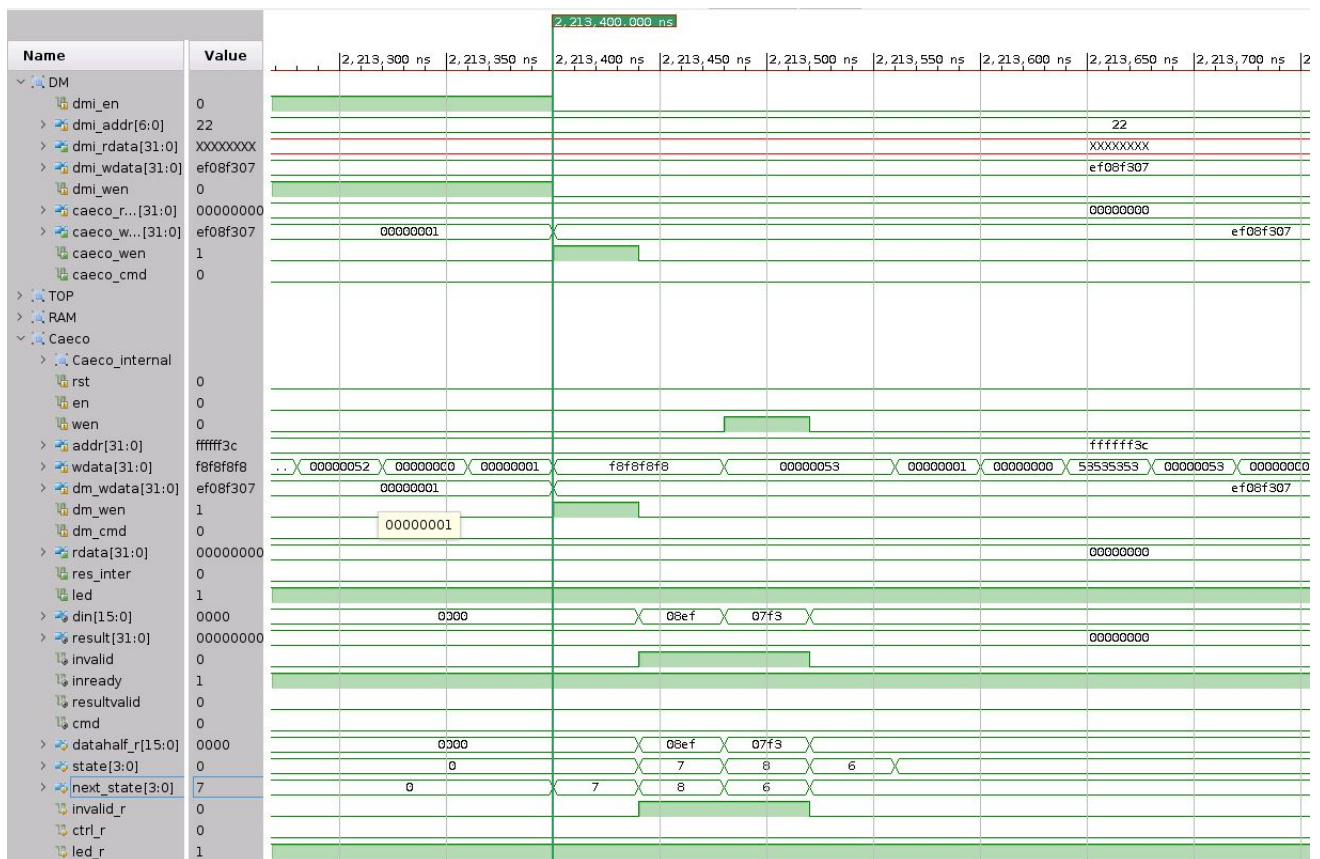


Abbildung 5.5: DMI und Caecointerface Signale bei Schreiben der Daten

Danach wird das Signal invalid auf den Wert null gesetzt. Damit ist der Schreibvorgang des ersten Datenwortes abgeschlossen. Durch eine Optimierung innerhalb des Caecos benötigt dieser aktuell nicht den kompletten Datensatz, um eine Berechnung durchzuführen. So werden für die vorliegende Testbench 68 288 bits geschrieben. Dies ist nach 14,7981 ms abgeschlossen.

5.2.4 Interrupt-Verhalten bei gültigem Ergebnis des Caecos

Solange der Caeco kein gültiges Ergebnis vorliegen hat, arbeitet der Prozessor im Stromsparmodus und überprüft, ob der Ergebnisspeicher beschrieben wurde. Bei einem gültigen Ergebnis setzt der Caeco das Signal resultvalid und ein Interrupt wird ausgelöst. Dadurch wird die ISR `l_1_caeco_interrupt_handler()` abgearbeitet und das Ergebnis in den reservierter Speicher geschrieben. Der Zeitpunkt des Interrupts ist demnach genauer zu untersuchen. Dabei ist entscheidend, ob die Sprungadresse korrekt gewählt, die Rücksprungadresse korrekt gespeichert und das Ergebnis per UART ausgegeben wird. In Abbildung 5.6 ist der Zeitpunkt der Ergebnisausgabe bzw. des Interrupt bei 53,245 32 ms mit den Signalen des Caecointerfaces abgebildet.

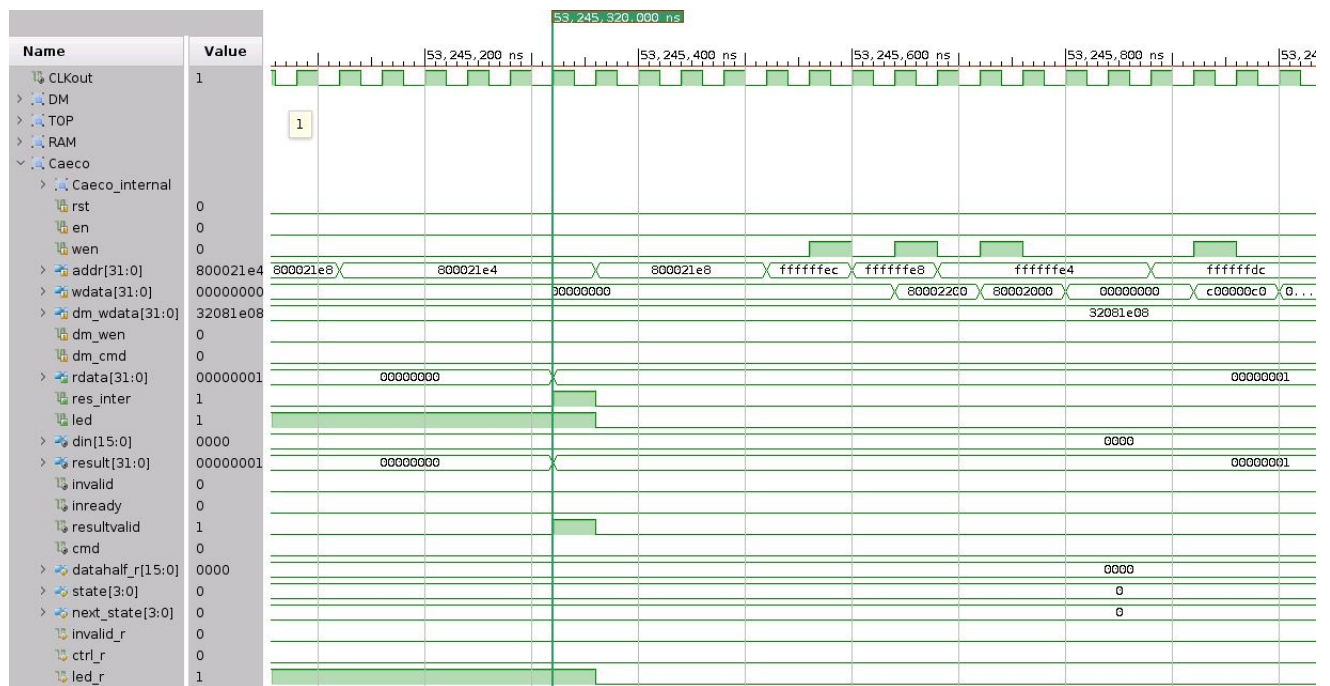


Abbildung 5.6: Caecointerfacesignale bei Ergebnis

Nach Abschluss der Berechnung wird das Ausgangssignal resultvalid auf den Wert eins gesetzt und das Ergebnis in das Register rdata geschrieben. Mit dem nächsten Takt wird das Signal led auf den Wert null gesetzt, um das Ende der Rechnung zu signalisieren. Um den Interrupt auszulösen, wird das Signal resultvalid über das Signal res_inter an den Prozessor weitergeleitet. Die Signale des Prozessors zum selben Zeitpunkt sind in Abbildung 5.7 dargestellt.

Der Interrupt des Caecos ist an den Signalen `ext_interrupts`, `interrupt_pending` und `interrupt_taken` zu erkennen. Durch den Interrupt wird das LSB des Signals `ext_interrupts` gesetzt. Dadurch wird der Interrupt ausgelöst und die Signale `interrupt_pending` und `interrupt_taken` werden ebenfalls gesetzt. Der Prozessor ermittelt daraufhin die Sprung- und Rücksprungadresse. Für die Ermittlung der Sprungadresse wird die bereits in Auflistung 3.20 erläuterte Fallunterscheidung vollzogen. Die Adresse des Trap-Handler wurde vorher in das Register `mtvec` geschrieben und hat den Wert `0x800000c4` (siehe Anhang A.3.3, Auflistung A.8 Z. 62). Für den vorliegenden Interrupt ist die Zieladresse zum `l_1_caeco_interrupt_handler()` somit `0x800000c`. Diese wird einen Takt später korrekt als neuer Programmzähler für die nächste Instruktion gesetzt. Wiederum einen Takt später liegt die Adresse im aktuellen Programmzähler an und der Sprungbefehl `0x27c0006f` zum `l_1_caeco_interrupt_handler()` wird ausgeführt. Dadurch wird als nächstes die Instruktion an der Adresse `0x80000344` geladen, welche den Beginn des `l_1_caeco_interrupt_handler()` markiert (siehe Anhang A.3.3, Auflistung A.8 Z. 69).

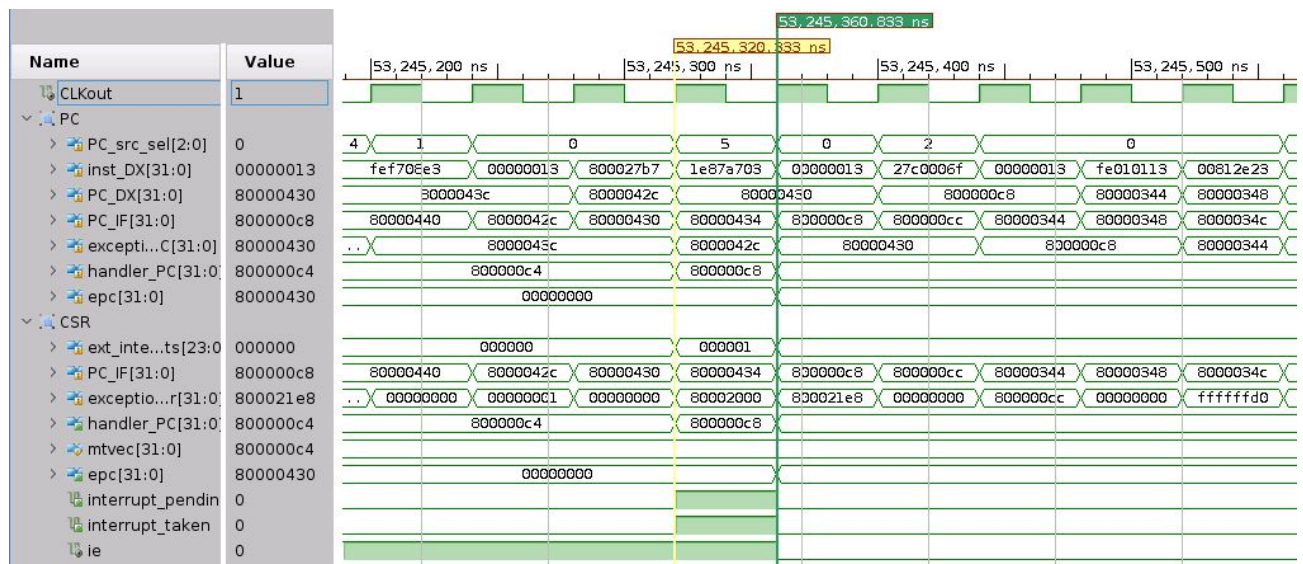


Abbildung 5.7: Prozessorsignale bei Ergebnis

Die Rücksprungadresse, zu der nach dem Ende des Interrupts gesprungen wird, wird im Register `epc` gespeichert und hat den Wert `0x80000430`. Zum Zeitpunkt des Interrupts ist dies die Adresse, bei der Instruktion `0x1e87a703`. Diese Instruktion wird allerdings nicht ausgeführt, sodass nach dem Interrupt der Programm-Code an dieser Stelle weitergeführt werden muss. Damit wird auch die Rücksprungadresse korrekt gespeichert.

Der Rücksprung zu der `main()` Funktion erfolgt nach 1680 ns. Da nun ein Ergebnis in den Speicher geschrieben worden ist, wird die If-Bedingung der `main()` erfüllt und das Ergebnis wird über die UART Schnittstelle ausgegeben (siehe Auflistung 4.2, Z. 35). In Abbildung 5.8 ist erkennbar, dass das Signal `uart_tx` kurz nach dem Interrupt anfängt zu arbeiten und insgesamt 14 Zeichen ausgibt. Diese Zeichen entsprechen der Zeichenkette der `main()` Funktion „\n result: 1\n“.

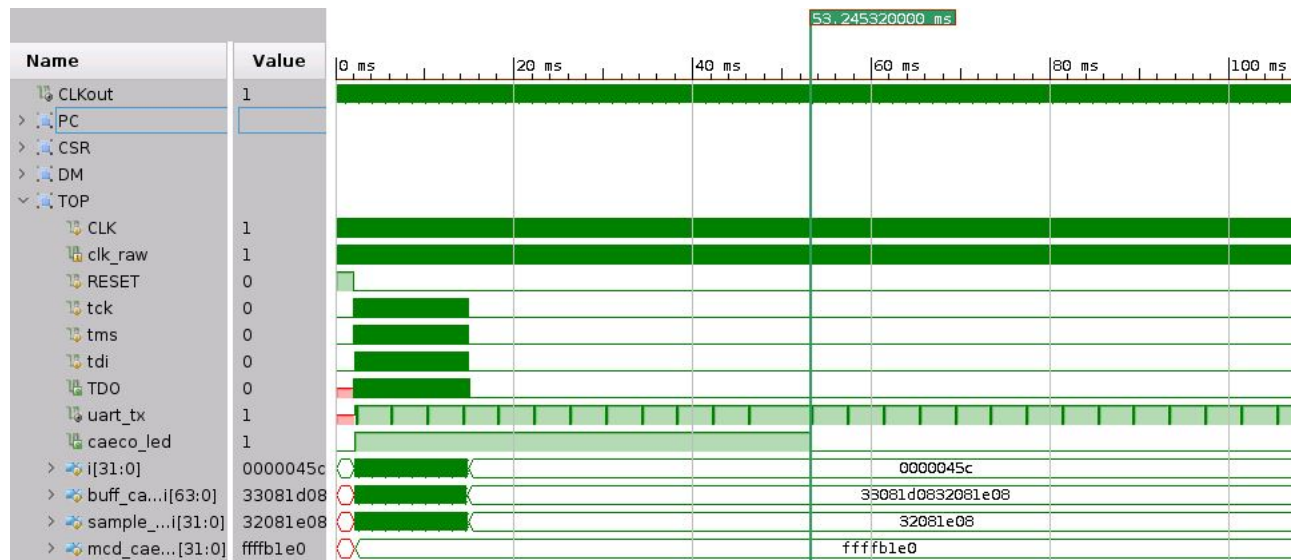


Abbildung 5.8: UART Verhalten bei Ergebnis

Dadurch ist ebenfalls verifiziert, dass die ISR korrekt ausgeführt und das Ergebnis über die UART Schnittstelle übertragen wird. Dies kann unter anderem dazu genutzt werden, um die Ergebnisse des Caecos außerhalb des Prozessors zu speichern oder weiter zu verarbeiten. Abschließend ist festzuhalten das sowohl der Caeco als auch der Prozessor das erwartete Verhalten aufzeigen und dadurch das Zusammenspiel von Hard- und Software gegeben ist. Die Ansteuerung und das Beschreiben des Caecos mit Daten über die JTAG Schnittstelle ist erfolgreich implementiert. Bei Fertigstellung eines Rechenergebnis durch den Caeco wird wie gewünscht ein Hardware-Interrupt ausgelöst, wodurch in erster Instanz der Trap-Handler aufgerufen wird, der wiederum die ISR aufruft. Hierbei wird die korrekte Rücksprungadresse gespeichert und der Prozessor arbeitet nach dem Interrupt in der *main()* weiter. Die Ausgabe des Ergebnisses über die UART Schnittstelle funktioniert ebenfalls für zwei simulierte Interrupts.

Im folgenden Abschnitt wird das implementierte Design auf dem FPGA geprüft. Hierbei wird der Interrupt allerdings nicht durch den Caeco, sondern durch einen Schalter auf der Entwicklungsplatine ausgelöst, damit das Interrupt-Verhalten verifiziert werden kann.

5.3 Hardware-Verifizierung FPGA Design

Zusätzlich zu der RTL Simulation wird das Design auf dem FPGA implementiert und getestet. Hierbei werden vor der Implementierung die Änderungen aus Abschnitt 3.2.6 eingefügt, sodass ein manueller Interrupt durch den Schalter 16 ausgelöst werden kann.

Im ersten Schritt wird das Design durch eine RTL Simulation geprüft. Hierbei entspricht die Testbench in großen Teilen der Testbench aus Auflistung 5.4. Allerdings werden die beiden Tasks zum Schreiben des Caecos durch eine For-Schleife ersetzt, durch die das Signal *ext_inter* gesetzt wird und so ein manueller Interrupt mehrfach simuliert wird. Die Änderungen der Testbench sind

in Auflistung 5.6 dargestellt. Zusätzlich wird dem DUT der zusätzliche Port `ext_inter` hinzugefügt. Nach der Zurücksetzung des Prozessors für 2 ms wird für 105 ms gewartet, damit die Initialisierung abgeschlossen werden kann. Danach erfolgt die Simulation des manuellen Interrupts durch die For-Schleife.

```
1 //----- Testbench start!
2 initial begin
3     $write("Testbench is starting! \n");
4     RESET <= 1'b1; tms <= 1'b0; tdi <= 1'b0; tck <= 1'b0; i <= 32'h0;
5     // reset the design for 2 ms to wait for the xilinx ip bram
6     $write("Wait for BRAM \n");
7     #2000000;
8     RESET <= 1'b0;
9     $write("JTAG TAP: reset..\n");
10    jtag_tap_reset;
11    $write("Initializing finished! Now starting with the testcases \n");
12    #60000000;
13
14    for (i = 0 ; i < 5 ; i = i +1) begin
15        ext_inter <=1'b1;
16        #500;
17        ext_inter <=1'b0;
18        #60000000;
19    end
20    $finish();
21 end
22 endmodule
```

Auflistung 5.6: Testbench für manuellen Interrupt

Das Ergebnis der Simulation ist in Abbildung 5.9 dargestellt. Hierbei wird das genaue Verhalten des Prozessors nicht erneut analysiert, da sich weder etwas an dem Programm-Code noch an der Implementierung bzgl. des Interrupts geändert hat. Hauptsächlich wird geprüft, ob der manuelle Interrupt durch die Betätigung des Schalters ausgelöst wird. Gleich zu Beginn werden analog zu der Simulation aus dem vorherigen Abschnitt Daten über die UART Schnittstelle gesendet. Dies entspricht dem Initialisierungsvorgang und ist nach ca. 46 ms abgeschlossen. Danach wird das Signal `ext_inter` gesetzt, die ISR wird aufgerufen und über die UART Schnittstelle wird das Ergebnis ausgegeben. Da der Caeco nicht arbeitet, entspricht das Ergebnis in dieser Simulation immer dem Wert null, da dies der Wert ist, mit dem das Register des Caecos initialisiert wird. Nach der Simulation wird das Design unter Vivado synthetisiert und für die Entwicklungsplatine Nexys4 DDR implementiert.

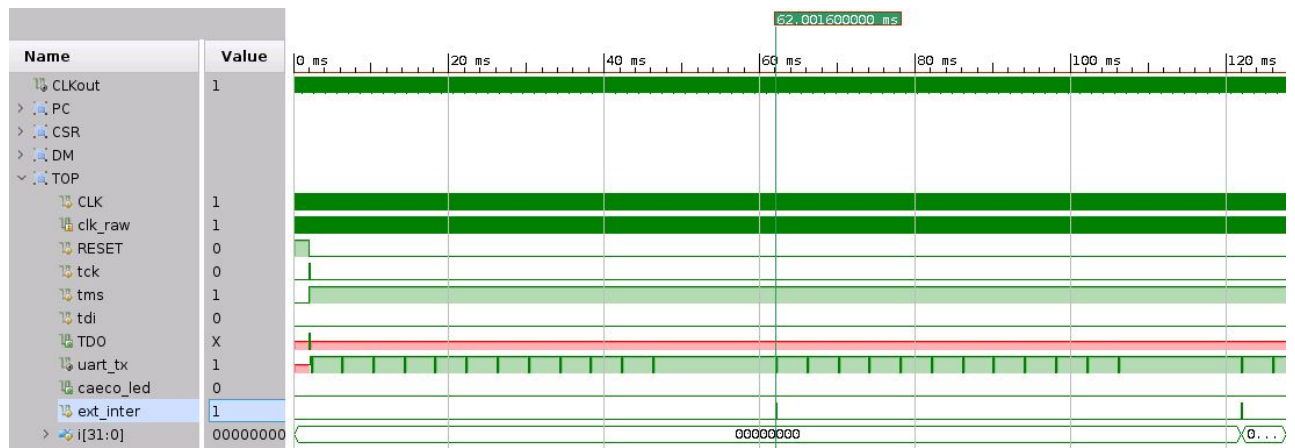


Abbildung 5.9: Signale FPGA bei manuellem Interrupt

Damit kann der FPGA programmiert und auf das Design auf der Hardware getestet werden. Für den Empfang der Daten per UART wird das Programm HTerm 0.8.5 verwendet. In Abbildung 5.10 ist der Empfang der Daten über HTerm abgebildet. Hierbei ist der UART Port der Entwicklungsplatine bei der lokalen Entwicklungsmaschine als COM5 Port angeschlossen. Die Baudrate beträgt 115200 baud und es werden achten Daten- und zwei Stopbits gesendet.

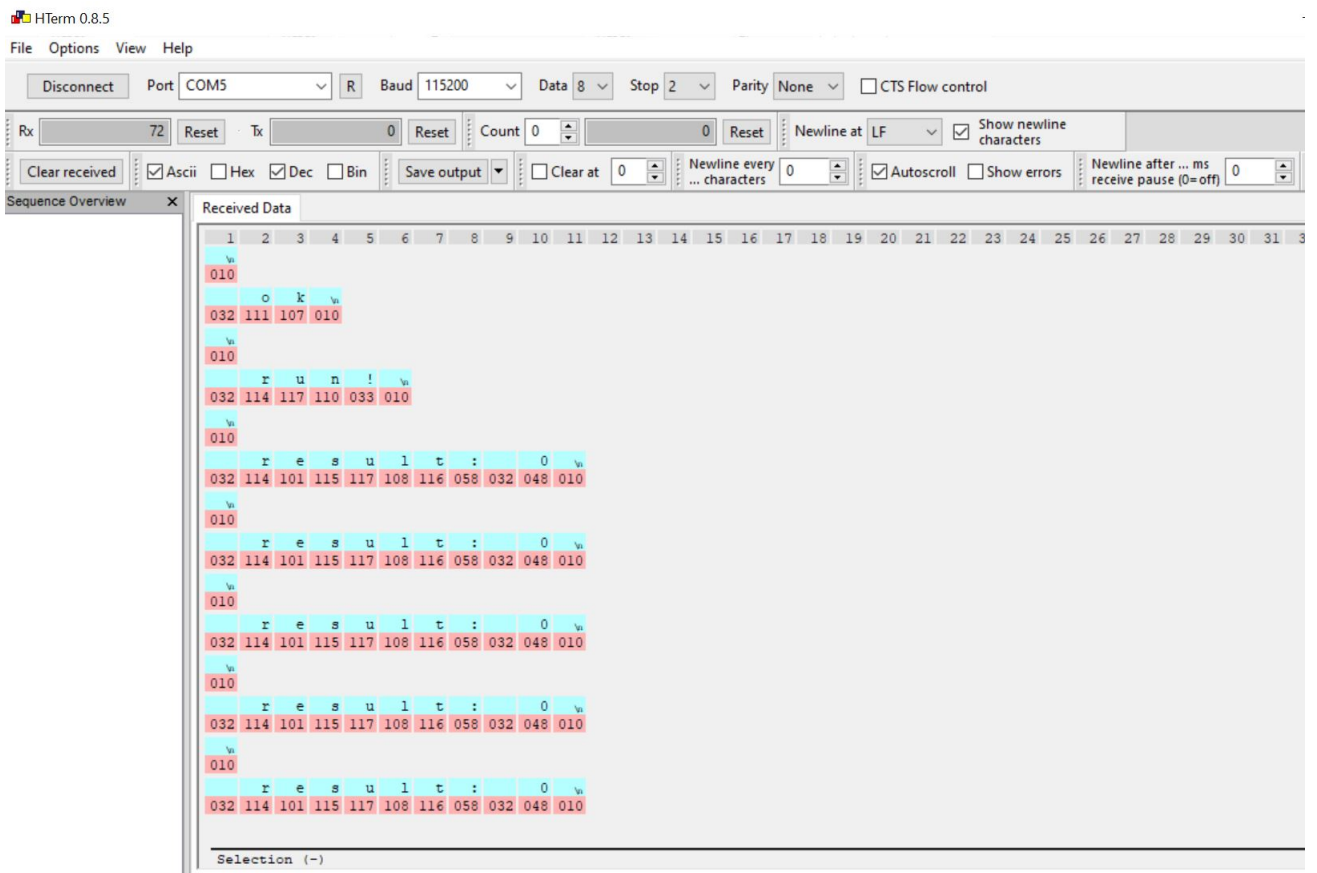


Abbildung 5.10: Empfang der Daten beim Hardwaretest

Nach einem Zurücksetzen des Prozessors werden die Zeichenketten „\n ok\n“ und „\n run!\n“ direkt übertragen (siehe dazu Auflistung 4.2 Z. 27 und Z. 33). Nach jeder Auslösung des Schalters wird die ISR aufgerufen, durch die das Ergebnisregister des Caecos ausgelesen und und die Zeichenkette „\n result: 0\n“ über die UART Schnittstelle gesendet wird.

Zusammenfassend ist festzustellen, dass das Interrupt-Verhalten des Prozessors erfolgreich geprüft worden ist. Bei der Initialisierung werden die erwarteten Zeichenketten gesendet. Ein Interrupt lässt sich durch die Betätigung des Schalters mehrfach hintereinander erzeugen und führt immer zum selben Ergebnis. Auch nach der erneuten Zurücksetzung des Prozessors läuft der Betrieb weiterhin stabil. In den folgendem Abschnitt wird auf das Debugging des Prozessors unter Eclipse als zusätzlicher Verifizierungsschritt eingegangen.

5.4 Debugging unter Eclipse

Das Debugging unter Eclipse erlaubt zum einen die Nutzung genereller Debug-Möglichkeiten des Prozessors bzgl. des stepmode (*Schritt-für-Schritt*) Debugging und das Setzen von breakpoints (*Haltepunkte*). Zusätzlich dazu kann die Initialisierung genauer beobachtet werden. Die Möglichkeit den Prozessor während eines Interrupts zu beobachten ist nicht gegeben, da im Debug-Modus keine Interrupts abgearbeitet werden. Dazu wird der FPGA unter Vivado 2020.1 zuerst mit dem implementierten Zieldesign programmiert. Für das Debugging ist die Entwicklungsplatine zum einen durch die UART Schnittstelle, zum anderen durch den JTAG Adapter mit der lokalen Entwicklungsmaschine verbunden. Während des Debuggings ist das Programm HTerm aktiv, um die per UART Schnittstelle übertragenen Daten zu empfangen. Sind alle Bedingungen erfüllt, wird in Eclipse IDE das Debugging gestartet. Der erste breakpoint wird in Zeile 45 der main.c gesetzt, da in dieser Zeile der erste *printf()* Befehl aufgerufen wird, der bei einer erfolgreichen Speicherplatz-reservierung ausgeführt wird (siehe Abbildung 5.11). Die linke Spalte zeigt den Programm-Code in C, die rechte Spalte die aktuellen Instruktionen. Dadurch dass die Speicherreservierung erfolgreich war, wird der *printf()* Aufruf in Zeile 45 ausgeführt. Aufgrund des gesetzten breakpoints stoppt die Programmausführung in Zeile 45. Bis zu diesem Zeitpunkt sind keine Daten per UART Schnittstelle geschickt bzw. empfangen worden. Lässt man dann den Programm-Code weiterlaufen, wird die Zeichenkette ausgegeben. Neben der resume (*fortsetzen*) Funktion für das Debugging, durch die der Programm-Code bis zum nächsten breakpoint ausgeführt wird, existiert noch die step-into (*Schritt-für-Schritt*) Funktion. Dadurch kann von Instruktion zu Instruktion gesprungen werden, was ein genaues Debbing ermöglicht. Ist der Befehl in Gänze abgearbeitet worden, so wird auch die Zeichenkette übertragen und unter HTerm empfangen (siehe Abbildung 5.12).

Damit ist nachgewiesen, dass das Debugging des Prozessors möglich ist. Die Grenze des Debugging liegt allerdings darin, dass der Aufruf und die Ausführung der ISR nicht beobachtet werden kann, ähnlich wie bei der Simulation durch den riscvOVPSim Instruktionssimulator.

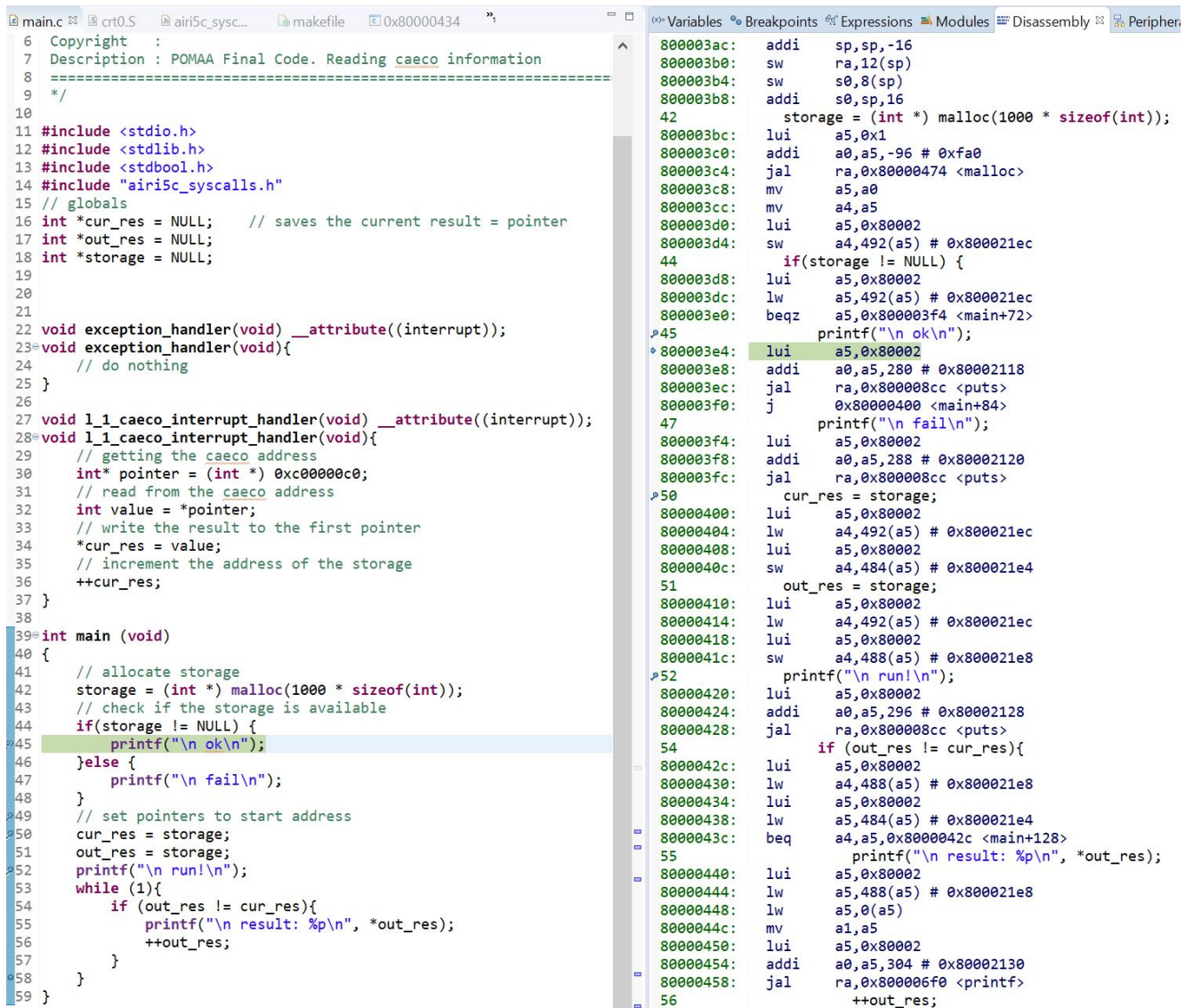


Abbildung 5.11: Breakpoint nach Speicherplatzreservierung

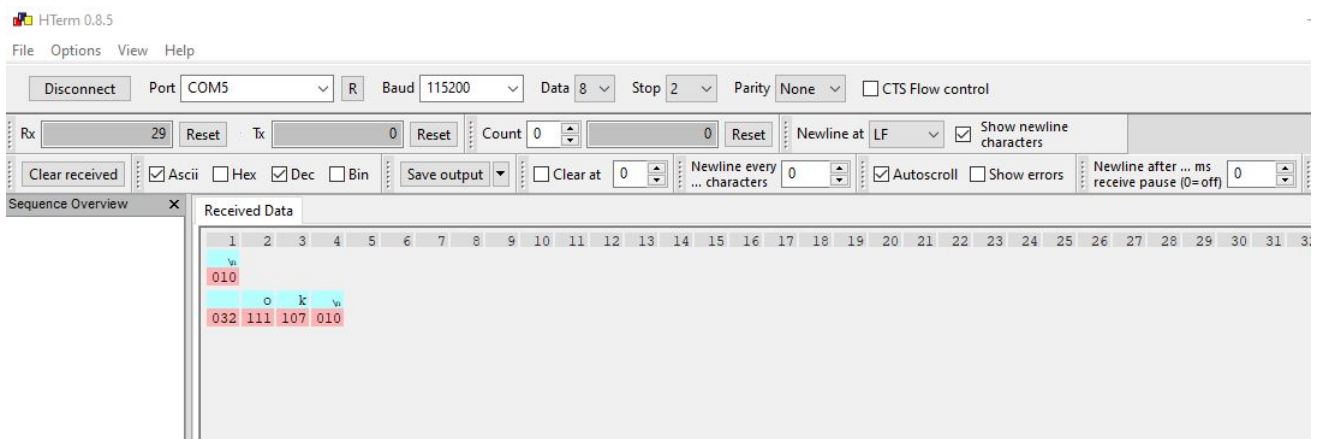


Abbildung 5.12: HTerm Ausgabe der ersten Zeichenkette

Dies liegt daran, dass ein Debug-Zugriff immer eine höhere Priorität als ein Interrupt besitzt und damit nicht auf Interrupts reagiert. Im Zuge dieser Arbeit wurde dies dadurch getestet, dass das

Design aus Abschnitt 5.3 implementiert worden ist, und während des Debugging eine manueller Interrupt ausgelöst wurde. Die ISR wurde dadurch allerdings nicht ausgelöst. Trotzdem ist die Debug-Funktion für die Verifizierung des Prozessors ein notwendiges Werkzeug und kann für die punktuelle Verifizierung der Funktionalität und des Programm-Codes genutzt werden.

6 Zusammenfassung und zukünftige Arbeiten

Abschließend kann festgehalten werden, dass die Integration des Caecos in den Raifes RV32IM erfolgreich simuliert und auf der Hardware verifiziert wurde. Dazu wurde das Design mit dem implementierten Caeco inklusive der Übertragung von Daten über die JTAG Schnittstelle auf RTL Ebene simuliert. Die Ergebnisse zeigen, dass das Schreiben der EKG Daten parallel zum eigentlichen Prozessorbetrieb durchgeführt werden kann. Bei einem gültigen Ergebnis des Caecos wird der Trap-Handler aufgerufen und damit auch die ISR. Danach setzt der Prozessor seine Arbeit an gewünschter Stelle fort. Für die Verifizierung des Design auf dem FPGA wurde der Caeco Interrupt durch einen manuellen Schalter der Entwicklungsplatine ersetzt und mehrmals hintereinander ausgelöst. Wie gewünscht ist das der Simulation beobachtete Verhalten zu erkennen gewesen. Die gesamte Hardware-Entwicklung wurde durch die Gitlab DevOps automatisiert. Dabei sind die fünf Pipeline Stages erfolgreich durchlaufen worden, bei denen die HDL Dateien durch Vivado 2020.1 im Batch Project Flow Modus zu einem Projekt erstellt, synthetisiert, implementiert und anschließend simuliert wurden. Dadurch wird der Entwicklungsprozess optimiert und kann für spätere Projekte ausgebaut und verfeinert werden. Das gesamte Design umfasst 5015 LTUs, von denen 1052 zum Caeco gehören.

Ein lauffähiger Programm-Code, der in C und im RISC-V Assembler entwickelt wurde, ist durch den Instruktionssimulator riscvOVPSim getestet und daraufhin in der RTL Simulation verwendet worden. Das Programm erwartet einen 256 kB großen Speicher, der durch das Linkerskript angepasst werden kann. Es werden bei der Initialisierung 4 kB für die Ergebnisse des Caecos reserviert. Für die Kompilierung des Programms in der Eclipse IDE wird die xPack riscv-none-embed-gcc v8.3.0 Toolchain verwendet. Um die ELF Datei für die Xilinx Speicher nutzbar zu machen, wurden zwei Rust Programme entwickelt, durch die der Code in eine MEM bzw COE Datei umgewandelt werden kann. Auch das Debugging wurde unter Eclipse erfolgreich durchgeführt, wobei das Setzen von breakpoints und der step-into Modus ebenfalls getestet wurde.

Für zukünftige Arbeiten der Test der EKG Datenübertragung über die JTAG Schnittstelle und das dazugehörige Verhalten des Caecos notwendig. Dies wurde in dieser Arbeit auf der FPGA Ebene nicht verifiziert. Außerdem wird das Debugging dadurch erschwert, dass während eines Debugzugriffs externe Interrupts, wie die des Caecos, nicht berücksichtigt werden und dadurch das Verhalten bei einer Trap nicht untersucht werden kann. Hier muss einerseits natürlich an die RISC-V Spezifikation berücksichtigt werden, allerdings wäre eine Debug-Möglichkeit für Interrupts eine hilfreiche Erweiterung für spätere Implementierungen, da einen wesentlicher Bestandteil von Software-Lösungen in eingebetteten Systemen darstellen. Ein weiterer Punkt ist die Verbesserung der Gitlab CI/CD Struktur. Hier können zusätzliche Möglichkeiten der Verifizierung implementiert

werden, z.B. eine automatisierte Auswertung der Simulationsergebnisse. Parallel dazu kann die Testbench so erweitert werden, das vor allem die Werte der Allzweckregister bei jeder Instruktion geloggt werden, sodass eine Vergleichsgrundlage zu anderen Simulationsmodellen geschaffen wird. Abschließend besteht die Möglichkeit am Simulationsansatz über riscvOVPsim anzuknüpfen und die Verifizierung weiter auszubauen, indem z.B. vorhandene Debug-Funktionen genutzt werden. Es wäre auch möglich, die Prozessorarchitektur des Raifes RV32IM in den Simulator einzubinden, sodass genauere Untersuchungen stattfinden können. Im Vergleich dazu könnte man andere Simulatoren wie z.B. QEMO testen und Unterschiede in der Performance oder in den vorhandenen Möglichkeiten aufzeigen.

Literaturverzeichnis

- [1] KIRCHNER, Dr. F.: *POMAA: Pareto-Optimaler Machine Learning ASIC*. <https://robotik.dfki-bremen.de/de/forschung/projekte/pomaa/>. – Letzter Zugriff: 21.07.2020
- [2] BRINKSCHULTE, Uwe ; UNGERER, Theo: *Mikrocontroller und Mikroprozessoren*. Berlin, Heidelberg : Springer Berlin Heidelberg, 2010. <http://dx.doi.org/10.1007/978-3-642-05398-6>. <http://dx.doi.org/10.1007/978-3-642-05398-6>
- [3] WÜST, Klaus (Hrsg.): *Mikroprozessortechnik: Grundlagen, Architekturen, Schaltungstechnik und Betrieb von Mikroprozessoren und Mikrocontrollern*. 4., aktualisierte und erweiterte Auflage. Wiesbaden : Vieweg Teubner Verlag / Springer Fachmedien Wiesbaden GmbH Wiesbaden, 2011 (Studium). <http://dx.doi.org/10.1007/978-3-8348-9881-4>. <http://dx.doi.org/10.1007/978-3-8348-9881-4>. – ISBN 978-3-8348-0906-3
- [4] BÄHRING, Helmut (Hrsg.): *Anwendungsorientierte Mikroprozessoren: Mikrocontroller und Digitale Signalprozessoren*. 4., vollst. überarb. Aufl. Berlin : Springer, 2010 (EXamen.press). – ISBN 978-3-642-12291-0
- [5] BÖTTCHER, Axel (Hrsg.): *Rechneraufbau und Rechnerarchitektur*. Berlin, Heidelberg : Springer-Verlag Berlin Heidelberg, 2006 (EXamen.press). – ISBN 10 3-540-20979-4
- [6] ANDREW WATERMAN ; KRSTE ASANOVIC ; SiFi INC. (Hrsg.): *The RISC-V Instruction Set Manual: Volume I: Unprivileged ISA*. Berkely, 2019 (20190608). <http://www-inst.eecs.berkeley.edu/~cs152/sp19/handouts/sp19/riscv-spec-rvv-v0p4.pdf>
- [7] TIM NEWSOME ; MEGAN WACHS ; SiFIVE INC. (Hrsg.): *RISC-V External Debug Support Version 0.13.2*. Berkely : RISC-V, 2019 <https://riscv.org/specifications/debug-specification/>. – Letzter Zugriff: 13.01.2020
- [8] IEEE Standard Test Access Port and Boundary Scan Architecture. In: *IEEE Std 1149.1-2001* (2001), S. 1–212
- [9] YUNSUP, Lee ; ALBERT, Ou ; ALBERT, Magyar ; EECS BARKELEY (Hrsg.): *Z-scale: Tiny 32-bit RISC-V Systems: With Updates to the Rocket Chip Generator*. California, 2015
- [10] ANDREW WATERMAN ; KRSTE ASANOVIC ; SiFi INC. (Hrsg.): *The RISC-V Instruction Set Manual: Volume II: Privileged Architecture*. Berkely, 2019 (2019060). <https://riscv.org/specifications/privileged-isa/>

- [11] ENGINEERING, UC Berkeley C.: *EECS150: Finite State Machines in Verilog*. <https://inst.eecs.berkeley.edu/~cs150/sp12/resources/FSM.pdf>
- [12] DIGILENT: *Nexys 4 DDR XDC*. <https://github.com/Digilent/digilent-xdc/>. – Letzter Zugriff: 23.07.2020
- [13] DIGILENT: *Nexys 4 DDR*. <https://reference.digilentinc.com/reference/programmable-logic/nexys-4-ddr/start>. – Letzter Zugriff: 23.07.2020
- [14] BATARD, Pete: *Zadig*. <https://zadig.akeo.ie/>. – Letzter Zugriff: 20.07.2020
- [15] VADAPALLI, Sricharan: *DevOps: Continuous Delivery, Integration, and Deployment with DevOps : Dive Into the Core DevOps Strategies*. "Packt Publishing", 2018. – ISBN 9781789131253
- [16] SONI, Mitesh: *DevOps Bootcamp*. Packt Publishing, 2017 https://widgets.ebscohost.com/prod/customerspecific/s9218820/vpn/vpn_fhdo.php?url=http://search.ebscohost.com/login.aspx?direct=true&db=nlebk&AN=1528138&lang=de&site=eds-live&scope=site. – ISBN 9781787285965
- [17] GITLAB: *GitLab CI/CD Pipeline Configuration Reference*. <https://docs.gitlab.com/ee/ci/yaml/>. <https://docs.gitlab.com/ee/ci/yaml/>. Version: 2020. – Letzter Zugriff: 05.05.2020
- [18] GITLAB: *Configuring GitLab Runners*. <https://gitlab.com/help/ci/runners/README>. – Letzter Zugriff: 21.07.2020
- [19] GITLAB: *GitLab CI/CD pipeline configuration reference*. <https://docs.gitlab.com/ee/ci/yaml/>. – Letzter Zugriff: 21.07.2020
- [20] SIFIVE: *GNU Embedded Toolchain — v2019.08.0*. <https://www.sifive.com/boards>. – Letzter Zugriff: 25.07.2020
- [21] IONESCU, Liviu: *data2mem download*. <https://xpack.github.io/riscv-none-embed-gcc/#install>. – Letzter Zugriff: 16.07.2020
- [22] PROJECT, The O. ; THE OPENOCD PROJECT (Hrsg.): *Open On-Chip Debugger: OpenOCD User's Guide*. 2019
- [23] INC., Xilinx®: *data2mem download*. <https://www.pconlife.com/viewfileinfo/data2mem-exe/>. – Letzter Zugriff: 20.07.2020
- [24] CHAMBERLAIN, Steve ; PESCH, Roland ; JOHNSTON, Jeff: *The Red Hat newlib C Library - Full Configuration*. <ftp://sources.redhat.com/pub/newlib/libc.pdf>. Version: 2016
- [25] CHAMBERLAIN, Steve ; TAYLOR, Ian L.: *The GNU linker*, 2010. – Version 2.19.51

- [26] CHAMBERLAIN, Steve: *Using ld*. https://ftp.gnu.org/old-gnu/Manuals/ld-2.9.1/html_node/ld_toc.html. Version: Nov 1998
- [27] GU, Changyi: *Building Embedded Systems - Programmable Hardware*. <https://www.apress.com/gp/book/9781484219188>
- [28] FREE SOFTWARE FOUNDATION, Inc.: *GNU Free Documentation License Version 1.3*. <https://sourceware.org/binutils/docs-2.31/as/index.html#Top>, 2008
- [29] FOUNDATION, Free S.: *GNU assembler as (GNU Binutils) version 2.34 -CFI directives*. <https://sourceware.org/binutils/docs/as/CFI-directives.html>. Version: Nov 2008
- [30] DARWIN, Ian F. ; VIXIE, Paul: *Chapter 8. Exception Frames*. https://refspecs.linuxfoundation.org/LSB_3.0.0/LSB-PDA/LSB-PDA/ehframechpt.html. Version: 2004
- [31] INC., Xilinx®: *UG898: Vivado Design Suite User Guide: Embedded Processor Hardware Design*. v2019.1. https://www.xilinx.com/support/documentation/sw_manuals/xilinx2017_3/ug898-vivado-embedded-design.pdf, June 2019. – Letzter Zugriff: 19.07.2020
- [32] INC., Xilinx®: *COE File Syntax*. https://www.xilinx.com/support/documentation/sw_manuals/xilinx11/cgn_r_coe_file_syntax.htm. – Letzter Zugriff: 20.07.2020
- [33] IMPREAS: *riscvOVPSim*. <https://github.com/riscv/riscv-ovpsim>. – Letzter Zugriff: 23.07.2020

A Dateien

A.1 Linker-Skripte

A.1.1 Standard Linker Skript der riscv-none-embed-gcc 8.3.0-1.1 Toolchain

```
1 GNU ld (xPack GNU RISC-V Embedded GCC, 64-bit) 2.32
2 Supported emulations:
3   elf32lrvscv
4   elf64lrvscv
5 using internal linker script:
6
7 /* Script for -z combrelc: combine and sort reloc sections */
8 /* Copyright (C) 2014-2019 Free Software Foundation, Inc.
9    Copying and distribution of this script, with or without modification,
10   are permitted in any medium without royalty provided the copyright
11   notice and this notice are preserved.  */
12 OUTPUT_FORMAT("elf32-littleriscv", "elf32-littleriscv",
13              "elf32-littleriscv")
14 OUTPUT_ARCH(riscv)
15 ENTRY(_start)
16 SEARCH_DIR(="/Host/home/ilg/Work/riscv-none-embed-gcc-8.3.0-1.1/linux-x64/
17   install/riscv-none-embed-gcc/riscv-none-embed/lib");
18 SEARCH_DIR(="/usr/local/lib"); SEARCH_DIR(="/lib");
19 SEARCH_DIR(="/usr/lib");
20 SECTIONS
21 {
22   /* Read-only sections, merged into text segment: */
23   PROVIDE (___executable_start = SEGMENT_START("text-segment", 0x10000));
24   = SEGMENT_START("text-segment", 0x10000) + SIZEOF_HEADERS;
25   .interp          : { *(.interp) }
26   .note.gnu.build-id : { *(.note.gnu.build-id) }
27   .hash            : { *(.hash) }
28   .gnu.hash        : { *(.gnu.hash) }
29   .dynsym          : { *(.dynsym) }
30   .dynstr          : { *(.dynstr) }
31   .gnu.version     : { *(.gnu.version) }
```

```
28 .gnu.version_d : { *(.gnu.version_d) }
29 .gnu.version_r : { *(.gnu.version_r) }
30 .rela.dyn :
31 {
32     *(.rela.init)
33     *(.rela.text .rela.text.* .rela.gnu.linkonce.t.*)
34     *(.rela.fini)
35     *(.rela.rodata .rela.rodata.* .rela.gnu.linkonce.r.*)
36     *(.rela.data .rela.data.* .rela.gnu.linkonce.d.*)
37     *(.rela.tdata .rela.tdata.* .rela.gnu.linkonce.td.*)
38     *(.rela.tbss .rela.tbss.* .rela.gnu.linkonce.tb.*)
39     *(.rela.ctors)
40     *(.rela.dtors)
41     *(.rela.got)
42     *(.rela.sdata .rela.sdata.* .rela.gnu.linkonce.s.*)
43     *(.rela.sbss .rela.sbss.* .rela.gnu.linkonce.sb.*)
44     *(.rela.sdata2 .rela.sdata2.* .rela.gnu.linkonce.s2.*)
45     *(.rela.sbss2 .rela.sbss2.* .rela.gnu.linkonce.sb2.*)
46     *(.rela.bss .rela.bss.* .rela.gnu.linkonce.b.*)
47     PROVIDE_HIDDEN (___rela_iplt_start = .);
48     *(.rela.iplt)
49     PROVIDE_HIDDEN (___rela_iplt_end = .);
50 }
51 .rela.plt :
52 {
53     *(.rela.plt)
54 }
55 .init :
56 {
57     KEEP (*(SORT_NONE(.init)))
58 }
59 .plt : { *(.plt) }
60 .iplt : { *(.iplt) }
61 .text :
62 {
63     *(.text.unlikely .text.*_unlikely .text.unlikely.*)
64     *(.text.exit .text.exit.*)
65     *(.text.startup .text.startup.*)
66     *(.text.hot .text.hot.*)
67     *(.text.stub .text.*.gnu.linkonce.t.*)
68     /* .gnu.warning sections are handled specially by elf32.em. */
69     *(.gnu.warning)
```

```
70 }
71 .fini      :
72 {
73     KEEP (*(SORT_NONE(.fini)))
74 }
75 PROVIDE (__etext = .);
76 PROVIDE (_etext = .);
77 PROVIDE (etext = .);
78 .rodata    : { *(.rodata .rodata.* .gnu.linkonce.r.*) }
79 .rodata1   : { *(.rodata1) }
80 .sdata2    :
81 {
82     *(.sdata2 .sdata2.* .gnu.linkonce.s2.*)
83 }
84 .sbss2     : { *(.sbss2 .sbss2.* .gnu.linkonce.sb2.*) }
85 .eh_frame_hdr : { *(.eh_frame_hdr) *(.eh_frame_entry
86     .eh_frame_entry.*) }
87 .eh_frame   : ONLY_IF_RO { KEEP (*(.eh_frame)) *(.eh_frame.*) }
88 .gcc_except_table : ONLY_IF_RO { *(.gcc_except_table
89     .gcc_except_table.*) }
90 .gnu_extab  : ONLY_IF_RO { *(.gnu_extab*) }
91 /* These sections are generated by the Sun/Oracle C++ compiler. */
92 .exception_ranges : ONLY_IF_RO { *(.exception_ranges*) }
93 /* Adjust the address for the data segment. We want to adjust up to
94     the same address within the page on the next page up. */
95 . = DATA_SEGMENT_ALIGN (CONSTANT (MAXPAGESIZE), CONSTANT
96     (COMMONPAGESIZE));
97 /* Exception handling */
98 .eh_frame     : ONLY_IF_RW { KEEP (*(.eh_frame)) *(.eh_frame.*) }
99 .gnu_extab    : ONLY_IF_RW { *(.gnu_extab) }
100 .gcc_except_table : ONLY_IF_RW { *(.gcc_except_table
101     .gcc_except_table.*) }
102 .exception_ranges : ONLY_IF_RW { *(.exception_ranges*) }
103 /* Thread Local Storage sections */
104 .tdata       :
105 {
106     PROVIDE_HIDDEN (__tdata_start = .);
107     *(.tdata .tdata.* .gnu.linkonce.td.*)
108 }
109 .tbss       : { *(.tbss .tbss.* .gnu.linkonce.tb.*) *(.tcommon) }
110 .preinit_array :
111 {
```

```
108 PROVIDE_HIDDEN ( __preinit_array_start = . );
109 KEEP (*.preinit_array)
110 PROVIDE_HIDDEN ( __preinit_array_end = . );
111 }
112 .init_array      :
113 {
114     PROVIDE_HIDDEN ( __init_array_start = . );
115     KEEP (*(SORT_BY_INIT_PRIORITY(.init_array.*)
116     SORT_BY_INIT_PRIORITY(.ctors.*)))
117     KEEP (*.init_array EXCLUDE_FILE (*crtbegin.o *crtbegin?.o *crtend.o
118     *crtend?.o ) .ctors))
119     PROVIDE_HIDDEN ( __init_array_end = . );
120 }
121 .fini_array      :
122 {
123     PROVIDE_HIDDEN ( __fini_array_start = . );
124     KEEP (*(SORT_BY_INIT_PRIORITY(.fini_array.*)
125     SORT_BY_INIT_PRIORITY(.dtors.*)))
126     KEEP (*.fini_array EXCLUDE_FILE (*crtbegin.o *crtbegin?.o *crtend.o
127     *crtend?.o ) .dtors))
128     PROVIDE_HIDDEN ( __fini_array_end = . );
129 }
130 .ctors           :
131 {
132     /* gcc uses crtbegin.o to find the start of
133     the constructors, so we make sure it is
134     first.  Because this is a wildcard, it
135     doesn't matter if the user does not
136     actually link against crtbegin.o; the
137     linker won't look for a file to match a
138     wildcard.  The wildcard also means that it
139     doesn't matter which directory crtbegin.o
140     is in.  */
141     KEEP (*crtbegin.o(.ctors))
142     KEEP (*crtbegin?.o(.ctors))
143     /* We don't want to include the .ctor section from
144     the crtend.o file until after the sorted ctors.
145     The .ctor section from the crtend file contains the
146     end of ctors marker and it must be last */
147     KEEP (*(EXCLUDE_FILE (*crtend.o *crtend?.o ) .ctors))
148     KEEP (*(SORT(.ctors.*)))
149     KEEP (*.ctors)
```

```
146 }
147 .dtors          :
148 {
149     KEEP (*crtbegin.o(.dtors))
150     KEEP (*crtbegin?.o(.dtors))
151     KEEP (*(EXCLUDE_FILE (*crtend.o *crtend?.o ) .dtors))
152     KEEP (*(SORT(.dtors.*)))
153     KEEP (*.dtors)
154 }
155 .jcr            : { KEEP (*.jcr) }
156 .data.rel.ro   : { *(.data.rel.ro.local* .gnu.linkonce.d.rel.ro.local*)
157     *(.data.rel.ro .data.rel.ro.* .gnu.linkonce.d.rel.ro.*) }
158 .dynamic       : { *(.dynamic) }
159 . = DATA_SEGMENT_RELRO_END (0, .);
160 .data          :
161 {
162     __DATA_BEGIN__ = .;
163     *(.data .data.* .gnu.linkonce.d.*)
164     SORT(CONSTRUCTORS)
165 }
166 .data1         : { *(.data1) }
167 .got           : { *(.got.plt) *(.igot.plt) *(.got) *(.igot) }
168 /* We want the small data sections together, so single-instruction
169    offsets
170    can access them all, and initialized data all before uninitialized, so
171    we can shorten the on-disk segment size. */
172 .sdata         :
173 {
174     __SDATA_BEGIN__ = .;
175     *(.srodata.cst16) *(.srodata.cst8) *(.srodata.cst4) *(.srodata.cst2)
176     *(.srodata .srodata.*)
177     *(.sdata .sdata.* .gnu.linkonce.s.*)
178 }
179 __edata = .; PROVIDE (edata = .);
180 . = .;
181 __bss_start = .;
182 .sbss         :
183 {
184     *(.dynsbss)
185     *(.sbss .sbss.* .gnu.linkonce.sb.*)
186     *(.scommon)
187 }
```

```

185 .bss          :
186 {
187     *(.dynbss)
188     *(.bss .bss.* .gnu.linkonce.b.*)
189     *(COMMON)
190     /* Align here to ensure that the .bss section occupies space up to
191        __end.  Align after .bss to ensure correct alignment even if the
192        .bss section disappears because there are no input sections.
193        FIXME: Why do we need it? When there is no .bss section, we do not
194        pad the .data section. */
195     . = ALIGN(. != 0 ? 32 / 8 : 1);
196 }
197 . = ALIGN(32 / 8);
198 . = SEGMENT_START("ldata-segment", .);
199 . = ALIGN(32 / 8);
200 __BSS_END__ = .;
201     __global_pointer$ = MIN(__SDATA_BEGIN__ + 0x800,
202                             MAX(__DATA_BEGIN__ + 0x800, __BSS_END__ - 0x800));
203 __end = .; PROVIDE (end = .);
204 . = DATA_SEGMENT_END (.);
205 /* Stabs debugging sections. */
206 .stab          0 : { *(.stab) }
207 .stabstr       0 : { *(.stabstr) }
208 .stab.excl     0 : { *(.stab.excl) }
209 .stab.exclstr  0 : { *(.stab.exclstr) }
210 .stab.index    0 : { *(.stab.index) }
211 .stab.indexstr 0 : { *(.stab.indexstr) }
212 .comment       0 : { *(.comment) }
213 .gnu.build.attributes : { *(.gnu.build.attributes
214     .gnu.build.attributes.*) }
215 /* DWARF debug sections.
216     Symbols in the DWARF debugging sections are relative to the beginning
217     of the section so we begin them at 0. */
218 /* DWARF 1 */
219 .debug         0 : { *(.debug) }
220 .line          0 : { *(.line) }
221 /* GNU DWARF 1 extensions */
222 .debug_srcinfo 0 : { *(.debug_srcinfo) }
223 .debug_sfnames 0 : { *(.debug_sfnames) }
224 /* DWARF 1.1 and DWARF 2 */
225 .debug_aranges 0 : { *(.debug_aranges) }
226 .debug_pubnames 0 : { *(.debug_pubnames) }

```

```
226  /* DWARF 2 */
227  .debug_info      0 : { *(.debug_info .gnu.linkonce.wi.*) }
228  .debug_abbrev    0 : { *(.debug_abbrev) }
229  .debug_line      0 : { *(.debug_line .debug_line.* .debug_line_end) }
230  .debug_frame     0 : { *(.debug_frame) }
231  .debug_str       0 : { *(.debug_str) }
232  .debug_loc       0 : { *(.debug_loc) }
233  .debug_macinfo   0 : { *(.debug_macinfo) }
234  /* SGI/MIPS DWARF 2 extensions */
235  .debug_weaknames 0 : { *(.debug_weaknames) }
236  .debug_funcnames 0 : { *(.debug_funcnames) }
237  .debug_tynames   0 : { *(.debug_tynames) }
238  .debug_varnames  0 : { *(.debug_varnames) }
239  /* DWARF 3 */
240  .debug_pubtypes  0 : { *(.debug_pubtypes) }
241  .debug_ranges    0 : { *(.debug_ranges) }
242  /* DWARF Extension. */
243  .debug_macro     0 : { *(.debug_macro) }
244  .debug_addr      0 : { *(.debug_addr) }
245  .gnu.attributes  0 : { KEEP (*(gnu.attributes)) }
246  /DISCARD/ : { *(.note.GNU-stack) *(gnu_debuglink) *(gnu_lto_*) }
247 }
248
249
250
```

Aufistung A.1: Standard Linker Skript der riscv-none-embed-gcc Toolchain link.ld

A.2 Batchskripte

A.2.1 create.tcl

```
1 # This is the first vivado tcl script. It is creating a project for
  further usage with all the source files for the bram project and the
  board nexys video.
2 set outputDir build
3 set log build/logs/project.log
4 file mkdir $outputDir
5 # Project create with FPGA from Nyxes Video
6 create_project masterthesis build/masterthesis -part xc7a100tcsg324-1
  -force
7
8 # set board properties
9 # set_property board_part digilentinc.com:nexys4_ddr:part0:1.1
  [current_project]
10
11 # Set Verliog as preferred language
12 set_property target_language Verilog [current_project]
13
14 # Adding the required files
15 add_files -norecurse -scan_for_includes [ glob src/rtl/* ]
16 update_compile_order -fileset sources_1
17
18 # creating clock
19 create_ip -name clk_wiz -vendor xilinx.com -library ip -version 6.0
  -module_name clk_wiz_0
20 set_property -dict [ list CONFIG.USE_PHASE_ALIGNMENT {false}
  CONFIG.CLKOUT1_REQUESTED_OUT_FREQ {25.000} CONFIG.USE_LOCKED {false}
  CONFIG.SECONDARY_SOURCE {Single_ended_clock_capable_pin}
  CONFIG.CLKOUT1_DRIVES {BUFG} CONFIG.CLKOUT2_DRIVES {BUFG}
  CONFIG.CLKOUT3_DRIVES {BUFG} CONFIG.CLKOUT4_DRIVES {BUFG}
  CONFIG.CLKOUT5_DRIVES {BUFG} CONFIG.CLKOUT6_DRIVES {BUFG}
  CONFIG.CLKOUT7_DRIVES {BUFG} CONFIG.MMCM_CLKFBOUT_MULT_F {9.125}
  CONFIG.MMCM_CLKOUT0_DIVIDE_F {36.500} CONFIG.CLKOUT1_JITTER {181.828}
  CONFIG.CLKOUT1_PHASE_ERROR {104.359} ] [get_ips clk_wiz_0]
21 generate_target {instantiation_template} [get_files
  build/masterthesis/masterthesis.srcs/sources_1/ip/clk_wiz_0/clk_wiz_0
  .xci]
22 update_compile_order -fileset sources_1
```

```

23 generate_target all [get_files
    build/masterthesis/masterthesis.srscs/sources_1/ip/clk_wiz_0/clk_wiz_0
    .xci]
24 catch { config_ip_cache -export [get_ips -all clk_wiz_0] }
25 export_ip_user_files -of_objects [get_files
    build/masterthesis/masterthesis.srscs/sources_1/ip/clk_wiz_0/clk_wiz_0
    .xci] -no_script -sync -force -quiet
26 create_ip_run [get_files -of_objects [get_fileset sources_1]
    build/masterthesis/masterthesis.srscs/sources_1/ip/clk_wiz_0/clk_wiz_0
    .xci]
27 launch_runs clk_wiz_0_synth_1 -jobs 8
28 export_simulation -of_objects [get_files
    build/masterthesis/masterthesis.srscs/sources_1/ip/clk_wiz_0/clk_wiz_0
    .xci] -directory
    build/masterthesis/masterthesis.ip_user_files/sim_scripts
    -ip_user_files_dir build/masterthesis/masterthesis.ip_user_files
    -ipstatic_source_dir
    build/masterthesis/masterthesis.ip_user_files/ipstatic -lib_map_path
    [list
    {modelsim=build/masterthesis/masterthesis.cache/compile_simlib/modelsim}
    {questa=build/masterthesis/masterthesis.cache/compile_simlib/questa}
    {ies=build/masterthesis/masterthesis.cache/compile_simlib/ies}
    {xcelium=build/masterthesis/masterthesis.cache/compile_simlib/xcelium}
    {vcs=build/masterthesis/masterthesis.cache/compile_simlib/vcs}
    {riviera=build/masterthesis/masterthesis.cache/compile_simlib/riviera}]
    -use_ip_compiled_libs -force -quiet
29
30 #creating bram
31 create_ip -name blk_mem_gen -vendor xilinx.com -library ip -version 8.4
    -module_name blk_mem_gen_0
32 set_property -dict [list CONFIG.Memory_Type {True_Dual_Port_RAM}
    CONFIG.Enable_32bit_Address {true} CONFIG.Use_Byte_Write_Enable {true}
    CONFIG.Byte_Size {8} CONFIG.Assume_Synchronous_Clk {true}
    CONFIG.Write_Width_A {32} CONFIG.Write_Depth_A {65536}
    CONFIG.Read_Width_A {32} CONFIG.Enable_A {Always_Enabled}
    CONFIG.Write_Width_B {32} CONFIG.Read_Width_B {32} CONFIG.Enable_B
    {Always_Enabled} CONFIG.Register_PortA_Output_of_Memory_Primitives
    {false} CONFIG.Register_PortB_Output_of_Memory_Primitives {false}
    CONFIG.Load_Init_File {true} CONFIG.Coe_File
    {../../../../../../../../ext/riscv-caeco-master.coe}
    CONFIG.Fill_Remaining_Memory_Locations {true} CONFIG.Use_RSTA_Pin
    {false} CONFIG.Use_RSTB_Pin {false} CONFIG.Port_B_Clock {100}

```

```

CONFIG.Port_B_Write_Rate {50} CONFIG.Port_B_Enable_Rate {100}
CONFIG.EN_SAFETY_CKT {false}] [get_ips blk_mem_gen_0]
33 generate_target {instantiation_template} [get_files
    build/masterthesis/masterthesis.srcs/sources_1/ip/blk_mem_gen_0/
    blk_mem_gen_0.xci]
34 update_compile_order -fileset sources_1
35 generate_target all [get_files
    build/masterthesis/masterthesis.srcs/sources_1/ip/blk_mem_gen_0/
    blk_mem_gen_0.xci]
36 catch { config_ip_cache -export [get_ips -all blk_mem_gen_0] }
37 export_ip_user_files -of_objects [get_files
    build/masterthesis/masterthesis.srcs/sources_1/ip/blk_mem_gen_0/
    blk_mem_gen_0.xci] -no_script -sync -force -quiet
38 create_ip_run [get_files -of_objects [get_fileset sources_1]
    build/masterthesis/masterthesis.srcs/sources_1/ip/blk_mem_gen_0/
    blk_mem_gen_0.xci]
39 launch_runs blk_mem_gen_0_synth_1 -jobs 8
40 export_simulation -of_objects [get_files
    build/masterthesis/masterthesis.srcs/sources_1/ip/blk_mem_gen_0/
    blk_mem_gen_0.xci] -directory
    build/masterthesis/masterthesis.ip_user_files/sim_scripts
    -ip_user_files_dir build/masterthesis/masterthesis.ip_user_files
    -ipstatic_source_dir
    build/masterthesis/masterthesis.ip_user_files/ipstatic -lib_map_path
    [ list
    {modelsim=build/masterthesis/masterthesis.cache/compile_simlib/modelsim}
    {questa=build/masterthesis/masterthesis.cache/compile_simlib/questa}
    {ies=build/masterthesis/masterthesis.cache/compile_simlib/ies}
    {xcelium=build/masterthesis/masterthesis.cache/compile_simlib/xcelium}
    {vcs=build/masterthesis/masterthesis.cache/compile_simlib/vcs}
    {riviera=build/masterthesis/masterthesis.cache/compile_simlib/riviera}]
    -use_ip_compiled_libs -force -quiet
41
42 # constrains:
43 add_files -fileset constrs_1 -norecurse
    src/constrains/Nexys-4-DDR-Master.xdc
44
45 set_property SOURCE_SET sources_1 [get_filesets sim_1]
46 add_files -fileset sim_1 -norecurse -scan_for_includes [glob
    src/simulation/masterthesis_tb.v]
47 update_compile_order -fileset sim_1
48

```

```
49 close_project
```

Auflistung A.2: create.tcl

A.2.2 synthesis.tcl

```
1 # This is the second TCL script for opening the project, adding the
  simulation files and performing a simulation
2 set outputDir build
3 set log build/logs/project.log
4 file mkdir $outputDir
5
6 open_project build/masterthesis/masterthesis.xpr
7 # Run Synthesis. Final Step for this Job
8 launch_runs synth_1 -jobs 8
9 wait_on_run synth_1
10 # Writes in log, when Synthesis is successfull.
11 if {[get_property STATUS [get_runs synth_1]] == {synth_design Complete!}}
    then {set fp [open $log a]; puts $fp "Synth. Successful: 1"; close $fp}
    else {set fp [open $log a]; puts $fp "Synth. Successful: 0"; close $fp}
12
13 close_project
```

Auflistung A.3: synthesis.tcl

A.2.3 implementation.tcl

```
1 # This is the second TCL script for opening the project, adding the
  simulation files and performing a simulation
2 set outputDir build
3 set log build/logs/project.log
4 file mkdir $outputDir
5 #
6 open_project build/masterthesis/masterthesis.xpr
7 #
8 # launch implementation and writing the bitstream
9 launch_runs impl_1 -jobs 8
10 wait_on_run impl_1
11 if {[get_property STATUS [get_runs impl_1]] == {route_design Complete!}}
    then {set fp [open $log a]; puts $fp "Impl. Successful: 1"; close $fp}
    else {set fp [open $log a]; puts $fp "Impl. Successful: 0"; close $fp}
12 # Write Bitstream
```

```
13#
14launch_runs impl_1 -to_step write_bitstream -jobs 8
15wait_on_run impl_1
16#
17close_project
```

Auflistung A.4: implementation.tcl

A.2.4 simulation.tcl

```
1# This is the second TCL script for opening the project, adding the
  simulation files and performing a simulation
2open_project build/masterthesis/masterthesis.xpr
3#Simulation Start
4#
5launch_simulation
6# open_wave_config src/simulation/pomaa.wcfg
7source
  build/masterthesis/masterthesis.sim/sim_1/behav/xsim/masterthesis_tb.tcl
8log_wave /masterthesis_tb/DUT/*
9#
10run 1 us
11
12close_project
```

Auflistung A.5: simulation.tcl

A.3 Programm-Codes

A.3.1 new-mem.exe Rust Hilfsprogramm

```
1 use std::env;
2 use std::io::Read;
3 use std::io::Write;
4 use std::str;
5
6 fn main() {
7     // getting input argument, which is the path to the selected mem file
8     let args: Vec<String> = env::args().collect();
9     let path = &args[1].to_string();
10    let path_exp = &args[2].to_string();
11    // opens the file
12    let mut file = std::fs::File::open(path).unwrap();
13    let mut contents = String::new();
14    file.read_to_string(&mut contents).unwrap();
15
16    let b = contents.as_bytes();
17    println!("{:?}", b);
18    // get the @ Adress, since header can variate
19    let pos = b.iter().position(|&x| x == 64).unwrap();
20    println!("{:?}", pos);
21    // iterate through the vector
22    let filter : Vec<u8> = b
23
24
25
26
27
28
29
30
31
32
33
34
35
36
37
38
23                                     .iter()
24                                     .clone()
25                                     .skip(pos + 10)
26                                     .filter(|x| {
27                                         // 0-9
28                                         **x == 48 ||
29                                         **x == 49 ||
30                                         **x == 50 ||
31                                         **x == 51 ||
32                                         **x == 52 ||
33                                         **x == 53 ||
34                                         **x == 54 ||
35                                         **x == 55 ||
36                                         **x == 56 ||
37                                         **x == 57 ||
38                                         // a-f
```

```
39         **x == 65 ||
40         **x == 66 ||
41         **x == 67 ||
42         **x == 68 ||
43         **x == 69 ||
44         **x == 70} )
45     .map(|x| *x)
46     .collect();
47
48     // creates a new file
49     let mut file_create = std::fs::File::create(path_exp).expect("create
50     failed");
51     // write start address @00000000
52     file_create.write_all("@00000000".as_bytes()).expect("write failed");
53     // getting all instructions
54     // for i in 0..instructions_num{
55     for _i in (0..filter.len()).step_by(8){
56         let mut empty: Vec<u8> = vec![0;8];
57         // creating the vector new for every instruction
58         for j in 0..8{
59             empty[7-j] = filter[j+_i];
60         }
61         // swaping bytes
62         let mut instruction:Vec<u8> = vec![0;8];
63         instruction[0] = empty[1];
64         instruction[1] = empty[0];
65         instruction[2] = empty[3];
66         instruction[3] = empty[2];
67         instruction[4] = empty[5];
68         instruction[5] = empty[4];
69         instruction[6] = empty[7];
70         instruction[7] = empty[6];
71
72         file_create.write_all("\n".as_bytes()).expect("write failed");
73         file_create.write_all(&instruction).expect("write failed");
74     }
75 }
```

Aufistung A.6: Programm-Code für new-mem.exe

A.3.2 new-coe.exe Rust Hilfsprogramm

```

1 use std::env;
2 use std::io::Read;
3 use std::io::Write;
4 use std::str;
5
6 fn main() {
7     // getting input argument, which is the path to the selected mem file
8     let args: Vec<String> = env::args().collect();
9     // input file
10    let path = &args[1].to_string();
11    // output file
12    let path_exp = &args[2].to_string();
13    // opens the file
14    let mut file = std::fs::File::open(path).unwrap();
15    let mut contents = String::new();
16    file.read_to_string(&mut contents).unwrap();
17
18    let b = contents.as_bytes();
19
20    // write the header for new file
21    let mut file_create = std::fs::File::create(path_exp).expect("create
failed");
22    file_create.write_all("memory_initialization_radix=16;\n".as_bytes()).
expect("write failed");
23    file_create.write_all("memory_initialization_vector=\n".as_bytes()).
expect("write failed");
24
25
26    // iterate through the vector
27    let mut filter : Vec<u8> = b
28
29
30
31
32
33
34
35
36
37
38
        .into_iter()
        .clone()
        .skip(10)
        .map(|mut x| {
            if *x == 65 {x = &97}
            else if *x == 66 {x = &98}
            else if *x == 67 {x = &99}
            else if *x == 68 {x = &100}
            else if *x == 69 {x = &101}
            else if *x == 70 {x = &102}
            else if *x == 10 {x = &44}
        })

```

```
39         else {x = x};
40         *x
41     })
42     .collect();
43 // push a last sign for iterating
44 filter.push(59);
45 println!("Number of instructions {:?}", (filter.len() / 9));
46
47 // getting all instructions
48 for i in (0..filter.len()).step_by(9){
49     // create the new instruction with colon
50     let mut instruction:Vec<u8> = vec![0;9];
51     instruction[0] = filter[i+0];
52     instruction[1] = filter[i+1];
53     instruction[2] = filter[i+2];
54     instruction[3] = filter[i+3];
55     instruction[4] = filter[i+4];
56     instruction[5] = filter[i+5];
57     instruction[6] = filter[i+6];
58     instruction[7] = filter[i+7];
59     instruction[8] = filter[i+8];
60
61     file_create.write_all(&instruction).expect("write failed");
62     file_create.write_all("\n".as_bytes()).expect("write failed");
63 }
64 }
```

Auflistung A.7: Programm-Code für new-coe.exe

A.3.3 Kompilierter C Programm-Code Initialisierung

```
1
2C:\Users\FabianBruenger\Documents\Masterthesis\Zieldateien\Test3.elf:
   file format elf32-littleriscv
3
4
5Disassembly of section .text:
6
780000000 <_start>:
880000000: 00000197          auipc gp,0x0
980000004: 0ec18193          addi gp,gp,236 # 800000ec <__global_pointer$>
1080000008: 00006117          auipc sp,0x6
118000000c: 1f410113          addi sp,sp,500 # 800061fc <__stack>
1280000010: 300fd073          csrwi mstatus,31
1380000014: 00000e97          auipc t4,0x0
1480000018: 0b0e8e93          addi t4,t4,176 # 800000c4 <trap_handler>
158000001c: 305e9073          csrw mtvec,t4
1680000020: 00000093          li ra,0
1780000024: 00008113          mv sp,ra
1880000028: 00008193          mv gp,ra
198000002c: 00008213          mv tp,ra
2080000030: 00008293          mv t0,ra
2180000034: 00008313          mv t1,ra
2280000038: 00008393          mv t2,ra
238000003c: 00008413          mv s0,ra
2480000040: 00008493          mv s1,ra
2580000044: 00008513          mv a0,ra
2680000048: 00008593          mv a1,ra
278000004c: 00008613          mv a2,ra
2880000050: 00008693          mv a3,ra
2980000054: 00008713          mv a4,ra
3080000058: 00008793          mv a5,ra
318000005c: 00008813          mv a6,ra
3280000060: 00008893          mv a7,ra
3380000064: 00008913          mv s2,ra
3480000068: 00008993          mv s3,ra
358000006c: 00008a13          mv s4,ra
3680000070: 00008a93          mv s5,ra
3780000074: 00008b13          mv s6,ra
3880000078: 00008b93          mv s7,ra
398000007c: 00008c13          mv s8,ra
4080000080: 00008c93          mv s9,ra
```

```
41 80000084: 00008d13      mv s10,ra
42 80000088: 00008d93      mv s11,ra
43 8000008c: 00008e13      mv t3,ra
44 80000090: 00008e93      mv t4,ra
45 80000094: 00008f13      mv t5,ra
46 80000098: 00008f93      mv t6,ra
47 8000009c: 00002d17      auipc s10,0x2
48 800000a0: 144d0d13      addi s10,s10,324 # 800021e0 <_bss_start>
49 800000a4: 00002d97      auipc s11,0x2
50 800000a8: 154d8d93      addi s11,s11,340 # 800021f8 <errno>
51 800000ac: 01bd5863      bge s10,s11,800000bc <zero_loop_end>
52
53 800000b0 <zero_loop>:
54 800000b0: 000d2023      sw zero,0(s10)
55 800000b4: 004d0d13      addi s10,s10,4
56 800000b8: ffaddce3      bge s11,s10,800000b0 <zero_loop>
57
58 800000bc <zero_loop_end>:
59 800000bc: 2f0000ef      jal ra,800003ac <main>
60 800000c0: 0000006f      j 800000c0 <zero_loop_end+0x4>
61
62 800000c4 <trap_handler>:
63 800000c4: 2640006f      j 80000328 <exception_handler>
64 800000c8: 27c0006f      j 80000344 <l_1_caeco_interrupt_handler>
65 800000cc: 30200073      mret
66
67 ...
68
69 80000344 <l_1_caeco_interrupt_handler>:
70 80000344: fe010113      addi sp,sp,-32
71 80000348: 00812e23      sw s0,28(sp)
72 8000034c: 00e12c23      sw a4,24(sp)
73 80000350: 00f12a23      sw a5,20(sp)
74 80000354: 02010413      addi s0,sp,32
75 80000358: c00007b7      lui a5,0xc0000
76 8000035c: 0c078793      addi a5,a5,192 # c00000c0 <_gpio_creg+0xb4>
77 .....
```

Auflistung A.8: Kompilierter C Programm-Code Initialisierung

```
1 /*
2  * airi5c_syscalls.h
3  *
4  * Created on: 11.11.2019
5  * Author: stanitzk
6  */
7
8 #ifndef AIRI5C_SYSCALLS_H_
9 #define AIRI5C_SYSCALLS_H_
10
11 #include <sys/stat.h>
12 #include <sys/types.h>
13 #include <sys/fcntl.h>
14 #include <sys/times.h>
15 #include <sys/errno.h>
16 #include <sys/time.h>
17 #include <stdio.h>
18
19
20 void _exit();
21 int close(int file);
22 int execve(char *name, char **argv, char **env);
23 int fork();
24 int fstat(int file, struct stat *st);
25 int getpid();
26 int isatty(int file);
27 int kill(int pid, int sig);
28 int link(char *old, char *new);
29 int lseek(int file, int ptr, int dir);
30 int open(const char *name, int flags, ...);
31 int read(int file, char *ptr, int len);
32 caddr_t sbrk(int incr);
33 int stat(const char *file, struct stat *st);
34 clock_t times(struct tms *buf);
35 int unlink(char *name);
36 int wait(int *status);
37 int write(int file, char *ptr, int len);
38
39 #endif /* AIRI5C_SYSCALLS_H_ */
```

Aufistung A.9: syscalls.h

```
1 /*
2  * airi5c_syscalls.c
3  *
4  * Created on: 11.11.2019
5  * Author: stanitzk
6  *
7  * This is a non-reentrant implementation of the 13 syscalls required by
8  * newlib.
9  */
10
11 #include <sys/stat.h>
12 #include <errno.h>
13 #include "airi5c_syscalls.h"
14
15 #undef errno
16 extern int errno; // linker script defines address for this
17
18
19 char *__env[1] = { 0 };
20 char **environ = __env;
21
22 void _exit(int i) {
23     while(1); // park loop
24 }
25
26 int _close(int file) {
27     return(-1); // the only file is stdout, which cannot be closed
28 }
29
30 int _execve(char *name, char **argv, char **env) {
31     errno = ENOMEM;
32     return -1;
33 }
34
35
36 int _fork() {
37     errno = EAGAIN;
38     return(-1);
39 }
40
41 int _fstat(int file, struct stat *st) {
42     st->st_mode = S_IFCHR;
```

```
43 return 0;
44 }
45
46 int __getpid(void) {
47     return 1;
48 }
49
50 int __isatty(int file) {
51     return 1;
52 }
53
54 int __kill(int pid, int sig) {
55     errno = EINVAL;
56     return -1;
57 }
58
59 int __link(char *old, char *new) {
60     errno = EMLINK;
61     return -1;
62 }
63
64 int __lseek(int file, int ptr, int dir) {
65     return 0;
66 }
67
68 int __open(const char *name, int flags, ...) {
69     return -1;
70 }
71
72 int __read(int file, char *ptr, int len) {
73     return 0;
74 }
75
76 caddr_t __sbrk(int incr) {
77     extern int __end;
78     static void *heap_end;
79     void *prev_heap_end;
80
81     register void* stack_ptr asm("sp");
82     if(heap_end == NULL)
83         heap_end = (void*)&__end;
84     prev_heap_end = heap_end;
```

```
85 if((void*)(heap_end + incr) > stack_ptr) {
86     write(1, "Heap and stack collision\n",25);
87     while(1);
88 }
89 heap_end += incr;
90 return (caddr_t) prev_heap_end;
91 }
92
93 int _stat(const char *file , struct stat *st) {
94     st->st_mode = S_IFCHR;
95     return 0;
96 }
97
98 clock_t _times(struct tms *buf) {
99     errno = EACCES;
100    return -1;
101 }
102 int _unlink(char *name) {
103     errno = ENOENT;
104     return -1;
105 }
106
107 int _wait(int *status) {
108     errno = ECHILD;
109     return -1;
110 }
111
112 void outbyte(char payload)
113 {
114     int i;
115     volatile extern int _uart_dreg;
116     _uart_dreg = 0x100 | payload;
117     _uart_dreg = 0x000;
118     for(i = 0; i < 10000; i++);
119 }
120
121 int _write(int file , char *ptr, int len) {
122     int i;
123     for(i = 0; i < len; i++)
124     {
125         outbyte(ptr[i]);
126     }
```

```
127 return len ;  
128 }
```

Auflistung A.10: syscalls.c

B HDL Code

B.1 Verilog

B.1.1 Caecointerface

```

1 `timescale 1ns / 1ps
2 `include "POMAA_constants.vh"
3 //----- States
4 //-----//
5 module caecointerface(
6     input clk ,
7     input rst ,
8     //----- Signals from processor
9     //-----//
9     // enable signal for perepherie
10    input          en ,
11    // write signal
12    input          wen ,
13    // adresse
14    input  [31:0]  addr ,
15    // data
16    input  [31:0]  wdata ,
17    //----- Signals from dmi module direct
18    //-----//
18    // data from debug module direct. Should be 0x00000001, if cmd is 1
19    input  [31:0]  dm_wdata ,
20    // write enable from dm
21    input          dm_wen ,
22    // command set from dm
23    input          dm_cmd ,
24    //----- SOut always through the processor
25    //-----//
25    // final data out
26    output [31:0]  rdata ,
27    // interrupt

```

```

28     output          res_inter ,
29     // led for debugging
30     output          led
31 );
32 //----- Signale
33 //-----//
33 wire    [15:0]    din;
34 wire    [31:0]    result;
35 wire          invalid , inready , resultvalid , cmd;
36 reg     [15:0]    datahalf_r;
37 reg     [3:0]     state , next_state;
38 reg          invalid_r , ctrl_r , led_r;
39
40 //----- Instantiierung Caemo
41 //-----//
41 caeco caeco_inst(
42     // data: in 16-Bit
43     .DIN(din) ,
44     // control signal to valid dai: in 1-Bit
45     .DIN_VALID(invalid) ,
46     // if true, data can be written: out 1-Bit
47     .DIN_READY(inready) ,
48     // has to be set, if last data is written: in 1-Bit
49     .DIN_LAST(1'b0) ,
50     //-----
51     // result register: out
52     .RESULT(result) ,
53     // valid result : out 1-Bit
54     .RESULT_VALID(resultvalid) ,
55     // cmd: in 1-Bit
56     .CMD(cmd) ,
57     // en: in 1-Bit
58     .EN(1'b0) ,
59     //-----
60     .RSTN(~rst) ,
61     .CLK(clk)
62 );
63 //----- FSM signal processing
64 //-----//
64 //----- LED
65 always@(posedge clk or posedge rst)
66 begin

```

```

67     if(rst) begin
68         led_r <= 1'b0;
69     end
70     else begin
71         if(cmd) begin
72             led_r <= 1'b1;
73         end
74         else if (resultvalid) begin
75             led_r <= 1'b0;
76         end
77     end
78 end
79 //----- 1
80 always @(posedge clk or posedge rst)
81 begin
82     if(rst) begin
83         state<='IDLE;
84     end
85     else begin
86         state <= next_state;
87     end
88 end
89 //----- 2
90 always@(*)
91 begin
92     case(state)
93         'IDLE: begin
94             //----- States for the direct
signals from cpu
95             // If address is c0..10 -> write process start
96             if (en && wen && addr==32'hc0000010) begin
97                 next_state = 'WDA0;
98             end
99             // If address is c0 .. 11 -> control signal is set for one
clock
100             else if (en && wen && addr==32'hc0000011) begin
101                 next_state = 'CTRL;
102             end
103             //----- States for the direct
signals from dm
104             else if (dm_cmd) begin
105                 next_state = 'CTRL_DM;

```

```

106         end
107         else if (dm_wen) begin
108             next_state = 'WDA0_DM;
109         end
110         else begin
111             next_state = 'IDLE;
112         end
113     end
114     'WDA0: begin
115         next_state = 'WDA1;
116     end
117     'WDA1: begin
118         next_state = 'IDLE;
119     end
120     'WDA0_DM: begin
121         next_state = 'WDA1_DM;
122     end
123     'WDA1_DM: begin
124         next_state = 'WAIT_DM;
125     end
126     'CTRL:      begin
127         next_state = 'IDLE;
128     end
129     'CTRL_DM:   begin
130         next_state = 'WAIT_DM;
131     end
132     'WAIT_DM:   begin
133         next_state = (dm_cmd || dm_wen) ? 'WAIT_DM :
134                   (en && wen && addr==32'hc0000010) ? 'WDA0 :
135                   'IDLE;
136     end
137
138         default: next_state = 'IDLE;
139     endcase
140 end
141 //----- 3
142 always@(*)
143 begin
144     invalid_r    = 1'b0;
145     ctrl_r       = 1'b0;
146     datahalf_r   = 16'h0;
147     case(state)

```

```
148     'IDLE: begin
149         invalid_r    = 1'b0;
150         ctrl_r       = 1'b0;
151         datahalf_r   = 16'h0;
152     end
153     'WDA0: begin
154         invalid_r    = 1'b1;
155         ctrl_r       = 1'b0;
156         datahalf_r   = { wdata[23:16] ,wdata[31:24] };
157     end
158     'WDA1: begin
159         invalid_r    = 1'b1;
160         ctrl_r       = 1'b0;
161         datahalf_r   = { wdata[7:0] ,wdata[15:8] } ;
162     end
163     'WDA0_DM: begin
164         invalid_r    = 1'b1;
165         ctrl_r       = 1'b0;
166         datahalf_r   = { dm_wdata[23:16] ,dm_wdata[31:24] };
167     end
168     'WDA1_DM: begin
169         invalid_r    = 1'b1;
170         ctrl_r       = 1'b0;
171         datahalf_r   = { dm_wdata[7:0] ,dm_wdata[15:8] } ;
172     end
173     'CTRL: begin
174         invalid_r    = 1'b0;
175         ctrl_r       = wdata[0];
176         datahalf_r   = 16'h0;
177     end
178     'CTRL_DM: begin
179         invalid_r    = 1'b0;
180         ctrl_r       = dm_wdata[0];
181         datahalf_r   = 16'h0;
182     end
183     'WAIT_DM: begin
184         invalid_r    = 1'b0;
185         ctrl_r       = 1'b0;
186         datahalf_r   = 16'h0;
187     end
188 endcase
189 end
```

```
190 //———— Assign
191 assign cmd          = ctrl_r;
192 assign din          = datahalf_r;
193 assign invalid      = invalid_r;
194 assign rdata        = result;
195 assign res_inter    = resultvalid;
196 assign led          = led_r;
197
198 endmodule
```

Aufistung B.1: Caecointerfave.v

B.1.2 POMAA_constants.vh

```
1 // POMAA constant definitions
2
3 // 1: states for FSM which handles the data from core
4 `define FSM_STATE_WIDTH 5
5
6 `define IDLE      `FSM_STATE_WIDTH'h0
7 `define WDA0     `FSM_STATE_WIDTH'h1
8 `define WDA1     `FSM_STATE_WIDTH'h2
9 `define CTRL     `FSM_STATE_WIDTH'h3
10 `define READ     `FSM_STATE_WIDTH'h4
11
12 // 2. States for data from dm directly
13 `define CTRL_DM  `FSM_STATE_WIDTH'h5
14 `define WAIT_DM `FSM_STATE_WIDTH'h6
15 `define WDA0_DM `FSM_STATE_WIDTH'h7
16 `define WDA1_DM `FSM_STATE_WIDTH'h8
```

Aufistung B.2: POMAA_constants.vh

B.1.3 JTAG Task jtag_dmi_write

```

1 task jtag_dmi_write;
2 input [5:0] addr;
3 input [31:0] data;
4 input [1:0] command;
5
6 output reg[31:0] result;
7
8 begin
9 // DEBUG if(command == 2'h2) $display("dmi: write to %h : %h",addr, data);
10 // goto Shift-IR state
11 tdi <= 1'b0;
12 tms <= 1'b0; #(5*CLK_PERIOD) tck <= 1'b1; #(5*CLK_PERIOD) tck <= 1'b0;
13 tms <= 1'b1; #(5*CLK_PERIOD) tck <= 1'b1; #(5*CLK_PERIOD) tck <= 1'b0;
14 tms <= 1'b1; #(5*CLK_PERIOD) tck <= 1'b1; #(5*CLK_PERIOD) tck <= 1'b0;
15 tms <= 1'b0; #(5*CLK_PERIOD) tck <= 1'b1; #(5*CLK_PERIOD) tck <= 1'b0;
16 tms <= 1'b0; #(5*CLK_PERIOD) tck <= 1'b1; #(5*CLK_PERIOD) tck <= 1'b0;
17 // Shift in address of DMI register (LSB to MSB)
18 tms <= 1'b0;
19 tdi <= 1'b1; #(5*CLK_PERIOD) tck <= 1'b1; #(5*CLK_PERIOD) tck <= 1'b0;
20 tdi <= 1'b0; #(5*CLK_PERIOD) tck <= 1'b1; #(5*CLK_PERIOD) tck <= 1'b0;
21 tdi <= 1'b0; #(5*CLK_PERIOD) tck <= 1'b1; #(5*CLK_PERIOD) tck <= 1'b0;
22 tdi <= 1'b0; #(5*CLK_PERIOD) tck <= 1'b1; #(5*CLK_PERIOD) tck <= 1'b0;
23 tms <= 1'b1;
24 tdi <= 1'b1; #(5*CLK_PERIOD) tck <= 1'b1; #(5*CLK_PERIOD) tck <= 1'b0;
25 // goto Update-IR state
26 tdi <= 1'b0;
27 tms <= 1'b1; #(5*CLK_PERIOD) tck <= 1'b1; #(5*CLK_PERIOD) tck <= 1'b0;
28 // goto Shift-DR state
29 tdi <= 1'b0;
30 tms <= 1'b1; #(5*CLK_PERIOD) tck <= 1'b1; #(5*CLK_PERIOD) tck <= 1'b0;
31 tms <= 1'b0; #(5*CLK_PERIOD) tck <= 1'b1; #(5*CLK_PERIOD) tck <= 1'b0;
32 tms <= 1'b0; #(5*CLK_PERIOD) tck <= 1'b1; #(5*CLK_PERIOD) tck <= 1'b0;
33 // shift in DMI address (0x10), data (0x80000000) and write command (0x2)
34 tms <= 1'b0;
35 tdi <= command[0]; #(5*CLK_PERIOD) tck <= 1'b1; #(5*CLK_PERIOD) tck <=
    1'b0;
36 tdi <= command[1]; #(5*CLK_PERIOD) tck <= 1'b1; #(5*CLK_PERIOD) tck <=
    1'b0;
37
38 tdi <= data[0]; #(5*CLK_PERIOD) result[0] <= tdo; tck <= 1'b1;
    #(5*CLK_PERIOD) tck <= 1'b0;

```

```
39 tdi <= data[1]; #(5*CLK_PERIOD) result[1] <= tdo; tck <= 1'b1;
    #(5*CLK_PERIOD) tck <= 1'b0;
40 tdi <= data[2]; #(5*CLK_PERIOD) result[2] <= tdo; tck <= 1'b1;
    #(5*CLK_PERIOD) tck <= 1'b0;
41 tdi <= data[3]; #(5*CLK_PERIOD) result[3] <= tdo; tck <= 1'b1;
    #(5*CLK_PERIOD) tck <= 1'b0;
42
43 tdi <= data[4]; #(5*CLK_PERIOD) result[4] <= tdo; tck <= 1'b1;
    #(5*CLK_PERIOD) tck <= 1'b0;
44 tdi <= data[5]; #(5*CLK_PERIOD) result[5] <= tdo; tck <= 1'b1;
    #(5*CLK_PERIOD) tck <= 1'b0;
45 tdi <= data[6]; #(5*CLK_PERIOD) result[6] <= tdo; tck <= 1'b1;
    #(5*CLK_PERIOD) tck <= 1'b0;
46 tdi <= data[7]; #(5*CLK_PERIOD) result[7] <= tdo; tck <= 1'b1;
    #(5*CLK_PERIOD) tck <= 1'b0;
47
48 tdi <= data[8]; #(5*CLK_PERIOD) result[8] <= tdo; tck <= 1'b1;
    #(5*CLK_PERIOD) tck <= 1'b0;
49 tdi <= data[9]; #(5*CLK_PERIOD) result[9] <= tdo; tck <= 1'b1;
    #(5*CLK_PERIOD) tck <= 1'b0;
50 tdi <= data[10]; #(5*CLK_PERIOD) result[10] <= tdo; tck <= 1'b1;
    #(5*CLK_PERIOD) tck <= 1'b0;
51 tdi <= data[11]; #(5*CLK_PERIOD) result[11] <= tdo; tck <= 1'b1;
    #(5*CLK_PERIOD) tck <= 1'b0;
52
53 tdi <= data[12]; #(5*CLK_PERIOD) result[12] <= tdo; tck <= 1'b1;
    #(5*CLK_PERIOD) tck <= 1'b0;
54 tdi <= data[13]; #(5*CLK_PERIOD) result[13] <= tdo; tck <= 1'b1;
    #(5*CLK_PERIOD) tck <= 1'b0;
55 tdi <= data[14]; #(5*CLK_PERIOD) result[14] <= tdo; tck <= 1'b1;
    #(5*CLK_PERIOD) tck <= 1'b0;
56 tdi <= data[15]; #(5*CLK_PERIOD) result[15] <= tdo; tck <= 1'b1;
    #(5*CLK_PERIOD) tck <= 1'b0;
57
58 tdi <= data[16]; #(5*CLK_PERIOD) result[16] <= tdo; tck <= 1'b1;
    #(5*CLK_PERIOD) tck <= 1'b0;
59 tdi <= data[17]; #(5*CLK_PERIOD) result[17] <= tdo; tck <= 1'b1;
    #(5*CLK_PERIOD) tck <= 1'b0;
60 tdi <= data[18]; #(5*CLK_PERIOD) result[18] <= tdo; tck <= 1'b1;
    #(5*CLK_PERIOD) tck <= 1'b0;
61 tdi <= data[19]; #(5*CLK_PERIOD) result[19] <= tdo; tck <= 1'b1;
    #(5*CLK_PERIOD) tck <= 1'b0;
```

```
62
63 tdi <= data[20]; #(5*CLK_PERIOD) result[20] <= tdo; tck <= 1'b1;
    #(5*CLK_PERIOD) tck <= 1'b0;
64 tdi <= data[21]; #(5*CLK_PERIOD) result[21] <= tdo; tck <= 1'b1;
    #(5*CLK_PERIOD) tck <= 1'b0;
65 tdi <= data[22]; #(5*CLK_PERIOD) result[22] <= tdo; tck <= 1'b1;
    #(5*CLK_PERIOD) tck <= 1'b0;
66 tdi <= data[23]; #(5*CLK_PERIOD) result[23] <= tdo; tck <= 1'b1;
    #(5*CLK_PERIOD) tck <= 1'b0;
67
68 tdi <= data[24]; #(5*CLK_PERIOD) result[24] <= tdo; tck <= 1'b1;
    #(5*CLK_PERIOD) tck <= 1'b0;
69 tdi <= data[25]; #(5*CLK_PERIOD) result[25] <= tdo; tck <= 1'b1;
    #(5*CLK_PERIOD) tck <= 1'b0;
70 tdi <= data[26]; #(5*CLK_PERIOD) result[26] <= tdo; tck <= 1'b1;
    #(5*CLK_PERIOD) tck <= 1'b0;
71 tdi <= data[27]; #(5*CLK_PERIOD) result[27] <= tdo; tck <= 1'b1;
    #(5*CLK_PERIOD) tck <= 1'b0;
72
73 tdi <= data[28]; #(5*CLK_PERIOD) result[28] <= tdo; tck <= 1'b1;
    #(5*CLK_PERIOD) tck <= 1'b0;
74 tdi <= data[29]; #(5*CLK_PERIOD) result[29] <= tdo; tck <= 1'b1;
    #(5*CLK_PERIOD) tck <= 1'b0;
75 tdi <= data[30]; #(5*CLK_PERIOD) result[30] <= tdo; tck <= 1'b1;
    #(5*CLK_PERIOD) tck <= 1'b0;
76 tdi <= data[31]; #(5*CLK_PERIOD) result[31] <= tdo; tck <= 1'b1;
    #(5*CLK_PERIOD) tck <= 1'b0;
77
78 tdi <= addr[0]; #(5*CLK_PERIOD) tck <= 1'b1; #(5*CLK_PERIOD) tck <=
    1'b0;
79 tdi <= addr[1]; #(5*CLK_PERIOD) tck <= 1'b1; #(5*CLK_PERIOD) tck <=
    1'b0;
80 tdi <= addr[2]; #(5*CLK_PERIOD) tck <= 1'b1; #(5*CLK_PERIOD) tck <=
    1'b0;
81 tdi <= addr[3]; #(5*CLK_PERIOD) tck <= 1'b1; #(5*CLK_PERIOD) tck <=
    1'b0;
82 tdi <= addr[4]; #(5*CLK_PERIOD) tck <= 1'b1; #(5*CLK_PERIOD) tck <=
    1'b0;
83 tdi <= addr[5]; #(5*CLK_PERIOD) tck <= 1'b1; #(5*CLK_PERIOD) tck <=
    1'b0;
84 tms <= 1'b1;
85 tdi <= 1'b0; #(10*CLK_PERIOD) tck <= 1'b1; #(10*CLK_PERIOD) tck <= 1'b0;
```

```
86 // goto Update-DR state
87 tdi <= 1'b0;
88 tms <= 1'b1; #(5*CLK_PERIOD) tck <= 1'b1; #(10*CLK_PERIOD) tck <= 1'b0;
89 // goto RUN_TEST_IDLE state
90 tms <= 1'b0; #(5*CLK_PERIOD) tck <= 1'b1; #(10*CLK_PERIOD) tck <= 1'b0;
91 end
92 endtask
```

Auflistung B.3: jtag_dmi_write.vh

C Software-Bedienung

C.1 Eclipse

C.1.1 OpenOCD Pfadeinstellung

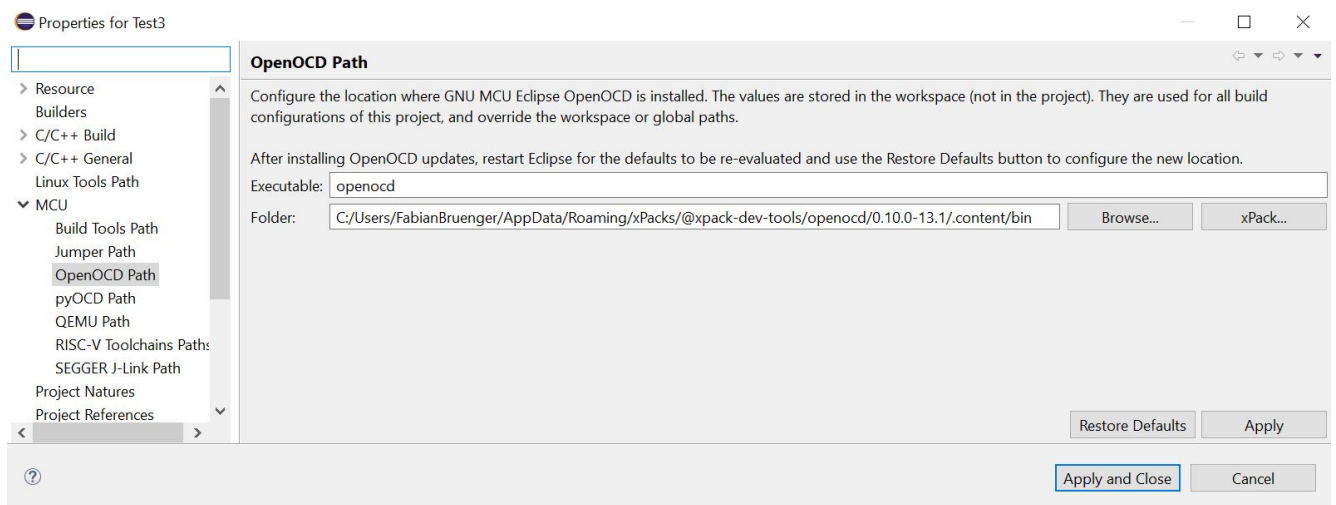


Abbildung C.1: Einstellungen für OpenOCD Pfad

C.1.2 Debugger Einstellung

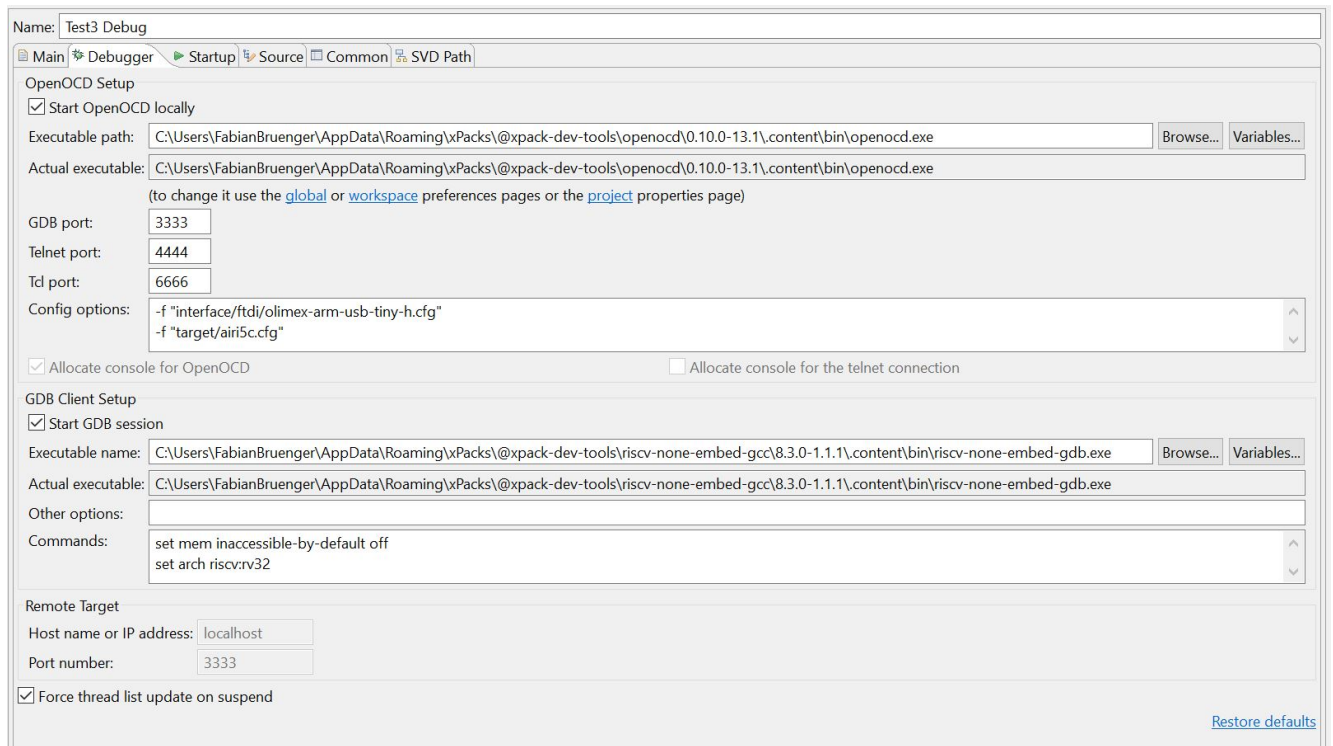


Abbildung C.2: Einstellungen für Debugging

```

1 if { [info exists CHIPNAME] } {
2   set _CHIPNAME $CHIPNAME
3 } else {
4   set _CHIPNAME airi5c
5 }
6 reset_config none
7 adapter_khz 1000
8 jtag newtap $_CHIPNAME tap -irlen 5 -ircapture 0x01 -expected-id 0x10001001
9 target create airi5ctarget riscv -chain-position airi5c.tap

```

Auflistung C.1: airi5c.cfg

C.1.3 Building Tools Pfadeinstellung

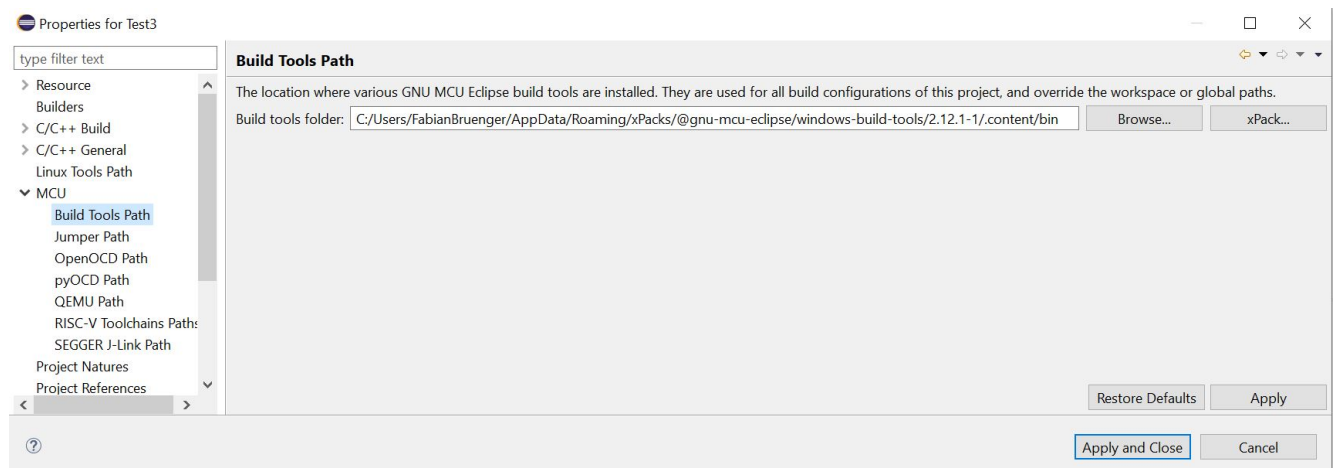


Abbildung C.3: Einstellungen für Building Tools

C.1.4 Toolchain Pfadeinstellung

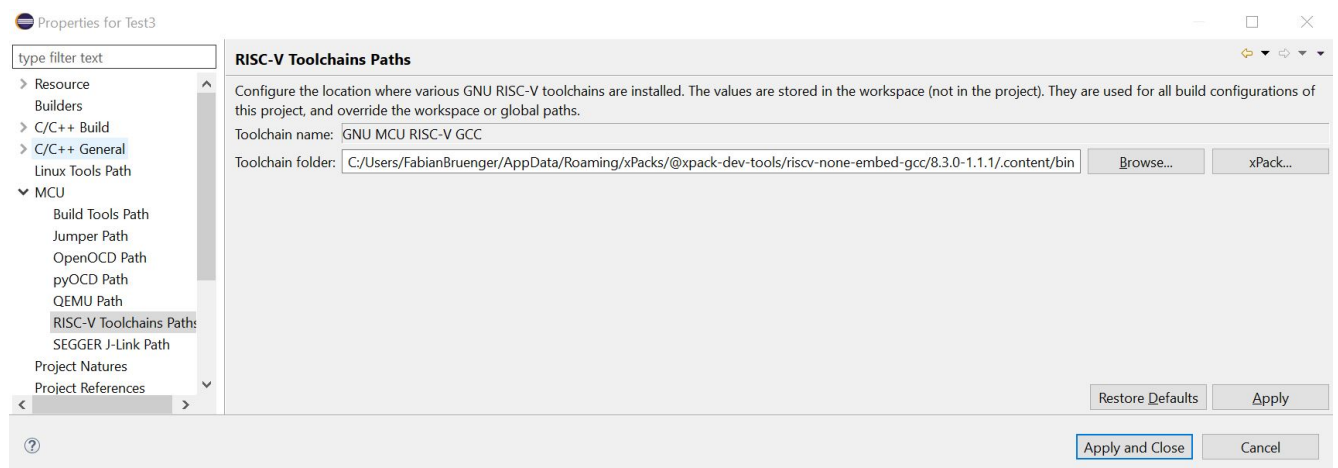


Abbildung C.4: Toolchain Pfadeinstellung

C.1.5 Gitlab

Runners activated for this project

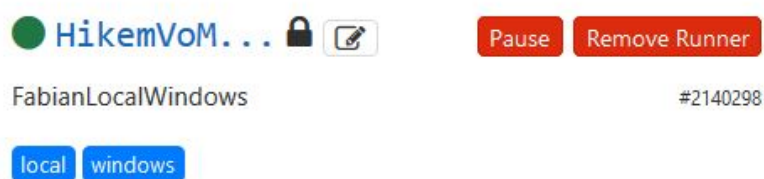


Abbildung C.5: Gitlab-Runner

C.2 Vivado

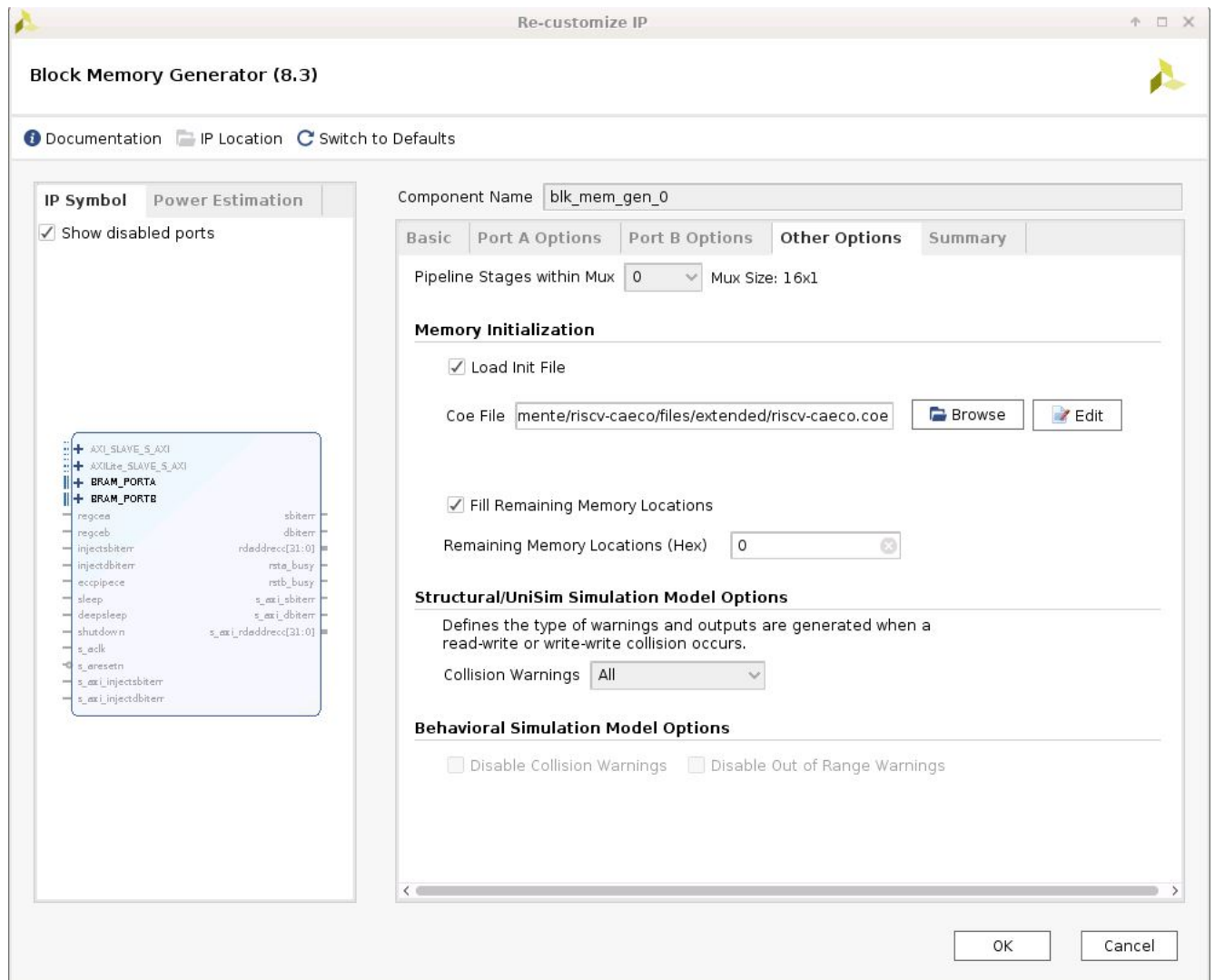


Abbildung C.6: Einstellungen zum Laden des COE Files für BRAM

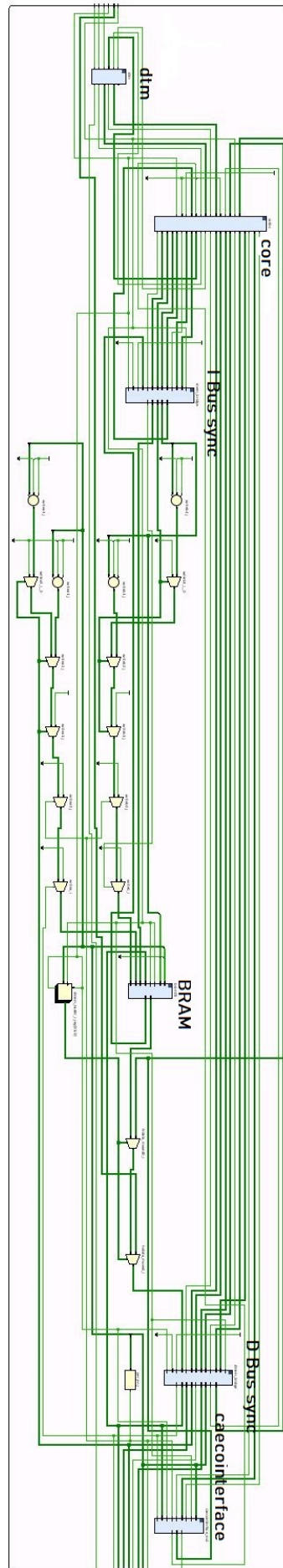


Abbildung D.2: Raifes Top Modul

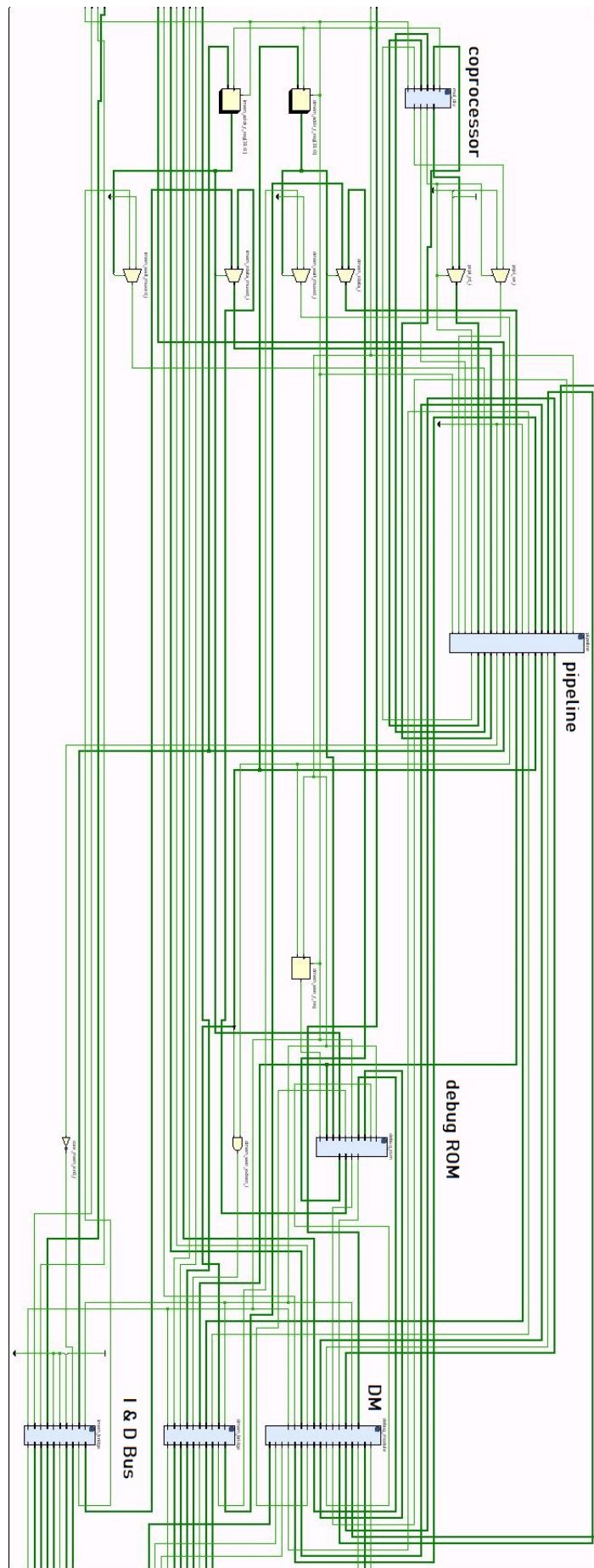


Abbildung D.3: Raifex Core Modul

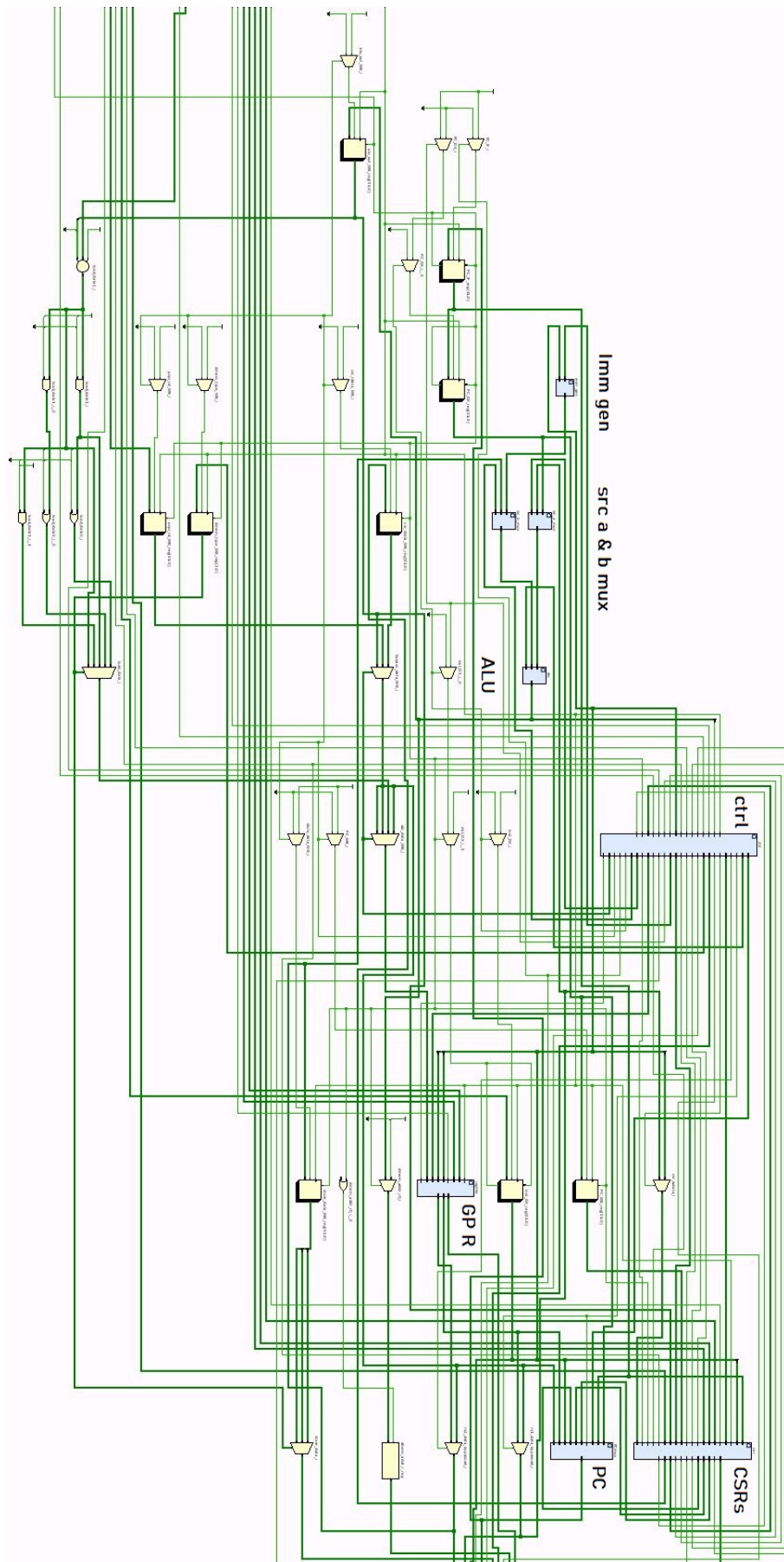


Abbildung D.4: Pipeline Modul

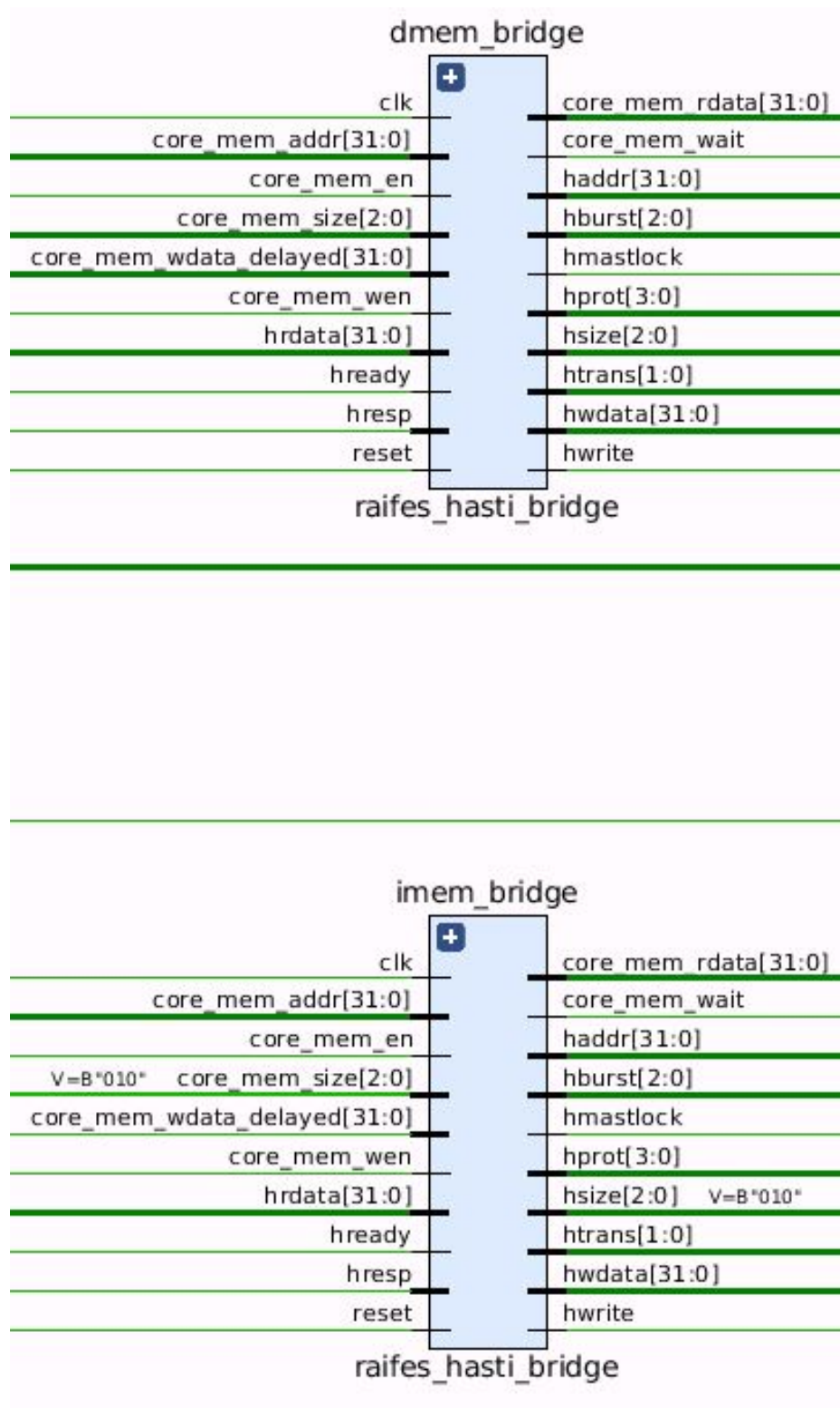


Abbildung D.5: I und D Bus

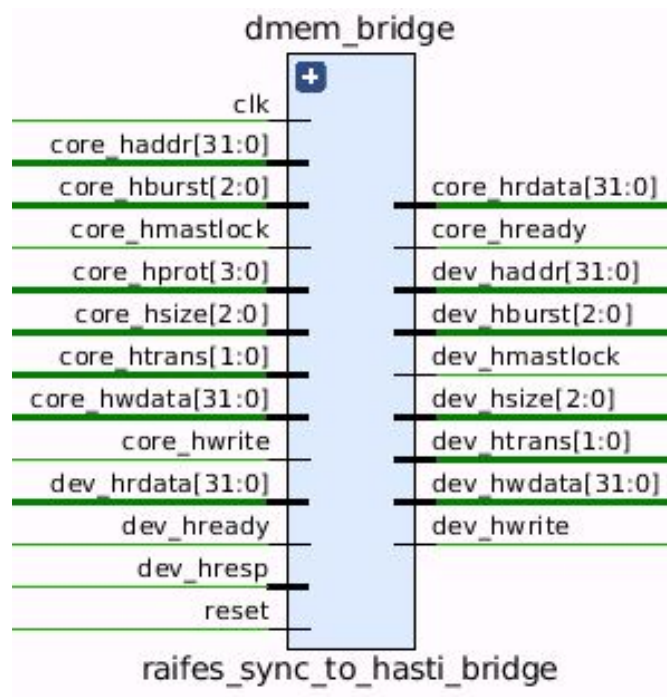


Abbildung D.6: D Bus sync

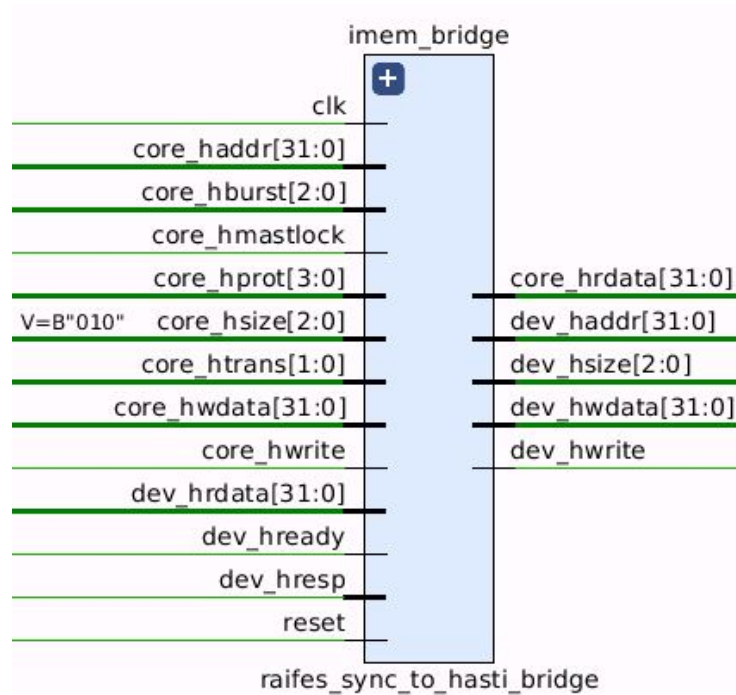


Abbildung D.7: I Bus sync

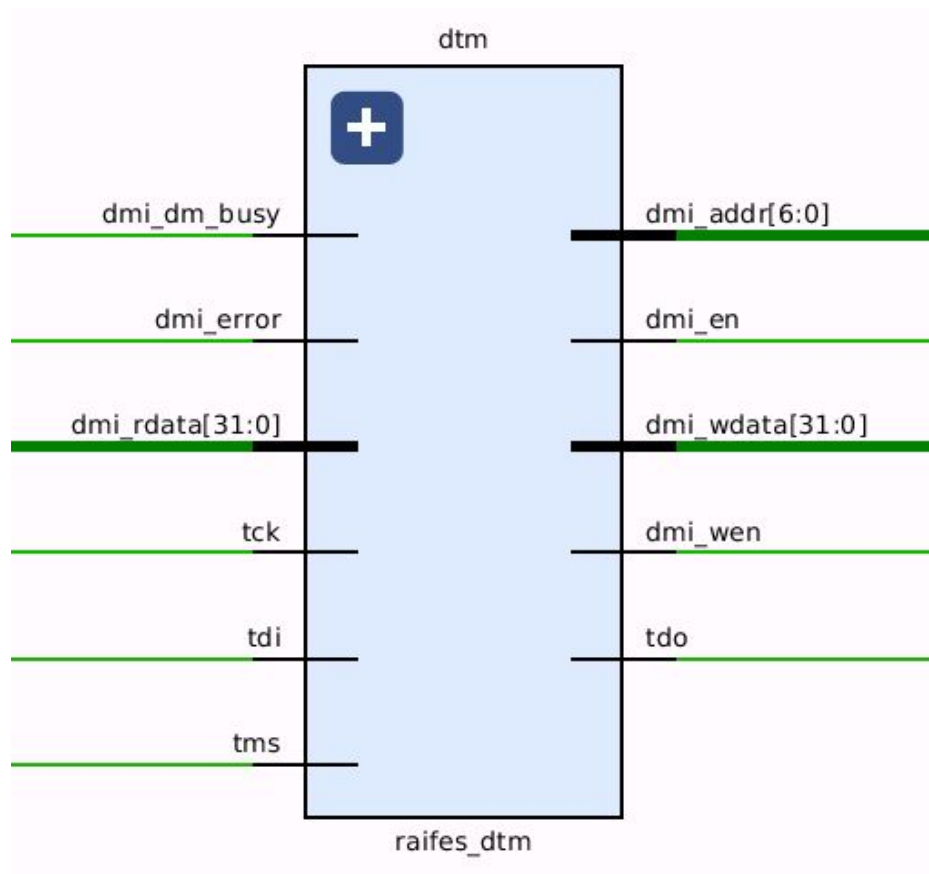


Abbildung D.8: DTM

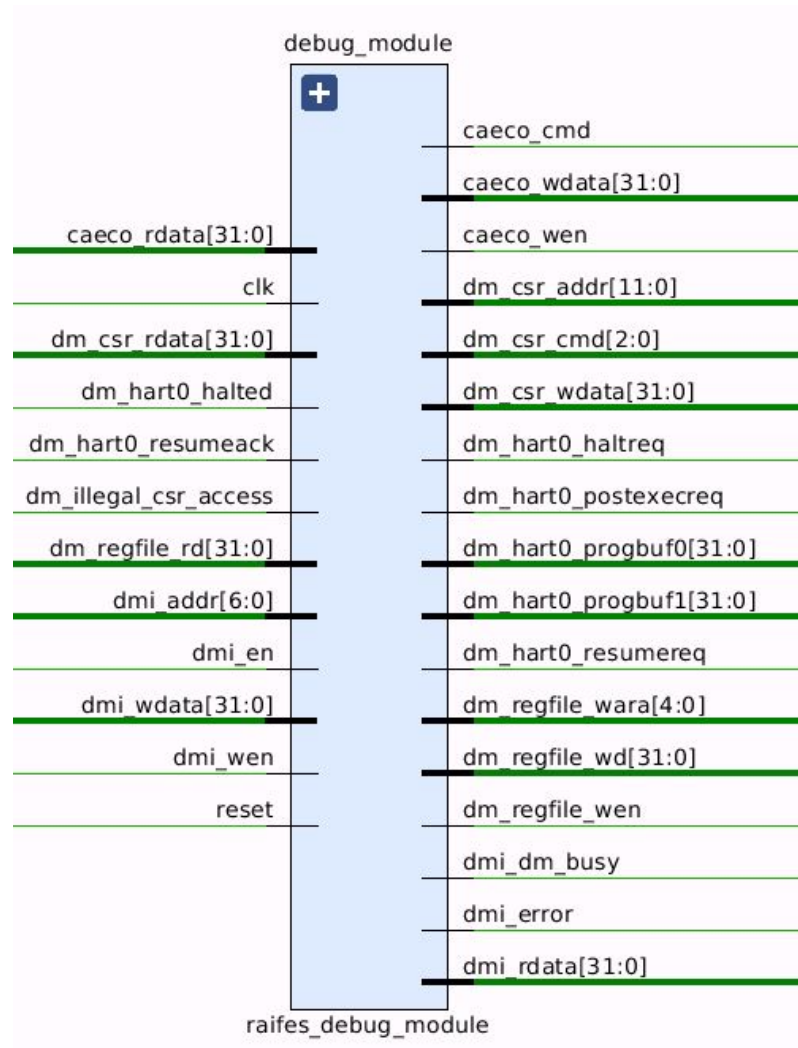


Abbildung D.9: DM



Abbildung D.10: Pipeline

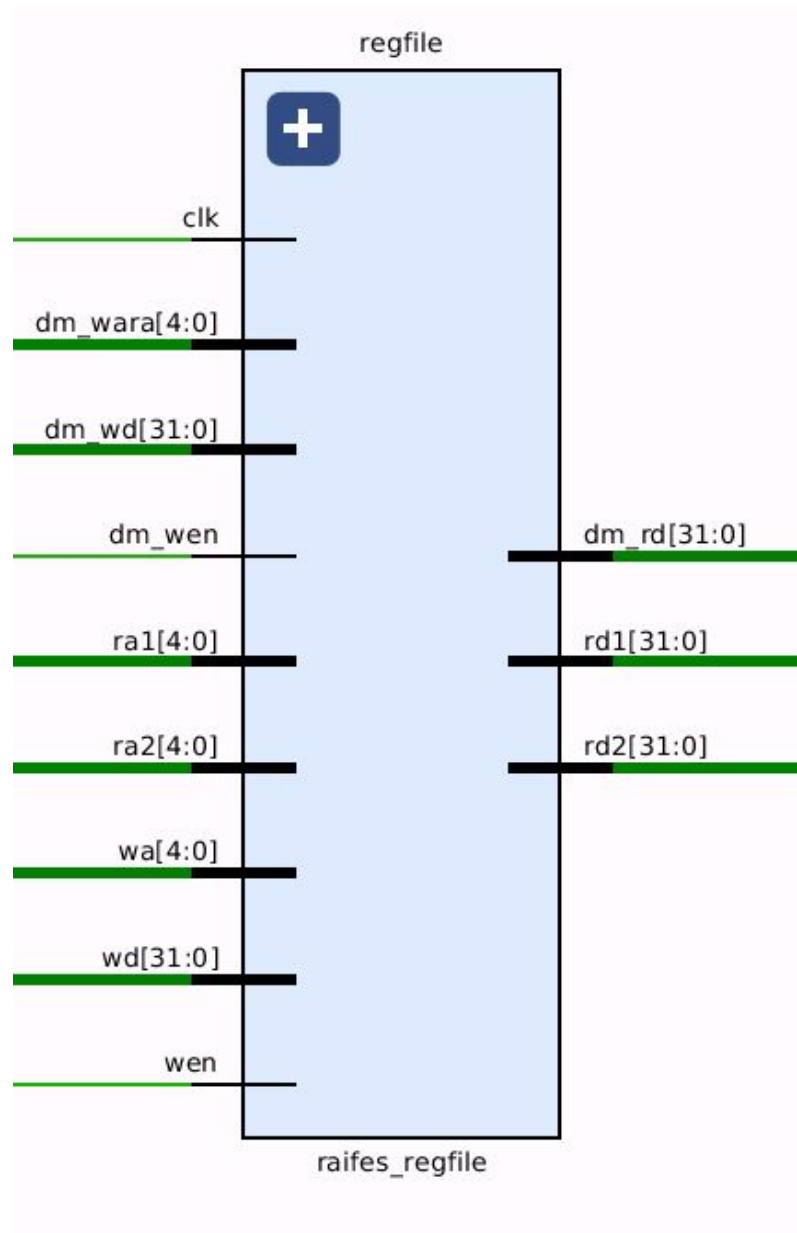


Abbildung D.11: Regfile

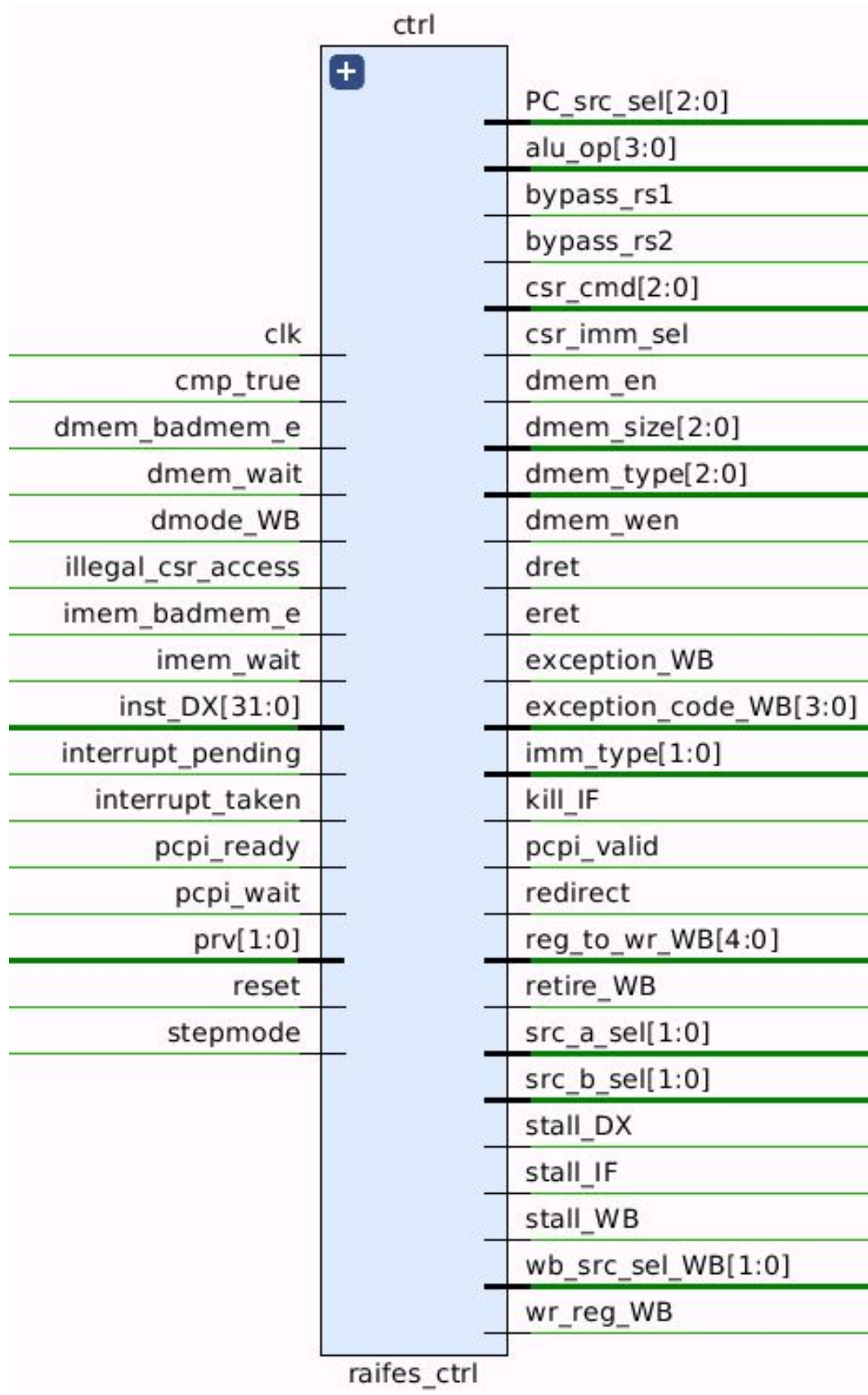


Abbildung D.12: Steuerwerk

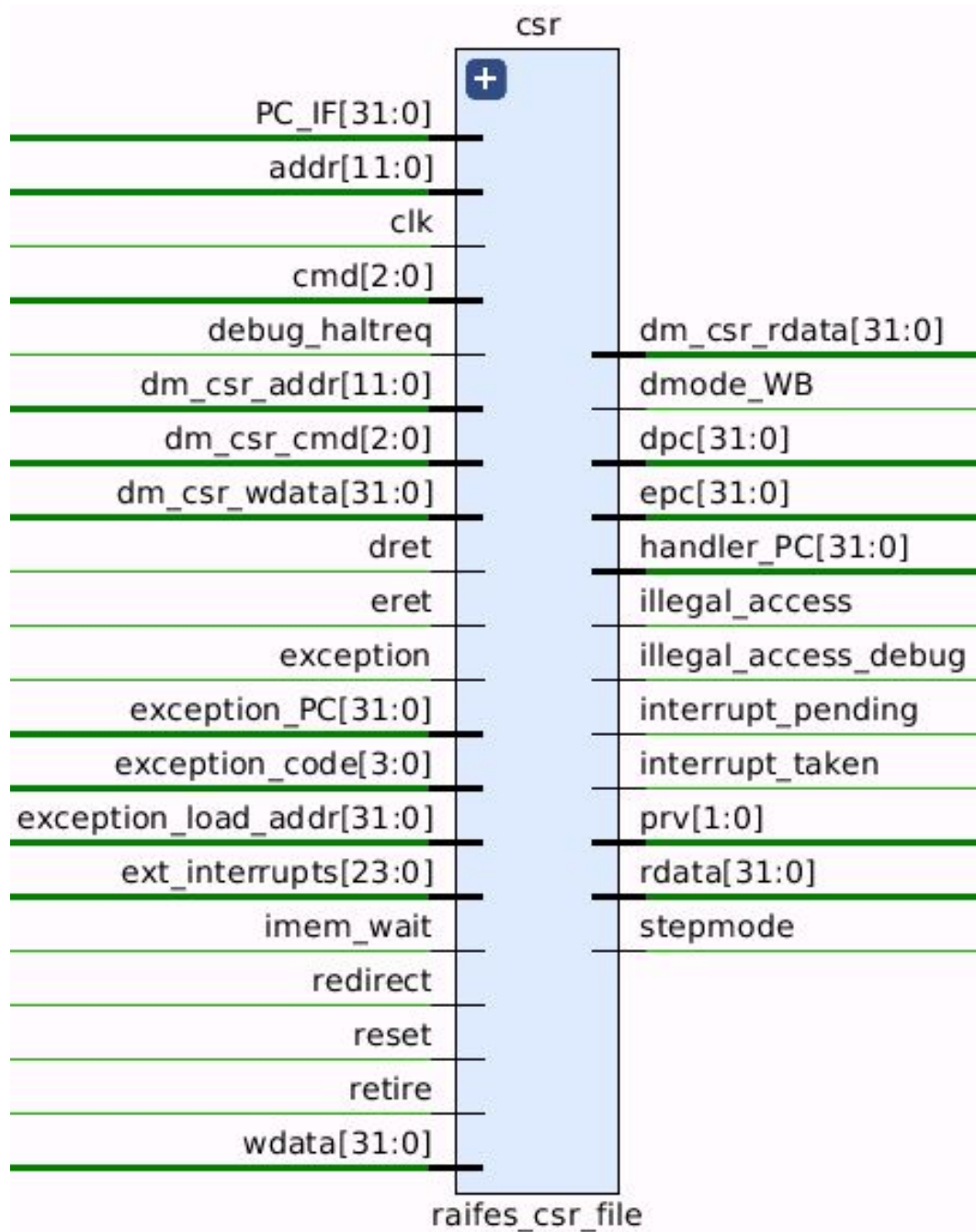


Abbildung D.13: CSRs

D.2 Blockschaltbilder

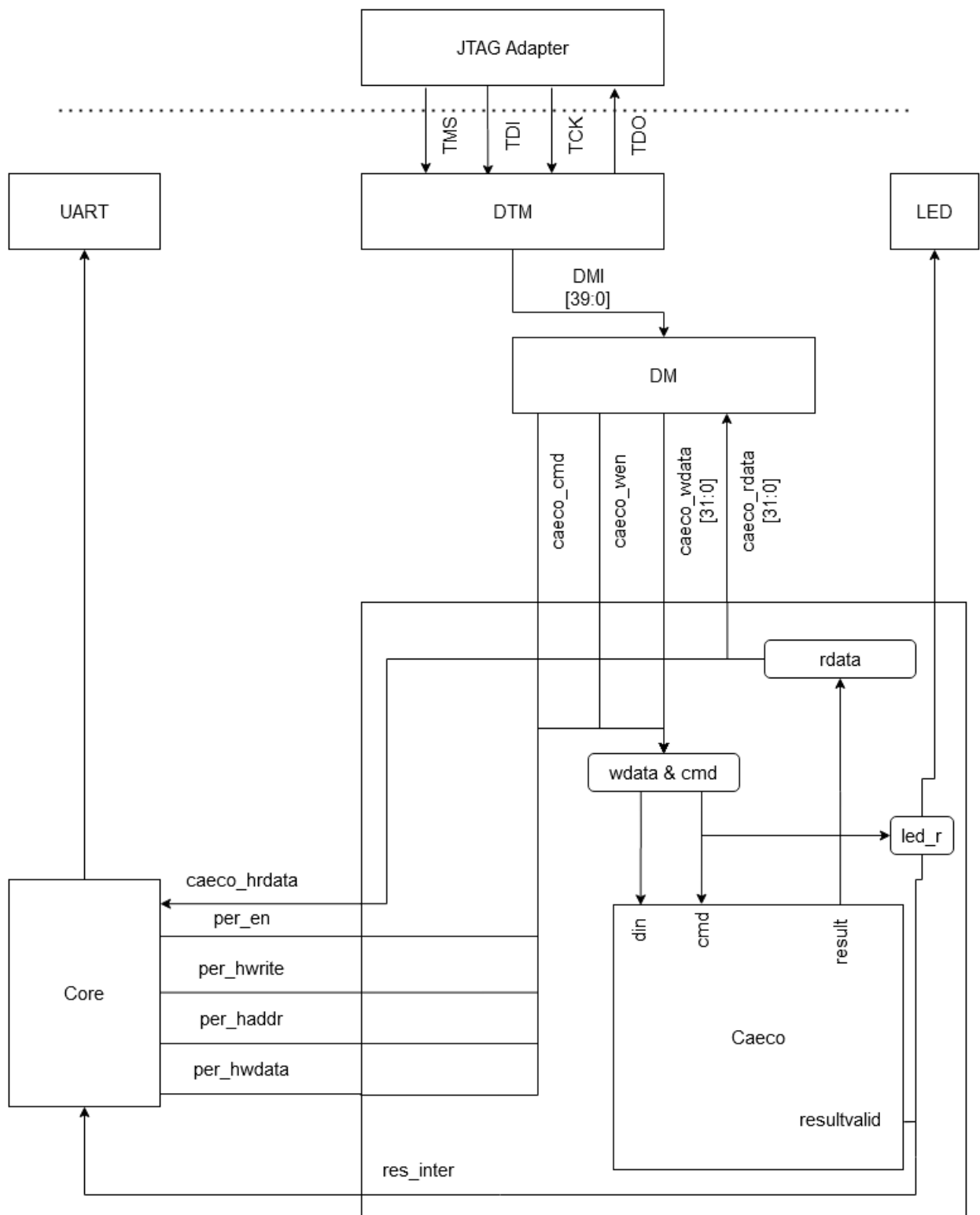


Abbildung D.14: Caecointerface BSB